

L'Univers en expansion et problèmes d'énergie

Moukaddem Nazih

*Département de Mathématiques,
Université Libanaise, Tripoli-Liban*

Janvier 2007-Mars 2009

Abstract In this paper we first construct a mathematical model for the universe expansion that started up with the original Big Bang. Next, we discuss the problematics of the mechanical and physical laws invariance regarding the spatial frame exchanges. We then prove the (theoretical) existence of a variable metric g_t , depending on time and satisfying a simplified Einstein equation, so that all free ordinary trajectories are geodesics. This is done by considering the classical Galileo–Newtonian space and time notions, by using generalized Newtonian principles and adding the approved physical new ones (as covariance principle, Mach principle, the Einstein equivalence principle ...) in order to establish a new cosmological model of the dynamical universe as being $(U(t))_{t>0} = (B_e(O, R(t)), g_t)_{t>0}$, where $B_e(O, R(t))$ is the Euclidean ball of radius $R(t)$ in \mathbb{R}^3 and $R(t) \sim t$ when $t \gg 0$ and $c = 1$. The cosmological metric g_t is totally determined, at time t , by the mass–energy distribution $E_t(X)$ on $B_e(O, R(t))$. We study also the black holes phenomenon and we prove that the total and global cosmological energy distribution $E_t(X)$ satisfies a wave equation whose solutions are characterized by pseudo-frequencies depending on time and related to the spectrum of the Dirichlet problem on the unit ball $B_e(O, 1)$ for the Laplace–Beltrami operator $-\Delta$. Our model is consistent in the sense that all Newtonian and classical physical laws are valid as particular cases in classical situations. We end this construction by introducing, possibly, the most important feature of the expansion–time–energy triangle that is the temperature–pressure duality factor and so achieving the construction of our real physical model of the expanding universe. Then, we show that all basic results of modern Physics are still valid without using neither the second part of the special relativity second postulate nor the un-

certainty principle. Moreover, we give a mathematical model that explains the matter–antimatter duality and we conclude that there exist only two privileged fundamental forces.

We then show that our model results in a well posed initial value formulation for the most general Einstein’s equation and leads to a well determined solution to this equation by using a constraint free Hamiltonian system that reduces, according to our model, to six equations relating six independent unknown functions.

We also adapt the Einstein’s general relativity theory to our setting thus freeing it from several obstacles and constraints and leading to the unification of general relativity with quantum Physics and Newton - Lagrange - Hamilton’s Mechanics.

We end this paper by determining (within the framework of our model) the age, the size and the total energy of our universe and proving that only the energy E , the electromagnetic constant ke^2 , the Boltzmann characteristic $K_B T$ and the speed of light c (to which we add a quantum Statistics’ constant A) are time-independent universal constants. The other fundamental constants (such as $G, \hbar, K, \alpha\dots$) are indeed time dependent and naturally related to the previous ones proving, in that way, the unity of the fundamental forces and that of all Physics’ notions. This essentially is done by adapting the Einstein - de Sitter model (for the Hubble homogeneous and isotropic Cosmology) and the Einstein - Friedmann equations to our setting.

0 Introduction, Sommaire et Table de matières

À l’aube du 21^{ème} siècle réapparaît une crise, qui semble être structurelle, au sein de la Physique moderne. Celle-ci semblait pourtant avoir résolu, au cours de la première moitié du siècle dernier, tous les problèmes qui ont surgi à la fin du 19^{ème} siècle avec la découverte de quelques phénomènes et lois qui semblaient être en contradiction avec la Mécanique et la Physique galiléo-newtoniennes classiques. De nos jours, la Cosmologie moderne est basée sur la théorie de l’expansion de l’Univers (le Big Bang) avec une multitude de preuves à l’appui. Plus récemment notre compréhension de la structure de la matière est fondée sur le modèle atome-noyau-nucléons-quarks d’un côté et sur la classification hadrons-leptons et la dualité matière-antimatière de l’autre côté. Le tout obéit à une quantisation rigoureuse des charges et des niveaux d’énergie et à des règles précises dont les plus importantes sont les

lois de conservation de l'énergie et de la quantité de mouvement et la loi d'exclusion de Pauli. Avec la fameuse formule d'Einstein $E = mc^2$, on comprend mieux l'équivalence de toutes les formes de l'énergie. La quantisation et l'unification des formes d'énergie se comprennent encore mieux avec la découverte du photon et de l'effet photoélectrique également due à Einstein. D'un autre côté, la Mécanique quantique et les équations de Schrödinger ont permis de réaliser un grand progrès dans la compréhension de la nature ondulatoire de la matière et d'un grand nombre de phénomènes naturels sans pour autant fournir des explications (théoriques et expérimentales) précises.

À la lumière de ces grandes découvertes dont une partie peut être mise au profit de la théorie quantique et l'autre partie au profit de la théorie de la relativité, deux grandes questions, parmi tant d'autres, s'imposent :

1. Y a-t-il une compatibilité ou une complémentarité entre ces deux théories qui semblent avoir toutes les deux contribuer à faire sortir la Physique classique de ses impasses ?

2. Après la compréhension définitive du phénomène électromagnétique et les progrès dans la théorie de l'unification de la force électromagnétique avec les deux forces d'interaction (forte et faible), est-ce que toutes les forces (en ajoutant celle de la gravitation aux trois premières) pourraient être unifiées au sein d'une théorie globale ?

La réponse à la première question semble être négative. Plusieurs théories d'unification se heurtent à une réalité qui paraît inexplicable. Les raisons invoquées de l'échec de telles tentatives sont variées comme, à titre d'exemple, notre incapacité technique d'effectuer des mesures infiniment petites ou infiniment grandes ou l'existence de plusieurs dimensions insaisissables, mais aussi l'inexistence de réalités objectives gouvernées par des lois et des règles précises ou, en cas d'une telle existence, notre incapacité de comprendre leur vraie nature et leur vrai fonctionnement.

À l'aide de notre modèle global, nous nous proposons de résoudre un grand nombre de problèmes ouverts et de lever les contradictions apparentes quant à l'interprétation des résultats et faits nouveaux, sans pour autant mettre en cause les principes fondamentaux de la Mécanique et de la Physique, aussi bien classiques que modernes tant qu'ils soient scientifiquement (théoriquement et expérimentalement) valides. Parmi ces derniers, on peut citer, à titre d'exemple, le principe de conservation de l'énergie et de la quantité de mouvement, les lois de Maxwell, la loi de Mach-Einstein sur

l'équivalence entre la matière, l'énergie, et la courbure de l'espace, le principe de la constance de la vitesse de propagation des ondes électromagnétiques dans le " vide absolu ", la nature ondulatoire de la matière et la nature quantifiée des ondes et enfin l'indissociabilité des notions matière-énergie, ondes, expansion, température, pression, forces d'interaction et équilibres énergétiques. Un certain nombre de ces principes se trouve reconfirmé dans le cadre de notre modèle.

Cependant notre modèle remet en cause certains principes qui ont été introduits et utilisés avec comme seule justification (mi-intellectuelle, mi-expérimentale) la volonté de faire sortir la Physique classique de certaines impasses apparentes. En effet à la base de notre modèle se trouve la remise en cause (parfaitement justifiée) du deuxième postulat de la relativité restreinte qui consiste à supposer que la vitesse de la lumière ne dépend pas de la vitesse du référentiel inertiel utilisé pour mesurer cette vitesse, sans pour autant remettre en cause l'indépendance de cette même vitesse vis-à-vis du mouvement de la source. Un autre aspect fondamental de notre modèle est de bien situer les équations de Schrödinger et les Statistiques quantiques dans leur propre contexte et à l'intérieur de leurs justes limites. Elles consistent en effet en une sorte d'approche approximative et prédictive, aussi importante qu'elle soit, des phénomènes étudiés et des résultats expérimentaux obtenus ; à ceci on associe la remise en cause du principe d'incertitude.

Évidemment, la remise en cause de ces postulats est basée sur un raisonnement logique et mathématique rigoureux tout en offrant une alternative cohérente pour expliquer des phénomènes dont la contradiction apparente avec les principes bien établis de la Physique était à la base de leur adoption.

En ce qui concerne la relativité restreinte, on montre qu'aucune des expériences (réelles ou imaginaires) qui ont conduit à recourir à la notion relativiste de l'espace-temps, ne justifie l'altération de la relation naturelle (galiléo-newtonienne) de l'espace avec le temps. Toutes ces expériences admettent des explications conséquentes et simples. C'est le cas, par exemple, de l'expérience du train, des deux observateurs, de l'émetteur et du miroir, de celle de Michelson-Morley ou de celle de l'émetteur au milieu d'un camion avec les deux miroirs sur les deux côtés...

De plus, on montre que la loi de covariance est tout à fait respectée par les équations de Maxwell en montrant que l'équation des ondes se transforme d'une façon canonique vis-à-vis de tout changement de repère inertiel. Ceci nécessite simplement l'utilisation d'une notion tout à fait naturelle de dérivation qui intègre le mouvement relatif des repères. Une notion de dérivation plus générale a servi en fait à démontrer les propriétés

de covariance (de tensorialité) pour différents types de repères mobiles et qui coïncide dans les cas habituels avec la notion de dérivation usuelle. On montre aussi que le clivage arbitraire entre des particules relativistes et non relativistes et les formules relativistes elles-mêmes conduisent à des contradictions évidentes.

De même, en se basant sur une logique mathématique difficilement contestable, on montre que des expériences du genre de celles des particules énergétiques arrivant sur un écran, après avoir traversé deux minces fentes légèrement espacées, ne nous autorisent pas de conclure que le fait de reconnaître à partir desquelles des deux fentes sont passées les particules suffit en soi-même d'altérer le résultat physique réel et objectif. Ces résultats pourraient être altérés uniquement par les moyens techniques et conjoncturels utilisés pour aboutir à cette reconnaissance. Nous montrons également que les incertitudes constatées réellement, partout dans la nature, sont dues en réalité à la nature dynamique et évolutive complexe des phénomènes naturels (trajectoires des mouvements, interactions, équilibres énergétiques) ainsi qu'à l'imperfection et les limites imposées par nos moyens techniques d'une façon conjoncturelle. Ces derniers sont heureusement de plus en plus performants et précis ; ce qui explique les progrès permanents réalisés au niveau de notre compréhension de l'Univers et de la structure de la matière. Les équations de Schrödinger offrent évidemment un moyen puissant pour déterminer, par exemple, la probabilité de trouver les particules dans une région donnée de l'espace et pour expliquer des phénomènes qui semblent être inattendus, mais cela ne nous autorise pas à ériger les Statistiques quantiques à un statut de principe théorique ou exact.

Ainsi, on montre en considérant l'exemple du pendule simple en équilibre vertical stable et l'exemple d'une balle au repos dans une caisse (supposée également au repos), que la nature ondulatoire de la matière ne nous autorise pas de parler de fréquence ni de longueur d'onde correspondant à des oscillations dans l'espace et par suite on ne peut pas parler de leur énergie minimale qui serait non nulle, en contradiction flagrante avec les principes de Newton. Par conséquent le fait même d'invoquer le principe d'incertitude n'a aucun lieu d'être. De même l'énergie minimale de l'électron dans un atome d'hydrogène (ground state energy) et le rayon (approximatif) de Bohr qui lui est associé sont les résultats d'un équilibre énergétique (entre plusieurs formes d'énergie et plusieurs forces d'interaction interne et externe) basé sur le fait que l'énergie potentielle minimale de l'électron au sein de l'atome doit être finie et ceci n'a rien à voir avec le principe d'incertitude. L'équilibre énergétique se traduit, d'une façon naturelle, par l'aspect nuageux de l'orbite.

Par ailleurs, nous montrons que l'attribution d'une longueur d'onde (définie par la relation de De Broglie $\lambda = \frac{h}{p}$) à toute particule matérielle ponctuelle, comme les électrons au sein d'un atome, ne peut être qu'une approximation utile et peut conduire dans certains cas à des contradictions. De même, nous considérons que l'utilisation de la Mécanique quantique et de la Statistique quantique n'est justifiée que dans les cas infinitésimaux subatomique là où nos capacités d'effectuer des mesures exactes (ou même approximatives) sont très limitées rendant inefficace l'analyse de ces cas dans le cadre de la Mécanique classique. La coïncidence (approximative) des résultats obtenus par les méthodes basées sur la Mécanique quantique avec la Mécanique newtonienne, lagrangienne et hamiltonienne par l'intermédiaire de l'équation de Hamilton-Jacobi, ne doit servir qu'à une justification (ou à une légitimisation) de l'utilisation des méthodes quantiques (essentiellement probabilistes) dans les cas infinitésimaux et ne permet pas de conclure que les lois de la Nature obéissent uniquement aux règles (approximatives) de la Mécanique quantique. Bien au contraire, les incertitudes inhérentes à ces méthodes (et qui en sont en fait des résultats légitimes) reflètent l'aspect approximatif de cette approche et il n'est pas exclu, qu'en utilisant d'autres moyens d'analyse, expérimentaux ou théoriques, on arrivera à mieux optimiser ces approximations et ces incertitudes et à une meilleure compréhension de ces phénomènes physiques.

Nous allons donner dans la suite quelques idées forces de notre modèle. Notons, pour commencer, que celui-ci est basé sur toutes les lois et principes de la Physique mathématique dont la validité s'est avérée (théoriquement et expérimentalement) indiscutable tout en soumettant ceux qui ont été partiellement admis (plus ou moins conjoncturellement) dans le seul but de résoudre quelques problèmes de parcours, à un réexamen attentif. Ceux qui n'ont pas résisté à la logique mathématique ont été abandonnés, ainsi que toutes leurs conséquences, après avoir fourni les justifications nécessaires et établi des alternatives nettement plus naturelles. Ensuite le modèle a été construit sur la base de quelques idées simples mais qui sont loin d'être simplistes. On peut les résumer par la théorie de l'expansion (qui a fait son chemin depuis Hubble) et l'utilisation d'une métrique riemannienne variable avec le temps et la position reflétant le principe de Mach repris par Einstein : Matière = Courbure; auxquelles on ajoute le principe à la fois scientifique et philosophique qui consiste en l'unité et la cohérence des lois de la nature qui englobe, entre autres : les lois de conservation, la loi de covariance, les lois d'équivalence et la dualité attraction-répulsion originelle des forces.

Ainsi, l'Univers à l'instant $t > 0$ consiste, selon notre modèle, en une

boule $B_e(O, R(t))$ de \mathbb{R}^3 (avec $R(t) \sim t$ lorsque $t \gg 0$) munie d'une métrique riemannienne $g_t(X)$. Celle-ci reflète, à tout instant, par l'intermédiaire de sa courbure variable, la distribution de la matière-énergie ainsi que tous ses effets. Cette métrique contracte les distances et volumes autour des agglomérations matérielles à forte densité et surtout autour des trous noirs caractérisés par une densité énergétique extrême. Par contre, cette métrique mesure les distances selon notre échelle (euclidienne) conventionnelle dans les endroits quasiment loin de toute influence (essentiellement gravitationnelle) de la matière. Toutes les trajectoires décrivant des mouvements libres (i.e. sous la seule action des forces naturelles) dans l'Univers seraient (relativement à cette métrique) des géodésiques comme le sont les trajectoires associées aux mouvements newtoniens libres (i.e. non soumis à des forces extérieures) dans l'espace plat. Ces dernières ne sont autres que les lignes droites parcourues à vitesse constante ou, en d'autres termes, les géodésiques relatives à notre métrique euclidienne plate.

La chute libre, à une distance raisonnable de la terre, décrit une géodésique $X(t)$ pour une métrique g_t (i.e. $\nabla_{X'(t)}^{g_t} X'(t) = 0$) qu'on peut déterminer facilement dans les deux cas où l'on suppose soit que la gravitation est uniforme soit qu'elle est centrale. Cette notion nous permet de résoudre numériquement le problème des n corps, par exemple.

Toutefois, au lieu d'essayer de déterminer la métrique en question à l'aide de l'équation tensorielle d'Einstein (qui se réduit dans notre nouveau contexte à 6 équations indépendantes), on a opté de suivre toute une autre démarche. En effet la dépendance de cette équation d'un grand nombre de facteurs, en plus du temps, rend la résolution inextricable malgré toutes les simplifications et les réductions possibles. Notre démarche sera progressive, commençant par une modélisation mathématique purement théorique de l'expansion virtuelle de l'espace, suivie de l'introduction progressive des réalités physiques passant de l'idéalisation à la régularisation et à la quasi-linéarisation pour finir par intégrer tous les facteurs qui façonnent notre Univers réel d'une façon essentiellement simultanée et indissociable.

Dans un premier temps, on montre, en utilisant les principes fondamentaux (généralisés) de la Mécanique newtonienne, que la création et l'expansion de l'espace dans lequel vit l'Univers devrait (à partir d'un certain temps) se produire à une vitesse quasi-constante qui tend vers c (supposée égale à 1). On introduit ensuite la distribution de la masse matérielle $m_t(X)$ et celle de l'énergie potentielle généralisée $E_t(X)$ sur la boule $B_e(0, R(t))$ pour tout t . Ensuite on leur associe successivement les mesures $\rho_t = m_t(X)dX$ et $\nu_t =$

$E_t(X)dX$ et on considère la mesure μ_t associée à la métrique physique g_t qui est déterminée par la distribution $E_t(X)$ de la façon suivante :

$$\mu_t = dv_{g_t} = \nu_t(X)dX = dX - \nu_t(X) = dX - E_t(X)dX$$

La mesure ν_t mesure le défaut causé par la matière-énergie pour que le volume soit euclidien et μ_t mesure le volume réel physique dans l'Univers (à l'instant t) en tenant compte de toutes les manifestations de la matière-énergie. On considère ensuite le demi-cône de l'espace-temps

$$C' = \{(x, y, z, t) \in \mathbb{R}^4; x^2 + y^2 + z^2 \leq R^2(t); t \geq 0\} = \bigcup_{t \geq 0} B(0, R(t)) \times \{t\},$$

qu'on peut considérer, tout au long de notre construction (par souci de simplicité et de clarté), comme étant :

$$C = \{(x, y, z, t) \in \mathbb{R}^4; x^2 + y^2 + z^2 \leq t^2; t \geq 0\} = \bigcup_{t \geq 0} B(0, t) \times \{t\}$$

Ceci revient en fait à supposer que la vitesse des ondes électromagnétiques était de tout temps égale à la vitesse de la lumière dans le vide absolu (i.e. $c = 1$) et que la vitesse de l'expansion était de tout temps celle de l'expansion de l'espace géométrique vide qui est déterminée, selon notre modèle, par la propagation électromagnétique. Le cas général sera discuté à la fin de notre article.

L'Univers à l'instant t_0 serait alors l'intersection de ce demi-cône avec le plan d'équation $t = t_0$ de \mathbb{R}^4 munie de la métrique riemannienne g_{t_0} . On applique alors le théorème de Stokes sur ce demi-cône muni de la métrique plate de Minkowski (considérant ainsi l'espace virtuel vide au sein duquel évolue l'espace géométrique avec le déroulement du temps) d'une part et sur ce même demi-cône muni de la métrique

$$h_t = dt^2 - g_t$$

d'une autre part pour montrer que l'énergie généralisée (englobant la matière) $E(t, X) := E_t(X)$ vérifie une équation d'onde :

$$\square E(t, X) = \frac{\partial^2}{\partial t^2} E(t, X) - \Delta E(t, X) = 0 \text{ pour } X \in B(0, t)$$

avec

$$E(t, X)|_{S(0, t)} = 0 \text{ pour tout } t,$$

dont les solutions sont des fonctions pseudo-périodiques admettant des pseudo-fréquences décroissant avec le temps.

S'appuyant sur le principe de Planck-Einstein, on écrit tout au long de la propagation :

$$E_\mu(t, X) = g_\mu(t)\psi\left(\frac{X}{t}\right) = h_\mu(t)f_\mu(t)$$

où ψ et μ sont respectivement les fonctions propres et les valeurs propres associées au problème de Dirichlet sur la boule unité $B_e(0,1)$, $f_\mu(t)$ est la fréquence de la solution et $h_\mu(t)$ est une sorte de constante de Planck.

En introduisant le facteur température, qui est (avec la pression) indissociable de l'expansion de l'Univers, on montre que, pour tout mouvement libre (géodésique pour g_t) $X(t)$, l'énergie $E_\mu(t, X(t))$ est une fonction décroissante du temps (via la décroissance de la température cosmique) dépendant de μ d'une manière purement conventionnelle.

Finalement, on retrouve, dans le cadre de notre modèle, la fameuse relation $E = mc^2 (= m)$ et on montre que, pour toute particule matérielle de masse initiale au repos $m_0 = m(0)$ circulant à une vitesse $v(t) < 1$, l'énergie totale $E(t)$ est égale à $m(t)(1 + \frac{v^2(t)}{2})$ où $m(t) = \gamma(t)m_0$ est la masse de la particule à l'instant t . Le facteur $\gamma(t)$ provient de la perte de l'énergie de masse par l'intermédiaire des radiations liées aux fluctuations de la vitesse et de la température. Ce facteur pourrait être calculé théoriquement ou expérimentalement de plusieurs façons. On montre qu'il décroît de 1 à 0 lorsque la vitesse varie de 0 à 1. On montre ensuite que notre formulation concernant l'énergie et la quantité du mouvement des particules matérielles sont plus cohérentes que les formulations relativistes. On compare, à titre d'exemple, notre relation entre énergie et masse $E(t) = \gamma(t)m_0c^2$ avec la relation classique $E = \gamma mc^2$ où γ est le facteur de Lorentz.

On pourrait continuer dans ce sens et réexaminer toutes les formules (dont la validité est approuvée expérimentalement) de la Physique moderne, où l'on utilise soit les notions relativistes soit les Statistiques quantiques ou le principe d'incertitude, pour leur redonner une interprétation plus solide et pourquoi pas plus précise, du moment qu'il ne s'agissait que de résultats approximatifs établis à partir des expériences. Ceci relève en fait d'un travail collectif laborieux et assidu. Toutefois ce réexamen nécessite le réajustement de quelques notions et de rétablir la dépendance du temps pour quelques notions et constantes. Citons, à titre d'exemple, que le phénomène du décalage vers le rouge (redshift) s'explique en fait par l'accroissement, avec le temps et la distance, des longueurs d'onde et non pas par la vitesse de la source des ondes.

Notons, finalement, que notre modèle est tout à fait conséquent dans le

sens où il est compatible avec la Physique classique dans les situations newtoniennes et quasi-newtoniennes, où la métrique g_t serait très proche de g_e et la mesure μ_t serait très proche de la mesure de Lebesgue dès que la distribution $E(t, X)$ serait à peu près nulle dans une région donnée de l'espace. La métrique $g_t(X)$ intègre et explique toutes les situations approximatives, réelles et même singulières (trous noirs) et exprime que la réalité physique est continue sans être différentiable (à l'exception de la singularité originelle).

Par ailleurs, il est clair que, dans le cadre de notre modèle, on retrouve, tout en les précisant, un grand nombre de résultats dans le domaine de la Cosmologie moderne. Ceux-ci recouvrent les résultats qui sont établis en se basant sur les travaux de Hubble, Friedmann et sur le modèle d'Einstein-de Sitter. En particulier, notre modèle est conforme à la deuxième affirmation du principe fondamental de la Cosmologie qui stipule que la vitesse relative des galaxies est proportionnelle à leur distance sans pour autant adhérer à la première confirmation de ce principe stipulant que l'Univers paraîtrait (à une grande échelle) exactement le même pour n'importe quel observateur indifféremment situé au sein de l'Univers.

On continue notre étude en établissant un modèle mathématique qui conduit à une classification de toutes les particules fondamentales (matérielles et antimatérielles). Ceci est réalisé en utilisant une équation d'onde vérifiée par l'opérateur de Dirac D , défini par la structure spinorielle de l'espace riemannien $(B(0,1), g_e)$ et on conclut à l'existence de deux forces fondamentales privilégiées seulement, qui sont essentiellement liées à l'unité originelle de la matière-énergie, au mouvement d'expansion originel et à l'unité naturelle de l'Univers, d'une part, et sur les deux aspects antagonistes fondamentaux des forces naturelles liées intrinsèquement à la matière, qui sont l'attraction et la répulsion, d'une autre part. Ce sont la force gravitationnelle et la force électromagnétique.

On montre ensuite que, dans le cadre de notre modélisation, la solution de la plus générale équation d'Einstein peut être obtenue au moyen d'un problème d'évolution bien posé, à valeurs initiales libres de toute condition, conduisant à un développement de Cauchy maximal bien défini. De même, on montre que la résolution de l'équation d'Einstein est équivalente à celle d'un système hamiltonien libre de toute contrainte qui se réduit à six équations à six fonctions inconnues indépendantes g_{ij} et π^{ij} . Cette solution correspond à une métrique "initiale" g_{t_0} définie sur une surface de Cauchy quelconque Σ_{t_0} (ou, d'une façon équivalente, sur l'Univers $B(O, t_0)$) à un instant initial t_0 telles que les dérivées de ses composantes par rapport au temps $\dot{g}_{ij}(t_0)$

s'identifient aux doubles des composantes de la courbure extrinsèque $K_{ij}(t_0)$ de (Σ_{t_0}, g_{t_0}) à l'intérieur de l'espace - temps $M = C(t)$ muni de sa métrique lorentzienne $h_t = dt^2 - g_t$.

On finit cet article en réadaptant la théorie de la relativité générale d'Einstein à notre modèle. Pour cela, on utilise, à la fois, le modèle macroscopique de la cosmologie homogène isotropique (considérant l'Univers en tant que poussière de galaxies), les valeurs expérimentales fiables actuelles de quelques constantes fondamentales et les deux équations de Friedmann - Einstein pour établir correctement l'âge, l'étendue et l'énergie totale de notre Univers. En se basant ensuite sur des résultats issus de la Statistique quantique, on montre que seules l'énergie E , la constante électromagnétique ke^2 , la caractéristique de Boltzmann $K_B T$ et la vitesse de la lumière c (auxquelles on ajoute une constante quantique A) sont des constantes universelles indépendantes du temps; les autres constantes fondamentales (La constante gravitationnelle G , la constante de Planck \hbar , le facteur de la force électromagnétique α et le paramètre de courbure $K(t)$) sont en fait dépendantes du temps. Notons, en passant, que ce fait ajoute une perspective nouvelle au processus de quantification indiquant ses limites et son aspect relatif. Finalement, on établit des relations impliquant ces différentes constantes montrant clairement l'unité de toutes les théories de la Physique : L'électromagnétisme, la relativité générale, la Physique quantique, la thermodynamique et la Mécanique de Newton - Lagrange - Hamilton et conduisant à l'unification des forces fondamentales de la Nature. Tous nos résultats sont conformes aux résultats bien confirmés de la Physique classique et moderne. Cependant, on enregistre certaines déviations par rapport à des résultats approximatifs prévus, jusqu'ici, d'une façon générale (et parfois hypothétique) sans, pour autant, être rigoureusement établis et qui sont loins de faire l'unanimité de la communauté scientifique.

Notre modèle confirme clairement que les lois de l'Univers et de son expansion sont gouvernées par la théorie (légèrement révisée) de la relativité générale d'Einstein.

En fin de compte, nous pensons que, pour aller plus loin dans notre compréhension de l'Univers nous devrions marier la théorie à la pratique, les Mathématiques à la Physique en y ajoutant un peu d'imagination, de philosophie et de confiance en nos aptitudes dans l'avenir.

Table de matières

1. Isométries et repères mobiles.....	12
2. Modélisation mathématique de l'expansion de l'Univers.....	19
3. Tensorialité générale du changement de repère.....	34
4. Modélisation physico-mathématique de l'Univers en expansion.....	42
5. Matière, Énergie, Masse et Trous noirs.....	63
6. Énergie, Pseudo-ondes et Fréquences.....	77
7. Répercussions sur la Physique moderne.....	86
8. The limits of Quantum theory.....	106
9. Matière, antimatière et forces fondamentales.....	133
10. La relativité générale revue et simplifiée.....	152
11. Introduction à une Cosmologie révisée.....	165
12. Constantes fondamentales de la Physique moderne.....	179
13. Commentaires et problèmes ouverts.....	186

1 Isométries et repères mobiles

Signalons pour commencer que les trois premiers paragraphes de cet article sont consacrés à établir certaines propriétés de tensorialité concernant les changements de repères mobiles et à construire un modèle mathématique (purement théorique) de la création de l'espace. Cet espace est en réalité rempli simultanément par l'Univers physique (réel) dont la modélisation va être accomplie progressivement au cours des paragraphes suivants. Le modèle définitif caractérisé par la métrique physique réelle $g_t(X)$ ne sera achevé qu'au cours du septième paragraphe lorsqu'on introduit le facteur qui consiste en la dualité température-pression. La métrique introduite auparavant constitue une approximation raisonnable de la vraie métrique sur des intervalles de temps finis $[t_0, t]$ pour $t_0 \gg 1$.

On suppose qu'il existe sur \mathbb{R}^3 une famille de métriques riemanniennes g_t , continûment différentiable par rapport à $t \in]0, \infty[$ (ce qui sera le cas pour tous les objets mathématiques indexés par t dans la suite) et que, pour un t_0 fixé, il existe une famille d'isométries $\phi_{(t_0, t)} =: \phi_t$ de (\mathbb{R}^3, g_{t_0}) sur (\mathbb{R}^3, g_t) . Supposons, qu'à l'instant $t = t_0$, \mathbb{R}^3 est repéré à l'aide d'un repère $\mathcal{R}_0(t_0)$ et

considérons un repère mobile $\mathcal{R}(t)$ coïncidant à l'instant $t = t_0$ avec un repère $\mathcal{R}(t_0)$ ayant la même origine que $\mathcal{R}_0(t_0)$ et dont l'origine décrit une courbe $a_0(t)$ (dans le repère $\mathcal{R}_0(t_0)$) et effectuant en même temps une famille continue de transformations A_t (par rapport à $\mathcal{R}_0(t_0)$). Un modèle de cette situation sera étudié avec plusieurs conséquences dans le deuxième paragraphe de cet article. Considérons enfin une particule mobile coïncidant à l'instant $t = t_0$ avec l'origine du repère $\mathcal{R}_0(t_0)$ et supposons que sa trajectoire est décrite (dans le repère $\mathcal{R}_0(t_0)$) par $x_0(t)$, pour $t \geq t_0$.

Pour $t_1 > t_0$ et $t_0 \leq t \leq t_1$, posons

$$\begin{aligned} y_0(t) &= \phi_{t_1}(x_0(t)), \\ b_0(t) &= \phi_{t_1}(a_0(t)), \\ u_0(t) &= \phi_t(x_0(t)) \end{aligned} \quad (\mathcal{R}_0)$$

et

$$\alpha_0(t) = \phi_t(a_0(t))$$

et notons $x_1(t)$, $y_1(t)$, $\alpha_1(t)$ et $u_1(t)$ les nouvelles coordonnées des courbes $x_0(t)$, $y_0(t)$, $\alpha_0(t)$ et $u_0(t)$ dans le repère $\mathcal{R}(t_1)$ d'origine $b_0(t_1) = \alpha_0(t_1) = \phi_{t_1}(a_0(t_1))$ (voir figure 1).

Ainsi, pour $t_0 \leq t \leq t_1$, on a :

$$\begin{aligned} x_0(t) - b_0(t_1) &= A_{t_1}.x_1(t), \\ y_0(t) - b_0(t_1) &= A_{t_1}.y_1(t), \end{aligned} \quad (\mathcal{R}_1)$$

d'où

$$y_1(t) - x_1(t) = A_{t_1}^{-1}(y_0(t) - x_0(t))$$

et

$$y_1(t_1) - x_1(t_1) = A_{t_1}^{-1}(y_0(t_1) - x_0(t_1)) = A_{t_1}^{-1}.u_0(t_1) - A_{t_1}^{-1}.x_0(t_1)$$

et par suite

$$\begin{aligned} u_1(t_1) &= x_1(t_1) + A_{t_1}^{-1}.u_0(t_1) - A_{t_1}^{-1}.x_0(t_1) \\ &= x_1(t_1) + A_{t_1}^{-1}.u_0(t_1) - A_{t_1}^{-1}.b_0(t_1) - x_1(t_1) \\ &= A_{t_1}^{-1}(u_0(t_1) - b_0(t_1)), \end{aligned}$$

puisque l'on a (en utilisant (\mathcal{R}_0) et (\mathcal{R}_1)) : $u_0(t_1) = y_0(t_1)$, $u_1(t_1) = y_1(t_1)$ et $x_0(t_1) = b_0(t_1) + A_{t_1}.x_1(t_1)$.

Cette relation s'écrit aussi

$$u_1(t_1) - \alpha_1(t_1) = A_{t_1}^{-1}(u_0(t_1) - \alpha_0(t_1))$$

puisque $\alpha_1(t_1) = 0$.

Ainsi, pour tout $t \geq t_0$, on a la formule de changement de coordonnées décrivant le passage du repère $\mathcal{R}_0(t_0)$ au repère mobile $\mathcal{R}(t)$:

$$u(t) - \alpha(t) = A_t^{-1}(u_0(t) - \alpha_0(t)). \quad (1)$$

Ici, $u_0(t)$ et $\alpha_0(t)$ désignent respectivement les trajectoires dans $\mathcal{R}_0(t_0)$ de la particule et de l'origine du repère mobile $\mathcal{R}(t)$ dans l'espace \mathbb{R}^3 muni, à tout instant $t \geq t_0$, de la métrique variable g_t i.e. dans $(\mathbb{R}_t^3, g_t)_{t \geq t_0}$, tandis que $u(t)$ et $\alpha(t) = 0$ désignent les vecteurs coordonnées des trajectoires $u_0(t)$ et $\alpha_0(t)$ dans le repère mobile $\mathcal{R}(t)$.

On en déduit (en utilisant (1))

$$u'(t) - \alpha'(t) = A_t^{-1}(u'_0(t) - \alpha'_0(t)) + (A_t^{-1})'(u_0(t) - \alpha_0(t)) \quad (2)$$

ou aussi (en utilisant (1) de nouveau) :

$$u'(t) = A_t^{-1}(u'_0(t) - \alpha'_0(t)) + (A_t^{-1})' \circ A_t(u(t)) \quad (2')$$

. En particulier, si le mouvement du repère $\mathcal{R}(t)$ est uniforme par rapport à $\mathcal{R}_0(t_0)$ (i.e. $\alpha'_0(t) = \vec{V}_0$ et $A_t = A_{t_0} =: A$ pour tout $t \geq t_0$), alors on a :

$$u'(t) = A^{-1}(u'_0(t) - \vec{V}_0)$$

et si de plus $\phi_t = Id_{\mathbb{R}^3}$, alors on obtient

$$x'(t) = A^{-1}(x'_0(t) - \vec{V}_0)$$

et

$$x''(t) = A^{-1}.x''_0(t)$$

i.e.

$$\Gamma(t) = A^{-1}.\Gamma_0(t),$$

où l'on a désigné par $x(t)$ les coordonnées de $x_0(t)$ dans le repère mobile $\mathcal{R}(t)$. En prenant $A = Id_{\mathbb{R}^3}$, on obtient

$$x'(t) = x'_0(t) - \vec{V}_0$$

et

$$x''(t) = x''_0(t)$$

i.e.

$$\Gamma(t) = \Gamma_0(t).$$

D'autre part, si $a_0(t) = 0 = \alpha_0(t)$ pour tout $t \geq t_0$, alors on obtient d'après (2') et (1) :

$$u'(t) = A_t^{-1}.u'_0(t) + (A_t^{-1})'.u_0(t), \quad (2'')$$

et si de plus $A_t \equiv A$, alors on a $\mathcal{R}(t) = A\mathcal{R}_0(t_0)$ pour tout $t \geq t_0$ et on obtient

$$u'(t) = A^{-1}.u'_0(t),$$

et finalement, si on suppose de plus que $\phi_t = Id_{\mathbb{R}^3}$, on a

$$x'(t) = A^{-1}.x'_0(t)$$

et bien évidemment

$$\Gamma(t) = A^{-1}.\Gamma_0(t).$$

Un nouvel opérateur de dérivation par rapport au temps

Dans le cas général, posons

$$v_0(t) = u_0(t) - \alpha_0(t)$$

et

$$v(t) = u(t) - \alpha(t) = u(t),$$

ainsi on a

$$\frac{d}{dt}v_0(t) = \frac{d}{dt}u_0(t) - \frac{d}{dt}\alpha_0(t).$$

Posons

$$\frac{d_1}{dt}v(t) = \frac{d}{dt}v(t) - (A_t^{-1})'(u_0(t) - \alpha_0(t)) \quad (d_1)$$

$$\left(= \frac{d}{dt}v(t) - (A_t^{-1})' \circ A_t.v(t), \text{ d'après la relation (1)} \right).$$

La relation (2) montre alors que l'on a :

$$\frac{d_1}{dt}v(t) = A_t^{-1}\left(\frac{d}{dt}v_0(t)\right) = A_t^{-1}\left(\frac{d_1}{dt}v_0(t)\right), \quad (3)$$

puisque $\frac{d_1}{dt}$ coïncide avec $\frac{d}{dt}$ pour les coordonnées dans $R_0(t_0)$.

Cette formule montre la tensorialité du changement de coordonnées relatif au changement de repère pour le "vecteur vitesse" défini par cette dérivation qui tient compte de la vitesse de l'origine du repère mobile et de sa rotation.

De même, concernant le "vecteur accélération" défini à partir de ce vecteur vitesse et de la métrique variable g_t , on a :

$$\nabla_{\frac{d_1}{dt}v(t)}^{g_t} \frac{d_1}{dt}v(t) = \nabla_{A_t^{-1} \cdot \frac{d_1}{dt}v_0(t)}^{g_t} A_t^{-1} \cdot \frac{d_1}{dt}v_0(t) = \nabla_{A_t^{-1} \cdot \frac{d}{dt}v_0(t)}^{g_t} A_t^{-1} \cdot \frac{d}{dt}v_0(t).$$

Si $A_t = A$ pour $t \geq t_0$, on obtient (d'après la définition (d_1))

$$\frac{d_1}{dt}v(t) = \frac{d}{dt}v(t)$$

et

$$\nabla_{\frac{d}{dt}v(t)}^{g_t} \frac{d}{dt}v(t) = \nabla_{A^{-1} \cdot \frac{d}{dt}v_0(t)}^{g_t} A^{-1} \cdot \frac{d}{dt}v_0(t) \quad (4)$$

et si de plus $\alpha'_0(t) = 0$, alors on a

$$\frac{d_1}{dt}u(t) = A^{-1} \cdot \frac{d_1}{dt}u_0(t) = A^{-1} \cdot \frac{d}{dt}u_0(t)$$

et

$$\nabla_{\frac{d}{dt}u(t)}^{g_t} \frac{d}{dt}u(t) = \nabla_{A^{-1} \cdot \frac{d}{dt}u_0(t)}^{g_t} A^{-1} \cdot \frac{d}{dt}u_0(t)$$

qui s'écrit

$$\nabla_{u'(t)}^{g_t} u'(t) = \nabla_{A^{-1} \cdot u'_0(t)}^{g_t} A^{-1} \cdot u'_0(t). \quad (5)$$

Si l'on suppose maintenant que les métriques g_t sont plates, alors on obtient, en utilisant (4) et (5) successivement :

$$v''(t) = \nabla_{v'(t)}^{g_t} v'(t) = \nabla_{(A^{-1} \cdot v_0(t))'}^{g_t} (A^{-1} \cdot v_0(t))' = A^{-1} \cdot v_0''(t)$$

et

$$u''(t) = A^{-1} \cdot u_0''(t) \quad (6)$$

et finalement, pour $\phi_t = Id_{\mathbb{R}^3}$, on obtient

$$x''(t) = \nabla_{x'(t)}^{g_{t_0}} x'(t) = \nabla_{A^{-1} \cdot x'_0(t)}^{g_{t_0}} A^{-1} \cdot x'_0(t) = A^{-1} \cdot x_0''(t), \quad (7)$$

relation qui s'écrit

$$\Gamma(t) = A^{-1} \cdot \Gamma_0(t).$$

Remarquons que les relations (6) et (7) restent vraies si l'on suppose seulement que $A_t \equiv A$, g_t est à courbure nulle et que $\alpha_0(t)$ (resp. $a_0(t)$) est une géodésique. Par conséquent si l'on suppose de plus que $u_0(t)$ (resp. $x_0(t)$) est une géodésique, alors il en est de même pour $u(t)$ (resp. $x(t)$).

Plus généralement, considérons deux repères mobiles $\mathcal{R}_1(t)$ et $\mathcal{R}_2(t)$ provenant tous les deux du repère $\mathcal{R}_0(t_0)$ de la même façon que le repère $\mathcal{R}(t)$ ci-dessus. En utilisant les notations évidentes suivantes (semblables à celles utilisées plus haut),

$$\begin{aligned}v_0(t) &= u_0(t) - \alpha_0(t), \\w_0(t) &= u_0(t) - \beta_0(t), \\u_1(t) &= v_1(t) \text{ (coord. de } v_0(t) \text{ dans } \mathcal{R}_1(t)), \\u_2(t) &= w_2(t) \text{ (coord. de } w_0(t) \text{ dans } \mathcal{R}_2(t)),\end{aligned}$$

$$\frac{d_1}{dt}u_1(t) = \frac{d}{dt}u_1(t) - (A_t^{-1})' \circ A_t \cdot u_1(t),$$

$$\frac{d_2}{dt}u_2(t) = \frac{d}{dt}u_2(t) - (B_t^{-1})' \circ B_t \cdot u_2(t),$$

on obtient

$$\frac{d_1}{dt}u_1(t) = A_t^{-1} \cdot \frac{d}{dt}v_0(t)$$

et

$$\begin{aligned}\frac{d_2}{dt}u_2(t) &= B_t^{-1} \cdot \frac{d}{dt}w_0(t) = B_t^{-1} \cdot \frac{d}{dt}(u_0(t) - \beta_0(t)) = B_t^{-1} \cdot \frac{d}{dt}(v_0(t) + \alpha_0(t) - \beta_0(t)) \\&= B_t^{-1} \cdot \frac{d}{dt}(v_0(t)) + B_t^{-1} \cdot \frac{d}{dt}(w_0(t) - v_0(t)).\end{aligned}$$

D'où (en utilisant (3), qui implique $\frac{d}{dt}v_0(t) = A_t \cdot \frac{d_1}{dt}u_1(t)$)

$$\begin{aligned}\frac{d_2}{dt}u_2(t) &= B_t^{-1} \circ A_t \cdot \frac{d_1}{dt}u_1(t) + B_t^{-1} \cdot \frac{d}{dt}(w_0(t) - v_0(t)) \\&= B_t^{-1} \circ A_t \cdot \frac{d_1}{dt}u_1(t) + B_t^{-1} \cdot \frac{d}{dt}(\alpha_0(t) - \beta_0(t))\end{aligned} \quad (8)$$

Pour $\alpha'_0(t) = \beta'_0(t)$, on obtient

$$\frac{d_2}{dt}u_2(t) = B_t^{-1} \circ A_t \cdot \frac{d_1}{dt}u_1(t)$$

et

$$\nabla_{\frac{d_2}{dt}u_2(t)}^{gt} \frac{d_2}{dt}u_2(t) = \nabla_{B_t^{-1} \circ A_t \cdot \frac{d_1}{dt}u_1(t)}^{gt} B_t^{-1} \circ A_t \cdot \frac{d_1}{dt}u_1(t).$$

Si on suppose toujours que $\alpha'_0(t) = \beta'_0(t)$ et que $A_t = A$ et $B_t = B$ pour tout t , on obtient

$$\frac{d}{dt}u_2(t) = B^{-1} \circ A \cdot \frac{d}{dt}u_1(t)$$

i.e.

$$u'_2(t) = B^{-1} \circ A.u'_1(t)$$

et

$$\nabla_{u'_2(t)}^{g_t} u'_2(t) = \nabla_{(B^{-1} \circ A.u_1(t))'}^{g_t} (B^{-1} \circ A.u_1(t))'.$$

Si g_t est de plus à courbure nulle, on obtient

$$u''_2(t) = B^{-1} \circ A.u''_1(t).$$

Finalement, si on suppose que $A_t = A$, $B_t = B$, $a'_0(t) = b'_0(t)$ et $\phi_t = Id_{\mathbb{R}^3}$ pour tout $t \geq t_0$, alors on obtient évidemment

$$x'_2(t) = B^{-1} \circ A.x'_1(t)$$

et

$$x''_2(t) = B^{-1} \circ A.x''_1(t)$$

i.e.

$$\Gamma_2(t) = B^{-1} \circ A.\Gamma_1(t),$$

où l'on a désigné par $x_1(t)$ et $x_2(t)$ respectivement les coordonnées de $x_0(t)$ dans les deux repères mobiles $\mathcal{R}_1(t)$ et $\mathcal{R}_2(t)$. Remarquons que, pour obtenir les relations $u''_2(t) = B^{-1} \circ A.u''_1(t)$ (resp. $x''_2(t) = B^{-1} \circ A.x''_1(t)$), il suffit que $\alpha_0(t)$ et $\beta_0(t)$ (resp. $a_0(t)$ et $b_0(t)$) soient des géodésiques pour la métrique plate. Si $u_1(t)$ (resp. $x_1(t)$) est de plus une géodésique, il en est de même pour $u_2(t)$ (resp. $x_2(t)$).

Ces dernières relations montrent la tensorialité du vecteur accélération vis à vis de changements de repères à vitesses égales ou à vitesses constantes et se déduisant l'un de l'autre à l'aide d'une transformation linéaire constante.

Si l'on suppose maintenant que les transformations A_t et B_t sont des isométries de (\mathbb{R}^3, g_t) et si $\alpha'_0(t) = \beta'_0(t)$, on obtient (d'après la relation (8))

$$\left\| \frac{d_2}{dt} u_2(t) \right\|_{g_t} = \left\| \frac{d_1}{dt} u_1(t) \right\|_{g_t}.$$

Si de plus, on a $A_t = A$ et $B_t = B$ pour $t \geq t_0$, alors on a nécessairement

$$g_t = g_{t_0},$$

$$\| u'_2(t) \|_{g_{t_0}} = \| u'_1(t) \|_{g_{t_0}}$$

et

$$\| \tilde{\Gamma}_2(t) \|_{g_{t_0}} = \| \tilde{\Gamma}_1(t) \|_{g_{t_0}}$$

où

$$\tilde{\Gamma}_2(t) := u_2''(t) \quad \text{et} \quad \tilde{\Gamma}_1(t) := u_1''(t).$$

Et finalement, dans le cas où $\phi_t = Id_{\mathbb{R}^3}$, on obtient bien évidemment

$$\|x_2'(t)\|_{g_{t_0}} = \|x_1'(t)\|_{g_{t_0}} = \|x_0'(t)\|_{g_{t_0}}$$

et

$$\|x_2''(t)\|_{g_{t_0}} = \|x_1''(t)\|_{g_{t_0}} = \|x_0''(t)\|_{g_{t_0}}$$

i.e.

$$\|\Gamma_2(t)\|_{g_{t_0}} = \|\Gamma_1(t)\|_{g_{t_0}} = \|\Gamma_0(t)\|_{g_{t_0}}.$$

2 Modélisation mathématique de l'expansion de l'Univers

Considérons une fonction $\lambda \in C^0([0, \infty[)$ qui vérifie les propriétés suivantes :

1. $\lambda \in C^2(]0, \infty[)$,
2. $\lambda(t) \neq 0$, pour $t \in [0, \infty[$.

considérons ensuite, pour $t \geq 0$, la métrique définie sur \mathbb{R}^3 par :

$$g_t := \frac{1}{\lambda^2(t)} g_e,$$

et l'application de \mathbb{R}^3 dans \mathbb{R}^3 définie par :

$$\phi_t = \lambda(t) Id_{\mathbb{R}^3}.$$

On a alors

$${}^t\phi_t \circ g_t \circ \phi_t = g_e$$

et par suite $\phi_t : (\mathbb{R}^3, g_e) \longrightarrow (\mathbb{R}^3, g_t)$ est une isométrie.

Considérons enfin, dans (\mathbb{R}^3, g_e) muni d'un repère orthonormé euclidien $(O, \vec{i}, \vec{j}, \vec{k})$, la géodésique $exp_O(t\vec{V}_0)$, pour $\vec{V}_0 \in \mathbb{R}^3$, qu'on peut considérer comme étant l'axe des abscisses Ox paramétré par $t \longrightarrow x(t) = v_0 t$, où $v_0 = \|\vec{V}_0\|_{g_e}$. Posons, pour $t \geq 0$, $U(t) = \phi_t(t\vec{V}_0)$, relation qu'on va noter abusivement

$$u(t) = \phi_t(tv_0).$$

En supposant de plus que $v_0 = 1$, on va noter

$$u(t) = \phi_t(t) = t\lambda(t)$$

la trajectoire dans $(\mathbb{R}^3_t, g_t)_{t \geq 0}$ d'une particule se trouvant à l'instant $t = 0$ à l'origine O .

Dans ces conditions on a, pour $t > 0$:

$$u'(t) = t\lambda'(t) + \lambda(t)$$

et

$$\tilde{\Gamma}(t) := \nabla_{u'(t)}^{g_t} u'(t) = \frac{d}{dt} u'(t) = u''(t) = t\lambda'' + \lambda' + \lambda' = t\lambda'' + 2\lambda'.$$

Désignons par m la masse d'une particule matérielle fondamentale, qu'on peut supposer (pour le moment) indépendante du temps (bien que le volume dépend évidemment de g_t).

Remarque : Signalons quand même qu'une particule de masse m non nulle aussi petite qu'elle soit ne peut circuler en réalité qu'à une vitesse euclidienne $v < 1$ bien que sa vitesse (supposée constante) peut atteindre toute valeur aussi proche de 1 que l'on veut.

Posons ensuite $F(t) = m\tilde{\Gamma}(t)$ et désignons par $E(t)$ une primitive de la fonction $g_t(m\tilde{\Gamma}(t), u'(t))$ i.e.

$$\frac{dE}{dt} = E'(t) = g_t(m\tilde{\Gamma}(t), u'(t)).$$

Considérons finalement l'équation différentielle

$$g_t(m\tilde{\Gamma}(t), u'(t)) = g_e(m\Gamma(t), x'(t)) \equiv 0,$$

où $\Gamma(t) = x''(t) = 0$. Cette équation s'écrit

$$\frac{1}{\lambda^2(t)} m u''(t) u'(t) \equiv 0$$

ou

$$u''(t) u'(t) \equiv 0$$

ou encore

$$(t\lambda'' + 2\lambda')(t\lambda' + \lambda) = 0 \quad (E)$$

Toute solution λ de (E) vérifiant les conditions prérequisées fournira, en quelque sorte, une généralisation à l'espace \mathbb{R}^3 muni de la métrique variable g_t , des lois fondamentales de la Mécanique classique.

Montrons que l'ensemble de ces solutions n'est autre que l'ensemble des constantes non nulles.

En effet, la relation $u''(t)u'(t) = 0$ implique nécessairement $\frac{1}{2}\frac{d}{dt}u'^2(t) = 0$ et par suite $u'^2(t) = C^2$ et $|u'(t)| = C$. Or C ne peut pas être nulle, puisque

$$\begin{aligned} u' = 0 &\Rightarrow t\lambda' + \lambda = 0 \Rightarrow \frac{\lambda'}{\lambda} = \frac{-1}{t}, \text{ pour } t > 0 \\ &\Rightarrow \ln \frac{\lambda}{C_1} = -\ln t = \ln \frac{1}{t} \Rightarrow \lambda = \frac{C_1}{t}, \end{aligned}$$

ce qui contredit notre hypothèse sur la régularité à l'origine de λ . L'équation (E) est donc équivalente, sur $]0, \infty[$, à

$$t\lambda'' + 2\lambda' = 0 \quad (E').$$

Supposons donc que l'on a une solution locale qui n'est pas identiquement égale à une constante non nulle et supposons que l'on a, par exemple, $\lambda(1) = a > 0$ et $\lambda'(1) = b > 0$. considérons alors la solution analytique λ de l'équation (E') vérifiant ces mêmes conditions initiales et définie sur un voisinage de $t = 1$. Cette solution est en fait définie sur $]0, \infty[$, puisque pour $t_0 > 0$, l'équation (E') montre que $\lambda'(t_0) = 0 \Leftrightarrow \lambda''(t_0) = 0$; ce qui montre que s'il existe un tel t_0 , alors la seule solution de (E') sur $]0, \infty[$ est $\lambda \equiv \lambda(t_0) = \lambda(1)$ qui implique $\lambda'(1) = 0$, ce qui est absurde. Ceci prouve aussi que λ' et λ'' ne peuvent pas s'annuler sur $]0, \infty[$. Ainsi l'équation (E') est équivalente sur $]0, \infty[$ à

$$\begin{aligned} t\lambda'' = -2\lambda' &\Leftrightarrow \frac{\lambda''}{\lambda'} = \frac{-2}{t} \Leftrightarrow \int_1^t \frac{\lambda''}{\lambda'} ds = - \int_1^t \frac{2}{s} ds \\ &\Rightarrow \ln \lambda'(t) - \ln b = -2\ln t = \ln \frac{1}{t^2} \\ &\Rightarrow \lambda'(t) = \frac{b}{t^2} \Rightarrow \lambda(t) = \frac{-b}{t} + c \end{aligned}$$

avec $c = a + b$.

b étant $\neq 0$, cette solution $\lambda(t)$ n'est pas prolongeable, non seulement en une fonction continue sur $[0, \infty[$, mais aussi en une distribution sur $[0, \infty[$. On obtient la même contradiction en supposant que $\lambda'(1) = b < 0$.

Par conséquent, les seules familles g_t et ϕ_t vérifiant ces conditions sont définies par $g_t = \frac{1}{\lambda^2}g_e$ et $\phi_t = \lambda Id_{\mathbb{R}^3}$ pour $t \geq 0$ et une constante $\lambda \neq 0$.

En posant $\lambda = 1$, déterminant ainsi une échelle privilégiée et une métrique riemannienne, on obtient $g_t = g_e$ et $\phi_t = Id_{\mathbb{R}^3}$ pour tout $t \geq 0$. A l'aide de ce choix naturel, on obtient $u'(t) = 1$ pour tout $t \geq 0$. Cette dernière propriété s'écrit $u' = H$ (fonction de Heaveside).

Ainsi, on montré que toute métrique riemannienne g sur \mathbb{R}^3 appartenant à

la classe conforme de la métrique euclidienne g_e et vérifiant les lois fondamentales de la Mécanique ($F = m\tilde{\Gamma}$ et $\frac{dE}{dt} = g(F, u')$) est, à une constante positive près, la métrique euclidienne elle-même. Choisir cette constante égale à 1 revient à fixer une échelle donnée pour toutes les grandeurs physiques. Cette métrique caractérise toute région de l'Univers physique réel supposé vide et à l'abri de toute influence de la matière. Celle-ci modifie les distances et les volumes euclidiens et crée la métrique physique (réelle) qui contracte ces derniers et qui sera construite le long des chapitres suivants.

Conséquences

D'après ce qui précède, on peut assimiler l'Univers spatial à l'instant $t_0 > 0$ en tant qu'espace géométrique virtuel vide, à la boule euclidienne de rayon $R(t_0) = \int_0^{t_0} \|u'(r)\|_{g_r} dr = t_0$, muni de la norme euclidienne g_e :

$$U(t_0) := (B(O, t_0), g_e),$$

et on peut prendre la boule euclidienne $B(0, 1)$ munie de la métrique variable $g_t := t^*g_e := t^2g_e$ comme modèle de l'Univers en expansion en tant qu'espace géométrique virtuel (à l'instant $t > 0$) :

$$U_1(t) := (B(O, 1), t^2g_e).$$

Ici l'application $X \rightarrow t_0X$ est une isométrie de $U_1(t_0)$ sur $U(t_0)$ pour tout $t_0 > 0$.

Les propriétés $u = tH$, $u' = H$ et $\Gamma = u'' = \delta$ (mesure de Dirac sur \mathbb{R}_+) se généralisent à \mathbb{R}^3 , pour $X(t) = t\vec{V}$ ($t \geq 0$ et $\vec{V} \in \mathbb{R}^3$ avec $\|\vec{V}\|_{g_e} = 1$), sous la forme

$$t = |X(t)| := \|X(t)\|_{g_e} = d(O, X(t)),$$

$$u' = 1 \text{ sur la demi-droite } t\vec{V},$$

$$u = Id_{t\vec{V}} \text{ et } u(t) = |X(t)| = t,$$

$$\Gamma_{t\vec{V}} = \delta_{t\vec{V}} \text{ (mesure de Dirac sur la demi-droite } t\vec{V}\text{)}.$$

Elles peuvent être formulées ainsi :

Le temps est la distance euclidienne.

La vitesse est l'unité de temps et de distance.

L'accélération $\Gamma_{t\vec{V}}$ est le potentiel du mouvement dans la direction $t\vec{V}$ concentré à l'origine du temps et de l'espace.

$E_0 = m_0$ est l'énergie (ou la masse) potentielle originelle, perpétuelle et éternelle.

$F = m_0\Gamma_{t\vec{V}} = m_0\delta_{t\vec{V}}$ est l'énergie (ou la masse) originelle m_0 animée du potentiel du mouvement dans la direction de \vec{V} .

Notons que ces énoncés sont valables dans le cadre d'une approche purement théorique de l'expansion réelle de l'Univers physique. Ils décrivent seulement la création de l'espace géométrique vide et ils peuvent être, en fait, utilisés en tant qu'une macro-approximation de l'Univers physique newtonien. Dans la suite de ce paragraphe, nous allons développer des résultats allant dans ce sens plutôt virtuel que réel.

Notons aussi que, pour étudier (dans le contexte précisé ci-dessus) un évènement ou un mouvement se déroulant entre un temps t_1 et un temps t_2 , on peut utiliser l'un ou l'autre des modèles suivants :

$$(B(O, 1), t^2g_e) \quad t_1 \leq t \leq t_2,$$

$$(B(O, t_1), \frac{t^2}{t_1^2}g_e) \quad t_1 \leq t \leq t_2,$$

$$(B(O, t_2), \frac{t^2}{t_2^2}g_e) \quad t_1 \leq t \leq t_2.$$

Ainsi, si le mouvement réel d'une particule de masse m se traduit, pour $0 < t \leq T$, par la trajectoire $X(t)$, dans $(B(O, T), g_e)$, alors il correspond au mouvement dont la trajectoire est $u(t) = \frac{1}{T}X(t)$ dans $(B(O, 1), g_T) := (B(O, 1), T^2g_e)$ qui est, à l'instant T et d'un point de vue statique (i.e. considérant l'Univers comme étant figé à l'instant T), isométrique à $(B(O, T), g_e)$.

Par isométrie, la vitesse dans $(B(O, 1), T^2g_e)$ est $u'(t) = \frac{X'(t)}{T}$, de norme $\sqrt{g_T(u'(t), u'(t))} = \|X'(t)\|_{g_e}$ et d'accélération $u''(t) = \frac{X''(t)}{T}$.

La variation de son énergie cinétique, entre $t = t_1$ et $t = t_2$, est

$$\begin{aligned} \Delta E_c &= \int_{t_1}^{t_2} g_T(mu''(t), u'(t))dt = \int_{t_1}^{t_2} mX''(t) \cdot X'(t)dt \\ &= \frac{1}{2} \int_{t_1}^{t_2} m \frac{d}{dt} (X'(t))^2 dt = \frac{1}{2} m (X'(t_2)^2 - X'(t_1)^2). \end{aligned}$$

En particulier, si $X(t) = t\vec{V}_1$, alors on a $u(t) = \frac{t}{T}\vec{V}_1$ et $u'(t) = \frac{\vec{V}_1}{T}$. Les coordonnées (dans le repère euclidien de la boule unité) de la particule sont

les composantes du vecteur $\frac{t}{T}\vec{V}_1 =: \frac{t}{T}(x_1, y_1, z_1)$, mais sa distance, dans $(B(O, 1), g_T)$, à l'origine est donnée, à l'instant t , par :

$$\int_0^t \sqrt{g_T(u'(s), u'(s))} ds = \int_0^t \|\vec{V}_1\|_{g_e} ds =: v_1 t;$$

son accélération est $u''(t) = 0$ et son énergie cinétique est constante. Il est clair que l'on doit avoir $\|\vec{V}_1\|_{g_e} = v_1 < 1$. Quand au mouvement de la particule correspondant à l'expansion traduit par $X(t) = t\vec{V}$ avec $\|\vec{V}\|_{g_e} = 1$, alors on constate que celle-ci se trouve, à l'instant $t = T$, sur $S(O, 1)$ à une distance T de l'origine (lorsqu'elle est mesurée par g_T) et sa vitesse est de norme

$$\sqrt{g_T\left(\frac{\vec{V}}{T}, \frac{\vec{V}}{T}\right)} = \|\vec{V}\|_{g_e} = 1.$$

Remarquons aussi que l'on a (pour l'Univers statique à l'instant t) :

$$vol(U_1(t)) = \frac{4\pi t^3}{3} = vol(U(t)).$$

Par ailleurs, lorsque le mouvement est rectiligne et à vitesse constante dans $U(T)$, alors il est donné par

$$X(t) = a + (t - t_0)\vec{V}_1$$

et on a $X'(t) = \vec{V}_1$ et le mouvement dans $U_1(T)$ s'écrit sous la forme

$$u(t) = \frac{a}{T} + \frac{t - t_0}{T}\vec{V}_1$$

et la vitesse est $u'(t) = \frac{\vec{V}_1}{T}$.

D'un point de vue dynamique (i.e. tenant compte de l'expansion basée sur l'évolution du temps), la situation n'est pas la même. L'Univers en mouvement est alors assimilé à la variété (riemannienne) $B(O, 1)$ muni, pour $t > 0$, de la famille de métriques $g_t = t^2 g_e$:

$$(U_t(t))_{t>0} = (B(O, 1), g_t)_{t>0}$$

qui exprime le fait qu'à chaque instant $t_0 > 0$, l'Univers $U_t(t)$ se réduit à

$$U_{t_0}(t_0) := U_1(t_0) = (B(O, 1), t_0^2 g_e) \simeq B(O, t_0), g_e).$$

Le mouvement correspondant à $X(t) = t\vec{V}_0$, pour $t \geq 0$, se traduit alors dans $(U_t(t))_{t>0}$ par $u(t) = \vec{V}_0$ pour tout t , définissant ainsi un point fixe dans $B(O, 1)$ qui se trouverait sur $S(O, 1)$ lorsque $\|\vec{V}_0\|_{g_e} = 1$. Pour déterminer le rayon $R_1(t)$ et le volume $V_1(t)$ correspondant à l'Univers en expansion $(U_s(s))_{0<s\leq t} = (B(O, 1), g_s)_{0<s\leq t}$, considérons les courbes paramétrées par

$$\begin{aligned} X : [0, t] &\longrightarrow B(O, t) \\ s &\longrightarrow X(s) = s\vec{V} \end{aligned}$$

et

$$\begin{aligned} u : [0, t] &\longrightarrow B(O, 1) \\ s &\longrightarrow u(s) = \frac{s}{t}\vec{V} \end{aligned}$$

à valeurs dans $B(O, t)$ et $B(O, 1)$ respectivement, avec $\|\vec{V}\|_{g_e} = 1$. On a :

$$u'(s) = \frac{\vec{V}}{t}$$

et

$$\|u'(s)\|_{g_t} = \left\| \frac{\vec{V}}{t} \right\|_{g_t} = \|\vec{V}\|_{g_e} = 1,$$

en utilisant l'isométrie $\vec{U} \longrightarrow t\vec{U}$ de $(B(O, 1), g_t)$ sur $(B(O, t), g_e)$. Or en utilisant l'isométrie $\vec{U} \longrightarrow s\vec{U}$ de $(B(O, 1), g_s)$ sur $(B(O, s), g_e)$ pour tout s ; $0 < s \leq t$, on a $\|u'(s)\|_{g_s} = \left\| \frac{\vec{V}}{t} \right\|_{g_s} = \frac{s}{t}$. Ainsi, le rayon $R_1(t)$ de la boule unité $B(O, 1)$ par rapport à la métrique variable $(g_s)_{0<s\leq t}$ (i.e. la distance de O au point de la sphère euclidienne $S(O, 1)$ déterminé par \vec{V}) est donnée par

$$R_1(t) = \int_0^t \frac{s}{t} ds = \frac{1}{t} \left[\frac{s^2}{2} \right]_0^t = \frac{t}{2}.$$

Quand au volume de la boule $B(O, 1)$ par rapport à la métrique variable $(g_s)_{0<s\leq t}$, alors on a :

$$\begin{aligned} V_1(t) &= \int_0^t \text{vol}(S(O, \frac{s}{t}), g_s) ds = \int_0^t s^2 \text{vol}(S(O, \frac{s}{t}), g_e) ds \\ &= \int_0^t 4\pi \frac{s^2}{t^2} s^2 ds = \frac{4\pi}{t^2} \left[\frac{s^5}{5} \right]_0^t = \frac{4\pi t^3}{5}. \end{aligned}$$

(Remarquons que

$$\text{vol}(S(O, s), g_e) = \text{vol}(S(O, 1), g_s) = 4\pi s^2$$

et que

$$\text{vol}(S(O, \frac{s}{t}), g_t) = t^2 4\pi \frac{s^2}{t^2} = 4\pi s^2 = \text{vol}(S(O, s), g_e).$$

Notons que la dépendance de cette famille de métriques en fonction du temps t se traduit par une dépendance radiale d'une métrique unique s'exprimant à l'aide de la distance à l'origine égale au temps t .

Pour un mouvement quelconque se traduisant, dans un repère d'origine $O_1 \in B(O, T)$, par la trajectoire $X(t)$ pour $t_1 \leq t \leq t_2 \leq T$, dans $(B(O, T), g_e)$, alors on a, dans $(U_t(t))_{0 < t \leq T}$,

$$u(t) = \frac{X(t)}{t}$$

et par suite

$$u'(t) = -\frac{1}{t^2}X(t) + \frac{X'(t)}{t}$$

et

$$\nabla_{u'(t)}^{g_t} u'(t) = u''(t) = \frac{2}{t^3}X(t) - \frac{1}{t^2}X'(t) - \frac{1}{t^2}X'(t) + \frac{X''(t)}{t}.$$

D'où

$$\begin{aligned} \|u'(t)\|_{g_t}^2 &= g_t(u'(t), u'(t)) = t^2 \left(\frac{1}{t^4}X(t)^2 - \frac{2}{t^3}X(t).X'(t) + \frac{X'(t)^2}{t^2} \right) \\ &= \frac{1}{t^2}X(t)^2 - \frac{2}{t}X(t).X'(t) + X'(t)^2. \end{aligned}$$

La longueur de cette trajectoire est donc

$$\int_{t_1}^{t_2} \sqrt{g_t(u'(t), u'(t))} dt \approx \int_{t_1}^{t_2} \|X'(t)\|_{g_e} dt,$$

lorsqu'on suppose que t_1 est très grand et $\|X(t)\|_{g_e} \ll t_1$.

La variation de l'énergie cinétique (pour une particule test de masse 1) est donnée par

$$\begin{aligned} \int_{t_1}^{t_2} g_t(u''(t), u'(t)) dt &= \int_{t_1}^{t_2} t^2 g_e \left(-\frac{1}{t^2}X(t) + \frac{X'(t)}{t}, \frac{2}{t^3}X(t) - \frac{2}{t^2}X'(t) + \frac{X''(t)}{t} \right) dt \\ &\approx \int_{t_1}^{t_2} X'(t).X''(t) dt = \frac{1}{2} \int_{t_1}^{t_2} \frac{d}{dt} X'(t)^2 dt = \frac{1}{2} (X'(t_2)^2 - X'(t_1)^2), \end{aligned}$$

pour t_1 très grand.

Si le mouvement est décrit par une géodésique dans $(B(O, t_2), g_e)$:

$$X(t) = a + (t - t_1)\vec{V},$$

alors on a

$$\begin{aligned} u(t) &= \frac{a}{t} + \frac{t - t_1}{t} \vec{V}, \\ u'(t) &= -\frac{a}{t^2} + \frac{t_1}{t^2} \vec{V}, \\ u''(t) &= \frac{2a}{t^3} - \frac{2t_1}{t^3} \vec{V}. \end{aligned}$$

Ainsi, bien que la variation de l'énergie cinétique $\int_{t_1}^{t_2} X'(t).X''(t)dt$ est nulle dans $(B(O, t_2), g_e)$, elle ne l'est pas dans $(U_t(t))_{0 < t \leq t_2}$; elle est égale à

$$\begin{aligned} &\int_{t_1}^{t_2} t^2 \left(-\frac{2a^2}{t^5} + \frac{2t_1 a \cdot \vec{V}}{t^5} + \frac{2t_1 a \cdot \vec{V}}{t^5} - \frac{2t_1^2 V^2}{t^5} \right) dt \\ &\approx -2 \int_{t_1}^{t_2} \frac{t_1^2}{t^3} V^2 dt = -2t_1^2 \left[-\frac{1}{2t^2} \right]_{t_1}^{t_2} V^2 \\ &= t_1^2 \left(\frac{1}{t_1^2} - \frac{1}{t_2^2} \right) V^2 = \left(1 - \frac{t_1^2}{t_2^2} \right) V^2 \approx 0, \end{aligned}$$

pour t_1 et t_2 très grands et assez proches l'un de l'autre.

Signalons que pour les petites valeurs de t et pour t infiniment petit (correspondant au début de la formation de l'Univers), de telles approximations sont aberrantes et une étude spéciale s'impose.

Cependant, pour un hypothétique mouvement originel d'une particule matérielle de masse m décrit par $X(t) = t\vec{V}$ pour $\|\vec{V}\|_{g_e} = V < 1$, on a $X'(t) = \vec{V}$ et $X''(t) = 0$ et par suite

$$E(t) - E(0) = \int_0^t \frac{d}{ds} E(s) ds = \int_0^t g(mX'(s), X''(s)) ds = 0.$$

Par conséquent on a

$$E(t) = E(0) \text{ pour tout } t$$

et l'énergie d'une particule effectuant un tel mouvement est constante.

Considérons ensuite le cas où un émetteur de lumière effectue une trajectoire s'exprimant par $Y(t)$ dans \mathbb{R}^3 muni du repère $\mathcal{R}_0(t_0)$, par exemple, tandis qu'un récepteur décrit une trajectoire s'exprimant par $X(t)$. (fig. 2)

Le rayon émis par l'émetteur qui arrive au récepteur à un instant t_1 est en fait celui qui a été émis par le premier, à un instant $t_0 < t_1$, à partir d'un point $Y(t_0)$ tel que

$$\|X(t_1) - Y(t_0)\|_{g_e} = d = t_1 - t_0.$$

Notons enfin, qu'étant donné que les grandeurs mécaniques et physiques ne sont essentiellement perceptibles et mesurables qu'à partir de repères mouvant par rapport au repère originel et les uns relativement aux autres, on peut évacuer le premier genre de mobilité de la façon suivante :

Si le mouvement d'une particule par rapport au repère originel $(O, \vec{i}, \vec{j}, \vec{k})$ est décrite par le vecteur $\overrightarrow{OM} = X(t)$, celui des deux repères par $a(t)$ et $b(t)$, alors le mouvement de cette particule est décrit dans le premier repère $\mathcal{R}_1(t)$ par le vecteur $\overrightarrow{O_1M} = Y(t) = X(t) - a(t)$ et dans le second $\mathcal{R}_2(t)$ par le vecteur $\overrightarrow{O_2M} = Z(t) = X(t) - b(t)$. La relation entre $Y(t)$ et $Z(t)$ est donnée par

$$Y(t) = Z(t) + b(t) - a(t) = Z(t) + \overrightarrow{O_1O_2}$$

qui donne les relations entre les coordonnées de M dans $\mathcal{R}_2(t)$ et celles de M et de O_2 dans $\mathcal{R}_1(t)$. De même ceci nous permet, lorsqu'il s'agit de vérifier qu'une loi mécanique ou physique s'exprime invariablement dans l'un ou l'autre des deux repères, de supposer que l'un d'eux est fixe ou au repos. Ainsi on peut repérer l'espace ambiant à l'aide de n'importe quel repère euclidien $(O_1, \vec{i}_1, \vec{j}_1, \vec{k}_1)$ où O_1 est un point fictif coïncidant à un instant donné $t_0 > 0$ (l'instant présent par exemple) avec un point donné (sur la terre par exemple). On peut étudier ainsi les phénomènes se produisant jusqu'à l'instant $t > t_0$ dans la partie de l'Univers $(B(O_1, t - t_0), g_e)$ dans le repère $(O_1, \vec{i}_1, \vec{j}_1, \vec{k}_1)$ et le modéliser par $(B(O_1, 1), (t - t_0)^2 g_e)$.

Demi-cône de l'espace-temps

Soit C le demi-cône défini dans \mathbb{R}^4 par

$$C = \{(x, y, z, t) \in \mathbb{R}^4; x^2 + y^2 + z^2 \leq t^2, t \geq 0\} = B(O, t) \times \bigcup_{t \geq 0} \{t\}.$$

Ainsi, si $B(O, t)$ est l'espace géométrique dans lequel "vit" l'Univers physique (réel) à l'instant t , alors C constitue l'espace géométrique à l'intérieur duquel se déroule le processus de l'expansion et la création de l'espace physique qui est intrinsèquement liée au déroulement du temps.

Pour un évènement $P_0 = (x_0, y_0, z_0, t_0) \in C$, $U(t_0)$ est considéré comme étant l'ensemble de tous les évènements P qui se réalisent simultanément avec P_0 i.e. $P = (x, y, z, t_0) \in U(t_0) \times \{t_0\}$. Le futur de P_0 , désigné par $\mathcal{F}(P_0)$, est l'ensemble de tous les évènements $Q \in U(t)$ avec $t \geq t_0$ qui pourraient être situés, à un instant donné $t \geq t_0$, sur une trajectoire d'origine P_0 . L'ensemble $\mathcal{F}(P_0)$ est le demi-cône droit "supérieur" de sommet P_0 et d'angle d'ouverture $\frac{\pi}{2}$. Les points P' de la surface conique de ce demi-cône ne peuvent être

atteints que par des trajectoires formées de lignes droites parcourues à la vitesse 1 joignant le point $P_0 = (x_0, y_0, z_0)_{t_0}$ de $B(O, t_0)$ au point $P' = (x_1, y_1, z_1)_{t_1}$ de $B(O, t_1)$ (voir fig.3). Un point $Q \in U(t_1) \times \{t_1\} \simeq B(O, t_1)$ intérieur au demi-cône ne peut pas être joint à $P_0 \in B(O, t_0)$ que par une trajectoire γ de longueur euclidienne (dans \mathbb{R}^3), $l(\gamma)$, inférieure à $t_1 - t_0$ (fig.3).

On désigne par $\mathcal{P}(P_0)$ (le passé de P_0) l'ensemble des évènements $Q \in U(t) \times \{t\}$ avec $t \leq t_0$ qui peuvent être joints à P_0 par une trajectoire d'origine Q . Cet ensemble n'est autre que l'intersection du demi-cône "inférieur" de sommet P_0 avec le demi-cône de l'espace-temps comme indiqué sur la figure 3. Une trajectoire γ joignant un évènement $Q \in U(t_2) \times \{t_2\}$ à P , pour $t_2 \leq t_0$, doit vérifier $l(\gamma) \leq t_0 - t_2$. Les seules trajectoires à vitesse 1 passant par P_0 proviennent de la surface conique de cette intersection.

Quant au fameux exemple du train, du miroir et des deux observateurs, alors si le repère virtuel $(O_1, \vec{i}_1, \vec{j}_1, \vec{k}_1)$ est fixe et le repère fixé au train $(O'_1, \vec{i}'_1, \vec{j}'_1, \vec{k}'_1)$ est "inertiel" par rapport au premier (i.e. se déplace d'une façon rectiligne et uniforme dans la direction O_1x par exemple) et coïncidant avec $(O_1, \vec{i}_1, \vec{j}_1, \vec{k}_1)$ à l'instant $t = 0$, là où se trouve le passager, l'émetteur et le miroir plus haut sur l'axe O_1z , alors le rayon, ou plus exactement le photon émis à l'instant $t = 0$ qui se dirige verticalement (i.e. dans la direction O_1z) continue son chemin et se trouve à l'instant $2t$ à la distance $2h$ sur O_1z (h est la distance de l'émetteur au miroir) puisque le miroir est censé être aussi petit et aussi haut que l'on veut de sorte que le rayon vertical pourrait bien ne pas le croiser. D'un autre côté le photon émis au même instant ($t = 0$) et qui se dirige dans une autre direction pour rencontrer le miroir qui, entre temps, s'est déplacé d'une distance horizontale d (i.e. dans la direction O_1x) et se réfléchit pour retrouver le passager, qui s'est déplacé entre temps d'une distance horizontale de $2d$, aurait parcouru la distance de $2\sqrt{d^2 + h^2}$. Le passager retrouve donc le deuxième photon à l'instant $2t_1 = 2\sqrt{d^2 + h^2}$, tandis que le premier photon se retrouverait à la même distance $2t_1$ au même instant $2t_1$. Il aurait fallu mettre un miroir fictif fixe par rapport à $(O_1, \vec{i}_1, \vec{j}_1, \vec{k}_1)$ un peu plus haut pour que le premier photon se retrouve au point O_1 au même instant du retour du premier jusqu'au passager. Par ailleurs, si l'on suppose que l'émission de lumière est strictement instantanée (ne s'effectuant pas en une petite fraction de seconde) et uni-directionnelle (i.e. produisant un seul rayon vertical) et si le miroir est suffisamment haut et suffisamment petit, alors notre passager n'aurait jamais reçu de rayon réfléchi.

La même situation se produit lorsqu'on considère le repère originel fixe et deux repères terrestres, l'un se déplaçant avec une vitesse relative constante par rapport à l'autre (le calcul des distances devient un peu plus compliqué) (voir figure 4).

D'autre part, si on suppose que l'émetteur et le passager sont tous les deux continuellement situés au point O'_1 , origine du repère pour lequel ils sont au repos, tout en supposant que le miroir au dessus d'eux est macroscopique, alors le photon émis verticalement à l'instant $t = 0$ croise le miroir en un point qui n'est pas le même que celui qui était originellement situé à la verticale de O'_1 . De plus, le photon ne reviendra pas, après réflexion, exactement au point O'_1 qui s'est, entre temps, déplacé horizontalement. Ainsi, ce photon n'est resté à aucun instant à la verticale de O'_1 .

Quant au passager et son repère d'origine O'_1 , alors il ne pourra pas décider que le photon (ou le signal) qu'il a reçu au temps t (après réflexion) a effectué la distance $2h$ que si le photon est resté tout le long du trajet verticalement au dessus de lui. Or, à une vitesse donnée v , la hauteur h est déterminée par le temps prévu du croisement entre le photon et le miroir, qui est égal à $\frac{t}{2}$, et détermine la direction du photon émis à l'instant $t = 0$ afin qu'il puisse vérifier la propriété ci-dessus. De même un autre photon émis juste après celui-ci et dans la même direction que lui ne vérifiera pas cette propriété et ne croisera le miroir à l'instant $\frac{t}{2}$ qu'à condition de diminuer adéquatement la hauteur h et dans ce cas le croisement ne se produira évidemment pas au dessus du passager. Un autre photon émis à l'instant $t = 0$ dans une autre direction nécessitera aussi une modification de cette hauteur et le point de rencontre ne sera pas au dessus du passager. Ainsi, à v , h et t donnés, le photon qui croiserait le miroir au dessus du passager serait probablement émis à un temps ultérieur au temps $t = 0$ et ne serait probablement pas le même que celui qui serait capté par le passager au temps t . Peut-on alors dire que, dans le repère du passager, le rayon lumineux a effectué la distance $2h$ pendant le temps t ?

La notion d'un repère propre, qui est en mouvement par rapport à un autre repère inertiel, est évidemment intrinsèquement liée à la notion de la progression du temps et elle conduit, dans le cas de notre expérience, à la situation suivante :

La vitesse v du passager par rapport au repère fixe étant arbitrairement choisie ainsi que la hauteur h du miroir (qu'on suppose macroscopique), alors le choix d'un temps de rencontre $\frac{t}{2}$ implique qu'un photon unique, ayant une direction bien déterminée, pourrait rester à la verticale du passager le long de son trajet. Les autres photons du rayon lumineux ayant cette même direction ainsi que ceux qui appartiennent aux autres rayons du faisceau ne vérifient pas cette propriété. Par suite ils parcourent, par rapport au repère propre du passager, des distances différentes les unes des autres. Donc, le repère propre du passager ne peut pas être utilisé d'une façon canonique pour mesurer les distances parcourues par les photons et encore moins par les rayons qui sont formés, pour chacun d'entre eux, d'une succession "infinie" de photons et

par suite ne pourra pas être utilisé afin de mesurer la distance parcourue par la "lumière" et encore moins de la vitesse intrinsèque de la "lumière". La canonicité de la constance de la vitesse de la lumière i.e. de tous les photons d'un rayon lumineux quelconque, va être établie plus loin dans le contexte qui lui est propre i.e. par rapport à un repère virtuellement fixe (en utilisant l'opérateur de dérivation $\frac{d_*}{dt}$) et par rapport à tout autre repère inertiel (en utilisant la transformation galiléenne et l'opérateur $\frac{d_1}{dt}$).

Remarque sur la notion relativiste de l'espaces-temps

Il est bien connu que les notions prérelativistes (adoptées par Euclide, Descartes, Galilé, Newton et bien d'autres) confèrent à l'espace à trois dimensions et au temps, qui progresse continûment, un caractère absolu. La distance euclidienne Δx séparant deux objets ponctuels à un instant donné t_0 et l'intervalle de temps Δt entre deux évènements non simultanés ont une réalité intrinsèque indépendante des observateurs inertiels. On va montrer dans la suite que l'introduction de la notion relativiste d'espace-temps n'a aucune raison d'avoir lieu.

Pour cela, considérons deux observateurs inertiels O_1 et O_2 situés respectivement à l'origine de deux repères euclidiens $R_1 = (O_1, e_1, e_2, e_3)$ et $R_2 = (O_2, e_1, e_2, e_3)$ qui coïcident à un instant $t = 0$ et tels que O_2 se déplace sur l'axe O_1x de R_1 à une vitesse relative constante v . Les deux observateurs se mettent facilement d'accord, à chaque instant $t \geq 0$, sur la mesure de la distance euclidienne séparant deux points quelconques A_1 et A_2 de l'espace \mathbb{R}^3 . En effet, on peut supposer, sans réduire la généralité de ce problème que le repère R_1 est fixe, que les points A_1 et A_2 sont fixés sur l'axe O_1x et que le repère R_2 glisse sur l'axe O_1x avec une vitesse constante v par rapport à R_1 . Ainsi, si x_1 et x_2 désignent les abscisses des points A_1 et A_2 dans R_1 , alors la longueur euclidienne du segment A_1A_2 est donnée par $x_2 - x_1$ lorsqu'elle est mesurée par les deux observateurs à l'aide des deux repères R_1 et R_2 à chaque instant $t \geq 0$. En effet, à chaque instant $t \geq 0$, la distance A_1A_2 mesurée par le repère R_2 est toujours $(x_2 - tv) - (x_1 - tv) = x_2 - x_1$. Ainsi une barre métallique, par exemple, d'extrémités A_1 et A_2 a une longueur $l = A_1A_2 = x_2 - x_1$ lorsqu'elle est mesurée à l'aide du repère R_1 et de tout repère inertiel R circulant à n'importe quelle vitesse constante $v < 1$ par rapport à R_1 . De même, si cette même barre se déplace en glissant sur l'axe O_1x à une vitesse constante v_0 par rapport à R_1 , alors, à tout instant t , sa longueur mesurée par R_1 est $x_2 + v_0t - (x_1 + v_0t) = x_2 - x_1$, et elle est égale à $x_2 + v_0t - vt - (x_1 + v_0t - vt) = x_2 - x_1 = l$ lorsqu'elle est mesurée

à l'aide de n'importe quel repère R_2 circulant le long de l'axe O_1x à la vitesse constante (quelconque) v par rapport à R_1 . De plus, lorsqu'on considère l'espace-temps galiléo-newtonien \mathbb{R}^4 muni du repère $R'_1 = (O_1, e_1, e_2, e_3, e_4)$ où e_4 correspond à l'axe du temps O_1t qui est orthogonal à l'hyperplan repéré par $R_1 = (O_1, e_1, e_2, e_3)$, alors la barre métallique a toujours la même longueur $l = x_2 - x_1$ lorsque celle-ci est mesurée à l'aide des deux repères euclidiens R_1 et R'_1 à un instant donné quelconque t_0 . Or, lorsqu'on introduit la quatrième dimension, i.e. le temps représenté par l'axe O_1t , les points A_1 et A_2 devront être repérés, à tout instant $t \geq 0$, dans le repère R'_1 par les coordonnées $(x_1, 0, 0, t)$ et $(x_2, 0, 0, t)$ qu'on va noter (x_1, t) et (x_2, t) en négligeant les deux autres dimensions. La longueur de la barre est alors donnée dans ce repère par $\sqrt{(x_2 - x_1)^2 + (t - t)^2} = x_2 - x_1 = \Delta x$. Lorsque l'observateur O_2 mesure cette longueur dans l'espace-temps, à l'instant t , il faut tenir compte du fait que O_2 serait alors repéré par R'_1 à l'aide des coordonnées (vt, t) et qu'il est lui-même situé dans l'hyperplan de hauteur t dans \mathbb{R}^4 , qui est le même hyperplan où se trouvent les points A_1 et A_2 à l'instant t , c'est à dire aux points (x_1, t) et (x_2, t) dans le repère R'_1 . Ainsi l'observateur O_2 obtient la même longueur $\Delta x = l$ en utilisant aussi bien son repère R_2 que son repère à quatre dimensions $R'_2 = (O_2, e_1, e_2, e_3, e_4)$.

Le faux problème qui a justifié l'introduction de la notion relativiste de l'espace-temps est le fait que l'intervalle spatial Δx séparant deux évènements non simultanés E_1 ayant les coordonnées (x_1, t_1) dans R'_1 et E_2 ayant les coordonnées (x_2, t_2) à des instants $t_1 < t_2$ dépend de l'observateur inertiel. En effet, l'évènement E_1 est repéré par O_2 dans R'_2 à l'instant t_1 par $(x_1 - vt_1, t_1)$ et E_2 est repéré par O_2 dans R'_2 à l'instant t_2 par $(x_2 - vt_2, t_2)$ si l'on suppose que O_2 reste sur l'axe O_1x . Désignons respectivement par A'_1, A'_2, A''_1 et A''_2 les points de coordonnées $(x_1, t_1), (x_2, t_1), (x_1, t_2)$ et (x_2, t_2) dans le repère R'_1 . L'intervalle spatial de A'_1 à A'_2 mesuré par O_2 , à l'aide de R'_2 à l'instant t_1 , est $x_2 - vt_1 - (x_1 - vt_1) = x_2 - x_1$ et l'intervalle spatial de A''_1 à A''_2 , mesuré par O_2 à l'aide de R'_2 à l'instant t_2 , est $x_2 - vt_2 - (x_1 - vt_2) = x_2 - x_1$. Ce sont les mêmes que les longueurs mesurées par cet observateur à l'aide de son repère R_2 lorsqu'il est situé dans l'espace-temps aux points $O'_2(t_1) = (O_2, t_1)$ et $O''_2(t_2) = (O_2, t_2)$ respectivement aux instants t_1 et t_2 (voir fig.4').

Par contre, l'intervalle spatial $\Delta_1 x$ entre A'_1 et A''_2 mesuré par R'_1 est $x_2 - x_1$ et l'intervalle spatial $\Delta_2 x$ entre A'_1 et A''_2 mesuré par R'_2 est $x_2 - vt_2 - (x_1 - vt_1) \neq x_2 - x_1$. De même l'intervalle euclidien entre A'_1 et A''_2 mesuré par R'_1 est $I_1 = \sqrt{(x_2 - x_1)^2 + (t_2 - t_1)^2}$ et ce même intervalle mesuré par R'_2 est $I_2 = \sqrt{((x_2 - vt_2) - (x_1 - vt_1))^2 + (t_2 - t_1)^2}$ et par suite $I_2 \neq I_1$.

Or, ni les intervalles $\Delta_i x$ ni les intervalles I_i ($i = 1, 2$) ne correspondent pas à une réalité physique. En effet, si on considère la barre $A_1 A_2$ qui se trouve à

l'instant t_1 en $A'_1A'_2$ dans l'espace-temps \mathbb{R}^4 et en $A''_1A''_2$ dans l'espace-temps \mathbb{R}^4 à l'instant t_2 , alors sa longueur spatiale réelle mesurée par O_2 à l'aide du repère R'_2 est égale à $x_2 - vt_1 - (x_1 - vt_1) = x_2 - x_1$ à l'instant t_1 et à $x_2 - vt_2 - (x_1 - vt_2) = x_2 - x_1$ à l'instant t_2 . De même, les deux intervalles euclidiens dans l'espace-temps \mathbb{R}^4 mesurés par O_2 à l'aide de R'_2 aux instants t_1 et t_2 sont également égaux :

$$\begin{aligned} & \sqrt{((x_2 - vt_1) - (x_1 - vt_1))^2 + (t_1 - t_1)^2} = \\ & \sqrt{((x_2 - vt_2) - (x_1 - vt_2))^2 + (t_2 - t_2)^2} = x_2 - x_1 \end{aligned}$$

Les mesures des intervalles $A'_1A'_2$ et $A''_1A''_2$ dans les repères R'_1 et R'_2 n'ont aucune signification physique. Elles n'ont rien à avoir avec la barre ni à l'instant t_1 , ni à l'instant t_2 .

On peut dire la même chose pour l'aire et le volume de n'importe quel objet à deux dimensions ou à trois dimensions dans l'espace réel \mathbb{R}^3 . Un tel corps est situé entièrement, à chaque instant t , dans l'hyperplan de hauteur t dans l'espace-temps \mathbb{R}^4 . Les longueurs, les aires et les volumes sont les mêmes que ce soit dans \mathbb{R}^3 lorsqu'ils sont mesurés par R_1 et R_2 ou dans \mathbb{R}^4 lorsqu'ils sont mesurés par R'_1 et R'_2 à n'importe quel instant t .

Par ailleurs, si l'Univers en expansion permanente est représenté par $U(t_1)$ à l'instant t_1 et par $U(t_2)$ à l'instant $t_2 > t_1$ et si on suppose qu'il est muni à chaque instant t d'une métrique g_t qui évolue avec le temps, alors on ne peut pas mesurer la distance d'un point A_1 de $U(t_1)$ au point A_2 de $U(t_2)$ puisqu'on ne peut pas utiliser adéquatement ni g_{t_1} ni g_{t_2} pour effectuer cette mesure. À aucun instant t , l'Univers n'est figé et la métrique g_t n'est pas la même à n'importe quels deux instants différents t_1 et t_2 . Donc le problème de mesurer la distance spatiale Δx entre deux événements E_1 et E_2 à des instants différents t_1 pour E_1 et t_2 pour E_2 ou l'intervalle euclidien I dans l'espace-temps \mathbb{R}^4 entre E_1 et E_2 ne devrait pas se poser puisqu'il est physiquement vide de sens.

Supposons maintenant que le mouvement d'une particule est repéré à l'aide de deux repères tels que la vitesse relative de l'un par rapport à l'autre est constante et que l'un se déduit de l'autre à l'aide d'une transformation orthogonale A_t à tout instant t .

Ainsi, si $\overrightarrow{OM} = X(t)$ dans le premier repère, $\overrightarrow{O'M} = \overrightarrow{O'O} + \overrightarrow{OM} = \overrightarrow{OM} - \overrightarrow{OO'}$ et $\overrightarrow{OO'} = a(t)$ dans le premier repère, on a

$$\overrightarrow{O'M} = Y(t) = A_t^{-1}(X(t) - a(t))$$

d'où

$$Y'(t) = (A_t^{-1})'(X(t) - a(t)) + A_t^{-1}(X'(t) - a'(t))$$

et si $A_t^{-1} \equiv A^{-1}$, on obtient

$$Y'(t) = A^{-1}(X'(t) - a'(t))$$

$$Y''(t) = A^{-1}(X''(t) - a''(t))$$

et si on a de plus $a'(t) = 0$, alors

$$Y'(t) = A^{-1}.X'(t)$$

et

$$\| Y'(t) \|_{g_e} = \| X'(t) \|_{g_e}.$$

De même si $a''(t) = 0$, alors

$$Y''(t) = A^{-1}.X''(t).$$

Ainsi, on a (à titre d'exemple) :

$$\| Y''(t) \|_{g_e} = \| X''(t) \|_{g_e}$$

et

$$\begin{aligned} \Delta E_1(t) &:= \int_{t_0}^t X''(r).X'(r)dr = \frac{1}{2} \int_{t_0}^t \frac{d}{dr} \| X'(r) \|_{g_e}^2 dr \\ &= \frac{1}{2} (\| X'(t) \|_{g_e}^2 - \| X'(t_0) \|_{g_e}^2) \\ &= \Delta E_2(t) := \frac{1}{2} \int_{t_0}^t Y''(r).Y'(r)dr \\ &= \frac{1}{2} (\| Y'(t) \|_{g_e}^2 - \| Y'(t_0) \|_{g_e}^2). \end{aligned}$$

3 Tensorialité générale du changement de repère

Notons que l'hypothèse de l'indépendance de la famille g_t de la position dans \mathbb{R}^3 est parfaitement justifiée dans la procédure de modélisation théorique de l'expansion de l'Univers. Par contre, l'étude d'un mouvement ou d'un phénomène physique se déroulant entre deux temps t_1 et t_2 dans l'espace réduit à $B(O, t_2)$, par exemple, devrait tenir compte de l'existence dans $B(O, t)$, pour $t \in [t_1, t_2]$ de champs de gravitations créés par des masses, des trous noirs et des phénomènes énergétiques, électromagnétiques et quantiques dispersés dans l'Univers. Ceci expliquerait, par exemple, les déviations

subies par la propagation de la lumière par rapport aux géodésiques classiques (lignes droites).

Peut-on intégrer raisonnablement toutes ces données variables, globalement ou même localement, en construisant une métrique $g_t(X)$ dépendant à la fois du temps et de la position absolue, ou même relative, dans l'espace ?

Aurions-nous suffisamment de données numériques ou empiriques pour pouvoir tenir compte de la dynamique de l'expansion afin de modéliser localement une partie de l'Univers ambiant à l'aide de boules

$$(B(O, t - t_0), g_t(X))_{t \geq t_0} \approx (B(O, 1), (t - t_0)^2 g_t(X))_{t \geq t_0} ?$$

Théoriquement une telle métrique à courbure variable existe (l'Univers est malgré tout fini à chaque instant t) mais dans la pratique, il y a beaucoup de travail à faire, nécessitant la détermination de nouveaux objets géométriques (tels les connexions, les symboles de Christoffel, les géodésiques...) et impliquant des adaptations convenables des lois de la Mécanique et de la Physique.

Dans ce qui suit, on va considérer le cas général et quelques cas particuliers (réels, approximatifs ou virtuels) concernant les familles g_t , $a_0(t)$ et A_t qui vont être précisés ci-dessous. En effet g_t peut dépendre ou non de la position ou du temps (localement ou globalement), $a_0(t)$ peut être ou non une géodésique et finalement A_t peut dépendre ou non du temps, être ou non une isométrie et être ou non parallèle le long de $a_0(t)$.

Considérons donc, pour $T \gg 0$, l'Univers assimilé à la boule euclidienne $B(O, T)$ muni de la métrique variable $g_t(X) = g(t, X)$, où $0 < t < T$ et $X \in B(O, T)$ et supposons qu'un évènement se produit entre deux instants t_0 et t_1 tels que $t_0 < t_1 < T$. Soit $\mathcal{R}_0(t_0) = (O_0, \vec{i}_0, \vec{j}_0, \vec{k}_0)$ un repère virtuellement fixe et un repère mobile $\mathcal{R}(t)$ coïncidant à l'instant $t = t_0$ avec $\mathcal{R}(t_0)$. On suppose de plus que l'origine de ce repère décrit une trajectoire repérée dans $\mathcal{R}_0(t_0)$ par $a_0(t)$ avec $a_0(t_0) = 0$. Désignons enfin par $X_0(t)$ et $X(t)$ la trajectoire d'une particule donnée relativement aux repères $\mathcal{R}_0(t_0)$ et $\mathcal{R}(t)$ successivement. Soit A_t la matrice de passage du repère $\mathcal{R}_0(t_0)$ au repère $\mathcal{R}(t)$. On a alors :

$$X(t) = A_t(X_0(t) - a_0(t))$$

et

$$X'(t) = A_t(X'_0(t) - a'_0(t)) + A'_t(X_0(t) - a_0(t)).$$

Un autre opérateur de dérivation

En posant

$$\frac{d_*}{dt}X(t) = X'(t) + A_t \cdot a'_0(t) - A'_t(X_0(t) - a_0(t)), \quad (d_*)$$

on obtient

$$\frac{d_*}{dt}X(t) = A_t \cdot X'_0(t) \quad (9)$$

Supposons dans un premier temps que A_t soit une isométrie par rapport à g_t à tout instant t ; alors la dérivation $\frac{d_*}{dt}$ qui, par l'intermédiaire de la matrice A_t (qui dépend uniquement de la géométrie variable de l'Univers et du repère $\mathcal{R}_0(t_0)$), tient compte tout naturellement de la géométrie de l'espace et du mouvement du repère mobile $\mathcal{R}(t)$. Le choix du repère $\mathcal{R}_0(t_0)$ n'a pas d'influence sur la nature des résultats qui vont être obtenus puisqu'il s'agit en fait de l'étude du passage d'un repère à l'autre, tous les deux mobiles par rapport à $\mathcal{R}_0(t_0)$.

Notons que la relation (9) montre que, dans le cas général, le vecteur vitesse se transforme d'une façon tensorielle dans le sens où, si le vecteur $X'_0(t)$ est multiplié par la fonction $f(X_0(t))$ où f est une fonction différentiable autour de la trajectoire, alors le vecteur $\frac{d_*}{dt}X(t)$ est multiplié par cette même fonction (de t).

Etudions ensuite la transformation de l'écriture (induite par ce changement de repères) du vecteur accélération défini par

$$\Gamma_0(t) = \nabla_{\frac{d}{dt}X_0(t)}^{g_t} \frac{d}{dt}X_0(t) = \nabla_{X'_0(t)}^{g_t} X'_0(t).$$

Pour cela, posons

$$\Gamma_*(t) := \nabla_{\frac{d_*}{dt}X(t)}^{g_t} \frac{d_*}{dt}X(t) = \nabla_{A_t \cdot X'_0(t)}^{g_t} A_t \cdot X'_0(t).$$

Si A_t est indépendante du temps i.e. $A_t \equiv A$ et A quelconque, on obtient

$$\frac{d_*}{dt}X(t) = A \cdot X'_0(t),$$

$$X'(t) = A \cdot (X'_0(t) - a'_0(t)),$$

et

$$\Gamma_*(t) = \nabla_{\frac{d_*}{dt}X(t)}^{g_t} \frac{d_*}{dt}X(t) = \nabla_{A \cdot X'_0(t)}^{g_t} A \cdot X'_0(t).$$

Si de plus g_t est plate, on aura

$$\Gamma_*(t) = A.X_0''(t) = A.\nabla_{X_0'(t)}^{g_t} X_0'(t) = A.\Gamma_0(t)$$

et

$$\begin{aligned}\Gamma(t) &:= \nabla_{X'(t)}^{g_t} X'(t) = \nabla_{A.(X_0'(t) - a_0'(t))}^{g_t} A.(X_0'(t) - a_0'(t)) \\ &= X''(t) = A.(X_0''(t) - a_0''(t)).\end{aligned}$$

Si on suppose maintenant que $a_0(t)$ est une géodésique, alors on obtient comme dans le cas euclidien

$$\Gamma_*(t) = \Gamma(t) = A.X_0''(t) = X''(t) = A.\Gamma_0(t).$$

Evidemment si $X_0(t)$ est de plus une géodésique on a :

$$\Gamma_*(t) = \Gamma(t) = \Gamma_0(t) = 0.$$

Notons que si on suppose que $A_t \equiv A$ et $a_0(t) = 0$, alors on a, dans tous les cas :

$$X'(t) = A.X_0'(t)$$

et

$$\Gamma(t) = \Gamma_*(t) = \nabla_{A.X_0'(t)}^{g_t} A.X_0'(t)$$

et si g_t est plate, on a

$$\Gamma(t) = X''(t) = A.X_0''(t) = A.\Gamma_0(t)$$

et par suite si $X_0(t)$ est une géodésique, alors $X(t)$ l'est aussi. Si on suppose de plus que $g_t \equiv g_{t_0}$ et A est une isométrie (locale), alors on a

$$\|\Gamma(t)\|_{g_{t_0}} = \|\Gamma_0(t)\|_{g_{t_0}}.$$

Revenons au cas général où g_t et A_t sont quelconques et multiplions, dans les expressions de $\Gamma_0(t)$ et $\Gamma_*(t)$, le vecteur $X_0'(t)$ par une fonction $h(X_0(t)) =: h(t)$ où h est une fonction différentiable autour de la trajectoire; on obtient alors

$$\begin{aligned}\nabla_{hX_0'(t)}^{g_t} hX_0'(t) &= h(h\nabla_{X_0'(t)}^{g_t} X_0'(t) + dh(X_0(t)).X_0'(t)X_0'(t)) \\ &= h^2\Gamma_0(t) + \frac{1}{2}dh^2(X_0(t)).X_0'(t)X_0'(t) \\ &= h^2\Gamma_0(t) + \frac{1}{2}\frac{d}{dt}h^2(X_0(t))\frac{d}{dt}X_0(t)\end{aligned}$$

et

$$\begin{aligned}
\nabla_{A_t \cdot h X'_0(t)}^{gt} A_t \cdot h X'_0(t) &= \nabla_{h \frac{d_*}{dt} X(t)}^{gt} h \frac{d_*}{dt} X(t) = \nabla_{h(X_0(t)) A_t \cdot X'_0(t)}^{gt} h(X_0(t)) A_t \cdot X'_0(t) \\
&= \nabla_{h(X_0(t)) \frac{d_*}{dt} X(t)}^{gt} h(X_0(t)) \frac{d_*}{dt} X(t) \\
&= h \left(h \nabla_{\frac{d_*}{dt} X(t)}^{gt} \frac{d_*}{dt} X(t) + dh(X_0(t)) \cdot \left(\frac{d_*}{dt} X(t) \right) \frac{d_*}{dt} X(t) \right) \\
&= h^2 \Gamma_*(t) + \frac{1}{2} dh^2(X_0(t)) \cdot \left(\frac{d_*}{dt} X(t) \right) \frac{d_*}{dt} X(t).
\end{aligned}$$

Notons que, dans le cas où les A_t sont des isométries, le second terme de cette relation dépend de la fonction h et de la géométrie de l'espace.

Dans le cas général, la comparaison de l'expression des deux vecteurs $\nabla_{h X'_0(t)}^{gt} h X'_0(t)$ et $\nabla_{h \frac{d_*}{dt} X(t)}^{gt} h \frac{d_*}{dt} X(t) = \nabla_{h A_t \cdot X'_0(t)}^{gt} h A_t \cdot X'_0(t)$ montre que les expressions du vecteur accélération dans les deux repères se transforment de la même manière lorsqu'on multiplie le vecteur vitesse par une fonction donnée. Si on suppose que $A_t \equiv A_{t_0} = A$ et $a'_0(t) = 0$, on obtient :

$$\nabla_{h X'_0(t)}^{gt} h X'_0(t) = h^2(t) \Gamma_0(t) + \frac{1}{2} \frac{d}{dt} h^2(t) X'_0(t)$$

et

$$\begin{aligned}
\nabla_{h X'_0(t)}^{gt} h X'_0(t) &= \nabla_{h \frac{d_*}{dt} X(t)}^{gt} h \frac{d_*}{dt} X(t) = \nabla_{h A \cdot X'_0(t)}^{gt} h A \cdot X'_0(t) \\
&= h^2(X_0(t)) \Gamma(t) + \frac{1}{2} dh^2(X_0(t)) \cdot (A \cdot X'_0(t)) A \cdot X'_0(t) \\
&= h^2(t) \Gamma(t) + \frac{1}{2} dh^2(X_0(t)) \cdot \frac{d_*}{dt} X(t) \frac{d_*}{dt} X(t) \\
&= h^2(t) \Gamma(t) + \frac{1}{2} dh^2(X_0(t)) \cdot X'(t) X'(t)
\end{aligned}$$

Si de plus, la fonction h est supposée constante sur $X_0(t)$ (i.e. $h \equiv h(X_0(t_0)) = h_0$), alors les expressions du vecteur accélération seront toutes les deux multipliées par h_0^2 ($\Gamma_0(t)$ se transforme en $h_0^2 \Gamma_0(t)$ et $\Gamma(t)$ se transforme en $h_0^2 \Gamma(t)$). Dans ces conditions, cette propriété implique une sorte de tensorialité du vecteur accélération dans le sens suivant :

Supposons que $\mathcal{X}(X)$ est un champ de vecteurs dans $B(O, t_1)$ admettant les courbes intégrales $X_0(t)$ (i.e. $X'_0(t) = \mathcal{X}(X_0(t))$ pour $t_0 \leq t \leq t_1$). Lorsqu'on multiplie \mathcal{X} par une fonction $f(X)$ supposée constante sur les courbes intégrales $X_0(t)$ (ce qui revient à les reparamétriser par une autre paramétrisation affine par rapport au temps : $t \rightarrow s = kt + b$), alors les deux

expressions du vecteur vitesse sont multipliées par la même constante h_0 et les deux expressions du vecteur accélération sont multipliées par h_0^2 ($h_0 = h(X_0) = h(x_0, y_0, z_0)$) lorsque la courbe intégrale passe par le point (x_0, y_0, z_0) pour $t = t_0$.

On peut aussi exprimer cette propriété en disant que lorsque le vecteur accélération $\Gamma_0(t)$ de la courbe intégrale $X_0(t)$ du champ de vecteurs \mathcal{X} dans le repère $\mathcal{R}_0(t_0)$ est multipliée par une constante, alors l'expression de ce même vecteur dans le repère $\mathcal{R}(t)$ est multipliée par cette même constante.

Plus généralement, considérons deux repères mobiles $\mathcal{R}_1(t)$ et $\mathcal{R}_2(t)$ comme ceux considérés au paragraphe 1. Utilisons les notations évidentes suivantes :

$$X_1(t) := A_t(X_0(t) - a_0(t)),$$

$$X_2(t) := B_t(X_0(t) - b_0(t)),$$

$$\frac{d_*}{dt} X_1(t) := X_1'(t) + A_t \cdot a_0'(t) - A_t'(X_0(t) - a_0(t)) = A_t \cdot X_0'(t)$$

et

$$\frac{d_*}{dt} X_2(t) := X_2'(t) + B_t \cdot b_0'(t) - B_t'(X_0(t) - b_0(t)) = B_t \cdot X_0'(t).$$

On a alors

$$\frac{d_*}{dt} X_2(t) = B_t \circ A_t^{-1} \cdot \frac{d_*}{dt} X_1(t), \quad (10)$$

et

$$\Gamma_{1*}(t) := \nabla_{\frac{d_*}{dt} X_1(t)}^{g_t} \frac{d_*}{dt} X_1(t) = \nabla_{A_t \cdot X_0'(t)}^{g_t} A_t \cdot X_0'(t),$$

et

$$\begin{aligned} \Gamma_{2*}(t) &:= \nabla_{\frac{d_*}{dt} X_2(t)}^{g_t} \frac{d_*}{dt} X_2(t) \\ &= \nabla_{B_t \cdot X_0'(t)}^{g_t} B_t \cdot X_0'(t) = \nabla_{B_t \circ A_t^{-1} \frac{d_*}{dt} X_1(t)}^{g_t} B_t \circ A_t^{-1} \frac{d_*}{dt} X_1(t). \end{aligned}$$

Donc si B_t et A_t sont des isométries, alors la relation (10) ne dépend que de la géométrie (définie par g_t) de l'espace et on a :

$$\left\| \frac{d_*}{dt} X_2(t) \right\|_{g_t} = \left\| \frac{d_*}{dt} X_1(t) \right\|_{g_t}$$

et

$$\left\| \Gamma_{2*}(t) \right\|_{g_t} = \left\| \Gamma_{1*}(t) \right\|_{g_t}$$

et si $B_t = A_t$, on a (dans le cas général) :

$$\Gamma_{2*}(t) = \Gamma_{1*}(t).$$

D'autre part si $A_t \equiv A$ et $B_t \equiv B$, alors on a :

$$\frac{d_*}{dt}X_1(t) = A.X'_0(t) = \frac{d}{dt}(A.X_0(t))$$

et

$$\frac{d_*}{dt}X_2(t) = \frac{d}{dt}(B.X_0(t)),$$

par suite on obtient :

$$\Gamma_{1*}(t) = \nabla_{(AX_0(t))'}^{g_t}(AX_0(t))'$$

et

$$\Gamma_{2*}(t) = \nabla_{(BX_0(t))'}^{g_t}(BX_0(t))'.$$

Par conséquent, si g_t est plate, on a

$$\Gamma_{1*}(t) = A.X''_0(t) = A.\Gamma_0(t)$$

et

$$\Gamma_{2*}(t) = B.X''_0(t) = B.\Gamma_0(t)$$

d'où

$$\Gamma_{2*}(t) = B \circ A^{-1}.\Gamma_{1*}(t).$$

De même on a (toujours dans le cas où $A_t \equiv A$ et $B_t \equiv B$ et g_t est plate) les relations suivantes entre $\Gamma_1(t)$, $\Gamma_2(t)$, $\Gamma_{1*}(t)$, $\Gamma_{2*}(t)$ et $\Gamma_0(t)$:

$$\Gamma_1(t) = \nabla_{X'_1(t)}^{g_t}X'_1(t) = X''_1(t) = A.(X_0(t) - a_0(t))''$$

et

$$\Gamma_2(t) = \nabla_{X'_2(t)}^{g_t}X'_2(t) = X''_2(t) = B.(X_0(t) - b_0(t))''$$

et si $a_0(t)$ et $b_0(t)$ sont des géodésiques, on obtient

$$\Gamma_1(t) = A.X''_0(t) = A.\Gamma_0(t) = \Gamma_{1*}(t),$$

$$\Gamma_2(t) = B.X''_0(t) = B.\Gamma_0(t) = \Gamma_{2*}(t)$$

et

$$\Gamma_2(t) = B \circ A^{-1}.\Gamma_1(t).$$

De même si on a $A_t \equiv A$, $B_t \equiv B$, $a_0(t) = b_0(t) = 0$ et g_t quelconque, alors on obtient

$$\Gamma_1(t) = \Gamma_{1*}(t) = \nabla_{A.X'_0(t)}^{g_t}A.X'_0(t),$$

$$\Gamma_2(t) = \Gamma_{2*}(t) = \nabla_{B.X'_0(t)}^{g_t}B.X'_0(t)$$

et si de plus g_t est plate alors on obtient (évidemment) de nouveau

$$\Gamma_2(t) = B \circ A^{-1} \cdot \Gamma_1(t)$$

et si A et B sont de plus des isométries, alors on a

$$\| \Gamma_2(t) \|_{g_{t_0}} = \| \Gamma_1(t) \|_{g_{t_0}}.$$

En revenant au cas général où g_t , A_t et B_t sont quelconques, on montre qu'en multipliant le vecteur vitesse $\frac{d_*}{dt} X_1(t)$ par une fonction $h(X_1(t)) =: h(t)$, où h est une fonction différentiable autour de la trajectoire $X_1(t)$, alors le vecteur $\frac{d_*}{dt} X_2(t)$ est multiplié par cette même fonction et on a :

$$\nabla_{h \frac{d_*}{dt} X_1(t)}^{g_t} h \frac{d_*}{dt} X_1(t) = h^2(t) \Gamma_{1*}(t) + \frac{1}{2} dh^2(X_0(t)) \cdot \left(\frac{d_*}{dt} X_1(t) \right) \frac{d_*}{dt} X_1(t)$$

et

$$\nabla_{h \frac{d_*}{dt} X_2(t)}^{g_t} h \frac{d_*}{dt} X_2(t) = h^2(t) \Gamma_{2*}(t) + \frac{1}{2} dh^2(X_0(t)) \cdot \left(\frac{d_*}{dt} X_2(t) \right) \frac{d_*}{dt} X_2(t).$$

A partir de ces relations, on obtient comme ci-dessus des propriétés concernant des cas particuliers qui montrent toutes une certaine tensorialité du vecteur accélération vis à vis du changement de deux repères tous les deux mobiles par rapport à un troisième.

En particulier, lorsque g_t est plate et $a_0(t)$ et $b_0(t)$ sont des géodésiques (ou $a_0(t) = b_0(t) = 0$) alors cette tensorialité est valide pour le vecteur accélération ordinaire $\Gamma(t) = \frac{d}{dt^2} X(t) = X''(t)$ puisque l'on a alors

$$\frac{d_*}{dt} X(t) = \frac{d}{dt} X(t) = A \cdot \frac{d}{dt} X_0(t).$$

Notons pour finir que dans le cas général ($g_t = g_t(X)$), on peut définir globalement ou localement tous les objets géométriques (i.e. dépendant uniquement de g_t) tels que les groupes d'isométrie, le gradient et le hessien d'une fonction, la divergence d'un champ de vecteurs ou d'une forme différentielle, le laplacien d'une fonction ou d'une forme différentielle (l'opérateur de Hodge), l'opérateur de Dirac...

Quant à la tensorialité du changement de repères dans l'Univers assimilé à $(U_t(t))_{t>0} \cong (B(O, 1), g_t)_{t>0}$, alors on montre que l'on obtient des propriétés du même ordre que celles obtenues auparavant pour des événements se produisant entre deux instants t_1 et t_2 suffisamment proches l'un de l'autre et tels que $t_2 \geq t_1 \geq t_0 \gg 0$. En effet, on pourra alors considérer deux

repères mobiles $\mathcal{R}_1(t)$ et $\mathcal{R}_2(t)$ ayant le même origine O_1 à l'instant $t = t_0$ et décrivant des trajectoires $a(t)$ et $b(t)$ dans le repère $(O_1, \vec{i}, \vec{j}, \vec{k})$ et comparer $u_1(t) = \frac{X_1(t)}{t}$, $u'_1(t)$ et $u''_1(t)$ à $u_2(t) = \frac{X_2(t)}{t}$, $u'_2(t)$ et $u''_2(t)$, où $X_1(t)$ et $X_2(t)$ sont les expressions d'une même trajectoire repérée dans les deux repères mobiles. On utilisera alors le fait que l'on a :

$$\| a(t) \|_{g_e}, \| b(t) \|_{g_e}, \| X_1(t) \|_{g_e}, \| X_2(t) \|_{g_e} \ll t_0.$$

4 Modélisation physico-mathématique de l'Univers en expansion

Signalons pour commencer que, dans la suite de cet article, on utilisera fondamentalement les deux principes d'inertie de Newton, le principe de la covariance, les deux principes d'équivalence et les principes (dans un sens intuitif) d'homogénéité et d'isotropie. Signalons aussi que la majorité des notions et des résultats utilisés dans cet article se trouve dans un grand nombre d'ouvrages classiques sur la théorie de la relativité et, en particulier, on peut consulter pour tous les notions et résultats, le livre de R.Wald : "General relativity".

Il est clair, d'après ce qui précède, que l'expérience du train, du miroir et des deux observateurs, ne justifie pas l'introduction de la nouvelle conception relativiste de la relation espace-temps. Montrons que l'invalidité du principe de covariance vis à vis de la loi de Maxwell dans les repères inertiels n'est en fait qu'apparente.

En effet, considérons deux repères euclidiens inertiels \mathcal{R}_1 et \mathcal{R}_2 tels que le mouvement du second par rapport au premier soit uniforme. Cette situation peut être ramené à supposer que, si $(x_1(t), y_1(t), z_1(t))$ décrit une trajectoire donnée dans le repère \mathcal{R}_1 , alors cette trajectoire est exprimée dans \mathcal{R}_2 par $(x_2(t), y_1(t), z_1(t))$ avec $x_2(t) = x_1(t) - vt$. Cependant ces deux repères, dont l'étude du passage de l'un à l'autre a conduit à en déduire l'invalidité du principe de covariance, sont en fait des repères mobiles inertiels. Par conséquent, si v_1 et v_2 sont respectivement les vitesses constantes de ces deux repères par rapport à un repère virtuel \mathcal{R}_0 supposé fixe (on peut alors supposer que les deux vecteurs vitesse ont la même direction que l'axe Ox de \mathcal{R}_0) et si φ est une fonction qui peut être supposée de la forme $\varphi(x_1, t)$ dans le repère \mathcal{R}_1 , alors l'équation des ondes s'écrit dans \mathcal{R}_1 sous la forme

$$\square_1 \varphi(x_1, t) := \frac{\partial^2 \varphi}{\partial t^2}(x_1, t) - \frac{\partial^2 \varphi}{\partial x_1^2}(x_1, t) = f(x_1, t). \quad (11)$$

En posant $\varphi(x_2, t) = \varphi(x_1 - vt, t)$, la forme de cette équation, lorsqu'elle est écrite dans le repère \mathcal{R}_2 , reste la même. Elle s'écrit, en effet, sous la forme

$$\square_2 \varphi(x_2, t) := \frac{\partial^2 \varphi}{\partial t^2}(x_2, t) - \frac{\partial^2 \varphi}{\partial x_2^2}(x_2, t) = f(x_2, t) \quad (12)$$

dans le sens suivant :

Lorsqu'on écrit $\varphi(x_1, t) = \varphi(x_0 - v_1 t, t)$, l'équation des ondes s'écrivant dans \mathcal{R}_0 sous sa forme canonique

$$\square_0 \varphi(x_0, t) := \frac{\partial^2 \varphi}{\partial t^2}(x_0, t) - \frac{\partial^2 \varphi}{\partial x_0^2}(x_0, t) = f(x_0, t), \quad (13)$$

alors l'équation (12) est obtenue à partir de l'équation (13) de la même façon que l'équation (11) est obtenue de la même équation (13). Ceci est réalisé en donnant à la dérivée partielle par rapport à la deuxième variable, i.e. par rapport à t , dans l'équation (12) le même sens qu'on a donnée à $\frac{\partial \varphi}{\partial t}$ dans (11). En d'autres termes, on définit la dérivation $\frac{\partial \varphi}{\partial t}(x_1, t)$ en remplaçant dans

$$\frac{d}{dt} \varphi(x_0, t) = \frac{\partial \varphi}{\partial x_0}(x_0, t) x_0'(t) + \frac{\partial \varphi}{\partial t}(x_0, t),$$

$x_0(t)$ par $x_1(t) (= x_0(t) - v_1 t)$ et $x_0'(t)$ par $x_1'(t)$, considéré comme étant le même que $x_0'(t)$, et non pas en tant que

$$\frac{\partial \varphi}{\partial t}(x_1, t) = \frac{d}{dt} \varphi(x_0(t) - v_1 t, t) = \partial_1 \varphi(x_0 - v_1 t, t) (x_0'(t) - v_1) + \partial_2 \varphi(x_0 - v_1 t, t)$$

et on procède de la même manière pour la dérivation $\frac{\partial \varphi}{\partial t}(x_2, t)$ en remplaçant, dans $\frac{d}{dt} \varphi(x_0, t)$, $x_0(t)$ par $x_2(t) (= x_0(t) - v_2 t)$ et $x_0'(t)$ par $x_2'(t)$, considéré comme étant le même que $x_0'(t)$, et non pas en tant que

$$\frac{\partial \varphi}{\partial t}(x_2, t) = \frac{d}{dt} \varphi(x_0(t) - v_2 t, t).$$

Ainsi, lorsqu'on suppose que \mathcal{R}_1 est au repos et \mathcal{R}_2 est inertiel par rapport à \mathcal{R}_1 , on déduit (12) de (11) en utilisant la dérivée partielle $\frac{\partial \varphi}{\partial t}(x_2, t)$ qui s'obtient à partir de

$$\frac{d}{dt} \varphi(x_1, t) = \partial_1 \varphi(x_1, t) x_1'(t) + \partial_2 \varphi(x_1, t)$$

en remplaçant $x_1(t)$ par $x_2(t) (= x_1(t) - vt)$ et $x_1'(t)$ par $x_2'(t)$, considéré comme étant le même que $x_1'(t)$, et non pas en tant que

$$\frac{\partial \varphi}{\partial t}(x_2, t) = \frac{d}{dt} \varphi(x_1(t) - vt, t).$$

En d'autres termes, lorsqu'on effectue la dérivée partielle par rapport à la variable t de la fonction $\varphi(x_1 - vt, t)$, on suppose que la première variable est x_1 et non pas $x_1 - vt$ (i.e en considérant que la dépendance du temps de la variable x_2 est la même que celle de la variable x_1) et en remplaçant ensuite $x_1 - vt$ par x_2 .

Plus généralement, nous allons utiliser ici les deux notions de dérivation $\frac{d_1}{dt}$ et $\frac{d_*}{dt}$ déjà introduites et quelques propriétés de tensorialité concernant le changement de repères déjà établies dans les paragraphes précédents.

Considérons donc un repère euclidien virtuel fixe $\mathcal{R}_0 = (O_0, \vec{i}_0, \vec{j}_0, \vec{k}_0)$ de \mathbb{R}^3 et deux autres repères $\mathcal{R}_1 = (O_1, \vec{i}_1, \vec{j}_1, \vec{k}_1)$ et $\mathcal{R}_2 = (O_2, \vec{i}_2, \vec{j}_2, \vec{k}_2)$. On suppose que O_1 et O_2 circulent, par rapport à \mathcal{R}_0 , avec deux vitesses constantes respectives \vec{v}_1 et \vec{v}_2 . On suppose de plus que \mathcal{R}_1 et \mathcal{R}_2 sont obtenus, pour $t \geq 0$, à partir de \mathcal{R}_0 par les deux transformations linéaires A_t et B_t . Finalement, soient $X_0(t) = (x_0(t), y_0(t), z_0(t))$, $X_1(t) = (x_1(t), y_1(t), z_1(t))$ et $X_2(t) = (x_2(t), y_2(t), z_2(t))$ les expressions respectives, dans ces trois repères, d'une trajectoire donnée dans \mathbb{R}^3 . On a alors, pour tout $t \geq 0$:

$$\begin{aligned} X_1(t) &= A_t(X_0(t) - t\vec{v}_1) =: A_t.Y_0(t), \\ X_2(t) &= B_t(X_0(t) - t\vec{v}_2) =: B_t.Z_0(t) \end{aligned}$$

et

$$\begin{aligned} X_2(t) &= B_t.(A_t^{-1}.X_1(t) + t\vec{v}_1 - t\vec{v}_2) \\ &= B_t \circ A_t^{-1}.X_1(t) - B_t.t\vec{v} \end{aligned}$$

où $\vec{v} = \vec{v}_2 - \vec{v}_1$ est la vitesse relative de O_2 par rapport à O_1 . Ainsi, on a (d'après la relation (d_1)) :

$$\begin{aligned} \frac{d_1}{dt}X_1(t) &= \frac{d}{dt}X_1(t) - A'_t(X_0(t) - t\vec{v}_1) = \frac{d}{dt}X_1(t) - A'_tY_0(t) \\ &= \frac{d}{dt}X_1(t) - A'_t \circ A_t^{-1}.X_1(t) \end{aligned}$$

et, d'après la relation (d_*) :

$$\frac{d_*}{dt}X_1(t) = \frac{d}{dt}X_1(t) + A_t.\vec{v}_1 - A'_t(X_0(t) - t\vec{v}_1).$$

Or

$$\frac{d}{dt}X_1(t) = A_t \left(\frac{d}{dt}X_0(t) - \vec{v}_1 \right) + A'_t(X_0(t) - t\vec{v}_1)$$

qui s'écrit

$$\frac{d}{dt}X_1(t) = A_t.\frac{d}{dt}Y_0(t) + A'_t.Y_0(t).$$

D'où

$$\frac{d_1}{dt}X_1(t) = A_t \cdot \frac{d}{dt}Y_0(t) = A_t \cdot \frac{d_1}{dt}Y_0(t) \quad (d'_1)$$

et

$$\begin{aligned} \frac{d_*}{dt}X_1(t) &= A_t \cdot \frac{d}{dt}Y_0(t) + A_t \cdot \vec{v}_1 \\ &= A_t \cdot \frac{d}{dt}X_0(t) = A_t \cdot \frac{d_*}{dt}X_0(t) \end{aligned}$$

puisque, rappelons le, $\frac{d_1}{dt}$ et $\frac{d_*}{dt}$ sont identiques à $\frac{d}{dt}$ pour les coordonnées dans \mathcal{R}_0 .

On note que l'on a

$$\frac{d_2}{dt}X_2(t) := B_t \cdot \frac{d}{dt}Z_0(t) \quad \text{pour} \quad Z_0(t) = X_0(t) - tv_2 = Y_0(t) - t\vec{v} \quad (d'_2)$$

et

$$\frac{d_*}{dt}X_2(t) := B_t \cdot \frac{d}{dt}X_0(t),$$

ce qui donne

$$\frac{d_*}{dt}X_2(t) = B_t \circ A_t^{-1} \cdot \frac{d_*}{dt}X_1(t).$$

Par conséquent, lorsque $B_t \equiv A_t$, on obtient

$$\frac{d_*}{dt}X_2(t) = \frac{d_*}{dt}X_1(t).$$

Par ailleurs, lorsque $\vec{v}_1 = \vec{v}_2$ (i.e. $\vec{v} = 0$), on obtient (d'après les relations (d'_2) et (d'_1))

$$\frac{d_2}{dt}X_2(t) = B_t \circ A_t^{-1} \cdot \frac{d_1}{dt}X_1(t)$$

et si de plus $B_t \equiv A_t$, alors

$$\frac{d_2}{dt}X_2(t) = \frac{d_1}{dt}X_1(t).$$

Rappelons que ces deux dérivations tiennent compte d'une façon naturelle à la fois des vitesses relatives et des rotations des repères mobiles. La première coïncide, pour $A_t \equiv A$, avec la dérivation classique. la seconde devient, pour $A_t \equiv A$:

$$\frac{d_*}{dt}X_1(t) = \frac{d}{dt}X_1(t) + A \cdot \vec{v}_1.$$

Quelques unes des relations ci-dessus montrent quelques propriétés de tensorialité pour le vecteur vitesse vis à vis des changements de repères.

Dans le cas particulier où $A_t = Id_{\mathbb{R}^3}$, on obtient

$$\frac{d_1}{dt}X_1(t) = X'_1(t) = \frac{d_1}{dt}Y_0(t) = Y'_0(t) = X'_0(t) - \vec{v}_1,$$

qui n'est autre que la dérivation Galiléenne classique, et

$$\frac{d_*}{dt}X_1(t) = X'_0(t).$$

A la lumière de ce qui précède, on peut clarifier plus précisément le problème de la covariance de l'équation de Maxwell. En effet, en remplaçant $X_0(t)$, $X_1(t)$ et $X_2(t)$ par $x_0(t)$, $x_1(t)$ et $x_2(t)$ et les vecteurs vitesses \vec{v}_1 , \vec{v}_2 et \vec{v} , par les vitesses scalaires v_1 , v_2 et v , on peut affirmer que la validité du principe de covariance nécessite uniquement une légère modification de la notion de la variable spatiale ($x \rightarrow x - vt$) et celle de la différentiation par rapport au temps ($\frac{d}{dt} \rightarrow \frac{d_*}{dt}$). Ces modifications constituent les deux procédures naturelles pour inclure le mouvement du repère dans le mouvement général dans l'univers, contrairement à la conception relativiste de l'espace-temps qui conduit à l'altération de la relation naturelle entre l'espace et le temps puisque pour nous, les distances sont essentiellement proportionnelles au temps.

Forme canonique de l'équation de Maxwell

Considérons maintenant la dérivée (par rapport au temps) classique

$$\begin{aligned} \frac{d}{dt}\varphi(x_1, t) &= \frac{d}{dt}\varphi(x_0 - v_1t, t) \\ &= \partial_1\varphi(x_0 - v_1t, t)(x'_0(t) - v_1) + \partial_2\varphi(x_0 - v_1t, t). \end{aligned}$$

En prenant la dérivée $\frac{d_*}{dt}$ à la place de $\frac{d}{dt}$ lors d'un changement de variable $x_1 = x_0 - v_1t$, on obtient

$$\begin{aligned} \frac{\partial_*\varphi}{\partial t}(x_1, t) &= \frac{\partial_*\varphi}{\partial t}(x_0 - v_1t, t) \\ &:= \partial_1\varphi(x_0 - v_1t, t)\frac{d_*}{dt}x_1(t) + \partial_2\varphi(x_0 - v_1t, t) \\ &= \partial_1\varphi(x_0 - v_1t, t)x'_0(t) + \partial_2\varphi(x_0 - v_1t, t) \\ &= \frac{\partial\varphi}{\partial t}(x_0 - v_1t, t) \end{aligned}$$

dans le sens précisé auparavant, puisqu'ici $\frac{d_*}{dt}x_1(t) = x'_0(t)$, A_t étant ici identiquement égal à $Id_{\mathbb{R}^3}$. Cette dérivation est donc effectuée en considérant que la dépendance par rapport à la variable temps de la première variable $x_1(t) = x_0(t) - v_1t$ est la même que celle de la variable $x_0(t) (= x_1(t) + v_1t)$, i.e. en négligeant le terme v_1t qui provient du mouvement relatif du repère \mathcal{R}_1 ; ce qui revient à prendre la dérivée de la trajectoire repérée dans R_1 par $x_1(t)$ comme étant la dérivée de la même trajectoire repérée par R_0 , mais aussi par tout autre repère fixe isométrique à R_0 et en particulier par R_1 à condition de considérer ce dernier comme étant au repos par rapport à R_0 . Dans le même ordre d'idée posons

$$\frac{\partial_*^2 \varphi}{\partial t^2}(x_1, t) = \frac{\partial^2 \varphi}{\partial t^2}(x_0 - v_1t, t).$$

En utilisant ces notions et ces notations, on peut maintenant affirmer que la forme canonique intrinsèque de l'équation de Maxwell est

$$\square_* \varphi(x, t) := \frac{\partial_*^2 \varphi}{\partial t^2}(x, t) - \frac{\partial^2 \varphi}{\partial x^2}(x, t) = 0$$

qui se réduit, lorsqu'on se ramène au repère pour lequel l'origine est au repos, à l'équation classique

$$\square \varphi(x, t) = \frac{\partial^2 \varphi}{\partial t^2}(x, t) - \frac{\partial^2 \varphi}{\partial x^2}(x, t) = 0.$$

Lorsqu'on considère deux autres repères \mathcal{R}_1 et \mathcal{R}_2 , l'équation intrinsèque s'écrit successivement

$$\square_* \varphi(x_1, t) := \frac{\partial_*^2 \varphi}{\partial t^2}(x_1, t) - \frac{\partial^2 \varphi}{\partial x_1^2}(x_1, t) = 0$$

et

$$\square_* \varphi(x_2, t) := \frac{\partial_*^2 \varphi}{\partial t^2}(x_2, t) - \frac{\partial^2 \varphi}{\partial x_2^2}(x_2, t) = 0.$$

Ces deux équations se réduisent évidemment à l'équation classique lorsqu'on considère les repères appropriés respectifs. Néanmoins, lorsqu'on effectue le changement de repère $\mathcal{R}_1 \rightarrow \mathcal{R}_2$, la variable x_2 dans la deuxième équation doit être considérée comme étant $x_2 = x_1 - vt$, où v est la vitesse relative de \mathcal{R}_2 par rapport à \mathcal{R}_1 , et cette équation ne se réduit pas à la forme classique. Le second membre prend en fait la signification

$$\frac{\partial_*^2 \varphi}{\partial t^2}(x_1 - vt, t) - \frac{\partial^2 \varphi}{\partial x_1^2}(x_1 - vt, t).$$

Ceci veut dire que, dans la dérivée de $\varphi(x_1 - vt, t)$ par rapport au temps, le premier terme est obtenu en considérant que la dépendance du temps de la première variable provient uniquement de celle de la variable $x_1(t)$. La dépendance du temps de $x_2(t) = x_1(t) - vt$ provenant de vt n'est pas prise en compte, ce qui est tout à fait naturel puisque le mouvement relatif du repère considéré par rapport à tout autre repère ne peut pas constituer une caractéristique canonique de la propagation des ondes électromagnétiques ou, plus généralement, de tout mouvement physique réel. Si $v = 0$, les deux équations canoniques précédentes sont identiques et elles se réduisent à la forme classique lorsqu'elles sont écrites dans n'importe quel repère au repos.

Evidemment, les deux opérateurs \square_1 et \square_2 introduits au début de ce paragraphe à partir de l'opérateur \square_0 se confondent avec l'opérateur \square_0 . Comme l'opérateur \square_0 , ils se confondent, lorsqu'ils sont écrits chacun dans son propre repère au repos, avec la forme classique. L'étude de ces deux opérateurs avait pour but de montrer que l'on ne peut pas privilégier un repère inertiel donné au dépens de tous les autres. Tous les repères inertiels ont le même droit d'exprimer une loi physique. Par conséquent, on ne peut pas choisir l'un d'entre eux afin d'affirmer la non validité du principe de covariance en invoquant simplement le fait que la même loi physique s'exprime différemment dans un autre repère inertiel. Ainsi, seul l'opérateur \square_* est canonique et par suite il est le seul qui peut être utilisé canoniquement pour traduire une loi physique donnée en coordonnées locales.

Canonicité de la vitesse de la lumière

On peut maintenant conclure que seul le cadre précédent constitue le contexte propre qui permet une interprétation correcte du principe fondamental de l'invariabilité de la vitesse de la lumière dans le vide par rapport à tous les repères inertiels. En effet, si dans un repère inertiel \mathcal{R}_0 la trajectoire d'un rayon de lumière est décrite par $x_0(t) = ct$, alors lorsqu'on considère un autre repère \mathcal{R} , circulant uniformément suivant l'axe Ox de \mathcal{R}_0 avec une vitesse constante v (voir fig.5), on a :

$$x(t) = x_0(t) - vt = ct - vt,$$

où $x(t)$ est l'expression de cette même trajectoire dans le repère \mathcal{R} , puisque l'on a ici $x(t) = A_t(x_0(t) - vt)$ et $A_t = Id_{\mathbb{R}^3}$. D'où

$$\frac{d_*}{dt}x(t) = \frac{d}{dt}x_0(t) = c = 1,$$

qui est la vitesse canonique de la lumière, et

$$\frac{d_1}{dt}x(t) = \frac{d}{dt}x(t) = c - v$$

qui est conforme à la notion galiléo-newtonienne de la vitesse.

Ceci montre de nouveau l'invalidité du second postulat de la relativité spéciale qui affirme que la vitesse de la lumière ne dépend pas de la vitesse du repère mobile utilisé pour la mesurer. Naturellement le principe fondamental de l'indépendance de cette vitesse de celle de la source est parfaitement valide.

Remarque : Lorsque nous affirmons que la vitesse de la lumière dépend du repère inertiel utilisé pour la mesurer, ceci est entendu dans le sens suivant :

Lorsqu'on suppose qu'une source de lumière est située à une distance d , supposée constante, sur l'axe des x d'un repère euclidien $R_1 = (O_1, e_1, e_2, e_3)$ et qu'un autre repère $R_2 = (O_2, e_1, e_2, e_3)$, qui coïncide avec R_1 à l'instant $t = 0$, se déplace le long de l'axe des x avec une vitesse uniforme $v > 0$ relativement au repère R_1 dans la direction de la source, alors nous affirmons que la lumière émise par la source à un instant $t > 0$ atteint l'observateur situé en O_1 un peu plus tard que celui qui est situé en O_2 . De même, si R_1 est supposé fixe et si deux sources sont supposées situées toutes les deux, à l'instant $t = 0$, à une même distance d de O_1 et qui s'éloignent toutes les deux de O_1 l'une à une vitesse uniforme v_1 et l'autre à une vitesse uniforme $v_2 > v_1$ par rapport à R_1 , alors la lumière émise par la source à un instant $t > 0$ atteint l'observateur situé en O_1 avant celle qui est émise au même instant par la deuxième source.

D'un autre côté, on doit noter qu'il y a, pour nous, une différence réelle (physique) entre le mouvement réel (par rapport à un référentiel initial) d'un repère inertiel et le mouvement réel d'un corps ou d'une particule. En effet, lorsqu'on suppose que la particule (par exemple) a une accélération par rapport au référentiel initial, alors il est en accélération par rapport au repère inertiel et il émet des radiations (physiques) tandis que si l'on suppose que la particule est au repos (ou animée d'un mouvement uniforme) par rapport au référentiel initial, alors quelque soit le mouvement du repère inertiel, il est évident que la particule n'émet pas de radiations.

Par ailleurs, on peut imaginer une expérience qui prouve que la jonction d'un mouvement matériel à un autre peut conduire à une vitesse relative supérieure à 1. En effet, supposons qu'une barre de métal suffisamment longue fixée à un train qui se déplace à une vitesse uniforme $v_1 > 0$ par rap-

port à un repère virtuel fixe. Supposons ensuite qu'un générateur de courant électrique est fixé à l'origine de la barre telle que la vitesse de la propagation à l'intérieur de la barre est égale à v_2 lorsque celle-ci est au repos. Lorsque l'engin est en mouvement, la vitesse $v_1 + v_2$ de cette propagation par rapport au repère fixe peut atteindre une vitesse $v > 1$. Ce genre de mouvement sort entièrement du cadre de la relation relativiste de l'espace-temps et des notions du temps propre et de l'horloge qui retarde avec la vitesse. On peut imaginer une expérience semblable avec une barre qui tourne autour d'un axe fixe par rapport à un repère fixe donné. Par ailleurs, on peut constater que lorsqu'on instaure une relation espace-temps basée essentiellement et théoriquement sur la notion théorique des repères inertiels qui se déplacent avec des vitesses uniformes $v \in [0, 1]$, relativement les uns par rapport aux autres, on ne peut pas évacuer ni exclure la situation qui consiste à considérer trois repères inertiels tels que le troisième se déplace uniformément par rapport au deuxième et le deuxième se déplaçant de la même façon par rapport au premier et telle que la somme des deux vitesses relatives soit supérieure à 1, et la laisser sans justification.

On peut ajouter à ce qui précède que le fait de considérer les temps négatifs ($t < 0$) est fondamentalement incompatible avec la théorie confirmée de l'expansion de l'Univers qui présuppose qu'il y ait un temps originel, ou une origine du temps ($t = 0$) à partir duquel (ou, plus précisément juste après) le temps s'écoule d'une façon croissante homogène ($t > 0$).

Interprétation alternative de l'expérience de Michelson - Morley

Montrons, pour finir que l'interprétation généralement acceptée de l'expérience de Michelson-Morley est erronée.

Nous allons commencer par analyser une expérience qui pourrait servir à montrer la déficience de l'interprétation de l'expérience de l'émetteur au milieu d'un camion (avec les deux miroirs sur les deux cotés) d'une part et qui indiquerait la manière d'analyser d'autres expériences tel que l'émetteur dans un avion se dirigeant vers un observateur donné.

Considérons donc un émetteur de lumière qui se trouve au repos par rapport à la terre et qui émet des rayons de lumière parallèlement au mouvement de la terre (supposé uniforme) vers un miroir situé à une distance L de l'émetteur. Soient $0 < v < 1$ et $c = 1$ les vitesses respectives de la terre

et de la lumière relativement à un repère virtuel fixe coïncidant à l'instant $t = 0$ avec l'émetteur et ayant son axe Ox parallèle au mouvement. Soient t_1 et t_2 les temps mis respectivement par un rayon (ou plus exactement par un photon) pour atteindre le miroir et ensuite pour retourner à l'émetteur (voir fig.4''). On a évidemment, en mesurant ces deux distances relativement au repère fixe :

$$L + t_1 v = t_1$$

et

$$L - t_2 v = t_2.$$

D'où

$$t_1 = \frac{L}{1-v} \quad \text{et} \quad t_2 = \frac{L}{1+v}$$

et par suite

$$t_1 + t_2 = \frac{2L}{1-v^2}.$$

Si on suppose maintenant, conformément à la deuxième partie du deuxième postulat de la relativité spéciale, que la vitesse de la lumière par rapport au repère pour lequel l'émetteur est au repos est donnée par 1, on obtient

$$t'_1 + t'_2 = 2L$$

où

$$t'_i = \gamma(t_i - xv) \quad \text{pour} \quad i = 1, 2 \quad \text{et} \quad \gamma = \frac{1}{\sqrt{1-v^2}}.$$

Montrons que cette égalité mène à une contradiction. En effet, on a

$$\begin{aligned} 2L = t'_1 + t'_2 &= \gamma [t_1 - (L + t_1 v)v] \\ &+ \gamma \{t_2 - [L + t_1 v - t_2 - (L + t_1 v)]v\} \\ &= \gamma(t_1 + t_2 - Lv - t_1 v^2 + t_2 v) \\ &= \gamma \left(\frac{2L}{1-v^2} - Lv - \frac{L}{1-v} v^2 + \frac{L}{1+v} v \right). \end{aligned}$$

D'où

$$\gamma \left(\frac{2}{1-v^2} - v - \frac{v^2}{1-v} + \frac{v}{1+v} \right) = 2$$

et par suite

$$\frac{2 - v + v^3 - v^2 - v^3 + v - v^2}{1 - v^2} = 2\sqrt{1-v^2}$$

ou

$$\frac{2 - 2v^2}{1 - v^2} = 2\sqrt{1 - v^2}$$

ce qui donne $1 = \sqrt{1 - v^2}$ et par suite $v = 0$; ce qui est absurde.

Par ailleurs, lorsqu'on utilise la transformation galiléo-newtonienne classique on obtient

$$y(t) = x(t) - vt = t - vt \quad \text{pour} \quad 0 < t < t_1$$

et

$$y(t) = x(t) - v(t - t_1) = t_1 - vt_1 - (t - t_1) - v(t - t_1) \quad \text{pour} \quad t_1 < t < t_1 + t_2.$$

D'où

$$y(t_1) = t_1 - vt_1$$

et

$$y(t_1 + t_2) = t_1 - vt_1 - t_2 - vt_2.$$

Or $y(t_1 + t_2) = 0$ donne

$$t_1 - t_2 = v(t_1 + t_2)$$

et

$$\bar{v} = \frac{t_1 - t_2}{t_1 + t_2}$$

comme il se doit.

De plus, on a

$$y'(t) = 1 - v \quad \text{pour} \quad 0 < t < t_1$$

et

$$y'(t) = -(1 + v) \quad \text{pour} \quad t_1 < t < t_1 + t_2.$$

D'où

$$\begin{aligned} y'(t)t_1 + (-y'(t)t_2) &= (1 - v)t_1 + (1 + v)t_2 \\ &= L + L = 2L \end{aligned}$$

en agrément avec les notions galiléo-newtoniennes.

Maintenant, à la lumière de l'expérience précédente et de l'expérience du train et du miroir, on peut montrer que l'interprétation des expériences du genre Michelson-Morley est erronée. En effet, supposons que la distance globale des miroirs situés d'un côté aux miroirs situés de l'autre côté est L . Alors,

lorsqu'un rayon lumineux se dirige parallèlement puis antiparallèlement au mouvement de la terre, on peut évaluer le temps mis pour atteindre l'interféromètre comme étant

$$t_1 = \frac{L}{c-v} + \frac{L}{c+v} = \frac{2L}{1-v^2}.$$

D'un autre côté, on obtient, pour le rayon se dirigeant dans l'autre direction qui est perpendiculaire au mouvement de la terre ou bien $t_2 = 2L$ ou bien $t_2 = \frac{2L}{\sqrt{1-v^2}}$ suivant que l'on considère soit le rayon orthogonal au premier soit l'autre rayon qui se dirige dans une direction légèrement différente afin d'atteindre l'interféromètre lorsque les miroirs utilisés sont suffisamment grands. Ainsi lorsque le dispositif est tourné d'un angle de 90° , la situation est inversée et par suite t_1 est remplacé par l'une des expressions précédentes de t_2 et les deux expressions de t_2 sont remplacées par celle de t_1 ; mais $|t_2 - t_1|$ reste inchangé. Par conséquent, dans les deux cas la différence entre les deux distances parcourues reste la même, ce qui explique l'invariance du schéma d'interférence.

Géométrisation de l'Univers physique

A la lumière de tout ce qui précède, on a proposé dans cet article de conserver la conception prérelativiste (Galiléo-newtonienne) de l'espace-temps et de considérer le demi-cône $C = \{(x, y, z, t) \in \mathbb{R}^4; x^2 + y^2 + z^2 \leq t^2\}$ du monde des trajectoires dans \mathbb{R}^4 avec des restrictions imposées sur les trajectoires réelles garantissant la causalité. Ainsi, d'après ce qui précède, on peut déduire que toutes les lois de la Mécanique et de la Physique se reposant sur des relations impliquant les vecteurs vitesses, les vecteurs accélérations et des champs de vecteurs quelconques (ou plus généralement des champs de tenseurs) sont invariantes par les changements de repères effectués dans l'espace (\mathbb{R}^3, g_{t_0}) impliquant des vitesses relatives constantes et des isométries fixées ($a'_0(t) = \vec{V}_1, b'_0(t) = \vec{V}_2, A, B \in O(g_{t_0})$). On peut citer, à titre d'exemple : les lois fondamentales de la Mécanique, l'équation de Maxwell, le principe de la conservation de l'énergie, le principe de la moindre action

On a montré aussi, dans le cas général d'une métrique variable (à courbure variable et dépendante du temps) g_t , certaines propriétés de tensorialité des changements de repères et la conservation des lois de la Physique dans certains d'entre eux, notamment ceux qui sont isométriques (relativement à g_t) incluant toutes les isométries et non seulement un sous-groupe de leur groupe total.

On se propose dans la suite d'aller plus loin dans la direction de la réalité physique de l'Univers en tenant compte des phénomènes gravitationnels et des différentes manifestations de la matière comme la masse, l'électromagnétisme et les différentes formes de l'énergie (à l'exception des phénomènes quantiques et des singularités énergétiques bien qu'ils sont, dans notre nouveau contexte, beaucoup plus faciles à traiter.).

Pour cela supposons, dans un premier temps, qu'une particule de masse inertielle (quasiment) constante m_I , ne portant aucune charge, est en chute libre dans un champ gravitationnel uniforme (localement dans (\mathbb{R}^3, g_e)) défini par $\vec{g} = (0, 0, -g)$ dans un repère euclidien fixe.

Lorsque cette particule est repérée à l'aide d'un repère euclidien $(0, e_1, e_2, e_3)$ qui suit lui-même la trajectoire d'un mouvement de chute libre tel que $e_3 = (0, 0, 1)$, alors la particule paraît (comme l'a montré Einstein) comme si elle était au repos dans ce nouveau repère. De même si cette particule avait une vitesse initiale (horizontale) \vec{V}_0 (dans le repère fixe) pour $t = t_0$, alors son mouvement paraît dans le repère mobile comme s'il était uniforme tandis-qu'il est d'allure parabolique dans le repère fixe. Le repère mobile à accélération uniforme $\vec{\Gamma} = \vec{g}$ dans le repère fixe joue par conséquent le rôle d'un repère inertiel pour les deux lois d'inertie de Newton. Cette même propriété est valable pour tout repère effectuant un mouvement de chute libre semblable à notre repère mobile. Appelons un tel repère \vec{g} -inertiel. Il existe (localement dans \mathbb{R}^3) un tenseur métrique dynamique g_{ab} tel que $\nabla_{x'(t)}^{g_{ab}} x'(t) = 0$ pour tout mouvement de chute libre décrit par $x(t)$ dans le repère fixe, c.à.d. tel que les trajectoires de la chute libre (dans ce système isolé) soient des géodésiques pour cette métrique. En effet, grâce aux symétries supposées de notre système (et en utilisant les coordonnées du repère fixe), on peut supposer que l'on a :

$$g_{ij} = dx_1^2 + dx_2^2 + b(t, x_3, g)dx_3^2$$

avec $b(t, x_3, g)$ décroissant en fonction de t et de g . On a alors

$$\|x\|_{g_t(x)}^2 = x_1^2 + x_2^2 + b(t, x_3, g)x_3^2$$

et si on prend $x = x_3 e_3$, on a

$$\|x\|_{g_t(x)}^2 = b(t, x_3, g)x_3^2.$$

Le mouvement de chute libre étant décrit par

$$x_3(t) = a_3 - \frac{1}{2}gt^2 \text{ avec } x_3(0) = a_3, x_3(t_0) = 0 \text{ et } a_3 = \frac{1}{2}gt_0^2,$$

on a, pour $g > 0$:

$$t = \sqrt{\frac{2}{g}(a_3 - x_3(t))} \text{ et } x_3'(t) = -gt.$$

On a alors les équivalences suivantes :

$$\begin{aligned} \nabla_{x_3'(t)e_3}^{gt} x_3'(t)e_3 = 0 &\Leftrightarrow g^2 t \nabla_{e_3}^{gt} t e_3 = 0 \Leftrightarrow \\ g^2 t^2 \nabla_{e_3}^{gt} e_3 + g^2 t \frac{d}{dx_3} \sqrt{\frac{2}{g}(a_3 - x_3(t))} e_3 = 0 &\Leftrightarrow \\ t \frac{\frac{d}{dx_3} b(t, x_3, g)}{b(t, x_3, g)} = -\frac{d}{dx_3} \sqrt{\frac{2}{g}(a_3 - x_3(t))} &\Leftrightarrow \\ \frac{\frac{d}{dx_3} b(t, x_3, g)}{b(t, x_3, g)} = -\frac{\frac{d}{dx_3} \sqrt{\frac{2}{g}(a_3 - x_3(t))}}{\sqrt{\frac{2}{g}(a_3 - x_3(t))}} &\Leftrightarrow \\ b(t, x_3, g) = \frac{k(t)}{\sqrt{\frac{2}{g}(a_3 - x_3(t))}} = \frac{k(t)}{t}. \end{aligned}$$

Pour $x(t) = x_3(t)e_3$, on a

$$\|x_3(t)e_3\|^2 = b(t, x_3, g)x_3(t)^2 = x_3(t)^2 \|e_3\|_{g_{ij}(t)}$$

et par suite

$$b(t, x_3, g) = \|e_3\|_{g_{ij}(t)} = \frac{k(t)}{t}$$

Or, en paramétrisant cette géodésique normalement, on obtient

$$1 = \|x'(t)e_3\|_{g_{ij}(t)} = \|gte_3\|_{g_{ij}(t)} = gt \|e_3\|_{g_{ij}(t)}$$

D'où

$$\|e_3\|_{g_{ij}(t)} = \frac{1}{gt} = b(t, x_3, g).$$

Par conséquent, on obtient

$$g_{ij}(t) = dx_1^2 + dx_2^2 + \frac{1}{gt} dx_3^2 = dx_1^2 + dx_2^2 + \frac{1}{\sqrt{2g(a_3 - x_3(t))}} dx_3^2$$

Cette métrique dépend évidemment du niveau initial choisi $x_3(0) = a_3$. Dans le cas où le champ de gravitation \vec{g} est central et de norme (euclidienne) constante g et que son centre C est fixe, alors on peut intégrer (localement)

cette gravitation dans une métrique $g_{ab}(t)$ à l'aide de sa connexion canonique $\nabla^{g_{ab}}$ en définissant les géodésiques issues de C par $\nabla_{x'(t)}^{g_{ab}} x'(t) = 0$ où $x(t)$ désigne les coordonnées de ces courbes dans un repère euclidien d'origine C ou tout autre repère fixe.

Grâce à la symétrie (principe d'homogénéité et d'isotropie locales), on pourrait déterminer la métrique $g_{ab}(t)$ en utilisant les coordonnées normales riemanniennes autour de C et en les transformant ensuite en coordonnées sphériques pour obtenir :

$$g_{ab}(t) = b(t, r, g)dr^2 + r^2d\sigma^2$$

avec $b(t, r, g)$ décroissant avec t et g . Ainsi les distances au centre et les volumes sont "inversement proportionnels" à l'intensité de la gravitation.

Lorsqu'on suppose que le centre de gravitation $C(t)$ est mobile, la chute libre ne se produit pas en ligne droite dirigée vers le centre, mais suivant une courbe $x(t)$ dont la tangente est, à tout instant t , pointée vers $C(t)$. Cependant, un champ de gravitation central n'est jamais uniforme ; il dépend de la distance au centre (et par suite du temps de paramétrisation des trajectoires libres). Si $C(t)$ est mobile, alors ce champ est radialement constant relativement à un repère centré en $C(t)$. Néanmoins, si C est fixe, alors, pour des objets assez proches les uns des autres et suffisamment loins du centre, on peut considérer le champ gravitationnel comme étant uniforme. Si l'on suppose maintenant que $C'(t) \ll 1$ et $g_t \ll 1$, on retrouve approximativement la métrique euclidienne. C'est le cas, par exemple, lorsqu'on se trouve (localement) à une distance raisonnable de la surface de la terre. Mais cela n'est pas, en général, la situation qui correspond à la réalité physique. En effet, bien que l'on puisse imaginer un repère inertiel tel que la vitesse relative d'un astre donné, par exemple, est suffisamment petite, le vecteur \vec{g} (ou plutôt \vec{g}_t) dépend fortement de la distance euclidienne du corps en mouvement au centre de gravitation. Mais, dans un système supposé isolé, on peut d'une façon empirique déterminer les géodésiques (trajectoires d'objets en chute libre) et étudier leurs vecteurs vitesse et leurs vecteurs accélération relatives (en déterminant leurs déviations relatives) et en déduire les symboles de Christoffel associés à la métrique $(g_t)_{ab}$ et son tenseur de courbure $R_{bcd}^a(t)$ à l'aide des équations de déviation infinitésimale des géodésiques (R.Wald :3.3.18), tout en tenant compte de la relation $\nabla^{(g_t)_{ab}}(g_t)_{ab} = 0$ ainsi que des symétries possibles.

La métrique physique

Ces mêmes considérations doivent être prises en compte lorsqu'il s'agit de déterminer (même localement) la métrique globale $g_{ab}(t, x)$ de l'Univers en expansion $U(t) = (B(O, t), g_{ab}(t, x))$ en tenant compte des autres phénomènes (électro-magnétiques, thermo-nucléaires, radio-actives, quantiques, singularités énergétiques et autres) qui doivent être intégrés dans la métrique. Ceci nous conduit à l'équation d'Einstein dont la résolution conduit à une métrique approximative $g_{ab}(t, x)$ pouvant décrire les trajectoires des mouvements libres i.e. les géodésiques de l'Univers dynamique ($\nabla_{x'(t)}^{g_{ab}} x'(t) = 0$). La métrique $g_{ab}(t, x)$ sera dite la métrique physique.

En effet, signalons pour commencer, qu'on va noter (conformément au principe d'équivalence faible) $m_I = m_g$ la masse inertielle ou gravitationnelle d'un corps lorsqu'il est situé dans un champ gravitationnel général d'intensité \vec{g}_t induit localement par une métrique $(g_t)_{ab}$. Dans ces conditions on a $\vec{g}_t = \vec{\Gamma}_t = \nabla_{x'(t)}^{g_t} x'(t) = x''(t)$ pour une trajectoire $x(t)$ dans un repère euclidien virtuel fixe quelconque avec $\nabla_{x'(t)}^{(g_t)_{ab}} x'(t) = 0$ (comme on va le voir dans la cinquième partie de cet article). Ainsi la masse \vec{g}_t -inertielle $m_I(t)$ dépend du temps t par l'intermédiaire de la métrique $(g_t)_{ab}$ qui reflète toutes les formes d'énergie et toute sorte de fluctuations énergétiques.

Si \mathcal{R}_0 désigne un repère euclidien fixe, \mathcal{R}_1 désigne un autre repère identique à \mathcal{R}_0 dont l'origine décrit la courbe $a(t)$ (par rapport à \mathcal{R}_0), posons

$$\tilde{\Gamma}_0(x(t)) = \nabla_{x'(t)}^{g_t} x'(t)$$

et

$$\tilde{\Gamma}_{01}(x(t)) = \nabla_{x'(t)}^{g_t} x'(t) - \nabla_{a'(t)}^{g_t} a'(t) = \tilde{\Gamma}_0(x(t)) - \tilde{\Gamma}_0(a(t)).$$

$\tilde{\Gamma}_{01}(t) := \tilde{\Gamma}_{01}(x(t))$ désigne l'accélération dynamique de la trajectoire $x(t)$ dans le repère \mathcal{R}_1 qui a lui-même sa propre accélération dynamique $\tilde{\Gamma}_0(a(t)) = : \Gamma_0(t)$ et on a

$\tilde{\Gamma}_{01}(t) = \tilde{\Gamma}_0(x(t))$ si et seulement si le repère \mathcal{R}_1 est g_t -inertiel (i.e. $\nabla_{a'(t)}^{g_t} a'(t) = 0$).

Dans ces conditions on a les équivalences suivantes :

$x(t)$ décrit la trajectoire d'un mouvement libre $\Leftrightarrow x(t)$ est une courbe géodésique pour la métrique dynamique $g_t \Leftrightarrow \tilde{\Gamma}_0(x(t)) = 0$

et on a alors :

$\tilde{\Gamma}_{01}(t) = 0$ si et seulement si $a(t)$ est une géodésique.

Ceci généralise le premier principe d'inertie de Newton qui stipule qu'un mouvement est uniforme dans un repère fixe si, et seulement si, il est uniforme dans tout autre repère inertiel. Remarquons que $\nabla_{x'(t)-a'(t)}^{g_t} x'(t) - a'(t)$ n'est pas nécessairement nulle lorsque $\nabla_{x'(t)}^{g_t} x'(t) = 0$ et $\nabla_{a'(t)}^{g_t} a'(t) = 0$ contrairement à la propriété $\nabla_{x'(t)-a'(t)}^{g_e} x'(t) - a'(t) = 0$ lorsque $x''(t) = a''(t) = 0$.

A la lumière de la réalité physique de l'Univers, du principe fondamental de Mach repris par Einstein (Matière=Courbure) et du principe général de la modélisation (Physique=Géométrie), il faut tenir compte des autres aspects de la matière-énergie. Cela nous conduit au (0,2)-tenseur symétrique simplifié (défini sur $U(t) = (B(O, t) \subset \mathbb{R}^3, g_{ab}(t, x))$) et modifié (dans un sens qu'on va préciser ci-dessous) de la masse-énergie $T_{ab}^*(t)$ dont les éléments variables à déterminer sont au nombre de 6.

Considérons donc l'Univers physique identifié à chaque instant $t > 0$ à $U(t) = (B(O, t), g_{ab}(t, x))$ où $B(O, t)$ est la boule de rayon euclidien t et $g_{ab}(t)$ est la métrique riemannienne régularisée associée à l'Univers à l'instant t . Cette métrique est variable avec le temps et la position et elle est à courbure généralement positive, elle aussi variant avec le temps et la position. Cette courbure est due à la distribution des masses-énergies à chaque instant et par suite elle est due essentiellement à la globalité des champs gravitationnels et de toutes les forces d'interaction.

Le demi-cône de l'espace-temps C est formé de toutes les sections $t = cte$ ($t \geq 0$) qui sont des boules de \mathbb{R}^3 - hypersurfaces de $C \subset \mathbb{R}^4$ (à l'exception de $t = 0$), orthogonales à l'axe du temps pour la métrique de Minkowski sur \mathbb{R}^4 . Chacune de ces boules $B(I, t_0)$, de centre $(0, 0, 0, t_0)$ et de rayon euclidien t_0 , est munie de la métrique riemannienne $g_{t_0}(x)$ qui dépend de la position x et qui est à courbure variable. L'équation d'Einstein s'écrit, en général, sous la forme :

$$G_{ab}(t) := R_{ab}(t) - \frac{1}{2}R(t)g_{ab}(t) = T_{ab}^*(t) \quad (\mathcal{E})$$

où $R_{ab}(t)$ désigne le (0,2)-tenseur de Ricci associé à la métrique $g_{ab}(t)$ dans $U(t) \subset \mathbb{R}^3$, $R(t)$ est la courbure scalaire de $U(t)$. Le tenseur d'Einstein modifié $T_{ab}^*(t)$ dépend naturellement de la densité $\rho(t)$ de la distribution de la masse-énergie, du champ gravitationnel ambiant, de la pression $P(t)$ résultant des phénomènes typiquement associés à des fluides parfaits, du champ électrique global $\vec{E}(t)$ et du champ magnétique global $\vec{B}(t)$ et des autres manifestations énergétiques. Tous ces objets tensoriels varient avec le temps et la position suivant que l'espace soit, localement et à un instant donné, à dominante

matérielle ou radiationnelle. Notons que l'on a :

$$\nabla^a T_{ab}^*(t) = 0,$$

(ainsi que $\nabla^a G_{ab}(t) = 0$ d'après la deuxième identité de Bianchi) où $\nabla = \nabla(g_{ab}(t))$ est la connexion de Levi-Civita associée à la métrique riemannienne $g_{ab}(t)$, assurant ainsi la validité de la loi de la conservation de l'énergie et que, par construction, les trajectoires des corps soumis uniquement aux forces naturelles, des astres et des galaxies sont substantiellement et globalement des géodésiques pour la métrique $g_{ab}(t)$ (sur le plan théorique). La tâche cruciale qui reste est de résoudre (localement) cette équation en se basant sur une banque de données dynamiques aussi précises que possible. Cette résolution va être effectuée au paragraphe 10.

Remarquons que le problème des trois corps (ou plus généralement des n corps), qu'ils forment ou non un système isolé, doit être traité dans ce contexte. Si $(g_t)_{ab}$ est la métrique globale ambiante et si $x_i(t) (i = 1, 2, 3)$ décrivent les trajectoires de ces trois corps dans un repère virtuel fixe quelconque, alors on a :

$$\nabla_{x'_i(t)}^{(g_t)_{ab}} x'_i(t) = 0 \quad \text{pour } i = 1, 2, 3.$$

Si l'on suppose que ces trois corps forment un système isolé, alors on peut réciproquement utiliser ces équations avec toutes les données du problème pour retrouver la métrique $(g_t)_{ab}$.

Plus généralement, on peut déterminer localement la métrique $(g_t)_{ab}$ d'une façon empirique : Si $X(t)$ désigne la trajectoire d'une particule ou d'un corps mobile sous la seule action des forces naturelles (i.e. des forces qui ne sont pas issues de phénomènes énergétiques singuliers; un tel mouvement sera qualifié de mouvement libre) dans un repère fixe, alors on a $\nabla_{X'(t)}^{g_t} X'(t) = 0$ à tout instant t . Ainsi la détermination empirique d'un certain nombre de géodésiques $X(t)$ permet de déterminer approximativement les symboles de Christoffel et la métrique g_t en tout point de $X(t)$. Ainsi la métrique g_t est déterminée soit à l'aide de ses géodésiques soit en déterminant le tenseur T_{ab}^* et en résolvant l'équation d'Einstein simplifiée. Signalons que lorsque $T_{ab}^* = 0$ sur une région $D \subset B(O, t)$, cela signifie d'après la définition même de ce tenseur, que la région D est non seulement dépourvue de matière mais aussi qu'elle est en dehors de toutes les influences énergétiques de la matière et par conséquent on a $g_{ab} = g_e$ sur D ainsi que $R_{ab} = 0$ et $R = 0$. Dans les cas particuliers (Fluide parfait, champ électro-magnétique et champ scalaire de Klein-Gordon), les cas asymptotiques et les cas quasi-newtoniens, la

résolution de l'équation (\mathcal{E}) est beaucoup plus facile dans le cadre de notre modèle que dans celui de la relativité générale standard. On reviendra sur ces sujets dans la suite.

Remarque : Notre tenseur T_{ab}^* et notre métrique physique g_t qui lui est associée intègrent dans leur définition toutes les formes de la matière-énergie ainsi que tous leurs effets contrairement au tenseur d'Einstein et de la métrique de l'espace-temps qui lui est associée qui reflète le champ gravitationnel causé par une masse donnée en présence d'un champ de matière (du genre fluide parfait avec ou sans pression) et éventuellement d'un champ électromagnétique ou en leur absence. L'équation d'Einstein dans le vide

$$R_{ab} - \frac{1}{2}R g_{ab} = 0$$

est caractérisée par $\rho = 0$, $T_{ab} = 0$, $R_{ab} = 0$ et $R = 0$ n'implique pas que la métrique de l'espace-temps se réduit à la métrique plate. Par ailleurs, lorsqu'on introduit la constante cosmologique Λ , l'équation d'Einstein dans le vide devient

$$R_{ab} = \frac{1}{2}R g_{ab} - \Lambda g_{ab}$$

et on a alors $R = 4\Lambda$ et si $\Lambda \neq 0$, alors $R \neq 0$ et les géodésiques dans le vide d'Einstein ne sont pas celles de l'espace plat. Ainsi, à la lumière de notre modèle, Λ reflète l'influence de la matière cosmique là où il n'y a pas de matière (bien qu'il y ait de la gravité intergalactique, des radiations cosmiques et des neutrinos) et en toute logique elle dépendrait du temps et probablement des régions dans l'espace. Pour nous, une région de l'espace est dans le vide absolu (i.e. $T_{ab}^* = 0$) si, et seulement si, cette région est (quasiment) à l'abri de toutes les manifestations de la matière ainsi que de leurs influences.

Disons un dernier mot sur l'horizon des particules ou la partie de l'Univers à partir de laquelle un observateur isotropique (se déplaçant dans le sens de l'expansion à la vitesse de la lumière approximativement) peut recevoir un émetteur de lumière qui y est situé à un instant donné :

Si P_0 est un tel observateur, alors l'horizon des particules pour lui est la réunion de toutes les boules de centre P_t situé sur la ligne isotropique (OP_0), par suite cet horizon n'est autre que le demi-espace situé au delà du plan perpendiculaire en P_0 à cette ligne (voir figure 6). Évidemment cet horizon est purement théorique à cause des singularités (essentiellement les trous noirs) qui se trouvent dans l'Univers physique réel. Un observateur ordinaire ne peut voir qu'une petite partie de l'Univers en expansion.

Comparaison avec l'invariance relativiste de la vitesse de la lumière

Dans le cadre de la relativité restreinte, la vitesse de la lumière est indépendante de l'observateur galiléen qui est généralement représenté, dans l'espace-temps relativiste (\mathbb{R}^4, η) (où η est la métrique de Minkovsky $-dt^2 + dx_1^2 + dx_2^2 + dx_3^2$), par une droite de type temps D . En considérant une paramétrisation normale $c : I \subset \mathbb{R} \rightarrow \mathbb{R}^4$ de D (i.e. $\eta(c'(t), c'(t)) = -1$) et une paramétrisation quelconque $\tilde{c} : J \subset \mathbb{R} \rightarrow \mathbb{R}^4$ d'un autre observateur galiléen \tilde{D} , on écrit

$$\tilde{c}'(t) = \vec{k} + \alpha c'(t)$$

pour $\vec{k} \in c'(t)^\perp$ et $\alpha \in \mathbb{R}$, où $c'(t)^\perp$ est l'hyperplan orthogonal, pour la métrique η , du vecteur $c'(t)$, qui n'est autre que l'ensemble des points simultanés à $c(t) \in D$ à l'instant t . On définit alors le vecteur vitesse relative de l'observateur \tilde{D} par rapport à D par

$$\vec{v}_{\tilde{D}/D} = \frac{\vec{k}}{\alpha}$$

et si \tilde{c} est une paramétrisation normale, par rapport à D , de \tilde{D} alors on a $\alpha = 1$ et $\vec{v}_{\tilde{D}/D} = \vec{k}$.

On démontre alors que la vitesse relative de la lumière par rapport à l'observateur galiléen arbitraire D est $c=1$. Ceci est établi en considérant une droite de type lumière L paramétrée par $\tilde{c}(t) = M + tl$ où $\eta(l, l) = 0$ et M est un point quelconque du cône de type temps et en prenant $A = c(t) \in D$ et $B = \tilde{c}(t)$ le point de L simultané à $c(t)$ pour D et en écrivant

$$\tilde{c}'(t) = l = \vec{k} + \alpha c'(t)$$

où $\alpha \in \mathbb{R}$ qu'on peut supposer positif et $\vec{k} \in c'(t)^\perp$ et finalement en considérant le vecteur vitesse relative comme étant

$$\vec{v}_{L/D} = \frac{\vec{k}}{\alpha}$$

qui est censé représenter le vecteur vitesse de la lumière par rapport à l'observateur D .

Ainsi la relation $\eta(l, l) = \eta(\vec{k}, \vec{k}) + \alpha\eta(c'(t), c'(t)) = \eta(\vec{k}, \vec{k}) - \alpha^2 = 0$ implique

$$\alpha = \sqrt{\eta(\vec{k}, \vec{k})} \quad \text{et} \quad \|\vec{v}_{L/D}\|_\eta = \sqrt{\eta\left(\frac{\vec{k}}{\alpha}, \frac{\vec{k}}{\alpha}\right)} = \frac{\sqrt{\eta(\vec{k}, \vec{k})}}{\alpha} = 1.$$

Pour nous, ce raisonnement es valable uniquement dans le cas d'un observateur stationnaire i.e. lorsque D se confond avec l'axe du temps où l'on a alors $c(t) = N + t(1, 0, 0, 0)$, $c'(t) = (1, 0, 0, 0)$, $c'(t)^\perp$ est un hyperplan parallèle à $(0, x_1, x_2, x_3)$ pour $x_1, x_2, x_3 \in \mathbb{R}$ et $\tilde{c}(t) = M + t(1, \frac{1}{\sqrt{3}}, \frac{1}{\sqrt{3}}, \frac{1}{\sqrt{3}})$ vérifiant $\eta(\tilde{c}'(t), \tilde{c}'(t)) = 0$.

Lorsqu'on prend un observateur galiléen quelconque, $c'(t)^\perp$ ne sera plus nécessairement, dans le cadre relativiste, l'hyperplan - espace considéré précédemment.

La relation établie ci-dessus pour deux observateurs galiléens D et \tilde{D} qui a conduit à la définition de la vitesse relative $\vec{v}_{\tilde{D}/D} = \vec{k}$ dans le cadre relativiste n'a pour nous aucune signification physique. Cette définition, ainsi que la notion relativiste de l'espace - temps, a été conçu uniquement pour justifier le deuxième postulat de la relativité restreinte qui stipule que la vitesse de la lumière est la même pour tous les observateurs galiléens.

Pour nous (comme on va le montrer au paragraphe 5), l'Univers physique réel n'est autre qu'une partie de \mathbb{R}^3 qui est modélisée, à chaque instant t , par la boule euclidienne $B(O, R(t))$ de \mathbb{R}^3 munie de la métrique physique g_t (qui reflète la consistance physique de l'Univers) et, dans ces conditions, la mesure de la vitesse de tout observateur ou trajectoire dans $B(O, R(t))$, paramétrée dans le semi-cône de l'espace - temps

$$C = \{(x, y, z, t); x^2 + y^2 + z^2 \leq R^2(t) \sim t^2, t > 0\} = \bigcup_{t>0} B(O, R(t)) \times \{t\}$$

par $c(t) = (t, x_1(t), x_2(t), x_3(t))$ et dans $B(O, R(t))$ par $X(t) = (x_1(t), x_2(t), x_3(t))$, n'est autre que $\|X'(t)\|_{g_t}$. Cette vitesse est mesurée donc dans $B(O, R(t))$ à l'aide de la métrique physique g_t et non pas dans le semi-cône C de \mathbb{R}^4 et si l'on désigne par $h_t := dt^2 - g_t$ la métrique à l'instant t du semi-cône, qui est associée à g_t , on a

$$0 < \|c'(t)\|_{h_t} < 1 \quad \text{et} \quad \|X'(t)\|_{g_t} < 1$$

pour tout observateur tandis que

$$\|c'(t)\|_{h_t} = 0 \quad \text{et} \quad \|X'(t)\|_{g_t} = 1$$

pour les trajectoires caractérisant les rayons de lumière (ceux-ci sont caractérisés aussi par $\nabla_{X'(t)}^{g_t} X'(t) = 0$).

Ainsi, lorsqu'une partie de l'Univers peut être assimilée au vide absolu, on a alors (dans cette partie) $g_t = g_e$ et $h_t = dt^2 - g_e = -\eta$ et on peut considérer des observateurs galiléens D_1 et D_2 qui auront chacun une vitesse relative par rapport à un observateur stationnaire D_0 représenté par l'axe du temps

(ou une droite verticale quelconque) et si $c_1(t)$ et $c_2(t)$ sont les deux paramétrisations normales de D_1 et D_2 alors on a

$$\vec{c}'_1(t) = \vec{k}_1 + (1, 0, 0, 0)$$

$$\vec{c}'_2(t) = \vec{k}_2 + (1, 0, 0, 0)$$

où \vec{k}_1 et \vec{k}_2 sont les projections sur $B(O, R(t))$, parallèlement à l'axe du temps (qui lui est orthogonal) de $\vec{c}'_1(t)$ et $\vec{c}'_2(t)$, et la vitesse relative de D_2 par rapport à D_1 n'est autre que $\vec{v}_{D_2/D_1} =: \vec{k}_r = \vec{k}_2 - \vec{k}_1$. De même la vitesse de la lumière par rapport à D_0 est, dans ce cadre précis, $\|\vec{k}\|_{g_e} = 1$ lorsque $\tilde{c}(t)$ désigne la trajectoire de la lumière et $\tilde{c}'(t) = l$ s'écrit sous la forme $l = \vec{k} + (1, 0, 0, 0)$ avec $h(l, l) := (dt^2 - g_e)(l, l) = 0$. De plus, la vitesse relative de la lumière par rapport à l'observateur D_1 n'est autre que $\vec{k} - \vec{k}_1$. Ainsi, si D_0, D_1 et L se trouvent dans le même plan et si $v_{D_1/D_0} = v$, alors la vitesse relative de la lumière par rapport à D_1 est $1 - v$.

Dans l'Univers physique réel $(B(O, R(t), g_t))$, on peut définir le vecteur vitesse relative instantané de la lumière par rapport à un observateur D_1 uniquement en un point où D_1 et la trajectoire L de la lumière se croisent à l'instant t par $\vec{k} - \vec{k}_1$ ayant pour norme physique $\|\vec{k} - \vec{k}_1\|_{g_t}$ où \vec{k} et \vec{k}_1 sont les vecteurs de type espace associés à L et D . Cette norme se réduit à la norme euclidienne dans le vide absolu.

5 Matière, Énergie, Masse et Trous noirs

Notons pour commencer que la globalité de cette étude est basée sur les grands principes sérieusement confirmés de la Mécanique et de la Physique, établis par Newton, Einstein, Hubble et beaucoup d'autres et qui coïncident dans des cas particuliers spécifiques avec des lois codifiées, mesurées et vérifiées, établies par un grand nombre de physiciens comme Maxwell, Lagrange, Hamilton, Shrodinger, Bohr et Planck et parfaitement modélisées à l'aide des travaux de Gauss, d'Euler et de Riemann entre autres.

Notre point de départ ici est l'équation d'Einstein simplifiée et modifiée suivante :

$$G_{ab} := R_{ab} - \frac{1}{2}Rg_{ab} = T_{ab}^* \quad (14)$$

où les tenseurs symétriques utilisés ici sont définis sur la boule $B_e(O, R(t)) \subset \mathbb{R}^3$ qu'on va considérer tout au long de cette étude (par souci de simplicité et de clarté) comme étant la boule euclidienne $B_e(O, t)$, ce qui revient en

fait à supposer que la vitesse de l'expansion est déterminée par la vitesse de propagation des ondes électromagnétiques et que celle-ci était de tout temps égale à $c = 1$ (le cas général sera discuté à la fin de cet article).

Ces tenseurs dépendent du temps $t > 0$ et décrivent des phénomènes physico-géométriques inhérents à l'Univers physique à l'instant t . Ainsi T_{ab}^* désigne dans cette équation le tenseur global de la matière-énergie qui vérifie $\nabla^a T_{ab}^* = 0$, où $\nabla = \nabla(g_{ab}(t))$ est la connexion de Levi-civita associée à la métrique $g_{ab}(t)$, conformément à la relation $\nabla^a G_{ab} = 0$ (qui résulte de la deuxième identité de Bianchi).

La distribution de la matière située dans une région de l'Univers détermine à tout instant t une distribution de masse inertielle $m_t(X)$ créant un champ gravitationnel global et des champs de force donnés. Cette masse inertielle est assujettie à des transformations énergétiques évolutives (avec le temps) de différentes sortes : électro-magnétiques, thermo-nucléaires et radio-actives. À l'aspect inertiel statique de la matière (caractérisé par la masse inertielle) et à l'aspect évolutif permanent, il faut ajouter l'aspect dynamique, c.à.d. la création et la transformation de l'énergie cinétique de la matière en mouvement. Notons aussi que le mot énergie doit être interprété ici dans un sens total et unifié.

De même g_{ab} désigne la métrique physique (variable avec la position et le temps) qui, à tout instant t , reflète la perturbation permanente de l'espace géométrique plate $(B_e(O, t), g_e)$ causée par la matière, conformément au principe de Mach repris par Einstein. Cette perturbation est traduite par la création de la courbure spatiale qui est prise en compte dans l'équation (14) par l'intermédiaire du tenseur de Ricci $R_{ab}(t)$ et de la courbure scalaire non négative $R(t)$. Ainsi, la métrique g_{ab} mesure en fait l'effet de la matière contenue dans l'espace plutôt que le volume géométrique de cet espace qui est mesuré conventionnellement à l'aide de la métrique euclidienne g_e . Notons enfin que ces tenseurs, contrairement aux tenseurs riemanniens, peuvent admettre des singularités qui sont, comme on va le voir, liées essentiellement au phénomène de l'effondrement ("collapsing") de la matière, engendrant ainsi ce qu'on appelle couramment un trou noir. L'équation (14) s'écrit

$$Rg_{ab} = 2(R_{ab} - T_{ab}^*) =: G_{ab}^*. \quad (15)$$

Elle contient, à tout instant t , toute la géométrie physico-cosmique de l'Univers $U(t)$.

Supposons que G_{ab}^* s'annule sur une boule $B := B(I, r) \subset B(O, t)$. Alors on a :

$$R_{ab} = 0 \text{ si et seulement si } T_{ab}^* = 0 \text{ sur } B.$$

Or, d'après la définition même du tenseur T_{ab}^* , la relation $T_{ab}^* = 0$ est équivalente à $g_{ab} = g_e$ sur B et on a alors $R = 0$. Si $R \neq 0$ sur un voisinage de I dans

B , alors on a $g_{ab} = \frac{1}{R}G_{ab}^* = 0$ sur ce voisinage et par suite $R = 0$, ce qui est absurde. De même, R ne peut pas s'annuler en un point isolé dans B (en I par exemple) ou même sur une courbe d'intérieur vide dans B (qui passe par I par exemple) puisqu'en dehors de ce point ou de cette courbe, on aurait $R \neq 0$; ce qui est impossible. Donc si $G_{ab}^* = 0$, g_{ab} ne peut pas être un (0,2)-tenseur de classe C^2 non nul sur B avec $R \neq 0$. Par contre g_{ab} peut être considérée alors comme étant une distribution à support contenu dans I (pour une raison de symétrie) de la forme $k\delta_I g_e$ où

$$\delta_I g_e(X(I), Y(I)) = g_e(X(I), Y(I))$$

pour deux vecteurs tangents quelconques $X(I)$ et $Y(I)$ en I et

$$\delta_I g_e(X(P), Y(P)) = 0$$

pour $P \in B$, $P \neq I$ et $X(P)$ et $Y(P)$ deux vecteurs tangents quelconques en P .

En effet, cette situation correspond en fait à la formation d'un trou noir créé par l'effondrement concentrique complète d'une agglomération matérielle ayant une très grande densité volumique (de sa masse inertielle) qui s'exprime par une force de gravitation centrale trop importante. Par conséquent g_{ab} ne peut pas être nulle et par suite $supp(g_{ab})$ est réduit au centre I et on a

$$g_{ab} \simeq (V_e(B) - E)\delta_I g_e, \quad dv_g \simeq (V_e(B) - E)\delta_I$$

$$dv_g(I) \simeq V_e(B) - E \quad \text{et} \quad E_t(X) \simeq E\delta_I$$

où δ_I est la masse de Dirac au point I et E est l'énergie de masse équivalente à la masse inertielle globale m de l'agglomération, juste avant la dernière phase de l'effondrement. Le point I est le centre d'une gravitation centrale qui absorbe toute particule qui atteint B . Ainsi le trou noir B constitue, en quelque sorte, une région d'absorption totale de la matière et des ondes électromagnétiques (une région de "no escape"). En fait B est la boule de Schwarzschild qui est caractérisée par le fait que quasiment aucun signal ne peut pas être émis à partir d'elle. L'énergie totale concentrée en I du trou noir B est approximativement $E \sim m$. En I , on peut considérer la densité volumique de la matière-énergie et la courbure comme étant infinies. Autrement dit I est une singularité de l'espace physique $B(O, t)$.

Remarquons qu'on ne peut pas avoir non plus g_{ab} de classe C^2 avec $R \neq 0$ et telle que l'une des valeurs propres $\lambda_i(t, X)$, $i = 1, 2, 3$, de G_{ab}^* soit nulle (respt. deux d'entre elles soient nulles) sur une boule $B(I, r)$ puisqu'alors on

a : $vol(B, g_{ab}) = 0$ et g_{ab} se diagonalise sur une base orthonormale (par rapport à g_e) de vecteurs propres sous la forme

$$\frac{\lambda_1(t, X)}{R} dx_1^2 + \frac{\lambda_2(t, X)}{R} dx_2^2 \quad \left(\text{resp. } \frac{\lambda_1(t, X)}{R} dx_1^2 \right);$$

ce qui constitue un phénomène physique incompatible avec le principe (intuitive) d'isotropie et d'homogénéité locales. Donc chacun de ces deux cas implique l'annulation des trois valeurs propres sur B et on aurait de nouveau $G_{ab}^* = 0$ sur B et la même contradiction et on se retrouve dans la situation d'un trou noir statique de Schwarzschild ou d'autres types de trous noirs.

Revenons à l'Univers $U(t)$ et considérons une agglomération matérielle dans une région connexe incluse dans $B(O, t)$. Soit $m(t) \sim e(t)$ la masse inertielle totale de cette agglomération ou, d'une façon équivalente, son énergie potentielle matérielle globale. Distinguons deux sortes de gravitation créée par cette matière : la gravitation interne ou d'interaction (responsable, avec les forces de liaisons, de la cohésion ou de la non dispersion de l'agglomération) définie dans cette région et la gravitation externe définie tout autour de cette région. Pour l'Univers à l'instant $t = 0$ dont la masse inertielle totale M_0 , convertie en énergie totale E_0 , est supposée finie (comme il est généralement admis par les physiciens), la totalité de la gravitation avant le Big Bang est interne. Pour le centre I d'un trou noir statique $B(I, r)$, la gravitation interne est concentrée en I et la gravitation externe est définie essentiellement sur B où elle y est extrême; en dehors de B le trou noir crée une gravité newtonienne ordinaire. Pour un système matériel isolé (comme une galaxie avec son étendue gravitationnelle significative) de masse globale m , la gravitation globale de ce système est essentiellement interne, tandis que si l'on considère un astre quelconque de cette galaxie, alors on doit distinguer entre sa gravitation interne et sa gravitation externe à l'intérieur de la galaxie. Ceci reste vrai à tous les échelons des formations matérielles. On va montrer plus loin que la gravité interne est fortement liée à l'énergie de liaison et aux forces de liaison.

De même, il faudrait distinguer dans l'Univers dynamique entre l'énergie cinétique et l'énergie potentielle inertielle d'un système matériel se déplaçant à une vitesse $v(t) < 1$. La première est égale en effet à $E_c(t) = \frac{1}{2}m(t)v^2(t)$ où $m(t)$ est sa masse inertielle à l'instant t . Pour l'Univers à l'instant $t = 0$, l'énergie cinétique est nulle et l'énergie potentielle inertielle est $E_0 \sim M_0$. Pour un système matériel isolé, comme une galaxie se déplaçant à la vitesse v , on a $E_c = \frac{1}{2}mv^2$ (où m est la masse inertielle globale de ce système) et son énergie totale est $E = m(1 + \frac{1}{2}v^2)$. Rappelons que (d'après le paragraphe 4) pour toute particule mobile dont la trajectoire libre est décrite par

$X(t)$ dans un repère virtuel fixe on a $\tilde{\Gamma}(t) = \nabla_{X'(t)}^{g_{ab}} X'(t) = 0$, tandis que $\Gamma(t) = \nabla_{X'(t)}^{g_e} X'(t) = X''(t) = 0$ si et seulement si $X(t)$ désigne une trajectoire à vitesse constante dans un repère g_e -inertiel.

Distributions d'énergie et de masse

Supposons maintenant que la distribution de la masse inertielle de la matière dans l'Univers $B(O, t)$ est donnée par $m_t(X)$, à laquelle on associe la mesure $dm_t =: \rho_t$. Désignons par $g_t = g_{ab}(t)$ la métrique riemannienne sur $B(O, t)$ reflétant cette distribution et par $\mu_t = dv_{g_t} = v_t(X)dX$ la mesure de densité $v_t(X)$ par rapport à la mesure de Lebesgue dX sur $B(O, t)$. La masse inertielle globale de l'Univers à l'instant t est donnée par :

$$M(t) = \int_{B_e(O,t)} \rho_t := \int_{B_e(O,t)} m_t(X)dX$$

Par ailleurs, désignons par $E(t, X) = E_t(X)$ la distribution de l'énergie potentielle généralisée qui englobe, par définition, toutes les manifestations de la matière et tous ses effets (la distribution $m_t(X)$, l'énergie pure des trous noirs, la gravité, l'électromagnétisme et les forces d'interaction) et désignons par $\nu_t := E_t(X)dX$ la mesure associée à cette distribution. Dans ces conditions on a : $\nu_t = dX - \mu_t$ et cette relation exprime le fait que ν_t mesure le défaut du volume physique réel d'un domaine (dans $U(t)$), contenant une distribution matérielle, par rapport au volume spacial euclidien de ce domaine supposé vide de matière. Cette relation s'écrit $\mu_t = dX - \nu_t$ ou aussi $v_t(X) = 1 - E_t(X)$ exprimant ainsi que μ_t mesure le volume physique réel en tenant compte de la modification des distances euclidiennes imposée par le métrique g_t qui elle même reflète l'existence de la matière-énergie dans ce même domaine. On a naturellement

$$\rho_t \leq \nu_t \leq dX$$

ou, en d'autres termes

$$m_t(X) \leq E_t(X) \leq 1.$$

Tout ceci est bien confirmé par notre calcul explicite des métriques correspondant à la gravitation uniforme et à la gravitation centrale étudiées au paragraphe 4. D'autre part, ces relations justifient la caractérisation de la métrique g_{ab} des trous noirs établie ci - dessus.

Le principe d'équivalence et la loi de la conservation de l'énergie donnent

$$\begin{aligned} E(t) &:= \int_{B(O,t)} E_t(X) dX := \int_{B(O,t) \setminus \bigcup_{\alpha \in A} B_\alpha} E_t(X) dX + \sum_{\alpha \in A} e_\alpha \\ &= E(0) =: E_0 \sim M_0 \end{aligned}$$

où e_α désigne l'énergie du trou noir B_α pour tout $\alpha \in A$.

Ainsi, considérons, dans un premier temps, le demi-cône de l'espace-temps

$$C = \{(x, y, z, t) \in \mathbb{R}^4; x^2 + y^2 + z^2 \leq t^2, t \geq 0\} = \bigcup_{t \geq 0} B_e(O, t) \times \{t\}$$

et munissons le de la métrique η définie par

$$\eta(t, X) = dt^2 - g_e(X)$$

induite par la métrique de Minkowski définie sur l'espace virtuel \mathbb{R}^4 . Au sein de ce demi-cône se produit la création dynamique de l'espace géométrico-temporel réel en expansion permanente, $B(O, t)$, formant ainsi l'espace réel physique : $U(t) = (B(O, t), g_t)$ toujours en expansion dans \mathbb{R}^3 .

Notons que, sur l'intérieur de C , η est bien une métrique riemannienne. Considérons la fonction de l'énergie potentielle généralisée $E(t, X) = E_t(X)$ pour $X \in B(O, t)$ et supposons que E est continue sur C et que ses dérivées partielles d'ordre ≤ 2 existent et sont continues et bornées sur $C^* = C \setminus \{O\}$. L'énergie globale de l'Univers à l'instant $t > 0$ s'écrit

$$E(t) = \int_{B(O,t)} E(t, X) dX = \int_0^t dr \int_{S_e(O,r)} E(r, X) d\sigma_r = E_0$$

et par suite

$$E'(t) = \int_{S(O,t)} E(t, X) d\sigma_t =: S(t) = 0$$

pour tout $t > 0$. Ainsi la fonction du temps S n'est autre que $E_0 \delta_{\mathbb{R}^+}$ et on a

$$E_t|_{S(O,t)} = 0 \text{ pour } t > 0.$$

Notons qu'à l'intérieur d'un trou noir $B(I, r) \subset B(O, t)$, au cas où il existe, on a :

$$E_t(X) = e(I) \delta_I = m(I) \delta_I,$$

où $e(I)$ est l'énergie potentielle de masse équivalente à la masse inertielle $m(I)$. Ainsi $e(I)$ est une partie de l'énergie initiale E_0 de l'Univers originel

qui s'est reconcentrée à un moment donné (postérieur au Big Bang) au point I ; tandis que $E(t, X) = e(I)\delta_I$ désigne la fonction de l'énergie potentielle de masse généralisée sur $B(I, r)$. Notons aussi que la fonction $E_t(X)$ est nulle dans les régions de l'Univers considérées comme étant dépourvues de la matière et de ses effets . Signalons enfin que, bien que la fonction $E(t, X)$ est loin d'être de classe C^2 , on peut quand même raisonnablement l'approcher par une telle fonction (idéalisant de la sorte l'Univers) ou alors la considérer, ainsi que toutes ses dérivées partielles, au sens des distributions.

Équation de la matière - énergie

Considérons maintenant la partie C_1 du demi-cône de l'espace-temps C située entre $t = t_1$ et $t = t_2$. On a $\partial C_1 = B(O, t_1) \cup B(O, t_2) \cup S_1$ où S_1 est la frontière latérale de C_1 . Considérons le champ de force F_η défini sur C^* et dérivant de la fonction potentielle totale $E(t, X)$ i.e.

$$F_\eta(t, X) := -\nabla^\eta E(t, X) := -grad_\eta E(t, X).$$

Ainsi, si $u(t) = (t, X(t))$ est une trajectoire donnée et si on a $F_\eta(u(t)) = 0$, alors on a :

$$\begin{aligned} \eta(F_\eta(u(t)), u'(t)) = 0 &\Leftrightarrow \eta(\nabla^\eta E(u(t)), u'(t)) = 0 \\ &\Leftrightarrow dE(u(t)).u'(t) = 0 \Leftrightarrow \frac{d}{dt}E(u(t)) = 0 \Leftrightarrow E(u(t)) = cte. \end{aligned}$$

Par ailleurs, la relation

$$\|F_\eta(u(t))\|_\eta = \|\nabla^\eta E(u(t))\|_\eta = 0$$

équivaut à

$$dE(u(t)).\nabla^\eta E(u(t)) = 0$$

et à

$$\frac{\partial E}{\partial t}(u(t))^2 = |\nabla^{ge} E_t(X(t))|^2 = \sum_{i=1}^3 \frac{\partial E}{\partial x_i}(u(t))^2.$$

De même on a

$$\|u'(t)\|_\eta = 0 \Leftrightarrow \|(1, X'(t))\|_\eta = 0 \Leftrightarrow |X'(t)| = 1,$$

ce qui veut dire que la vitesse euclidienne est égale à 1 et par suite on a

$$|X(t) - X(t_0)| = t - t_0 \text{ pour } t \geq t_0 \geq 0$$

et la trajectoire dans C se réduit à un rayon d'un cône de lumière.

Désignons par $d\eta$ la mesure associée à η dans C et par Δ_η l'opérateur de Laplace-Beltrami sur C ($d\eta$ est une mesure de densité $f(t, X) \geq 0$ par rapport à la mesure de Lebesgue sur C avec $f(t, X) = 0$ sur ∂C). D'après le théorème de Stokes on a (en désignant par S_1 la frontière latérale de C_1 et par \vec{n} le vecteur normal de S_1) :

$$\begin{aligned} \int_{C_1} \Delta_\eta E(t, X) d\eta &= \int_{C_1} \operatorname{div}_\eta(\nabla^\eta E(t, X)) d\eta \\ &= \int_{B(O, t_2)} \eta(\nabla^\eta E(t_2, X), \frac{\partial}{\partial t}) f(t_2, X) dX \\ &\quad - \int_{B(O, t_1)} \eta(\nabla^\eta E(t_1, X), \frac{\partial}{\partial t}) f(t_1, X) dX + \int_{S_1} \eta(\nabla^\eta E(t, X), \vec{n}) d\eta \\ &= \int_{B(O, t_2)} \frac{\partial E}{\partial t}(t_2, X) f(t_2, X) dX - \int_{B(O, t_1)} \frac{\partial E}{\partial t}(t_1, X) f(t_1, X) dX. \end{aligned}$$

Ainsi, on obtient :

$$\begin{aligned} \int_{C_1} \Delta_\eta E(t, X) d\eta &= \int_{t_1}^{t_2} dt \int_{B(O, t)} \Delta_\eta E(t, X) f(t, X) dX \\ &= \int_0^{t_2} dt \int_{B(O, t)} \Delta_\eta E(t, X) f(t, X) dX - \int_0^{t_1} dt \int_{B(O, t)} \Delta_\eta E(t, X) f(t, X) dX \\ &= \int_{B(O, t_2)} \frac{\partial E}{\partial t}(t_2, X) f(t_2, X) dX - \int_{B(O, t_1)} \frac{\partial E}{\partial t}(t_1, X) f(t_1, X) dX = F(t_2) - F(t_1) \end{aligned}$$

avec

$$F(t) := \int_{B(O, t)} \frac{\partial E}{\partial t}(t, X) f(t, X) dX$$

Par suite

$$\int_{B(O, t_2)} \Delta_\eta E(t_2, X) f(t_2, X) dX = F'(t_2)$$

et

$$\int_{B(O, t_1)} \Delta_\eta E(t_1, X) f(t_1, X) dX = F'(t_1)$$

Ainsi on a

$$\int_{B(O, t)} \Delta_\eta E(t, X) f(t, X) dX = F'(t)$$

pour tout $t > 0$; relation qui s'écrit

$$\int_0^t dr \int_{S(O,r)} \Delta_\eta E(r, X) f(r, X) d\sigma_r = \frac{d}{dt} \int_{B(O,t)} \frac{\partial E}{\partial t}(t, X) f(t, X) dX$$

ce qui implique

$$\begin{aligned} F''(t) &= \int_{S(O,t)} \Delta_\eta E(t, X) f(t, X) d\sigma_t = \frac{d^2}{dt^2} \int_{B(O,t)} \frac{\partial E}{\partial t}(t, X) f(t, X) dX \\ &= \frac{d^2}{dt^2} \int_0^t dr \int_{S(O,r)} \frac{\partial E}{\partial r}(r, X) f(r, X) d\sigma_r \\ &= \frac{d}{dt} \int_{S(O,t)} \frac{\partial E}{\partial t}(t, X) f(t, X) d\sigma_t = 0 \end{aligned}$$

pour tout $t > 0$.

Par conséquent, on a

$$F'(t) = \int_{B(O,t)} \Delta_\eta E(t, X) f(t, X) dX = cte.$$

Or ceci implique

$$\int_{C_1} \Delta_\eta E(t, X) d\eta = a(t_2 - t_1)$$

avec $a = F'(t)$ et par suite on a, pour $C(t) = \{ (x, y, z, r) \in \mathbb{R}^4; x^2 + y^2 + z^2 \leq r^2, 0 < r < t \}$:

$$\int_{C(t)} \Delta_\eta E(t, X) d\eta = at.$$

Ainsi, en effectuant un changement de variables

$$(t, X) \rightarrow (\lambda s, \lambda X) \quad \text{pour } \lambda > 0 \quad \text{dans } C(t),$$

on obtient

$$\int_{C(s)} \Delta_\eta E(\lambda s, \lambda X) \lambda^4 d\eta = a \lambda s$$

ou

$$\int_{C(s)} \Delta_\eta E(\lambda(s, X)) d\eta = \frac{a}{\lambda^3} s.$$

Or, on a

$$\int_{C(s)} \Delta_\eta E(s, X) d\eta = as,$$

d'où

$$\int_{C(s)} \Delta_\eta E(s, X) d\eta = \lambda^3 \int_{C(s)} \Delta_\eta E(\lambda(s, X)) d\eta;$$

ce qui implique

$$\int_{C(s)} \Delta_\eta E(s, X) d\eta = as = 0.$$

Par suite, on obtient

$$a = 0, \quad F(t) = cte \quad \text{pour } t > 0$$

et on a

$$\int_{C_1} \Delta_\eta E(t, X) d\eta = 0 \quad \text{pour tout } t_1 \text{ et } t_2 \text{ tels que } 0 < t_1 < t_2.$$

Montrons que l'on a alors

$$\Delta_\eta E(t, X) = 0 \quad \text{sur } C^*.$$

En effet, si on suppose que $\Delta_\eta E(t_0, X_0) > 0$ par exemple, alors on aura $\Delta_\eta E(t, X) > 0$ sur un voisinage B de (t_0, X_0) dans $\{t_0\} \times B(O, t_0)$ et si on considère la réunion C' de tous les demi-cônes "causaux" futurs ayant leur sommet sur B et en raisonnant de la même manière que ci-dessus sur une partie C'_1 de C' située entre t_1 et t_2 avec $t_0 < t_1 < t_2$, on montre que

$$\int_{C'_1} \Delta_\eta E(t, X) d\eta = 0 \quad \text{pour tout } t_1 < t_2$$

(la contribution de chaque demi-cône étant nulle) et par suite

$$\int_B \Delta_\eta E_B(t_0, X) f(t_0, X) dX = 0$$

ce qui est contradictoire puisque $\Delta_\eta E(t_0, X)$ est supposé continu et positif sur B . Par conséquent, on a

$$\Delta_\eta E(t, X) = 0 \quad \text{sur } C^* \tag{16}$$

Ainsi on a, pour tout $t > 0$

$$\frac{\partial^2}{\partial t^2} E(t, X) - \Delta E(t, X) = 0 \tag{E^*}$$

sur $B(O, t)$ tout en ayant $E(t, X)|_{S(O, t)} = 0$.

Ce même résultat peut être en fait obtenu en dehors des trous noirs (et des

autres singularités) en supposant une certaine régularité de la distribution $E(t, X)$ sur une région de C obtenue en excluant des petits voisinages des trous noirs évoluant avec l'expansion. Si $B(I_\alpha(t), r)$ est un trou noir inclus dans $B(O, t)$, et si l'on suppose que $\sum_{\alpha \in A} e_\alpha$ est négligeable par rapport à E_0 pour $t \in [t_1, t_2]$ ou, tout au moins, constante sur $[t_1, t_2]$, on peut appliquer le principe de la conservation de l'énergie sur cette région de C et obtenir l'équation (E^*) sur $B(O, t) \setminus \bigcup_{\alpha \in A} B_\alpha$.

Considérons maintenant l'Univers dynamique réel $(U(t))_{t>0} = (B_e(O, t), g_t)_{t>0}$ et le demi-cône C muni de la métrique riemannienne h définie par

$$h(t, X) = dt^2 - g_t(X) = dt^2 - g(t, X)$$

où g_t n'est autre que la métrique g_{ab} définie sur $B_e(O, t)$ par l'équation (14). En désignant par β la mesure associée à h sur C^* et en appliquant le théorème de Stokes sur une partie quelconque C_1 de C^* (définie de la même manière que précédemment) on peut suivre les mêmes démarches que ci-dessus en utilisant les demi-cônes de lumières à l'intérieur de C dont les rayons sont des géodésiques adaptées aux métriques g_t et h . Ainsi, en remplaçant $d\eta$ par $d\beta$, dX par $d\mu$, Δ_η par Δ_h et $F_\eta(t, X_t)$ par $F_h(t, X_t) = -\nabla^h E(t, X_t) = -\text{grad}_h E(t, X_t)$ et en tenant compte des mêmes hypothèses, on obtient

$$\int_{B(O, t)} \Delta_h E(t, X) k(t, X) dX = 0 \quad \text{pour tout } t > 0$$

avec $k(t, X) \geq 0$ sur C et $k(t, X) = 0$ sur ∂C ,

$$\int_{C_1} \Delta_h E(t, X) d\beta = 0 \quad \text{pour } 0 < t_1 < t_2,$$

$$\Delta_h E(t, X) = 0 \quad \text{sur } C^*$$

et

$$\frac{\partial^2}{\partial t^2} E(t, X) - \Delta_{g_t} E(t, X) = 0 \tag{17}$$

sur $B(O, t)$ avec $E(t, X)|_{S(O, t)} = 0$ pour tout $t > 0$.

Remarquons que les deux équations (E^*) et (17) sont parfaitement compatibles l'une avec l'autre. En effet, la validité de la relation $\Delta_{g_e} E_t(X) = \Delta_{g_t} E_t(X)$ résulte du fait que le premier membre n'est autre que l'écriture, en coordonnées normales (relatives à la métrique riemannienne g_t) en tout point $X \in B_e(O, t)$, du second membre.

Champ de force, accélération et géodésiques

Par ailleurs, posons

$$F_{g_t}(X) := -\nabla^{g_t} E_t(X)$$

et

$$F_{g_e}(X) := -\nabla^{g_e} E_t(X)$$

pour $X \in B(O, t)$ et considérons une trajectoire $X(t)$ dans l'Univers dynamique $(U(t))_{t>0}$. On a alors

$$\begin{aligned} \frac{d}{dt} E(u(t)) &= \frac{d}{dt} E(t, X(t)) = \frac{\partial E}{\partial t}(t, X(t)) + \frac{d}{ds} E_t(X(s))|_{s=t} \\ &= \frac{\partial E}{\partial t}(t, X(t)) + dE_t(X(s)).X'(s)|_{s=t} = \frac{\partial E}{\partial t}(t, X(t)) + dE_t(X(t)).X'(t) \end{aligned}$$

ainsi que

$$\begin{aligned} \eta(\nabla^\eta E(u(t)), u'(t)) &= \frac{d}{dt} E(u(t)) = h(\nabla^h E(u(t)), u'(t)) \\ &= \frac{\partial E}{\partial t}(u(t)) - g_t(\nabla^{g_t} E_t(X(t)), X'(t)) = \frac{\partial E}{\partial t}(u(t)) - g_e(\nabla^{g_e} E_t(X(t)), X'(t)). \end{aligned}$$

D'où

$$\begin{aligned} g_t(F_{g_t}(X(t)), X'(t)) &= g_e(F_{g_e}(X(t)), X'(t)) \\ &= \frac{d}{dt} E(t, X(t)) - \frac{\partial E}{\partial t}(t, X(t)) = dE_t(X(t)).X'(t) = \frac{d}{ds} E_t(X(s))|_{s=t}; \end{aligned}$$

ce qui donne, conformément à la loi fondamentale généralisée de la Mécanique

$$F_{g_e}(X(t)) = -\nabla^{g_e} E_t(X(t)) = \Gamma(t) = \nabla_{X'(t)}^{g_e} X'(t) = X''(t)$$

et

$$F_{g_t}(X(t)) = -\nabla^{g_t} E_t(X(t)) = \nabla_{X'(t)}^{g_t} X'(t) = \tilde{\Gamma}(t).$$

Ainsi $F_{g_e}(X)$ n'est autre que le champ global de toutes les forces naturelles. La force agissante sur un point matériel auquel on attribue la masse m_t est en fait $m_t F_{g_e}(X) = -m_t \nabla^{g_e} E_t(X)$. Pour une particule matérielle en mouvement, la force appliquée est $m(X(t)) F_{g_e}(X(t)) = m(X(t)) \Gamma(t)$. En particulier si $X(t)$ est une géodésique pour g_e avec $\|X'(t)\|_{g_e} = 1$, alors $u(t)$ est une géodésique pour η avec $\|u'(t)\|_\eta = 0$ et par suite on a : $u(t)$ est un rayon d'un cône de lumière dans (C, η) , $E(u(t)) = cte$, $F_\eta(u(t)) = 0$ et

$$F_{g_e}(X(t)) = -\nabla^{g_e} E_t(X(t)) = \Gamma(t) = X''(t) = 0.$$

De même, si $X(t)$ est une géodésique pour g_t avec $\|X'(t)\|_{g_t} = 1 \Leftrightarrow u(t)$ est une géodésique pour h avec $\|u'(t)\|_h = 0$ et par suite on a : $u(t)$ est un rayon d'un cône de lumière, pour la métrique h , dans C , $E(u(t)) = cte$, $F_h(u(t)) = 0$ et

$$F_{g_t}(X(t)) = -\nabla^{g_t} E_t(X(t)) = \nabla_{X'(t)}^{g_t} X'(t) = \tilde{\Gamma}(t) = 0.$$

Rappelons que l'on a en fait

$$F_{g_t}(X(t)) = \tilde{\Gamma}(t) = 0$$

pour tout mouvement libre dans $(U(t))_{t>0}$; ce qui constitue une généralisation des deux lois d'inertie de Newton.

Signalons enfin que si l'on suppose l'existence virtuelle et purement théorique de l'espace \mathbb{R}^3 et du demi-cône de l'espace-temps avant leurs existences réelles physico-temporelles, qui ont été modélisés beaucoup plus tardivement par Euclide et Descartes d'une part et par Galilée et Newton d'autre part, alors on peut considérer l'Univers originel comme étant $E_0\delta_{\mathbb{R}^3}$ et $E_0\delta_C$. Par contre, après le Big Bang, on a, dans le demi-cône de l'espace-temps, $E(t, X) = 0$ sur ∂C^* et $E(0, 0) = E_0$. De même on a $\Delta_h E(t, X) = 0$ sur C^* et $\Delta_h E = E_0\Delta_h\delta_C$ où l'on a posé, pour une fonction de classe C^2 $\phi(t, X)$ à support compact dans C :

$$\langle \Delta_h\delta_C, \phi(t, X) \rangle = \lim_{t \rightarrow 0} \Delta_h\phi(t, 0).$$

Conclusion

Il résulte, d'après ce qui précède que notre Univers réel, physique, géométrique et dynamique, modélisé par $(U(t))_{t>0} = (B(O, t), g_t)_{t>0}$, est caractérisé d'une manière équivalente par chacune des notions suivantes :

- a) La distribution matérielle de (la densité de) la masse inertielle $m_t(X)$ avec les $e_\alpha(t)\delta_{I(t)}$ correspondant aux trous noirs dispersés dans $B(O, t)$.
- b) Le champ scalaire régularisé de l'énergie potentielle totale représenté par la distribution de l'énergie potentielle généralisée $E_t(X)$.
- c) La métrique riemannienne régularisée g_t sur $B(O, t)$.
- d) Le tenseur de la matière-énergie modifié T_{ab}^* .
- e) La mesure physique μ_t sur $B(O, t)$ ($\mu_t = \nu_t(X)dX$ où dX est la mesure de Lebesgue sur $B(O, t)$ pour tout $t \geq 0$) mais aussi par la mesure $\nu_t = E_t(X)dX$.
- f) Le champ vectoriel $\nabla^h E(t, X)$ sur C (où $h = dt^2 - g_t$ est la métrique riemannienne sur le demi- cône de l'espace-temps).

- g) Le champ total et global - $\nabla^{g_e} E_t(X) = F_{g_e}(X) (= \Gamma_t = \nabla_{X'(t)}^{g_e} X'(t) = X''(t)$ pour toute particule matérielle en mouvement libre dans $(U(t))_{t>0}$.
- h) L'ensemble de toutes les géodésiques dynamiques $X(t)$ pour la métrique g_t évoluant avec le temps (i.e. vérifiant $\tilde{\Gamma}(t) = \nabla_{X'(t)}^{g_t} X'(t) = F_{g_t}(X(t)) = -\nabla^{g_t} E_t(X(t)) = 0$).

Notons enfin que notre modèle est parfaitement conséquent dans le sens où, d'une part, il prouve à posteriori la légitimité de tous les principes mécaniques et physiques découverts par les grands physiciens de l'humanité, et d'une autre part on a :

$E(t, X) = E_t(X) \equiv 0$ dans un domaine D de l'Univers dynamique C situé entre $t = t_1$ et $t = t_2 \Leftrightarrow \nu_t = 0 \Leftrightarrow T_{ab}^* \equiv 0$ dans les domaines D_t de $B(O, t)$ qui correspondent à $D \Leftrightarrow g_t = g_e$ dans $D_t \Leftrightarrow \mu_t = dX$ sur $D_t \Leftrightarrow h = \eta$ dans le domaine D de $C \Leftrightarrow \Gamma_t = X''(t) \equiv 0$ pour les mouvements libres de $D \Leftrightarrow$ Les trajectoires des mouvements libres dans D sont les géodésiques constituées de lignes droites.

Remarque

La propriété, signalée à la page 54, de notre métrique physique g_t montre que notre espace - temps muni de la métrique $h_t = dt^2 - g_t$ vérifie les trois postulats (légèrement modifiés) des théories métriques de la gravitation qui stipulent que

- (i) l'espace - temps est muni d'une métrique,
- (ii) les trajectoires des corps en chute libre sont des géodésiques.

(iii) Dans un référentiel local, les lois de la physique non gravitationnelle sont celles de la physique classique (et non pas celles que l'on écrit à l'aide de la théorie de la relativité restreinte).

Ceci prouve que notre modèle gravitationnel vérifie le principe d'équivalence d'Einstein.

Signalons pour finir que, dans notre modèle l'espace géométrique n'existait pas autour du point de concentration de l'énergie originelle E_0 avant le Big Bang, tandis que l'espace géométrique $B(I, r)$ existe autour du point de concentration de l'énergie du trou noir I mais il est muni d'une métrique

nulle en dehors de I . Quant à une partie de l'espace géométrique de l'Univers $B(O, t)$ qui ne contient pas de matière ni ses effets, alors elle existe bel et bien et elle est munie de la métrique g_e . Le champ de gravitation y est nul tandis qu'autour du centre I d'un trou noir $B(I, r)$ le champ gravitationnel est omniprésent.

6 Energie, Pseudo-ondes et Fréquences

Considérons maintenant l'équation des ondes (ou l'équation de la matière - énergie)

$$\square E(t, X) = \frac{\partial^2 E}{\partial t^2}(t, X) - \Delta E(t, X) = 0 \quad (E^*)$$

et (en utilisant la méthode de séparation des variables) déterminons, pour tout $t > 0$, les solutions sur $B(O, t)$ qui vérifient $E(t, X)|_{S(O, t)} = 0$. Considérons donc les fonctions de la forme

$$E(t, X) = f_0(t)F_0(X) \text{ pour un } t_0 > 0 \text{ fixé vérifiant}$$

$$\square f_0(t)F_0(X) = 0 \quad (E_0)$$

pour $0 < t \leq t_0$ et $X \in B(O, t_0)$ avec $F_0|_{S(O, t_0)} = 0$. Il est bien connu que les solutions f_0 et F_0 de l'équation (E_0) s'obtiennent à partir des fonctions propres $\varphi_{t_0, i}(X)$ associées au problème de Dirichlet sur la boule $B(O, t_0)$ équipée de la métrique g_e et que, si $\lambda_i(t_0)$ est la suite croissante des valeurs propres de l'opérateur de Laplace-Beltrami $-\Delta$ qui leur sont associées, alors la solution correspondante de (E_0) , $f_{0, i}(t)\varphi_{t_0, i}(X)$, est définie par

$$\Delta \varphi_{t_0, i}(X) = -\lambda_i(t_0)\varphi_{t_0, i}(X)$$

et

$$f_{0, i}''(t) + \lambda_i(t_0)f_{0, i}(t) = 0.$$

Prenons une de ces solutions qu'on va noter

$$f_0(t)\varphi_{t_0}(X);$$

on a alors, pour $0 \leq t \leq t_0$

$$f_0''(t) + \lambda(t_0)f_0(t) = 0$$

et si μ est la valeur propre de même rang que $\lambda(t_0)$ associée au problème de Dirichlet sur la boule unité $B(O,1)$, on obtient

$$f_0''(t) + \frac{\mu}{t_0^2} f_0(t) = 0, \quad 0 \leq t \leq t_0 \quad (t_0 > 0).$$

La solution de cette équation est évidemment la fonction périodique

$$f_0(t) = f_0(0) \cos \frac{\sqrt{\mu}}{t_0} t + \frac{t_0}{\sqrt{\mu}} f_0'(0) \sin \frac{\sqrt{\mu}}{t_0} t.$$

La solution de l'équation (E_0) correspondant à la valeur propre $\lambda(t_0) = \frac{\mu}{t_0^2}$ est définie par

$$E_\mu(t, X) = (f_0(0) \cos \frac{\sqrt{\mu}}{t_0} t + \frac{t_0}{\sqrt{\mu}} f_0'(0) \sin \frac{\sqrt{\mu}}{t_0} t) \varphi_{t_0}(X) \quad (18)$$

pour $X \in B(O, t_0)$, $t_0 > 0$ et $0 < t \leq t_0$.

Or si $h_\mu(t) \psi_\mu(X)$ est la solution du problème de Dirichlet sur la boule $B(O,1)$ associée à la valeur propre μ , on a, pour tout $t_0 > 0$,

$$f_\mu(t) = h_\mu\left(\frac{t}{t_0}\right) \quad \text{et} \quad \varphi_{t_0, \mu}(X) = \psi_\mu\left(\frac{X}{t_0}\right)$$

et par suite on a :

$$E_\mu(t, X) = (h_\mu(0) \cos \frac{\sqrt{\mu}}{t_0} t + \frac{1}{\sqrt{\mu}} h_\mu'(0) \sin \frac{\sqrt{\mu}}{t_0} t) \psi_\mu\left(\frac{X}{t_0}\right)$$

$E_\mu(t, X)$ est donc une fonction périodique de période $T_0 = 2\pi \frac{t_0}{\sqrt{\mu}}$.

Remarquons qu'on pourrait aussi considérer $E(t, X) = k_0(t) G_0(X)$ comme étant une solution de l'équation (17). Une solution correspondant à une valeur propre $\alpha(t_0)$ de l'opérateur de Laplace-Beltarmi $-\Delta_{g_{t_0}}$ sur la variété reimannienne $(B(O, t_0), g_{t_0})$ serait alors de la forme

$$E(t, X) = k_0(t) \theta_{t_0}(X)$$

avec

$$k_0''(t) + \alpha(t_0) k_0(t) = 0$$

et

$$\Delta_{g_{t_0}} \theta_{t_0}(X) = -\alpha(t_0) \theta_{t_0}(X)$$

Cependant, dans ce cas, on ne pourra pas ramener le problème considéré à l'étude du problème de Dirichlet sur l'espace $(B(O, 1), g_1)$ à moins que l'application $X \rightarrow \frac{X}{t_0}$ ne soit une isométrie de $(B(O, t_0), g_{t_0})$ sur $(B(O, 1), g_1)$,

ce qui est, dans les meilleurs des cas, une grossière approximation.

En fait les solutions E_μ ci-dessus ne peuvent pas être assimilées à des solutions de notre équation de la matière-énergie dans l'Univers dynamique $(U(t))_{t>0}$, i.e. l'équation d'évolution (E^*) , que sur un intervalle de temps $t_1 \leq t \leq t_0$ avec $t_0 > t_1 > 0$ et t_1 suffisamment relativement proche de t_0 de telle sorte que les fonctions propres $\varphi_t(X)$ et les valeurs propres $\lambda(t)$ correspondant à $t \in [t_1, t_0]$ puissent être considérées comme étant des bonnes approximations de $\varphi_{t_0}(X)$ et de $\lambda(t_0)$ respectivement. De plus, pour obtenir des bonnes approximations périodiques de l'équation (E^*) sur $(U(t))_{t_1 \leq t \leq t_0}$, il faut que la période $T_0 = 2\pi \frac{t_0}{\sqrt{\mu}}$ soit significativement inférieure à $t_0 - t_1$; donc que μ soit significativement supérieure à $4\pi^2 (\frac{t_0}{t_0 - t_1})^2$.

En donnant à t_0 des valeurs croissantes convenables t_i , on obtient des solutions approchées périodiques (de périodes $T_i = 2\pi \frac{t_i}{\sqrt{\mu}}$) de notre problème sur des couronnes juxtaposées de $B(O, t)$ pour $t = \sup_i t_i$.

En remplaçant dans la relation (18) t par t_0 et en la réécrivant en fonction de la variable t au lieu de t_0 , on obtient la solution E_μ de (E^*) définie sur $B(O, t)$, pour $t > 0$, par

$$E_\mu(t, X) = f_\mu(t)\varphi_{t,\mu}(X) = (f_\mu(0) \cos \sqrt{\mu}t + \frac{t}{\sqrt{\mu}}f'_\mu(0) \sin \sqrt{\mu}t)\psi_\mu(\frac{X}{t}) \quad (18')$$

où $f_\mu(0) = h_\mu(0)$ dépend de μ et $f'_\mu(0)$ dépend de μ et de t . Cette solution peut être approchée, sur des couronnes appropriées $B(O, t) \setminus B(O, t')$, par des fonctions périodiques de périodes $T(t) = 2\pi \frac{t}{\sqrt{\mu}}$ et de fréquences $f(t) = \frac{1}{2\pi} \frac{\sqrt{\mu}}{t}$. E_μ est donc une pseudo-onde (qu'on va appeler abusivement une onde) de pseudo-période $T(t) = 2\pi \frac{t}{\sqrt{\mu}}$ et de pseudo-fréquence $f(t) = \frac{1}{2\pi} \frac{\sqrt{\mu}}{t}$ respectivement (toutes les deux dépendant du temps t).

Ainsi, pour pouvoir assimiler ces solutions à des ondes sur un intervalle de temps significatif, posons $t = e^\alpha$, $\mu = 4\pi^2 e^{2\beta}$ et remarquons que l'on a alors $T = e^{\alpha-\beta}$ et par suite il faut prendre $e^{\alpha-\beta} \ll e^\alpha$. On doit donc prendre $\beta \gg 0$ et par suite les valeurs propres $\mu \gg 0$.

Lorsqu'il s'agit d'une trajectoire libre $X(t)$ sur un intervalle de temps donné, i.e.

$$\tilde{\Gamma}(t) = \nabla_{X'(t)}^{gt} X'(t) = 0 \quad \text{pour } t \in I,$$

alors l'onde $E_\mu(t, X(t))$ correspondant à une valeur propre μ vérifie

$$-\nabla^{gt} E_\mu(t, X(t)) = F_{gt}(X(t)) = \tilde{\Gamma}(t) = 0.$$

Or, lorsque la métrique est euclidienne, le principe d'inertie de Newton stipule que la trajectoire $X(t)$ d'une particule quelconque est linéaire et uniforme

(i.e. $X(t)$ est une géodésique et $\|X'(t)\|_{g_e} = v = \text{cte}$) si et seulement si le champ de force qui agit sur la particule est nul le long de la trajectoire $X(t)$, i.e.

$$F_{g_e}(t) = -\nabla^{g_e} E(t, X(t)) = \nabla_{X'(t)}^{g_e} X'(t) = X''(t) = 0$$

et l'énergie de cette particule est alors conservée le long de cette trajectoire i.e.

$$E(t) = \text{cte} .$$

Dans le cas de notre métrique physique g_t , ce même principe se généralise de la manière suivante.

La trajectoire $X(t)$ d'une particule est une géodésique par rapport à la métrique g_t (avec $\|X'(t)\|_{g_t} = \text{cte}$) si et seulement si

$$-\nabla^{g_t} E(t, X(t)) = F_{g_t}(t) = \nabla_{X'(t)}^{g_t} X'(t) = \tilde{\Gamma}(t) = 0$$

et l'énergie ponctuelle de cette particule est alors conservée le long de cette géodésique i.e.

$$E(t, X(t)) = \text{cte} .$$

Dans notre situation, on a donc

$$E_\mu(t, X(t)) = f_\mu(t) \varphi_{t,\mu}(X(t)) = e(\mu)$$

(où $e(\mu)$ est une constante dépendant de μ) et

$$\Delta E_\mu(t, X(t)) = f_\mu(t) \frac{\mu}{t^2} \varphi_{t,\mu}(X(t)) = \frac{\mu e(\mu)}{t^2} .$$

Pour les particules originelles se propageant à la vitesse 1, on a $X(t) \in S(O, t)$ et $E_\mu(t, X(t)) = 0$; ce sont les ondes électromagnétiques originelles qui ont façonné le demi - cône de l'espace - temps. Pour une particule matérielle se propageant le long d'une géodésique (par rapport à g_t) à une vitesse $v = \|X'(t)\|_{g_t} < 1$, on a bien

$$E_\mu(t, X(t)) = e_0(\mu) > 0 .$$

Signalons que l'énergie d'un photon autre que les photons originels est également positive.

L'énergie de Planck - Einstein

En adaptant maintenant le principe ondulatoire de Planck-Einstein à notre situation on doit avoir, pour tout point matériel ou immatériel X se déplaçant librement dans $(U(t))_{t>0}$:

$$E_\mu(t, X(t)) = h_\mu(t) f_\mu(t) = h_\mu(t) \frac{1}{2\pi} \frac{\sqrt{\mu}}{t} = \bar{h}_\mu(t) \frac{\sqrt{\mu}}{t}$$

où $f_\mu(t)$ désigne ici la fréquence et $\bar{h}_\mu(t)$ remplace en quelque sorte la constante de Planck. Or cette relation implique que l'on a

$$\bar{h}_\mu(t) = tc(\mu)$$

où $c(\mu)$ est une constante ne dépendant que de μ ; d'où

$$E_\mu(t, X(t)) = c(\mu)\sqrt{\mu} =: m(\mu). \quad (e)$$

Remarques : 1°) Signalons quand même que, comme on va le voir dans le paragraphe suivant, cette constante dépend en fait du temps lorsqu'il s'agit d'un très long intervalle d'évolution. Cette dépendance est due au refroidissement perpétuel de l'Univers cosmique qui n'est perceptible qu'à une grande échelle temporelle.

2°) Contrairement à la constante de Planck (qui est généralement supposée constante), notre constante $\bar{h}_\mu(t)$ est proportionnelle au temps t .

Par ailleurs, considérons une agglomération matérielle occupant un domaine D_t de $B(O, t)$. Celui-ci est subdivisé en une réunion de sous-domaines $D_{t,n}$ sur lesquels sont définies des distributions énergétiques $E_n(X_t)$ qui coïncident sur chaque domaine occupé par une particule matérielle fondamentale avec une distribution matérielle constante $m_n(X_t) =: m_n$ (les particules fondamentales seront classifiées au paragraphe 8). Les distributions énergétiques $E_n(X_t)$, définies sur les autres sous-domaines, seront également supposées constantes. On a donc

$$D_t = \bigcup_{1 \leq n \leq N} D_{t,n}$$

avec

$$E_n(X_t) = e_n \sim m_n \text{ pour } X_t \in D_{t,n}.$$

L'énergie du domaine D_t sera donc

$$E(D_t) = \sum_n \text{vol}(D_{t,n}) m_n =: \sum_n V_n(t) m_n,$$

où $vol(D_{t,n})$ désigne ici le volume euclidien du sous-domaine $D_{t,n}$. Evidemment, même si D_t constitue un système isolé tel que $vol(D_t)$ reste constant, alors les $V_n(t)$ évoluent avec le temps. Ceci est dû à un grand nombre de phénomènes dynamiques évolutifs : transformations matière–énergie pure, radiations de tout genre, désintégration, collision, fission, fusion et interactions chimiques, nucléaires et thermiques...

Dans l'Univers dynamique, il faut tenir compte de l'énergie cinétique de la matière en mouvement. Or on ne peut parler de masse inertielle, d'énergie potentielle, d'énergie cinétique ou de quantité de mouvement (i.e mv) que d'un point matériel ou d'un domaine matériel circulant à des vitesses inférieures à 1. L'énergie cinétique d'un point matériel effectuant la trajectoire $X(t)$ est en effet $\frac{1}{2}m(X(t))X'(t)^2$. La masse inertielle ou l'énergie potentielle de masse d'un domaine matériel D_t à l'instant t est donnée par

$$\rho_t(D_t) = \int_{D_t} m(X_t) dX_t.$$

Son énergie cinétique est donnée par

$$\frac{1}{2} \int_{D_t} m(X_t) v(X_t)^2 dX_t.$$

Lorsqu'il s'agit de domaines vides (ne contenant pas de matière) et traversés par des radiations comme les ondes électro-magnétiques (rayons lumineux visibles ou invisibles, rayons X, rayons γ) on ne peut parler ni de masse inertielle ni d'énergie potentielle, de quantité de mouvement mv ou d'énergie cinétique $\frac{1}{2}mv^2$. On ne peut parler que de l'énergie de l'onde propagée, du faisceau d'ondes et du photon. Néanmoins, on peut définir (dans le cadre de notre modèle) le vecteur pulsation \vec{p} associé à une onde électromagnétique (ou à un photon) par $\vec{p}(t) = E(t, X(t))\vec{X}'(t)$ qu'on pourrait appeler le «momentum» du photon et on a alors $p(t) = E(t)$ ou $p = E$ en accord avec la théorie de la relativité puisqu'ici $\|X'(t)\|_{g_t} = 1 = c$. Ainsi l'énergie cinétique d'un point matériel X , tel que $m_0(X) = m_0$ et effectuant une trajectoire $X(t)$, est $\frac{1}{2}m(X(t))X'(t)^2$ et son énergie totale est $m(t)(1 + \frac{1}{2}X'(t)^2)$ tant que sa vitesse est <1 . Néanmoins lorsqu'il s'agit d'un trou noir B d'énergie de masse initiale E circulant à une vitesse quelconque v , on peut considérer que son énergie totale est alors $E(1 + \frac{1}{2}v^2)$.

Cependant, la distribution $E_t(X)$ est entièrement déterminée par la distribution $m_t(X)$ en y ajoutant les énergies des trous noirs. Il en est ainsi pour le champ de forces global $F_{g_e}(X) = \nabla^{g_e} E_t(X)$ et de l'accélération $\Gamma(X(t)) = X''(t)$ pour tout mouvement libre. Donc la métrique g_t , qui

est liée intrinsèquement à la distribution $E_t(X)$ et qui vérifie $\tilde{\Gamma}(X(t)) = \nabla_{X'(t)}^{g_t} X'(t) = 0$ pour tout mouvement libre, tient compte de toutes les manifestations de la matière y compris des champs électromagnétiques, de toute sorte d'interactions et des forces de liaison qui en résultent et non pas seulement des forces gravitationnelles.

Notons que l'énergie cinétique d'un système n'est pas nécessairement conservée ni globalement ni localement comme le montre, par exemple, la transformation d'une partie de l'énergie cinétique d'un système en chaleur lors d'une collision. Par contre, le principe de la conservation globale de la quantité de mouvement ou "momentum" d'un système isolé (comme l'Univers tout entier) est valide. On a donc, à tout instant t :

$$\int_{B(O,t)} E_t(X_t) \vec{v}(X_t) dX_t = 0.$$

En particulier, le centre de gravité de l'Univers est fixe. Cette relation s'écrit, pour $B(O,t) = \bigcup_n D_n(t)$,

$$\sum_n \int_{D_n(t)} m_n \vec{v}(X_t) dX_t = 0.$$

Lorsque, pour un domaine isolé $D(t) = \bigcup_n D_n(t)$, on attribue au centre de gravité $G_n(t)$ de chaque $D_n(t)$ le vecteur vitesse résultant $\vec{v}_n(t)$, on obtient

$$\sum_n V(D_n(t)) E_{t,n}(G_n(t)) \vec{v}_n(t) = \vec{a}$$

ou

$$\sum_n V_n(t) m_n \vec{v}_n(t) = \vec{a}.$$

Lorsqu'il s'agit d'une particule de masse m soumise à des forces extérieures constantes, occupant un domaine $D = \bigcup_n D_n(t)$ et circulant à la vitesse $\vec{v}(t)$, on a :

$$\sum_n V_n(t) m_n \vec{v}_n(t) = m \vec{v}(t).$$

Pour un atome, par exemple, de masse m et de vitesse \vec{v} ayant k_1 électrons et k_2 quarks occupant respectivement les volumes $V_{1,i}$ et $V_{2,j}$ et ayant des vitesses respectives $\vec{v}_{1,i}$ et $\vec{v}_{2,j}$, on a

$$\sum_{i=1}^{k_1} V_{1,i} m_{1,i} \vec{v}_{1,i}(t) + \sum_{j=1}^{k_2} V_{2,j} m_{2,j} \vec{v}_{2,j}(t) = m \vec{v}.$$

Le système solaire obéit quasiment à ce même schéma.

En effet, supposons que le système constitué du soleil et de N planètes est isolé (ce qui n'est pas le cas puisque le système solaire appartient à la voie lactée) et désignons par \vec{v} le vecteur vitesse absolu (i.e. par rapport à un repère virtuel fixe) du centre de gravité de ce système.

De même désignons par \vec{v}_i , pour $i = 1, \dots, N$, le vecteur vitesse absolu du centre de gravité de la $i^{\text{ème}}$ planète et par \vec{v}_0 celui qui est associé au soleil. Toutes les trajectoires célestes sont des géodésiques par rapport à la métrique cosmologique g_t , i.e. $\nabla_{\vec{v}_i(t)}^{g_t} \vec{v}_i(t) = 0$ pour tout $i = 0, 1, \dots, N$, et on a $\|\vec{v}_i\|_{g_t} = v_i$ où v_i est une constante.

Ainsi, on a

$$\sum_{i=0}^N m_i \vec{v}_i = m_0 \vec{v}_0 + \sum_{i=1}^N m_i \vec{v}_i = \left(\sum_{i=0}^N m_i \right) \vec{v} = m_0 \vec{v} + \left(\sum_{i=1}^N m_i \right) \vec{v}.$$

Or, pour tout $i = 1, \dots, N$, on a

$$\vec{v}_i = \vec{v} + \vec{u}_i$$

où \vec{u}_i est le vecteur vitesse relatif par rapport au soleil ; d'où

$$m_0 \vec{v}_0 + \sum_{i=1}^N m_i (\vec{v} + \vec{u}_i) = m_0 \vec{v} + \left(\sum_{i=1}^N m_i \right) \vec{v}$$

Le centre de gravité du système étant quasiment le même que celui du soleil, on a $\vec{v}_0 \simeq \vec{v}$ et par suite on obtient

$$\sum_{i=1}^N m_i \vec{u}_i = 0.$$

Notons aussi, qu'à part l'Univers tout entier, nul autre système n'est durablement isolé (y compris les galaxies, les trous noirs et évidemment les systèmes à l'échelle planétaire). Néanmoins, c'est la distribution (essentiellement locale) $E_t(X)$ qui régit le mouvement libre dans tous les systèmes locaux et micro-locaux.

Ainsi au niveau d'un atome, par exemple, le mouvement libre des électrons dans leurs orbites respectifs, ou plutôt la trajectoire d'un point matériel de chaque électron, est régi par l'accélération $\Gamma(t) = \nabla^{g_e} E_t(X(t))$ et vérifie $\tilde{\Gamma}(t) = \nabla_{X'(t)}^{g_t} X'(t) = 0$. Toutefois, à la suite d'un apport énergétique extérieur (thermique ou électro-magnétique par exemple), l'électron subit des transformations énergétiques comme le changement de son niveau d'énergie (changement d'orbite) ou même la séparation de l'atome originel. De même signalons

que dans le cas contraire, l'émission de photons assure le principe de la conservation de l'énergie.

Ceci reste valable pour un noyau qui est, de plus, soumis aux forces d'interaction nucléaire qui, à l'aide d'une stimulation externe ou d'un processus naturel, conduit à des transformations matéro-énergétiques comme la désintégration, la fission, la fusion, l'excitation et les radiations et à des réactions chimiques conduisant toutes à des transferts ou à des libérations d'énergie obéissant au principe de la conservation de l'énergie, au principe du meilleur équilibre énergétique possible et au principe mécanique de la moindre action, mais aussi au principe d'exclusion de Pauli.

Signifions enfin que chaque solution $E(t, X(t))$ de l'équation (E^*) se propageant suivant $X(t)$ est de la forme $E_{\mu_0}(X(t)) = f_{\mu_0}(t)\varphi_{t, \mu_0}(X(t))$ et non pas égale à une combinaison linéaire de telles solutions, comme on peut le vérifier à l'aide du phénomène de la diffraction de la lumière. Un rayon lumineux uniphotonique ne peut pas se diffracter en plusieurs rayons caractérisés par plusieurs photons différents de celui du rayon incident.

La relation $f_{\mu}(t) = \frac{1}{2\pi} \frac{\sqrt{\mu}}{t}$ montre que la fréquence ondulatoire de la matière-énergie est une fonction qui croît avec μ et décroît avec t . Donc, juste après le Big Bang (pour t assez petit), toutes les propagations ont un caractère ondulatoire d'autant plus prononcé que lorsque μ est assez grand. Pour t assez grand, seuls les μ d'ordre très grand donnent lieu à un caractère ondulatoire bien perceptible. Cependant, on a $v(t) = \lambda(t)f_{\mu}(t)$ où $\lambda(t)$ est la longueur d'onde et $v(t) < 1$. Or pour $t \ll 1$, on a $f_{\mu} \gg 1$ pour tout μ et par suite on a $\lambda \ll 1$. On peut donc concevoir intuitivement que lorsque $t = 0$, on a $\lambda = 0$ et il n'y a pas de propagation ni matérielle ($v < 1$) ni immatérielle ($v = 1$). Par ailleurs, lorsque $v(t)$ est la vitesse de propagation d'une onde à partir d'un temps $t = 0$, on a

$$v(t) = \frac{1}{2\pi} \frac{\sqrt{\lambda^2(t)\mu}}{t}$$

et par suite

$$\frac{\lambda^2(t)\mu}{t^2} \leq 4\pi^2.$$

Ainsi, pour les ondes de vitesse $v = 1$ (lumière, rayons X, rayons γ), on a $\lambda^2(t)\mu = 4\pi^2 t^2$ et $\lambda(t) = \frac{2\pi t}{\sqrt{\mu}}$.

Pour revenir à notre point de départ, ce sont ces ondes là qui créent, à partir du Big Bang, l'espace géométrique dont l'expansion se produit à une vitesse v qui tend définitivement vers 1. L'Univers matériel corpusculaire s'élargit à

une vitesse inférieure à 1 et dont l' "accélération", assujettie à la possibilité de la perception matérielle, reste à déterminer d'une façon de plus en plus précise et doit théoriquement tendre à être nulle.

Remarque : Dans notre modèle, on a représenté toute énergie concentrée en un point par $e(I)\delta_I$ ou par $m(I)\delta_I$. Si on avait supposé, d'une façon équivalente, que la masse inertielle m est concentrée sous forme d'un bloc de matière ayant un volume extrêmement réduit et une masse volumique très importante (du genre d'étoile à neutron ultradense), alors ceci n'aurait pas, du point de vue mathématique, affecté notre modélisation à cause de l'étendue pharamineuse de l'espace géométrique virtuel. Ainsi, ce fait nous permet d'éviter d'avoir recours à la notion d'infinité (densité infinie, courbure infinie, pression infinie et température infinie).

7 Repercussions sur la Physique moderne

Température et pression

Le grand absent de notre étude jusqu'à présent est le facteur température. Pourtant, la température est une caractéristique inhérente à l'expansion : L'Univers est en expansion et en refroidissement permanents. Par ailleurs, la température est indissociable de toutes les formes d'énergie : La chaleur, les radiations (via le spectre thermal), l'électricité, la fourniture de l'énergie interne des galaxies (via la fusion et les fluctuations de la pression interne) et surtout, faut-il le rappeler, la température caractérise l'énergie cinétique moyenne des molécules dans les états d'équilibre thermaux :

$$\langle E_c \rangle = \frac{3}{2}kT$$

Ainsi, on peut dire brièvement que la température intervient dans tous les états d'équilibre énergétique des systèmes et les façonne.

Commençons donc par préciser que la relation obtenue aux paragraphes précédents pour caractériser les trajectoires $X(t)$ considérées comme libres (i.e. $\nabla_{X'(t)}^{g_t} X'(t) = 0$), à la fois pour les particules matérielles ponctuelles et pour les radiations (les photons), et qui s'écrit

$$E_\mu(t, X(t)) = m(\mu)$$

n'est en fait valable que sur un petit intervalle de temps où l'on peut considérer la température comme étant constante. En effet, bien que la métrique g_t tient compte implicitement (par définition) de la température ambiante $T(t)$, alors il faut reconnaître que la relation précédente devrait s'écrire sous la forme

$$E_\mu(t, T(t), X(t)) = m(\mu, T(t))$$

À la dépendance de l'énergie $E_\mu(t, X(t)) = h_\mu(t)f_\mu(t)$ de μ , il faut ajouter nécessairement sa dépendance de $T(t)$ à travers la dépendance de la métrique elle-même de $T(t)$. D'autre part, l'énergie $E(t, X(t))$, véhiculée par les radiations qui nous arrivent à partir des temps et des distances lointains (et originels), est atténuée, non seulement à cause des collisions, mais aussi à cause du refroidissement de l'Univers ondulatoire. L'affaiblissement des fréquences $f_\mu(t)$ (i.e. le rallongement des longueurs d'onde $\lambda_\mu(t)$) est contrebalancé par l'accroissement des $h_\mu(t)$. D'autre part, il est évident que si les ondes se propagent suivant les trajectoires $X(t)$ avec une énergie $E(t, X(t)) = \text{cte}$, alors on ne pourrait en aucun cas avoir, pour tout t ,

$$\int_{B(O,t)} E_t(X_t) dX_t = \text{cte.}$$

Si on adapte le modèle du gaz parfait à l'Univers tout entier, on peut supposer que l'on ait en permanence

$$P(t)V(t) = K(t)T(t);$$

ce qui implique, pour $t > 0$ suffisamment grand

$$P(t)t^3 = K'(t)T(t).$$

Notons qu'au voisinage de 0 la situation pourrait ne pas être la même, puisque, pour t assez petit, le volume de $B_e(O, R(t))$ pourrait ne pas être proportionnel à t^3 . Ceci est dû au fait que la vitesse de propagation des radiations vérifiant $\nabla_{X'(t)}^{g_t} X'(t) = 0$ pourrait être originellement plus petite que 1 (vitesse de la lumière dans le vide). En effet, la métrique g_t contracte les distances d'une manière très substantielle au début de l'expansion à cause de l'importance des forces gravitationnelles et des autres forces d'interaction près de l'origine et de l'énormité de la densité énergétique et des intensités de la température et de la pression.

Signalons que, pour éviter le recours à la notion d'une énergie gigantesque concentrée en un point à l'origine du temps $t = 0$ avec une pression et

une température toutes les deux infinies, on pourrait concevoir que notre étude peut être refaite en considérant l'Univers quasi-originel à partir du moment où il est réduit à une boule de rayon euclidien r_0 extrêmement petit et étudier l'expansion à partir d'un temps $t_0 > 0$ infiniment petit. L'Univers sera alors considéré, à l'instant t_0 , comme étant une boule au sein de laquelle les radiations sont caractérisées par une pression et une température extrêmement grandes (tout en étant finies). Cette situation évoluera avec le déroulement du temps vers un état qualifié de soupe de quarks et de leptons avant la formation des hadrons suivie de celle des nucléons, des atomes et des galaxies marquant le passage d'un état à dominance radiationnelle à l'état à dominance matérielle. La température a bien évidemment joué (avec la pression) un rôle essentiel au cours de cette évolution qui a conduit à la situation actuelle caractérisée par une température moyenne approximative de 2,74 K. Pourtant, un grand nombre de moyens techniques, expérimentaux et théoriques nous permettent d'aller de plus en plus loin dans nos investigations afin de découvrir de plus en plus profondément les états originels de notre Univers et des lois qui régissent son évolution.

Montrons, sur quelques exemples, que l'on peut retrouver un certain nombre de résultats confirmés en Physique moderne en se basant sur notre modèle et sans avoir recours ni à la deuxième partie du deuxième postulat de la relativité restreinte (i.e. l'indépendance de la vitesse des ondes électromagnétiques vis à vis de la vitesse du référentiel inertiel) ni au principe d'incertitude.

Remarques sur quelques formules relativistes

Dans cette section, on va souligner des remarques et établir des propriétés et résultats basés sur la réfutation de la deuxième partie du deuxième postulat de la relativité restreinte et la notion relativiste de l'espace - temps ainsi que sur la canonicité des équations de Maxwell et celle du principe de la constance de la vitesse de la lumière obtenue en utilisant les dérivations $\frac{d}{dt}$ et $\frac{d_s}{dt}$ qui tiennent compte du mouvement du repère inertiel (voir paragraphes 2, 3 et 4).

Étant donné que la vitesse est, par nature, une variable continue sur $]0,1]$, nous avons opté pour ne pas faire une distinction nette, selon leur vitesse, entre particules relativistes et non relativistes, concernant soit leur énergie soit leur "momentum". À partir de quelle vitesse devrions-nous utiliser les formules relativistes :

$$p = \frac{mv}{\sqrt{1-v^2}} =: \gamma mv, \quad E = \sqrt{p^2 + m^2}, \quad E = \gamma m \text{ et } v = \frac{p}{E}?$$

Ces formules ne peuvent coïncider avec les formules classiques donnant l'énergie d'une particule pour n'importe quelle vitesse non nulle. En effet

$$\begin{aligned} E = m + \frac{1}{2}mv^2 = \gamma m &\iff \gamma = 1 + \frac{v^2}{2} \iff \frac{1}{1-v^2} = 1 + v^2 + \frac{v^4}{4} \\ &\iff 1 = 1 - v^4 + \frac{v^4}{4} - \frac{v^6}{4} \iff 0 = -3\frac{v^4}{4} - \frac{v^6}{4} \end{aligned}$$

Par ailleurs lorsqu'une particule de masse non nulle $m \ll 1$ a une vitesse très proche de 1, on aurait dans le cadre relativiste $\gamma \gg 1$ et p et E seraient très grands tandis que dans le cadre classique

$$E \simeq m + \frac{1}{2}m = \frac{3}{2}m \ll 1.$$

De même, on a, dans le cadre classique, pour $v \ll 1$

$$p = mv, \quad E_c = \frac{1}{2}mv^2 = \frac{1}{2}pv \text{ et } E = m + \frac{1}{2}mv^2,$$

tandis que, dans le cadre de la relativité, on a pour les photons :

$$p = \frac{h}{\lambda} = hf = E$$

et pour les particules matérielles on a $v = \frac{p}{E}$. Pour ces dernières, les deux notions ne peuvent pas coïncider que pour $v = 0$. En effet, si $v > 0$, alors la relation

$$v = \frac{p}{E} = \frac{mv}{E} \quad \text{implique} \quad E = m,$$

ce qui est contradictoire ($E = m \implies v = 0$).

Remarque : Signalons brièvement que tous les résultats et formules établis en utilisant la partie erronée du deuxième postulat peuvent être établis plus précisément d'une manière cohérente. Néanmoins, l'utilisation des formules relativistiques conduit à des résultats approximatifs très utiles.

La fameuse relation $E = mc^2$

Dans le cadre de notre modèle, on a pour les points matériels et immatériels :

$$E_\mu(t, T(t), X(t)) = h_\mu(t, T(t)) f_\mu(t, T(t)) = m(\mu, T(t))$$

et on a, pour toute particule matérielle fondamentale de masse $m(t)$ occupant un domaine D_t de volume $V(D_t) =: V(t)$ à l'instant t et pour toute vitesse $v(t) < 1$:

$$\begin{aligned} E(t) &= \int_{D_t} E_\mu(t, T(t), X(t)) dX_t = \int_{D_t} h_\mu(t, T(t)) f_\mu(t, T(t)) dX_t \\ &= h_\mu(t, T(t)) f_\mu(t, T(t)) V(t) = m(\mu, T(t)) V(t) \end{aligned}$$

$$p(t) = \int_{D_t} m(X_t) v(X_t) dX_t = m(t) v(t)$$

$$E_c(t) = \frac{1}{2} \int_{D_t} m(X_t) v^2(X_t) dX_t = \frac{1}{2} m(t) v^2(t)$$

et

$$E(t) = m(t) + \frac{1}{2} m(t) v^2(t) = m(t) \left(1 + \frac{1}{2} v^2(t)\right) = \rho(t) V(t) \left(1 + \frac{1}{2} v^2(t)\right).$$

D'où

$$h_\mu(t, T(t)) f_\mu(t, T(t)) V(t) = \rho(t) V(t) \left(1 + \frac{1}{2} v^2(t)\right)$$

et par suite

$$E(t, X(t)) = h(t) f(t) = \rho(t) \left(1 + \frac{1}{2} v^2(t)\right)$$

où l'on a désigné $E_\mu(t, T(t), X(t))$ par $E(t, X(t))$, $h_\mu(t, T(t))$ par $h(t)$ et $f_\mu(t, T(t))$ par $f(t)$.

Pour $v = 0$, on obtient $E(t_0, X(t_0)) = \rho(t_0)$, ce qui implique que l'énergie ponctuelle d'une matière au repos est égale à sa densité ponctuelle.

Par suite, on retrouve la fameuse relation

$$E_0 = m_0 \text{ (i.e. } E = mc^2\text{)}$$

Ainsi, selon notre modèle, la masse d'une particule matérielle, circulant à une vitesse quelconque $v(t) < 1$, est (contrairement à ce qui est adopté au sein de la théorie de la relativité restreinte) une fonction décroissante du temps $m(t)$. Cette décroissance est tout naturellement due à la perte de l'énergie de

masse de la particule par l'intermédiaire des radiations liées aux fluctuations de la vitesse et de la température. L'énergie totale de la particule, à l'instant t , est donc

$$E(t) = m(t)\left(1 + \frac{1}{2}v^2(t)\right)$$

où $m(t)$ n'est autre que la masse initiale (au repos) $m_0 = m(0)$ multipliée par un facteur dépendant de la vitesse et du temps : $m(t) = \gamma(t)m_0$. Ce facteur pourrait être déterminé expérimentalement ou théoriquement en déterminant le montant de la perte de masse causée par les radiations en fonction de l'accélération, de la température et du temps. Toutefois, en écrivant $m(t) = \gamma(t)m_0$, on obtient

$$E(t) = \gamma(t)m_0 \left(1 + \frac{v^2}{2}\right) \quad (19)$$

$$p(t) = \gamma(t)m_0v \quad (20)$$

et pour $v(t) \neq 0$, on a

$$\frac{E(t)}{p(t)} = \frac{1 + \frac{v^2}{2}}{v}.$$

Ainsi, pour $v(t) \equiv 0$, on obtient $p(t) \equiv 0$ et $E(t) \equiv \gamma(t)m_0$, ce qui, avec

$$E(t) \equiv m_0, \text{ implique } \gamma(t) \equiv \gamma(0) = 1.$$

De plus, pour $v \sim 1$, on a $E(t) \sim \frac{3}{2}p(t)$ et pour $v \sim 0$, on a $E(t) \sim m_0$ et $p(t) \sim 0$.

En dérivant les relations (19) et (20) par rapport à t , on obtient

$$E'(t) = m_0\gamma'(t) \left(1 + \frac{v^2}{2}\right) + m_0\gamma(t)vv' \quad (21)$$

$$p'(t) = m_0\gamma'(t)v + m_0\gamma(t)v' \quad (22)$$

et en les dérivant par rapport à la vitesse, on obtient

$$\frac{dE}{dv} = m_0 \frac{d\gamma}{dv} \left(1 + \frac{v^2}{2}\right) + m_0\gamma(t)v \quad (23)$$

$$\frac{dp}{dv} = m_0 \frac{d\gamma}{dv}v + m_0\gamma(t) \quad (24)$$

En éliminant $m_0\gamma(t)$ entre (21) et (24), on obtient

$$\begin{aligned} E'(t) &= m_0\gamma'(t) \left(1 + \frac{v^2}{2}\right) + \left(\frac{dp}{dv} - m_0\frac{d\gamma}{dv}v\right)vv' \\ &= m_0\gamma'(t) \left(1 + \frac{v^2}{2}\right) + p'(t)v - m_0\gamma'(t)v^2 \\ &= m_0\gamma'(t) \left(1 - \frac{v^2}{2}\right) + p'(t)v \end{aligned}$$

D'où

$$\gamma'(t) = \frac{E'(t) - p'(t)v}{m_0(1 - \frac{v^2}{2})}$$

et

$$\int_0^t \gamma'(s) ds = \int_0^t \frac{E'(s) - p'(s)v}{1 - \frac{v^2}{2}} ds$$

Par conséquent, on obtient

$$\gamma(t) = 1 + \frac{1}{m_0} \int_0^t \frac{E'(s) - p'(s)v}{1 - \frac{v^2}{2}} ds$$

et

$$m(t) = m_0 + \int_0^t \frac{E'(s) - p'(s)v}{1 - \frac{v^2}{2}} ds.$$

Ainsi, on retrouve, pour $v = 0$, $E(t) = m(t) = m_0$.

En supposant $v = v_0$ pour $t_0 \leq t \leq t_1$, on obtient

$$\begin{aligned} m(t_1) - m(t_0) &= \int_{t_0}^{t_1} \frac{E'(t)}{1 - \frac{v_0^2}{2}} dt - \int_{t_0}^{t_1} \frac{p'(t)v_0}{1 - \frac{v_0^2}{2}} dt \\ &= \frac{1}{1 - \frac{v_0^2}{2}} (E(t_1) - E(t_0)) - \frac{v_0}{1 - \frac{v_0^2}{2}} (p(t_1) - p(t_0)) \end{aligned}$$

et par suite, on a :

$$\gamma(t_1) - \gamma(t_0) = \frac{1}{1 - \frac{v_0^2}{2}} (\gamma(t_1) - \gamma(t_0)) \left(1 + \frac{v_0^2}{2}\right) - \frac{v_0}{1 - \frac{v_0^2}{2}} (\gamma(t_1) - \gamma(t_0))$$

ce qui n'est possible que pour $\gamma(t_1) - \gamma(t_0) = 0$.

D'où

$$\gamma(t_1) = \gamma(t_0) \quad \text{et} \quad m(t_1) = m(t_0).$$

Par conséquent, on a :

$$\gamma(t) = \gamma(t_0) \quad m(t) = m(t_0) \quad E(t) = E(t_0) \quad p(t) = p(t_0)$$

pour tout $t \in [t_0, t_1]$.

De même, en éliminant $m_0\gamma(t)$ dans (22) et (23), on obtient

$$\begin{aligned} \frac{dE}{dv} &= m_0 \frac{d\gamma}{dv} \left(1 + \frac{v^2}{2}\right) + \frac{p'(t) - m_0\gamma'(t)v}{v'} v \\ &= m_0 \frac{d\gamma}{dv} \left(1 + \frac{v^2}{2}\right) + \frac{dp}{dv} v - m_0 \frac{d\gamma}{dv} v^2 \\ &= m_0 \frac{d\gamma}{dv} \left(1 + \frac{v^2}{2}\right) + \frac{dp}{dv} v. \end{aligned}$$

D'où

$$\frac{d\gamma}{dv} = \frac{\frac{dE}{dv} - \frac{dp}{dv}v}{m_0(1 - \frac{v^2}{2})}$$

et

$$\int_0^v \frac{d\gamma}{dv} dv = \int_0^v \frac{\frac{dE}{dv} - \frac{dp}{dv}v}{m_0(1 - \frac{v^2}{2})} dv;$$

ce qui implique

$$\gamma(v) = 1 + \int_0^v \frac{\frac{dE}{dv} - \frac{dp}{dv}v}{m_0(1 - \frac{v^2}{2})} dv$$

et

$$m = m_0 + \int_0^v \frac{\frac{dE}{dv} - \frac{dp}{dv}v}{1 - \frac{v^2}{2}} dv$$

Ainsi, pour $v \sim 0$, on obtient $m \simeq m_0 + E(v) - m_0$ et par suite $m \simeq E$.

Pour $v \simeq v_0 \neq 0$, on obtient

$$\begin{aligned} E(v) - E(v_0) &\simeq \int_{v_0}^v \frac{E'(v) - v_0 p'(v)}{1 - \frac{v_0^2}{2}} dv \\ &= \frac{2}{2 - v_0^2} (E(v) - E(v_0)) - \frac{2v_0}{2 - v_0^2} (p(v) - p(v_0)); \end{aligned}$$

ce qui implique

$$\left(\frac{2}{2 - v_0^2} - 1\right)(E(v) - E(v_0)) \simeq \frac{2v_0}{2 - v_0^2}(p(v) - p(v_0))$$

et

$$v_0^2(E(v) - E(v_0)) \simeq 2v_0(p(v) - p(v_0))$$

ou

$$E(v) - E(v_0) \simeq \frac{2}{v_0}(p(v) - p(v_0)).$$

D'où

$$\gamma(t)m_0\left(1 + \frac{v^2}{2}\right) - \gamma(t_0)m_0\left(1 + \frac{v_0^2}{2}\right) \simeq \frac{2}{v_0}(\gamma(t)m_0v - \gamma(t_0)m_0v_0)$$

Donc, si $m_0 \neq 0$, on a

$$\gamma(t)\left(1 + \frac{v^2}{2}\right) - \gamma(t_0)\left(1 + \frac{v_0^2}{2}\right) \simeq \frac{2}{v_0}(\gamma(t)v - \gamma(t_0)v_0)$$

et par suite

$$\gamma(t)\left(1 + \frac{v^2}{2} - \frac{2}{v_0}v\right) \simeq \gamma(t_0)\left(1 + \frac{v_0^2}{2} - 2\right);$$

ce qui implique

$$\gamma(t) \simeq \gamma(t_0) \quad \text{et} \quad m(t) \simeq m_0.$$

Pour $v \sim 1$, on a $\gamma(t) \simeq \gamma(t_0) \sim 0$ et $m(t) \sim 0$.

Notons qu'une comparaison de nos formules (20) et (19) respectivement avec les formules relativistes :

$$p = \gamma m_r v \quad \text{et} \quad E = \gamma m_r$$

où $\gamma = \frac{1}{\sqrt{1-v^2}}$ est le facteur de Lorentz et m_r est la masse constante d'Einstein, donne d'une part

$$m_r = \frac{\gamma(t)m_0}{\gamma} = \frac{m(t)}{\gamma}$$

et d'une autre part

$$m_r = \frac{\gamma(t)m_0}{\gamma}\left(1 + \frac{v^2}{2}\right) = \frac{m(t)}{\gamma}\left(1 + \frac{v^2}{2}\right)$$

ce qui n'est possible qu'approximativement pour $v \ll 1$.

Par ailleurs, le facteur γ est apparu, plusieurs années avant la théorie de la relativité restreinte, dans les travaux du physicien W.Kaufmann qui a qualifié

l'expression γm de masse apparente. Notons aussi qu'une particule matérielle de masse $m(t)$ ne peut pas atteindre la vitesse $v = 1$ tout en gardant une masse finale $m_f > 0$. Autrement, son énergie finale (et par suite l'énergie nécessaire qu'il lui faut fournir pour atteindre une telle vitesse) serait, selon la formule relativiste

$$E_f = \frac{m_f}{\sqrt{1 - v_f^2}} \sim +\infty$$

La quantité de mouvement, l'énergie et la masse

Dans le cadre de notre modèle, on a privilégié (comme l'a fait originellement Einstein) la notion de la masse au repos m_0 de chaque particule. Cependant, on a adopté, pour une particule ayant une vitesse significative, la notion de la masse dépendant de la vitesse et du temps sous la forme

$$m(t) = \gamma(t)m_0$$

pour $\gamma(t)$ décroissant de 1 à 0 lorsque la vitesse croît de 0 à 1. On a aussi adopté l'expression

$$E_c(t) = \frac{1}{2}m(t)v^2(t) = \frac{1}{2}\gamma(t)m_0v^2(t)$$

pour l'énergie cinétique et l'expression

$$\overrightarrow{p}(t) = m(t)\overrightarrow{v}(t) = \gamma(t)m_0\overrightarrow{v}(t)$$

pour la quantité de mouvement ("momentum") d'une particule en mouvement.

La quantité de mouvement d'une particule est classiquement définie comme étant

$$\overrightarrow{p} = m \overrightarrow{v} \quad \text{avec} \quad \frac{d\overrightarrow{p}}{dt} = \overrightarrow{F}$$

où $\overrightarrow{F} = m \overrightarrow{\Gamma}$ est la force qui agit sur la particule, tandis que la définition classique de l'énergie cinétique est

$$E_c = \frac{1}{2}mv^2.$$

Einstein a bien montré que ces deux définitions sont érronnées pour des particules à grande vitesse. En effet, un exemple simple ([2], p.112) montre que

la définition classique de l'énergie cinétique, conduisant à la relation $v = \sqrt{\frac{2E_c}{m}}$, contredit la loi fondamentale de la relativité spéciale (et de la physique en général) qui stipule que la vitesse d'une particule matérielle ne peut pas excéder $c = 1$.

Par contre, le deuxième exemple ([2], p.113) qui a été utilisé pour montrer la non conservation de la quantité de mouvement lors d'une collision de deux particules A et B de même masse m et ayant des vitesses \vec{v} et $-\vec{v}$ dans un repère référentiel donné S' , ne permet pas de tirer les conséquences établies en utilisant les relations relativistes du changement de repère. Pour nous, la quantité du mouvement est bien conservée lorsqu'on utilise le repère S pour lequel la particule B est au repos. Ceci est clairement montré par la figure 11.

D'un autre côté, il est clair ([2],p.112) que les formules classiques $p = mv$ et $F = \frac{dp}{dt}$ conduisent à une contradiction avec le principe fondamentale qui stipule que la vitesse d'un objet de masse non nulle ne peut pas excéder celle de la lumière.

De même la relation $F = \frac{dp}{dt}$, pour $F \neq 0$, conduit, dans le cadre de notre modèle, à une contradiction de la même nature qu'auparavant. En effet, considérons (à titre d'exemple) un électron de masse au repos m_0 qui est accéléré dans un champ électrique E telle que la force électrique F exercée sur l'électron soit une constante non nulle. Lorsqu'on écrit

$$F = m(t) \Gamma(t) = \gamma(t) m_0 \Gamma(t)$$

et

$$p = m(t) v(t) = \gamma(t) m_0 v(t)$$

pour $m(t) \neq 0$, propriété qui se traduit par $\gamma(t) \neq 0$ et $v(t) < 1$, alors

$$F = \frac{dp}{dt} \Leftrightarrow \gamma(t) m_0 \Gamma(t) = \frac{d}{dt}(\gamma(t) m_0 v(t)) \Leftrightarrow \frac{F}{m_0} = \frac{d}{dt}(\gamma(t) v(t)).$$

F étant une constante, on aura alors

$$\gamma(t)v(t) = \frac{F}{m_0}t + C = \frac{F}{m_0}t + \gamma(\tau)v(\tau) - \frac{F}{m_0}\tau$$

pour $\tau > 0$.

Or, ceci implique

$$\frac{d}{dt}(\gamma(t)v(t)) = \gamma'(t)v(t) + \gamma(t)\Gamma(t) = \frac{F}{m_0} = \gamma(t)\Gamma(t)$$

et par suite, on obtient

$$\gamma'(t) = 0 \quad (\text{puisque } v(t) \neq 0)$$

et

$$\gamma(t) = \gamma = \text{cte} \quad \text{et} \quad m(t) = \gamma m_0 = \text{cte},$$

ce qui est impossible puisqu'une particule accélérée ne peut pas avoir une masse constante.

De même, la relation précédente implique

$$\begin{aligned} v(t) &= \frac{F}{m_0 \gamma} t + \frac{C}{\gamma} \\ &= \frac{F}{m} t + \frac{C}{\gamma} = \Gamma t + \frac{C}{\gamma} \end{aligned}$$

avec Γ constante strictement positive, ce qui est impossible également puisque la vitesse d'une particule de masse non nulle ne peut pas excéder 1. Signalons d'ailleurs que si le champ électrique E est maintenu constant, alors la force $F = q(E + v \wedge B)$ ne peut pas physiquement rester constante pour un électron accéléré par un champ électrique.

Ainsi la relation $\frac{dp}{dt} = F$ ne peut pas être approximativement vraie que pour des vitesses minimales par rapport à la vitesse de la lumière lorsque $\gamma'(t) \sim 0$, $\gamma(t) \sim 1$ et $m(t) \sim m_0$ à condition que $m(t)$ soit différent de 0. Dans cette situation, on peut écrire

$$\frac{dp}{dt} = \frac{d}{dt} m_0 v(t) = m_0 \Gamma(t) = F(t)$$

et pour $v = \text{cte}$, on a

$$\frac{dp}{dt} = \frac{d}{dt} m_0 v = 0.$$

Rappelons que, dans le cadre de notre modèle, on a

$$p(t) = m(t)v(t) = \gamma(t)m_0v(t)$$

$$E_c(t) = \frac{1}{2}m(t)v^2(t) = \frac{1}{2}\gamma(t)m_0v^2(t)$$

$$E(t) = m(t)\left(1 + \frac{1}{2}v^2(t)\right) = \gamma(t)m_0\left(1 + \frac{1}{2}v^2(t)\right)$$

pour $m(t) \neq 0$ et $v(t) < 1$.

Ces formules sont bien conformes avec les deux lois fondamentales de conservation (de l'énergie et de la quantité de mouvement).

En réalité, le principe de la conservation de la quantité de mouvement est clairement exprimé, dans le cadre de notre modèle, par

$$\begin{aligned}
\nabla_{X'(t)}^{g_t} \overrightarrow{p}(t) &= \nabla_{X'(t)}^{g_t} \gamma(t) m_0 X'(t) = m_0 \nabla_{X'(t)}^{g_t} \gamma(t) X'(t) \\
&= m_0 (\gamma(t) \nabla_{X'(t)}^{g_t} X'(t) + X'(t) \cdot \gamma'(t) X'(t)) \\
&= m_0 (\gamma(t) \nabla_{X'(t)}^{g_t} X'(t) + \gamma'(X(t)) X'(t)).
\end{aligned}$$

Par conséquent, si $X(t)$ est une géodésique, on obtient

$$\tilde{\Gamma}(t) = \nabla_{X'(t)}^{g_t} X'(t) = 0$$

et

$$\|X'(t)\|_{g_t} = v = \text{cte};$$

ce qui donne $\gamma(t) = \text{cte}$ et $\gamma'(t) = 0$, et par suite on obtient

$$\nabla_{X'(t)}^{g_t} \overrightarrow{p}(t) = 0.$$

Cette quantité est réellement nulle pour toute trajectoire libre $X(t)$ i.e. pour toute géodésique par rapport à la métrique physique qui tient compte de toutes les forces naturelles agissant sur la particule. Par conséquent, on peut affirmer que la relation

$$\nabla_{X'(t)}^{g_t} \overrightarrow{p}(t) = \overrightarrow{F}$$

est plus conséquente que la relation classique $\frac{d\vec{p}}{dt} = \overrightarrow{F}$.

Finalement notons que, dans le cadre de la relativité, la relation $\overrightarrow{F} = \frac{d\vec{P}}{dt}$ conduit à la relation ([2], (4.104))

$$\overrightarrow{\Gamma} = \frac{d\vec{v}}{dt} = \frac{\overrightarrow{F} - \vec{\beta}(\overrightarrow{F} \cdot \vec{\beta})}{m\gamma}$$

qui montre qu'à grande vitesse l'accélération n'est pas parallèle à la force tandis que le champ de force F_{g_t} le long d'une trajectoire $X(t)$ est donné dans le cadre de notre modèle par

$$F_{g_t}(X(t)) = -\nabla^{g_t} E_t(X(t)) = \tilde{\Gamma}(T).$$

Remarques sur la théorie quantique

En ce qui concerne le principe d'incertitude, il nous a semblé illogique de se baser sur des expériences comme celle où des particules arrivent sur un écran à travers deux petites fentes légèrement espacées l'une de l'autre pour en conclure que le fait de savoir à travers lesquelles des deux fentes sont passées les particules, pourrait altérer réellement le phénomène physique. Il est vrai que le moyen utilisé pour connaître l'origine pourrait altérer le résultat en influençant énergétiquement les parcours, mais ceci est un phénomène conjoncturel et technique qui ne nous autorise pas à en déduire que notre pure connaissance pourrait changer les résultats d'une telle expérience qui sont déterminés objectivement par les conditions physiques elles-mêmes. Par ailleurs, notre capacité, qu'elle soit théorique ou pratique, de découvrir une loi de la nature ne changera en rien l'objectivité de cette loi. La longue histoire de la découverte dans tous les domaines prouve l'objectivité de ces lois indépendamment de notre capacité conjoncturelle théorique, approximative ou expérimentale (technique) de les découvrir. L'utilisation des niveaux énergétiques grandissant des particules et des longueurs d'onde de plus en plus petites, par exemple, a permis de réaliser des progrès inimaginables dans le domaine de la compréhension de notre Univers physique à travers les temps ainsi que celle de la matière et de sa structure, en particulier celle des nucléons, quarks et autres leptons et hadrons, mais aussi du raffinement de nos connaissances sur les quantisations au niveau de l'énergie et des moments angulaires et intrinsèques aussi bien atomiques que nucléaires. Les fonctions de Schrödinger et la statistique quantique ont permis de jeter des lumières déterminantes sur notre Univers en fournissant des méthodes efficaces pour l'interprétation des résultats obtenus par expérimentation et en conduisant à des approximations puissantes au niveau de la modélisation des phénomènes naturels. Ces derniers comportent par leur nature et d'une façon inhérente des incertitudes dues à la multitude des facteurs (énergétiques et dynamiques essentiellement évolutifs) qui gouvernent les niveaux énergétiques, les trajectoires, les interactions...

Ces phénomènes sont loin d'être réguliers (différentiables) mais ils sont continus. Un électron qui, par exemple, change son orbite (en évolution continue et permanente) pour un niveau plus haut (en absorbant un photon) ou pour un niveau plus bas (en cédant un photon), passe une infime fraction de seconde pour effectuer ce passage assurant à la fois la continuité de sa trajectoire et la loi de la conservation de l'énergie au cours de ce passage.

Par ailleurs, notons que la fonction ψ solution de l'équation de Schrödinger

$$-\frac{\hbar^2}{2m} \frac{d^2\psi}{dx^2} + V(x)\psi(x) = E\psi(x)$$

par exemple, qui donne la probabilité de trouver la particule par unité de distance x à l'aide de la distribution

$$\frac{dP}{dx} = |\psi(x)|^2$$

a été déterminée d'une façon expérimentale et prédictive. Cette fonction est d'une nature complètement différente de notre fonction $\psi(X)$. Cette dernière provient de la résolution de l'équation d'énergie (E^*) dont les solutions sont de la forme

$$E(t, X) = g(t)\psi\left(\frac{X}{t}\right)$$

caractérisant ainsi, à la fois, l'énergie et la fréquence d'un point matériel ou immatériel et de toute particule matérielle ponctuelle à un instant donné. De même, il ne faut pas confondre ni l'une ni l'autre avec la trajectoire $X(t)$ de cette particule. Ainsi, pour un pendule simple ou un oscillateur harmonique (quantique), par exemple, la fréquence d'oscillation est une chose et celle des points matériels est une autre. Lorsque, par exemple, le pendule se trouve en équilibre vertical stable, la fréquence du point matériel est déterminée par son énergie caractéristique $E(t, X(t)) = h(t)f(t)$, son énergie potentielle et son énergie cinétique sont nulles et son énergie de masse est $E = mc^2 = m$. Cependant, on ne peut pas parler ni de sa période T ni de sa fréquence $f = \frac{v}{\lambda}$. On ne peut donc pas supposer qu'elle a une fréquence non nulle et déterminer, à l'aide du principe d'incertitude, son énergie minimale de base (ground state energy) qui serait non nulle (aussi petite qu'elle soit) contrairement aux principes newtoniennes de la Physique classique. Ceci reste valable également en ce qui concerne une balle de tennis ou une miniscule bille, par exemple, se trouvant au repos dans une caisse (supposée également au repos). De même, le niveau minimum d'énergie (bel et bien quantisé) de l'électron dans un atome d'hydrogène correspond à l'orbite associée au rayon de Bohr

$$r = a_0 = \frac{4\pi\epsilon_0\hbar^2}{me^2}$$

qui est lui-même déterminé par l'énergie minimale

$$E_m = \left(\frac{1}{2}mv^2 - \frac{e^2}{4\pi\epsilon_0 r}\right)_m = \left(\frac{\hbar^2}{2\pi r^2} - \frac{e^2}{4\pi\epsilon_0 r}\right)_m$$

où \bar{h} est ici la constante de Planck classique.

Ceci n'a rien à avoir avec le principe d'incertitude mais il est plutôt dû au fait que l'énergie totale minimale que peut avoir un électron au sein d'un atome d'hydrogène est finie et caractérisée (en moyenne) par les deux constantes a_0 et \bar{h} .

Précisons enfin que le principe d'incertitude, sous ses deux formes : $\Delta x \Delta p_x > \frac{\bar{h}}{2}$ et $\Delta E \Delta t > \frac{\bar{h}}{2}$, n'est en réalité qu'une conséquence légitime de l'utilisation des fonctions de Schrödinger :

$$\psi(x) = \frac{1}{\sqrt{2\pi}} \int_{-\infty}^{+\infty} g(k) e^{-ikx} dk$$

et

$$g(k) = \frac{1}{\sqrt{2\pi}} \int_{-\infty}^{+\infty} \psi(x) e^{ikx} dx$$

afin de déterminer la probabilité de localiser une particule donnée soumise à des contraintes données dans une position donnée. Ce principe est, en effet, obtenu à partir des distributions

$$\frac{dP}{dx} = |\psi(x)|^2, \quad \frac{dP}{dk} = |g(k)|^2$$

et de leurs déviations standards σ_x et σ_k en utilisant la relation de De Broglie $p = \frac{h}{\lambda}$. Par conséquent, le principe d'incertitude obtenu ainsi confirme simplement que cette approche particulière et l'utilisation de cette méthode particulière comportent d'une façon inhérente l'incertitude ainsi quantifiée. Mais ceci ne veut pas dire que la position x de la particule et son moment p_x à un instant donné ne sont pas bien définis ou qu'ils ne peuvent pas être déterminés à une meilleure précision par un procédé théorique ou expérimental plus performant. En effet, nul ne peut affirmer qu'on ne pourra pas un jour mettre au point un moyen technique ou théorique pouvant être utilisé pour mesurer une largeur de fente ou un ordre de grandeur d'une particule beaucoup plus petits que ceux atteints actuellement à l'aide de la diffusion des particules en cours aujourd'hui. On pourrait peut être utiliser des rayons γ ultra-énergétiques dont les longueurs d'onde sont beaucoup plus petites et inventer un procédé intermédiaire qui rend les effets de tels rayons accessibles à notre sensibilité ou notre compréhension. On peut espérer la même chose en ce qui concerne la mise au point de procédés nouveaux pour mesurer la position x et la composante p_x de la quantité de mouvement p d'une particule donnée qui amélioreront les incertitudes Δx et Δp_x ainsi que celui de leur produit $\Delta x \Delta p_x$ qui est limité actuellement par $\frac{\bar{h}}{2}$ avec les

procédés actuels.

Évidemment, on peut utiliser les équations de Schrödinger et la Statistique quantique en tant qu'une approche conduisant à des approximations qualitatives et quantitatives efficaces (avec, tout naturellement, une marge d'incertitude) des phénomènes physiques étudiés dans les cas où les mesures approximatives effectives s'avèrent difficiles à effectuer. Ces problèmes vont être discutés d'une façon plus précise dans les paragraphes suivants.

Notons que, dans le cadre de notre modèle, les notions de longueur d'onde et de fréquence sont des caractéristiques d'un point matériel ou immatériel et non pas d'une particule matérielle même si cette dernière pourrait être considérée physiquement comme étant ponctuelle comme un électron par exemple. C'est dans ce contexte précis qu'il faut interpréter le caractère ondulatoire de la matière. Nous considérons donc le fait d'attribuer une longueur d'onde $\lambda = \frac{h}{p}$ et une fréquence $f = \frac{v}{\lambda}$ à une particule matérielle ponctuelle circulant à une vitesse v comme étant une méthode pratique pour effectuer des calculs approchés ne correspondant pas à une vraie trajectoire périodique et elles ne peuvent pas être utilisées pour calculer l'énergie exacte d'une telle particule à l'aide de la relation

$$E = \sqrt{(pc)^2 + (mc^2)^2} = \sqrt{p^2 + m^2} = \sqrt{\frac{h^2}{\lambda^2} + m^2} = \sqrt{\frac{h^2 f^2}{v^2}},$$

par exemple, qu'il s'agisse d'une particule relativiste ou non relativiste (voir paragraphe 8).

De même, lorsqu'on utilise la relation $p = \gamma m v = \frac{h}{\lambda} = \frac{hf}{v}$ pour une particule matérielle ponctuelle non relativiste, alors on obtient

$$E_T := hf = \gamma m v^2$$

ce qui implique (conformément aux formules relativistes)

$$\gamma m = \gamma m v^2$$

et par suite $v^2 = 1$, ce qui est absurde. Quant aux "momentum" p d'un photon, on a bien : $p = E = hf = \frac{h}{\lambda}$ et par suite, on a $\lambda = \frac{h}{p}$.

De plus, l'utilisation de l'expression de la quantité de mouvement relativiste $p = \frac{h}{\lambda}$ pour les particules matérielles conduit, dans le cas de l'électron

de l'atome d'hydrogène, à une contradiction flagrante. En effet, on a alors ([2],p.139) :

$$\frac{\langle E_c \rangle}{\langle E_p \rangle} = -\frac{\langle \frac{mv^2}{2} \rangle}{ke^2 \langle \frac{1}{r} \rangle} = -\frac{\langle \frac{mv^2}{2} \rangle}{ke^2 \frac{mv}{h}}$$

où l'on a utilisé la formule

$$\langle \frac{1}{r} \rangle \simeq \frac{2\pi}{\lambda} = \frac{p}{h}$$

et l'expression non relativiste de E_c , qui est valable pour les niveaux d'énergie de l'atome en question.

Ainsi, on obtient

$$-\frac{1}{2} = -\frac{v\bar{h}}{2ke^2} = -\frac{v\bar{h}}{2\alpha\bar{h}c} = -\frac{1}{2\alpha c}v;$$

ce qui est contradictoire puisque v décroît lorsque r croît.

D'un autre côté, la comparaison de notre expression de l'énergie ondulatoire $E(t) = h_\mu(t)f_\mu(t)$ à celle de De Broglie-Planck-Einstein qu'on va écrire $E = h_P f_D$ (où h_P est la constante de Plank et f_D est la fréquence de De Broglie) donne $h_\mu(t)f_\mu(t) = h_P f_D$ et par suite

$$h_P = \frac{h_\mu(t)f_\mu(t)}{f_D(\mu, t)} = \frac{m(\mu, t)}{f_D(\mu, t)}$$

et

$$f_D(\mu, t) = \frac{1}{h_P} h_\mu(t) f_\mu(t) = \frac{1}{h_P} m(\mu, t).$$

Remarque : Une étude supplémentaire plus systématique des limites de la théorie quantique sera effectuée dans le paragraphe suivant.

Répercussions sur quelques autres notions

Signalons qu'à la lumière de notre modèle, on pourra réexaminer et préciser un grand nombre de notions et de facteurs jouant un rôle important en Physique moderne (la loi de Hubble, la dépendance du spectre des radiations des puissances de la température, le problème de la réunification des forces fondamentales...) en évitant l'utilisation de la deuxième partie du deuxième postulat de la relativité restreinte et du principe d'incertitude et en confinant les statistiques quantiques dans leur juste rôle et leur juste et importante

portée et enfin en rétablissant la dépendance du temps (ou de la distance) et de la température de certaines notions et constantes. Ainsi, le décalage vers le rouge et vers le bleu (le "redshift" et le "blueshift"), par exemple, sont dûs à la dépendance de la longueur d'onde du temps et de la distance et non pas à la vitesse de la source. La vitesse de la source a pour seul effet d'éloigner ou de rapprocher plus ou moins vite l'émetteur de l'analyseur - récepteur. De même, on peut montrer facilement, dans le cadre de notre modèle, que la vitesse relative de deux galaxies isotropiques quelconques, s'éloignant dans la direction de l'expansion est proportionnelle à la distance les séparant. Ceci nous permet d'introduire le facteur $R(t)$ caractérisant l'expansion et suivre les travaux de Hubble en posant $r = r_0 R(t)$ et

$$H(t) = \frac{\frac{dR}{dt}}{R} \text{ avec } H_0 = \left(\frac{dR}{dt} \right)_{t=t_0}$$

pour obtenir la loi de Hubble

$$v = \frac{dr}{dt} = H_0 r$$

Ainsi, en désignant par m la masse totale d'une galaxie située sur une sphère de rayon $R(t)$ suffisamment grand et par M la masse totale de la boule de rayon $R(t)$, on peut obtenir les relations classiques (J.W.Rohlf, p.552) :

$$E_c = \frac{1}{2} m r_0^2 \left(\frac{dR}{dt} \right)^2$$

$$V = - \frac{4\pi m G r_0^2 R^2 \rho}{3}$$

où V est l'énergie potentielle de la galaxie et ρ est la densité moyenne de la masse dans la boule.

Ensuite, suivant Einstein, on introduit le paramètre de courbure $K(t)$ qui est, dans le cadre de notre modèle, intrinsèquement lié à la métrique g_t qui reflète, elle-même, la distribution énergétique de l'Univers. En appliquant le principe de la conservation de l'énergie, on obtient alors l'équation de Friedmann

$$\left(\frac{dR}{dt} \right)^2 = \frac{8\pi\rho G R^2}{3} - K$$

Bien que cette équation pourrait donner des renseignements sur l'évolution de l'Univers, signalons que notre modèle est différent de celui d'Einstein-de Sitter puisqu'il est basé sur une autre conception de l'espace et du temps

d'une part et puisque le paramètre de courbure K qui apparaît ici dépend du temps et ne peut pas être nul d'une autre part. Signalons aussi que notre modèle n'est pas conforme au premier postulat du principe cosmologique qui stipule que l'Univers paraît (exactement) le même quelque soit la position galactique de l'observateur tout en étant conforme à la deuxième affirmation de ce principe qui stipule que (dans le sens précisé plus haut) la vitesse relative des galaxies est proportionnelle à leur distance. Cependant, la réadaptation de la théorie de la relativité générale, des lois de Hubble et des équations de Friedmann - Einstein à notre modèle sera effectuée au cours des paragraphes 10, 11 et 12.

La réexamination approfondie de ces notions et postulats et des résultats qui en découlent nécessite évidemment un travail collectif laborieux et assidu.

Tout ce qui précède nous pousse à croire que la Physique est une science exacte, mais cette science ne pourra nous être révélée que progressivement, et souvent d'une manière approximative, en mariant l'expérimentation à la théorie. Ceci est essentiellement dû à la complexité des phénomènes naturels (bien que les lois de la Physique sont essentiellement simples) d'une part et aux limites imposées par nos moyens techniques et pratiques d'une autre part. Cependant, tout ce qui reste dans le domaine de la Physique (et non pas dans celui de la Méthaphysique) est régi par un certain nombre de principes et de lois dont la majorité a été découverte par des voies expérimentales et théoriques. La voie théorique utilise essentiellement les Mathématiques qui, bien qu'elles soient purement intellectuelles et théoriques, sont initiées et dynamisées par la Physique et la Technologie.

En conclusion, les Mathématiques et la Physique sont indissociables comme le sont la théorie (intellectuelle) et la pratique (expérimentale et utilitaire); d'où la nécessité de toutes les sciences, auxquelles il faut ajouter l'imagination et la Philosophie pour aller encore plus loin dans l'épopée de la découverte scientifique dans tous les domaines.

Remarque. D'autres répercussions fondamentales sur différentes branches de la physique moderne seront développées dans les paragraphes suivants.

8 The limits of Quantum theory

In this section we aim to specify the proper domain of the Quantum theory efficiency. We will show that the wave Quantum Mechanics (based on Schrödinger's equations) and quantum Statistics constitute essentially experimental and approximate tools that result in a probabilistic and predictive approach for explaining physical phenomena. Consequently, they can not constitute a proper theoretical framework for instituting any intrinsic or canonical physical law. The De Broglie wavelength which is a canonical feature of electromagnetism is simply a practical object that is useful only for approximately studying the pointlike material particles behavior. Moreover the uncertainty principle is only a legitimate consequence of the Schrödinger probabilistic process and can not be considered as a universal principle. More fundamentally, we consider that the legitimacy of the wave quantum Mechanics (which is derived from classical Mechanics), is based on its ability to provide, in the macroscopic cases, approximate results that coincide with those given by Newton, Lagrange and Hamilton's Mechanics. Classical Mechanics institutes laws for idealized physical situations (when sufficient data are known), whereas quantum Mechanics predicts and explains experimental observed results; the legitimacy of the latter is insured by the Bohr correspondence principle. Indeed, we show that quantum Statistics uniquely relies on the very physical characteristics of both the realized experiment and the involved particles (such as distances, symmetries, masses, charges, momenta and spins) as well as on mathematical Logics. Quantum Mechanics can and must be used in microscopic subatomic phenomena when our present means can not result in a theoretical formulation.

8.1 The De Broglie Wavelength

The early 20th century was marked by three fundamental discoveries : the photon by Einstein, the Planck constant and the Bohr model for the hydrogen atom. The Quantum period has begun. The quantized nature of light as well as of energy levels was clearly proved. Contemporaneously, many experiments and facts have shown that matter has also some wavy nature. The success of some new notions, the partial success of some others and the contestable success of special relativity theory led De Broglie to translate the notion of wavelength from electromagnetism to matter particles and bodies. He then defined the wavelength of a particle as

$$\lambda = \frac{h}{p}$$

where p is the relativistic momentum of the particle and h is the Planck's constant. This was a practical and useful approximation for analyzing the energy, momentum and speed of particles. Nevertheless, this notion, joined to relativistic formulas, on one hand, and to the Bohr model, on the other hand, leads to some obvious contradictions. The wavy nature of matter has to be explained more generally and more precisely.

Remark 1. In the previous sections, we have proved that the second part of the special relativity second postulate is false. We also proved that the frequency f is a characteristic feature of a (material or immaterial) point that is extended only to fundamental particles (quarks and leptons). Integration of the relation $E = hf$ over the domain occupied by a fundamental particle gives the famous relation

$$E_0 = m_0c^2 := m_0$$

for at rest matter and

$$E = \gamma(t)m_0$$

for a material particle into movement, where $\gamma(t)$ is a decreasing function of the speed.

So, when we attribute a De Broglie wavelength $\lambda = \frac{h}{p}$ and a frequency $f = \frac{v}{\lambda}$ to a pointlike material particle, they do not correspond to a real periodic movement (or trajectory) and can not be used for making exact calculation of relativistic or non relativistic particle energy by means of formulas such as

$$p = \gamma mv \quad , \quad E = \sqrt{p^2 + m^2} = \gamma m \quad \text{and} \quad v = \frac{p}{E}.$$

For non relativistic particles, we obtain in this way :

$$p = \frac{h}{\lambda} = \frac{hf}{v} = \frac{E}{v} = \frac{\gamma m}{v}$$

which yields

$$\gamma mv = \frac{\gamma m}{v}$$

and then $v^2 = 1$, which is absurd.

Moreover the Bohr model shows clearly that, for energy levels E_n with n sufficiently large, we have $f_{orb} \simeq f_{rad}$ (whereas, for lower n , we have $f_{orb} \neq$

f_{rad}). So, when we consider two consecutive high levels E_1 and E_2 corresponding to frequencies f_1 and f_2 , wavelengths λ_1 and λ_2 and speeds v_1 and v_2 , we have (using the relation $E = \sqrt{p^2 + m^2} = \sqrt{\frac{h^2}{\lambda^2} + m^2} = \sqrt{\frac{h^2 f^2}{v^2} + m^2}$),

$$\begin{aligned} f_2 &= \frac{\Delta E}{h} = \frac{E_2 - E_1}{h} = \frac{\sqrt{p_2^2 + m^2} - \sqrt{p_1^2 + m^2}}{h} \\ &= \frac{\sqrt{\frac{h^2}{\lambda_2^2} + m^2} - \sqrt{\frac{h^2}{\lambda_1^2} + m^2}}{h} = \sqrt{\frac{1}{\lambda_2^2} + \frac{m^2}{h^2}} - \sqrt{\frac{1}{\lambda_1^2} + \frac{m^2}{h^2}}. \end{aligned}$$

Consequently, we obtain

$$\frac{v_2}{\lambda_2} = \frac{1}{\lambda_2} \sqrt{1 + m^2 \frac{\lambda_2^2}{h^2}} - \frac{1}{\lambda_1} \sqrt{1 + m^2 \frac{\lambda_1^2}{h^2}}$$

and

$$\begin{aligned} v_2 &= \sqrt{1 + \frac{m^2}{p_2^2}} - \frac{\lambda_2}{\lambda_1} \sqrt{1 + \frac{m^2}{p_1^2}} \\ &= \sqrt{1 + \frac{m^2}{p_2^2}} - \frac{p_1}{p_2} \sqrt{1 + \frac{m^2}{p_1^2}} \\ &= \sqrt{1 + \frac{m^2}{p_2^2}} - \sqrt{\frac{p_1^2}{p_2^2} + \frac{m^2}{p_2^2}} \\ &= \sqrt{1 + \frac{m^2}{p_2^2}} - \sqrt{\frac{v_1^2}{v_2^2} + \frac{m^2}{p_2^2}} \\ &= \sqrt{1 + \frac{m^2}{p_2^2}} - \sqrt{\left(\frac{n+1}{n}\right)^2 + \frac{m^2}{p_2^2}} < 0 \end{aligned}$$

which is absurd.

We obtain a similar contradiction when we use $f_1 = \frac{\Delta E}{h}$.

The particle in a box case

We consider now a small ball (or particle) in a fixed box of length L . When we are looking for the ground state energy by using the De Broglie wavelength notion $\lambda = \frac{h}{p}$ and the Schrödinger equation

$$-\frac{\hbar^2}{2m} \frac{d^2\psi}{dx^2} = E\psi,$$

we arbitrarily exclude the case where the particle speed is $v_0 = 0$.

Now, the introduction of the speed notion implies necessarily the introduction of the time progress notion. Let then $E_0 = \frac{h^2}{8mL^2}$ be the quantum ground state energy that corresponds to the speed $v_0 \neq 0$. If $|v_0| = a_0$ (a positive constant), we obtain $|p_0| = ma_0$ when using classical Physics formulas and $|p_0| = \gamma_0 ma_0$ when using relativistic ones, where $\gamma_0 = \frac{1}{\sqrt{1-v_0^2}}$. But $\langle p_0 \rangle = 0$ implies $p_0(x) = \pm |p_0|$ and $v_0(x) = \pm a_0$ which constitute a physically and mathematically inconceivable phenomena ($v_0(x)$ can not pass from $-a_0$ to $+a_0$ instantaneously). So $|p_0|$ is time dependent which is contradictory as (according to generally accepted notions)

$$|p_0| = \frac{h}{\lambda_0} = \frac{h}{2L} = \text{const.}$$

Therefore, we have either $v_0 = 0$, which implies $E_0 = p_0 = 0$ (in accordance with the classical physics minimal energy) and λ has no a real existence, or all quantities v_0, p_0, E_0 and (if we put $\lambda_0 = \frac{h}{p_0}$) λ_0 depend on time. In that case L obviously depends on time, which is absurd unless the legitimacy of the theoretically exact measurements' existence is thoroughly questioned.

The pendulum and quantum harmonic oscillator case

When we consider a pendulum, we assume either $v_0 = 0$, which corresponds to the stable vertical equilibrium state and implies $E_0 = p_0 = 0$ in accordance with classical Newtonian Physics, or $v_0 \neq 0$. In that case the ground state energy within the wave quantum Mechanics framework is

$$E_1 = \frac{\bar{h}\omega_1}{2} = \frac{hf_1}{2},$$

which is a non vanishing constant, since the very physical nature of the pendulum notion imposes the attribution of a frequency $f_1 = \frac{1}{T_1}$ to the theoretically periodic movement of the pendulum.

Now, when we incorrectly identify the De Broglie wavelength $\lambda_1 = \frac{h}{p_1}$ with the wavelength $\lambda = \frac{v_1}{f_1}$ of the periodic movement (where p_1 and v_1 are respectively the mean scalar momentum and speed), we obtain

$$E_1 = \frac{hf_1}{2} = \frac{1}{2} \frac{h}{\lambda_1} \lambda_1 f_1 = \frac{1}{2} p_1 v_1$$

which is the corresponding mean kinetic energy. The same results are valid for a quantum harmonic oscillator. Furthermore, we obtain for the first

excited state $E_2 = 3E_1$ ([2], (7.121)). Now, it is physically and mathematically undeniable that mean speed, mean momentum and mean kinetic energy depend continuously on the initial displacement of both pendulum and harmonic oscillator. But displacement is a continuous variable; therefore the energy levels can not be quantized by means of Schrödinger's equation.

8.2 The uncertainty principle

We begin this subsection by noticing that it seems strongly illogical that, after some experiments such as the one where particles hit a screen through small slits slightly spaced, we conclude that the fact of knowing the origin of the particles hitting the screen could really alter the physical phenomena. It is true that the means used in order to know this origin can alter the results by modifying the particles momenta and trajectories but this is only a technical and circumstantial phenomena that does not allow us to conclude that our pure knowledge can transform the physical results that are determined objectively by the real physical conditions. Beside of that, our theoretical or practical capacity to discover any law of Nature does not influence the objective reality of this law. The very long history of discoveries in all domains shows the objectivity of natural laws independently of our circumstantial (theoretical, approximate, experimental or technical) capacity to discover them. The use of progressively increasing energetic levels of particles (i.e. increasing frequencies or decreasing wavelengths), for instance, has permitted the realization of important progress in the understanding of our physical universe through the ages as well as the understanding of matter (nucleons, quarks, hadrons, leptons) structure and also the refinement of our knowledge on the quantization of both energy levels inside atoms and angular (as well as intrinsic) atomic and nuclear momentum.

The Schrödinger function and quantum Statistics have also permitted a jump in our comprehension of the universe by giving effective methods for discovering and interpreting all results that are obtained from experimentation and led to powerful approximations for natural phenomena rules.

However, these phenomena contain essentially a part of uncertainties due to the multitude of energetic and dynamic evolutive factors which govern all aspects of matter-energy : energy levels, trajectories, interactions, transformations...

Although these phenomena are far from being regular (differentiable), they are continuous. An electron, for instance, that changes its orbit (which is permanently evolving) for a higher energy level (when absorbing a photon) or for a lower energy level (together with photon emission), spends an infinitesimal time fraction before achieving its final state. During this transition,

continuity of trajectory and energy conservation are both insured since we have

$$E_0 \equiv E_e(t) \pm k(t)E_p \equiv E_e \pm E_p$$

where E_0 is the initial electron energy, E_e its final energy, $E_p = hf$ is the photon energy and $k(t)$ is a continuous function that increases from 0 to 1. Indeed, since photon is fundamentally a quantum object with a fixed wavelength, its existence is essentially related to time and distance. Its formation (and its absorption) takes an infinitesimal fraction of time and needs an infinitesimal extent of distance; moreover it can not exist in a static state (i.e. independently of motion). Then, formation and existence of photon need time, distance, motion and speed notions. Its absorption and emission are necessarily related to time and energy change notions.

In the following, we will give some arguments aiming to show that the uncertainty principle, that can be written as $\Delta x \Delta p_x \geq \frac{\hbar}{2}$ and $\Delta E \Delta t \geq \frac{\hbar}{2}$, can not be of a canonical and universal nature. It is only a legitimate consequence of the use of the Schrödinger's equations

$$\psi(x) = \frac{1}{\sqrt{2\pi}} \int_{-\infty}^{+\infty} g(k) e^{-ikx} dk$$

and

$$g(k) = \frac{1}{\sqrt{2\pi}} \int_{-\infty}^{+\infty} \psi(x) e^{ikx} dx$$

in order to find out the probability of localizing a given particle, under some constraints, in a given position and determining its momentum. The uncertainty principle is stated after using the probability distributions

$$\frac{dP}{dx} = |\psi(x)|^2 \quad \text{and} \quad \frac{dP}{dk} = |g(k)|^2$$

and their standard deviations σ_x and σ_k as well as the De Broglie relation $p = \frac{h}{\lambda}$. Therefore, this principle states simply that this particular approach and the use of this particular method hold within themselves the uncertainty so quantized.

Moreover, the very definition of σ_x and σ_k only means that there is a large probability for the position x to be within a distance less than σ_x to the mean value $\langle x \rangle$ and for the component p_x of the momentum p to be within an interval less than σ_k about the mean value $\langle p_x \rangle$. However, it is obvious that there is lesser probability of finding x within a distance lesser than σ_x to $\langle x \rangle$ and a non negligible probability for x to be at a distance larger than

σ_x to $\langle x \rangle$.

Similarly, we can assert the same properties for p_x and σ_k . So, σ_x and σ_k only determine a probabilistic estimation and they can not institute a sharp limiting for the uncertainty of both position and momentum and of their product.

The same reasoning can be produced when commenting on the Heisenberg relation $\Delta A \Delta B \geq \frac{1}{2} |\langle M \rangle|$ for any two observables A and B where M is defined by $\widehat{M} = -i[\widehat{A}, \widehat{B}]$ ([3], 11.021) and particularly for x , p_x and $-i[\widehat{x}, \widehat{p}_x] = \hbar$.

Nevertheless, this does not mean that the position x of the particle or its momentum p_x , at a given time, can not be well defined or can not be determined with more precision when more physical information are specified by more efficient theoretical or experimental processes.

Scaling problem

More generally, the problem of determining the position, the trajectory and other characteristics (such as momentum and energy, for instance) of subatomic particles, which move with very large speed, was one basic problem in the heart of the foundation of quantum theory.

Indeed, in spite of our fantastic technical progress, we are, until now, incapable of visualizing or perceiving these minuscule particles and their movement and even of distinguishing between them. The time and distance scales that suit our perception actually are infinitely large regarding their infinitely small world. Our centimeters and grams and our seconds are really gigantic and inappropriate for analyzing this microworld (or rather this nano or femto-world).

In spite of using the most sophisticated means, the electron motion around the nucleus appears for us as a foggy scene because of the infinitely small size of the electron orbit and the infinitely large speed of the electron. Not only we are incapable of determining its trajectory, but we are still at the stage of contenting ourselves with determining the probability of finding it at such and such region of the minute space around the nucleus.

As for quarks, the ultrasophisticated means and the ultraclever methods are necessary in order to get some scanty information concerning their existence and their characteristics which are ultra-fluctuating and even ultra-ephemeral. However, all that does not prevent us from conceding that the electron, for example, has, at every fixed time, a precise position and that

it has a well defined speed and trajectory during an infinitesimal fraction of nanosecond in spite of all evolutions it may undergo.

In order to convince ourselves that this nanoworld respects mechanical and physical laws during infinitesimal time interval, we can imagine that a mini-creature (or a nanocreature) that is as intelligent as us but infinitely more sensitive than us regarding the infinitesimal distances and time-intervals making them (when living inside the nanoworld of atoms) capable of discerning (without using sophisticated technical means that would alter physical characteristics) between infinitesimal particles and noting the fractions of nanodistances between them as well as the fractions of nanoseconds separating two minute events and finally of perceiving the tiny transformations and fluctuations that occur within infinitesimal space and time. Moreover, we have to imagine that these intelligent creatures possess the means and the good will of communicating us their observations along infinitesimal time - intervals after registering and schematizing them and above all after enlarging and rescaling them in order to make us capable of reading the slightest details concerning positions at very precise time and trajectories (during infinitesimal time intervals) of the nanoparticles of this nanoworld. This has to be done in such a manner that, for instance, the foggy scene of the electron motion transforms for us into interlacing lines. All that we need is to enlarge the distances and to slow down the motions.

In other respects, we can say, for instance, that the ground state energy of the hydrogen atom in the Bohr model is determined by the finiteness of the electron energy and has nothing to do with the uncertainty principle. Indeed, when an electron moves from an energy level corresponding to a V_1 potential energy to another level corresponding to a V_0 potential energy then it releases a photon γ with $E(\gamma)$ energy. If $m_i(t)$ and $v_i(t)$ denote respectively the electron mass and speed that correspond to the V_i levels, for $i = 0, 1$, then we must have

$$m_1(t)c^2 + \frac{1}{2}m_1(t)v_1^2(t) + V_1 - E(\gamma) = m_0(t)c^2 + \frac{1}{2}m_0(t)v_0^2(t) + V_0,$$

which yields

$$\Delta V = V_1 - V_0 = m_0(t)c^2 + \frac{1}{2}m_0(t)v_0^2(t) - m_1(t)c^2 - \frac{1}{2}m_1(t)v_1^2(t) + E(\gamma).$$

This shows that ΔV and consequently V_0 are finite.

Likewise, we can state that, when we use our proper expression for the kinetic

energy E_k of the Bohr atom electron (for instance), the kinetic energy can not exceed the absolute value of the potential energy because then we would have

$$\frac{ke^2}{r} \leq \gamma(t)m_0\left(1 + \frac{v^2}{2}\right) < \gamma(t)m_0\left(1 + \frac{c^2}{2}\right)$$

which is impossible for sufficiently small r .

Therefore, there exists a finite minimal potential energy corresponding to a finite minimal energy level for the electron inside the hydrogen atom. This level is, as experiments show, $V_0 \simeq -13,6$ ev.

Besides, we notice that the inverse process to the above one takes place after an electromagnetic or a thermal energy absorption which leads the atom to an excited state and can even lead the electron to a pure "separation" from its original atom and even (occasionally) with a large kinetic energy. In that case we have (using obvious notations)

$$m_0(t)c^2 + \frac{1}{2}m_0(t)v_0^2(t) + \Delta E + V_0 = m_e c^2 + \frac{1}{2}m_e v^2.$$

We mention that, for a non uniform movement, the mass $m_0(t)$ is variable because of the radiation phenomenon that comes with such a movement.

Theoretical and experimental measurements of the hydrogen atom ground state energy show that this energy is characterized by the planck constant \bar{h} and the Bohr radius

$$r = a_0 = \frac{4\pi\epsilon_0\bar{h}^2}{me^2}$$

where m is the electron mass corresponding to this energy level. The ground state energy actually is determined by the minimal value

$$E_m = \left(\frac{1}{2}mv^2 - \frac{e^2}{4\pi\epsilon_0 r}\right)_m = \left(\frac{\bar{h}^2}{2\pi r^2} - \frac{e^2}{4\pi\epsilon_0 r}\right)_m.$$

8.3 Classical versus quantum Mechanics

It is well known that classical Mechanics and Physics are based on some principles and laws that derive from a theoretical formulation essentially obtained from idealizing real physical systems and phenomena. This does not mean that observation and experiments are less important than theoretical formulations of classical Physics since these formulations stem from those observations and then are adopted and improved after many confrontations, inspections and verifications. Quantum Mechanics consists of several predictive rules that derive from a huge number of experiments and ends up by founding the powerful probabilistic quantum Statistics. Some rules and

results become postulates, principles or laws because none has observed exceptions that contradict them.

For our part, we maintain that the wave quantum theory structure, which leans upon Schrödinger equation, is established essentially with the (declared or undeclared) aim to be unified with the Lagrangian and Hamiltonian Mechanics by the intermediate of the Hamilton-Jacobi equation :

$$\mathcal{H}\left(q_j, \frac{\partial S}{\partial q_j}, t\right) + \frac{\partial S}{\partial t} = 0$$

where S is the Hamilton's principal function. This equation reduces, in the well known particular case, where the Hamiltonian is written as

$$\mathcal{H} = \frac{1}{2m}p^2 + V(r, t), \quad \text{with } p = \nabla S \quad \text{and} \quad \mathcal{H} = -\frac{\partial S}{\partial t},$$

to

$$\frac{1}{2m}|\nabla S|^2 + V(r, t) + \frac{\partial S}{\partial t} = 0$$

that is

$$\mathcal{H} = \frac{1}{2m}|\nabla S|^2 + V(r, t).$$

Thus, the wave quantum theory is based, on one hand, upon the notion of Schrödinger's wave functions (having the general form of $\Psi(r, t) = A_0(r, t) \exp(i\sigma(r, t))$), stationary waves, plane, quasiplane and packet waves and, on the other hand, upon the following eikonal equation (which is obtained when putting $S = \bar{h}\sigma$) :

$$\frac{\bar{h}^2}{2m}|\nabla\sigma|^2 + V(r, t) + \bar{h}\frac{\partial\sigma}{\partial t} = 0$$

and finally upon the Schrödinger's equation :

$$-\frac{\bar{h}^2}{2m}\nabla^2\Psi + V(r, t)\Psi = i\bar{h}\frac{\partial\Psi}{\partial t}.$$

This latter equation is written, for a time-independent potential V and for $\Psi(r, t) = \psi(r) \exp(-i\omega t)$, as the classical time-independent Schrödinger's equation

$$-\frac{\bar{h}^2}{2m}\nabla^2\psi + V\psi = \bar{h}\omega\psi = E\psi.$$

Then starts the mechanism that relates wave quantum Mechanics to

Hermitian operators (associated with Observables) and to expectation values by means of relations such as

$$\hat{p} = -i\hbar\nabla \quad , \quad \hat{\mathcal{H}}(\hat{q}_j, \hat{p}_j, t) \Psi = i\hbar \frac{\partial \Psi}{\partial t},$$

$$\hat{\mathcal{H}}(\hat{q}_j, \hat{p}_j) \psi = E\psi \quad \text{for} \quad \mathcal{H} = E = \hbar\omega$$

and (as a particular case)

$$\hat{\mathcal{H}} = -\frac{\hbar^2}{2m}\nabla^2 + V(r, t),$$

as well as the relations

$$\langle r \rangle = \int \psi^* \hat{r} \psi \, d\tau$$

and

$$\langle p \rangle = \int \psi^* \hat{p} \psi \, d\tau.$$

Moreover, when ψ is represented with the Hamiltonian eigenfunctions (i.e. $\hat{\mathcal{H}}\psi_n = E_n\psi_n$ for $\psi = \sum \alpha_n\psi_n$), we get

$$\langle \mathcal{H} \rangle = \langle E \rangle = \sum |\alpha_n|^2 E_n.$$

All this is accompanied by the uncertainty principle and extended by the Heisenberg matrix quantum theory.

It is very convenient to write down here the following quotation of [3] that illuminates the preceding with a specific example :

"Attention is now directed to wave Mechanics and the immediate objective is to derive the fundamentals of this branch of quantum theory in a way that takes inspiration from one of Schrödinger's lines of thought. As a specific example, from which broader conclusions may be readily deduced, consider an electron moving in a prescribed field characterized by a scalar potential $\varphi(r, t)$ and at most a negligible vector potential $A(r, t)$. The wave which, according to experimental evidence, is in some way associated with this electron is called the wave function and is denoted $\Psi(r, t)$. The program of derivation begin by assuming properties for the Ψ -wave such that, in a classical situation, a packet of these waves moves according to the laws of Newtonian mechanics and thereby "explains" the motion of the electron. This is the spirit of the correspondence principle since it expects as a first requirement that the new Mechanics should predict, in a classical context, behavior appropriate to that context. The hypotheses involved in this program are by no means gratuitous but are suggested by Hamilton-Jacobi theory and by

De Broglie's results. Once the fundamental properties of the Ψ -wave have been determined in this way, it is an easy matter to derive the linear wave equation which Ψ must obey. This equation stands at the apex of wave mechanics; from it an enormous number of deductions, some within the domain of classical Mechanics but most going far beyond that domain, can be made. It is of course, in the agreement between such deductions and the results of experimentation that the ultimate justification of the theory lies".

The successful reconciliation between both theories has gone beyond the status of a justification process and has led to a hurried and non justified conclusion asserting that there exists, in fact, a unique Mechanics which is "naturally" the quantum Mechanics having two branches that are the wave and the matrix quantum Mechanics; the latter, initiated by Heisenberg, is considered as more general than the former. Moreover it is declared that classical Mechanics is a particular case of the quantum one and it has to be limited to macroscopic situations. For our part, we think that there is actually a unique theoretical Mechanics based upon well approved mechanical and physical laws, even though there are other ones to be discovered, checked and improved. Many fundamental laws have been established by Newton, Lagrange, Hamilton, Maxwell and his predecessors, Einstein, Planck and Bohr beside of a large number of physicists and mathematicians such as Gauss, Euler, Riemann, Fourier, Laplace, Hilbert, Schrödinger and many others. We have to admit that this Mechanics is not presently completely adapted for studying infinitesimal phenomena and therefore it must be superseded by quantum Mechanics as an efficient means for studying microscopic phenomena such as the dynamic behavior, the energy and the structure of particles. These phenomena are presently beyond the reach of our measurement means and tools and of our analyzing capacity. Until further decisive technological and theoretical progress, the analysis of these phenomena needs the predictive and probabilistic methods of the quantum Statistics guided by the quantum theory of Schrödinger, Heisenberg, Born, Fermi, Dirac, Pauli and many others. This theory was in fact inaugurated by Einstein, Planck and Bohr who have definitely proved the quantum nature of waves and energy levels beside of the quantization of electrical charges. The efficiency of these methods are fortunately increased by numerical methods progress and the presently huge capacity of empirical data treatment. However, we can state that, although some natural phenomena are quantized, there are a lot of others that are not. Electrical charges and energy levels inside the atom, for instance, are quantized. Electromagnetic waves are constituted with integer numbers of photons but wavelengths, speed, masses and energies, for instance, are continuous variables evolving (themselves)

continuously with the variable that essentially gives the continuity meaning : the time.

Remark 2. In the previous sections, we have established that the material and immaterial point energy is given by $E(t) = h(t)f(t)$ where $h(t)$ and $f(t)$ depend on time and $E(t)$ depends also on time by the intermediate of the temperature and environment. Frequency, wavelength and energy are then continuous mathematical objects.

Schrödinger probability density and classical probability

The general Schrödinger equation, where $\Psi(r, t) = A_0(r, t) \exp i\sigma(r, t)$, implies the following equation

$$\nabla \cdot \left(A_0^2 \bar{h} \frac{\nabla \sigma}{m} \right) + \frac{\partial A_0^2}{\partial t} = 0.$$

Comparison of this equation with the continuity equation of a substance of density ρ having a current density $\mathbf{J} = \rho \mathbf{v}$ has led Born to identify $\Psi^* \Psi$ to an imaginary substance density ρ . Then, he interpreted $\Psi^* \Psi$ as being the probability of localizing the particle having Ψ as its wave function. Namely, the probability of finding the particle at time t in a given volume element $d\tau$ at position \mathbf{r} is

$$dP(\mathbf{r}, t) = \Psi^* \Psi(\mathbf{r}, t) d\tau.$$

Since $\Psi^* \Psi$ is interpreted as a probability density, it must obey the normalization condition

$$\int_{\mathbb{R}^3} \Psi^* \Psi d\tau = 1.$$

However, this fundamental notion joined to another fundamental one in Quantum theory which is the quantum measuring apparatus leads to a paradox which is clearly explained in the following quotation of [3] :

”Such an apparatus does not detect that a particular system is in a certain final state, rather it places the system in its final state and does so with a probability that depends upon the degree to which the final state was involved in the composition of the initial state !

The basic paradox of quantum Mechanics exhibits itself here with unusual clarity ; a distribution of measurements results is generated obeying a known calculus of probabilities without any apparent internal mechanism to explain how such a distribution comes into being. Many physicists accept this at face value, reasoning that the ultimate theory of the universe will probably contain elements which are incomprehensible in terms abstracted from macroscopic

experience; hence, if Quantum theory is the ultimate theory, it is not surprising that a paradox of the type just described should be incorporated in its makeup. Others, not satisfied with such a state of affairs, incline toward hidden variable theories. On this view point, the pre-measurement systems of such apparatus, although quantum mechanically indistinguishable, are actually distinguishable in some yet more fundamental ways”.

Remark 3. In the next section, we will give a general classification of fundamental particles. Using Dirac operator, we show that there are originally two types of electrons that have two opposite "spins". This classification gives a coherent explanation of the Stern-Gerlach experiment results which conversely give an argument that sustains it.

Apart from this paradox and this discussion, let us consider, as an example, the classical case of a particle in a box. If ψ_n denotes, for large n , the stationary solution of the Schrödinger equation, then the probability distribution $\frac{dP}{dx} = |\psi_n(x)|^2$ can be compared to the classical probability which is in that case equal to $\frac{1}{L}$. The reconciliation between these two notions increases with increasing n (c.f. [2]) and ends up by a sort of justification of the Bohr correspondence principle. Nevertheless, stationary solutions are generally considered as being highly improbable and essentially ephemeral and the utmost probable solutions are constituted with finite or infinite linear combination of such solutions. For our part, we think that only the limit cases (i.e. infinite linear combination of stationary solutions) reveal the real physical probability of finding the particle at a given position and this probability is the classical one.

Likewise, we consider that, for the harmonic oscillator, only the limit cases (taking parity into account) have genuine real value and they clearly give good approximate results as (using here and below the notations of [3]) :

$$\langle x \rangle = 0 \quad , \quad \langle F \rangle = 0 \quad \text{and} \quad \langle E \rangle = \frac{1}{2} K A_0^2.$$

These results are naturally obtained, within idealized conditions, from the well established laws of classical Mechanics and Physics.

Wave packet and Born statistical interpretation

It is generally admitted that a wave mechanical packet represents the center of mass of a system of particles rather than a single particle since, in that case, there may be no particle present at the site of the packet. This point of view which excludes the identification of a packet wave with a par-

ticle is called the Born statistical interpretation. However, when we attribute to a wave packet a definite centroid to which we associate the expectation values $\langle r \rangle$ for the position and $\langle p \rangle$ for the average momentum of all individual momenta of the packet wave components, we obtain, according to Ehrenfest's theorem that $\langle p \rangle$ is equal to the particle mass times the velocity of the centroid, and both $\langle r \rangle$ and $\langle p \rangle$ obey the laws of classical Mechanics. Contrary to the discussion about centroid of probability, hidden variables, multiple worlds or the real existence of particle entities, we maintain that what precedes gives only a new justification to the legitimacy of using wave Quantum approach when studying dynamical phenomena where classical Mechanics formulations are unreachable. For us Ehrenfest's theorem states that statistical wave Quantum approach is, as well as the idealizing classical Physics one, just an approximate description of the real physical phenomenon.

Relationship between wave functions and trajectories

It is clear that a wave function $\Psi(r, t) = A(r, t)e^{i\sigma(r, t)}$ associated with a particle (such as an electron moving around a nucleus) that satisfies a Schrödinger's equation is specified by its eikonal function σ and its normalized amplitude A . The eikonal σ which satisfies the eikonal equation determines the Hamilton's principal function S which (theoretically) determines the exact trajectory of (the center of mass of) the particle $(q_j(t))_j$. The particle trajectory can not be clearly perceived or specified with our present means. All we can perceive is its gross location at some fraction of time without discerning the particular line that is described by it because of the too many loops that are carried out by (the center of mass of) the particle during any fraction of time. So the role of the amplitude of the wave function Ψ is to indicate the probability of finding the particle in a given region within the clouded region formed by the very swift particle into movement. Therefore S is associated with the classical Newton-Lagrange-Hamilton Mechanics whereas Ψ is associated with the quantum wave Mechanics and σ is the connection between them.

Now, when we are dealing with two particles into movement, for instance, there are two wave functions Ψ_1 and Ψ_2 , two Hamilton's principal functions S_1 and S_2 and possibly a wave function Ψ associated with the system formed with both particles and the Hamilton's principal function S associated with the center of mass of the system. If the two particles are distinguishable there are two trajectories and two probabilities and as usual the probability of finding each of them inside two pre-indicated regions is the product of the

two probabilities. If the two particles are indistinguishable bosons, then Ψ is symmetrical and the two trajectories can be arbitrarily close to each other and they form a dense cloud which is more dense than the cloud formed by two indistinguishable fermions in virtue of the Pauli exclusion principle. This fact may explain the smaller probability of finding the (indifferently located) two fermions in a given region than that of finding two (indifferently located) bosons in a comparable region. Each of these probabilities is obtained by adding the amplitudes before squaring the resulting amplitude. It is normal that the new probabilities are related to the trajectory of each pair of particles as well as to the properties of each of them.

Finally, we can state that there is no antagonism between the results of quantum and classical Mechanics. The former deals only with microscopic physical situations (that roughly involve moderately small "wavelengths") where classical Physics is presently not efficient enough. Both quantum and classical Mechanics are applicable in macroscopic physical situations, roughly characterized by very small "wavelengths". In that case, if classical Physics which involves the Newtonian, Lagrangian and Hamiltonian confirmed idealizing laws is not easy to use, we can use quantum Mechanics which involves the wave packet approximate notion (with the imprecise De Broglie wavelength notion and the quantum Statistic approach).

Let us consider, for instance, the case of two rectangular barriers, one with relatively abrupt inclines and the other with a relatively gradual inclines for the potential levels (c.f. [3], p.170). The incident microscopic particle (or the packet wave) has a relatively large wavelength for the former barrier and a relatively small one for the second barrier. Classical Mechanics and quantum Mechanics both give a very little probability for the occurrence of tunneling phenomenon for the second barrier. For the first barrier type (if a sharp incline could really exist), classical Mechanics gives a null probability for both macroscopic and microscopic particles. When such a tunneling does exist, we can explain it, and other similar phenomena, by noticing that kinetic and mass energies transform easier into potential energy for abrupt potential energy inclines than for gradual ones, provided high energies are involved. This also means that such transformations are easier in smaller fraction of time. This proves, by the way, that if we have better knowledge of the particle physical situations, we can refine our probabilistic expectations. The uncertainty principle corresponds to the case where minimal physical conditions are known about particles and systems.

Conversely, determinism in Mechanics is achieved when all physical condi-

tions are exactly known and practically realized. Initial conditions then imply, as Laplace asserted, a unique solution that extends wherever and whenever all conditions are known and satisfied. If, for example, we consider a ball that is in an actual stable equilibrium on a punctual vertex of a cone, then it must (in ideal conditions) stay indefinitely in that state. The solution is unique. If it is not really in a stable equilibrium (as it is probably the case), then it rolls downward along a cone ray in a given direction. In the idealized former case, only a given (yet infinitesimal) applied force can make it roll down in a given direction. This force can be determined, a posteriori, according to Newton's laws. Then, we can not state in any case that a well determined initial conditions for a physical system can result, unexpectedly, on several solutions. The real problems is the possibility of defining entirely and exactly the initial conditions in order to predict the solution yet in an ideal surrounding situation.

Conclusion

We can now summarize the preceding study by stating that :

- A particle is never reduced to a single point.
- Any particle has at any time t a centroid.
- Even for a pointlike particle the centroid can not have a definite geometrical position inside the particle during any small time interval since a particle is permanently evolving due to internal and external interactions and energy transformations.
- If we use the Hamilton-Jacobi equation and a specific Schrödinger function Ψ that determines an eikonal function σ which is proportional to a Hamilton's principal function S , we can determine σ as the solution of the equation

$$\frac{\hbar^2}{2m} |\nabla\sigma|^2 + V(r, t) + \hbar \frac{\partial\sigma}{\partial t} = 0.$$

S can then be theoretically determined. Therefore, if we assume that the particle centroid is fixed relatively to the particle and if the initial conditions are well defined as well as all surrounded conditions, then S can be used to exactly determine the trajectory $q = (q_j)_j$ and the momentum $p = (p_j)_j$.

- Since such specifications are quasi impossible, we have to content ourselves with using the probability density

$$dP = \Psi^* \Psi d\tau$$

and then our knowledge of both position and momentum are limited by the uncertainty principle.

- Nevertheless, if we could have some specific information about the particle and some surrounding physical conditions, we can hope to set down some constraints on the centroid and the momentum. Then, when we take a given point as approximate centroid, we can determine a fictitious trajectory for this point and deduce, using some estimates, that the trajectory of the real centroid is within a space tube about the fictitious trajectory during a reasonable time interval. If this theoretically possible situation is realized in practice, then (using in a similar way some estimates for the momentum) we can obtain a smaller uncertainty than the limit given by the uncertainty principle.
- Finally, when we use a wave packet for a particle (in macroscopic cases or in the short wave limit and the Bohr's correspondence principle case), we may have approximate values $\langle r \rangle$ for the position and $\langle p \rangle$ for the momentum of the particle but then, it is possible to use the idealizing classical Physics for getting better approximate values.

8.4 Remarks on the quantum Statistics foundation

The aim of this section is to show that only physical characteristics of an interference problem (particle types, momenta, distances, symmetries) determine the general quantum Statistics schemes.

The two slits problem scheme

Assume that a large number n of identical particles having a given momentum p are directed perpendicularly toward two parallel slits S_1 and S_2 extremely close to each other and having both the same infinitely small width. We further assume that we get, on a screen located behind the slits, only two possible outcomes E_1 and E_2 having respectively n_1 and n_2 events such as $n = n_1 + n_2$. Finally, we assume that, between the n_1 particles reaching E_1 , r_1 particles originate from the slit S_1 and s_1 particles originate from the slit S_2 and that between the n_2 particles reaching E_2 , r_2 particles originate from S_1 and s_2 particles originate from S_2 .

We then have

$$n_1 = r_1 + s_1 \quad \text{and} \quad n_2 = r_2 + s_2.$$

Let A_1 and A_2 be two complex numbers such as

$$|A_1|^2 = \frac{n_1}{n_1 + n_2} \quad \text{and} \quad |A_2|^2 = \frac{n_2}{n_1 + n_2}$$

and $\alpha \in [0, 2\pi]$ such that

$$|A_1| = \cos \alpha = \sqrt{\frac{n_1}{n_1 + n_2}} = \sqrt{\frac{n_1}{n}}$$

and

$$|A_2| = \sin \alpha = \sqrt{\frac{n_2}{n_1 + n_2}} = \sqrt{\frac{n_2}{n}}.$$

We then have

$$A_1 = |A_1|e^{i\theta_1} = \cos \alpha e^{i\theta_1}$$

and

$$A_2 = |A_2|e^{i\theta_2} = \sin \alpha e^{i\theta_2}.$$

The probability that an E_1 event (resp. E_2 event) originates from S_1 is

$$|B_1|^2 = \frac{r_1}{r_1 + r_2} \quad (\text{resp. } |B_2|^2 = \frac{r_2}{r_1 + r_2})$$

and the probability that an E_1 event (resp. E_2 event) originates from S_2 is

$$|C_1|^2 = \frac{s_1}{s_1 + s_2} \quad (\text{resp. } |C_2|^2 = \frac{s_2}{s_1 + s_2})$$

for $B_1, B_2, C_1, C_2 \in \mathbb{C}$.

We then have

$$\begin{aligned} |B_1| &= \sqrt{\frac{r_1}{r_1 + r_2}} = \cos \beta & |B_2| &= \sqrt{\frac{r_2}{r_1 + r_2}} = \sin \beta \\ |C_1| &= \sqrt{\frac{s_1}{s_1 + s_2}} = \cos \gamma & |C_2| &= \sqrt{\frac{s_2}{s_1 + s_2}} = \sin \gamma \end{aligned}$$

and

$$\begin{aligned} B_1 &= |B_1|e^{i\beta_1} = \cos \beta e^{i\beta_1} & B_2 &= |B_2|e^{i\beta_2} = \sin \beta e^{i\beta_2} \\ C_1 &= |C_1|e^{i\gamma_1} = \cos \gamma e^{i\gamma_1} & C_2 &= |C_2|e^{i\gamma_2} = \sin \gamma e^{i\gamma_2}. \end{aligned}$$

Under these conditions, the relations

$$\begin{cases} |A_1|^2 = |B_1 + C_1|^2 \\ |A_2|^2 = |B_2 + C_2|^2 \end{cases}$$

are equivalent to the system

$$\begin{cases} \cos^2 \alpha = \cos^2 \beta + \cos^2 \gamma + 2 \cos \beta \cos \gamma \cos(\beta_1 - \gamma_1) \\ \sin^2 \alpha = \sin^2 \beta + \sin^2 \gamma + 2 \sin \beta \sin \gamma \cos(\beta_2 - \gamma_2) \end{cases}$$

or also to the system

$$\begin{cases} \frac{n_1}{n} = \frac{r_1}{r_1 + r_2} + \frac{s_1}{s_1 + s_2} + 2\sqrt{\frac{r_1 s_1}{(r_1 + r_2)(s_1 + s_2)}} \cos(\beta_1 - \gamma_1) \\ \frac{n_2}{n} = \frac{r_2}{r_1 + r_2} + \frac{s_2}{s_1 + s_2} + 2\sqrt{\frac{r_2 s_2}{(r_1 + r_2)(s_1 + s_2)}} \cos(\beta_2 - \gamma_2). \end{cases}$$

When we exchange S_1 and S_2 , the roles of n_1 and n_2 , r_1 and s_2 , r_2 and s_1 , s_1 and r_2 and s_2 and r_1 are exchanged and we obtain the same equations system.

If we assume a perfect symmetry of the physical system, we can state that

$$r_1 + r_2 = s_1 + s_2 = \frac{n}{2} =: m$$

and the above system is reduced to

$$\begin{cases} \frac{n_1}{2m} = \frac{r_1}{m} + \frac{s_1}{m} + \frac{2}{m} \sqrt{r_1 s_1} \cos(\beta_1 - \gamma_1) \\ \frac{n_2}{2m} = \frac{r_2}{m} + \frac{s_2}{m} + \frac{2}{m} \sqrt{r_2 s_2} \cos(\beta_2 - \gamma_2) \end{cases}$$

and, putting $a = \cos(\beta_1 - \gamma_1)$ and $b = \cos(\beta_2 - \gamma_2)$, to

$$\begin{cases} \frac{n_1}{2} = r_1 + s_1 + 2a\sqrt{r_1 s_1} \\ \frac{n_2}{2} = r_2 + s_2 + 2b\sqrt{r_2 s_2}. \end{cases}$$

Adding these two equations, we get

$$2a\sqrt{r_1 s_1} + 2b\sqrt{r_2 s_2} = -m$$

or

$$2b\sqrt{(m - r_1)(m - s_1)} = -2a\sqrt{r_1 s_1} - m,$$

which gives

$$4b^2(m - r_1)(m - s_1) = 4a^2 r_1 s_1 + m^2 + 4a\sqrt{r_1 s_1} m$$

that is

$$(4b^2 - 1)m^2 - 4[(r_1 + s_1)b^2 + a\sqrt{r_1 s_1}]m + 4(b^2 - a^2)r_1 s_1 = 0.$$

As m is assumed to be an arbitrary large number, we obtain

$$\begin{cases} 4b^2 - 1 = 0 \\ b^2(r_1 + s_1) + a\sqrt{r_1s_1} = 0 \\ b^2 = a^2 \end{cases}$$

and then

$$\begin{cases} b = \pm\frac{1}{2} \\ a = \pm b \\ b^2(r_1 + s_1) + a\sqrt{r_1s_1} = 0. \end{cases}$$

These relations imply successively

$$\begin{aligned} a &= -\frac{r_1 + s_1}{\sqrt{r_1s_1}}b^2 = -\frac{r_1 + s_1}{\sqrt{r_1s_1}}a^2, \\ 1 &= -\frac{r_1 + s_1}{\sqrt{r_1s_1}}a, \\ a &= -\frac{1}{2} \quad \text{and} \quad \frac{r_1 + s_1}{\sqrt{r_1s_1}} = 2 \end{aligned}$$

and finally $r_1 = s_1$ which implies

$$r_1 = s_1 = r_2 = s_2 = \frac{m}{2} \quad n_1 = n_2 = m.$$

Reciprocally, $n_1 = n_2 = m$, with $r_1 + r_2 = s_1 + s_2 = m$ and $r_1 + s_1 = r_2 + s_2 = m$, is the only solution to the considered system, which is perfectly legitimate as we have considered a perfect symmetrical system.

We notice that, the solution of this problem can not be given by

$$\begin{cases} |A_1|^2 = |B_1|^2 + |C_1|^2 \\ |A_2|^2 = |B_2|^2 + |C_2|^2 \end{cases}$$

or equivalently by

$$\begin{cases} \cos^2 \alpha = \cos^2 \beta + \cos^2 \gamma \\ \sin^2 \alpha = \sin^2 \beta + \sin^2 \gamma \end{cases}$$

since this latter leads to

$$1 = 1 + 1.$$

We can sum up the preceding by noting that the above physical problem reduces to the determination of 8 unknowns :

$$|A_1|^2, |A_2|^2, |B_1|^2, |B_2|^2, |C_1|^2, |C_2|^2, \operatorname{Re}(B_1\overline{C_1}) \text{ and } \operatorname{Re}(B_2\overline{C_2})$$

knowing 8 equations :

$$\begin{aligned} |A_1|^2 + |A_2|^2 &= |B_1|^2 + |B_2|^2 = |C_1|^2 + |C_2|^2 = 1, \\ |A_1|^2 &= |B_1 + C_1|^2, \quad |A_2|^2 = |B_2 + C_2|^2, \quad |B_1 + C_1|^2 + |B_2 + C_2|^2 = 1, \\ r_1 + s_1 &= n_1 \quad \text{and} \quad r_2 + s_2 = n_2. \end{aligned}$$

Obviously the previous 8 variables and 8 equations are not independent, the first three and the last two equations reduce the problem to the determination of 4 unknowns ($n_1, r_1, Re(B_1\bar{C}_1)$ and $Re(B_2\bar{C}_2)$, for example). The remaining three equations and the assumed symmetry of the system determine these four unknowns.

We assume now that there are, as previously, two slits S_1 and S_2 and that only three possible outcomes E_1, E_2 and E_3 . By processing as before, we notice that 12 variables are associated to this problem, which are (using obvious notations) the following :

$$\begin{aligned} |A_1|^2, |A_2|^2, |A_3|^2, |B_1|^2, |B_2|^2, |B_3|^2, |C_1|^2, |C_2|^2, |C_3|^2, \\ Re(B_1\bar{C}_1), Re(B_2\bar{C}_2) \text{ and } Re(B_3\bar{C}_3). \end{aligned}$$

The equations relating them are only 10 :

- $|A_1|^2 + |A_2|^2 + |A_3|^2 = |B_1|^2 + |B_2|^2 + |B_3|^2 = |C_1|^2 + |C_2|^2 + |C_3|^2 = 1$ (which can be written as $n_1 + n_2 + n_3 = n$, $r_1 + r_2 + r_3 = m$ and $s_1 + s_2 + s_3 = m$).
- $r_1 + s_1 = n_1$, $r_2 + s_2 = n_2$ and $r_3 + s_3 = n_3$.
- $|A_1|^2 = |B_1 + C_1|^2$, $|A_2|^2 = |B_2 + C_2|^2$, $|A_3|^2 = |B_3 + C_3|^2$ and $|B_1 + C_1|^2 + |B_2 + C_2|^2 + |B_3 + C_3|^2 = 1$.

The first three equations permit to reduce the number of variables to 9 by writing, for example :

$$n_3 = n - n_2 - n_1 \quad r_3 = m - r_2 - r_1 \quad s_3 = m - s_2 - s_1$$

and, assuming that S_1 and S_2 are symmetrical, we reduce the variables n_1, n_2, r_1, r_2, s_1 and s_2 by 3 and the variables $Re(B_i\bar{C}_i)$, $i = 1, 2, 3$, by one. Five variables are left with the four equations

$$\begin{aligned} r_1 + s_1 = n_1 \quad |B_1 + C_1|^2 &= |A_1|^2 \\ 2|B_1 + C_1|^2 + |B_3 + C_3|^2 &= 1 \quad |B_3 + C_3|^2 = |A_3|^2 \end{aligned}$$

which permit the resolution of the problem using the fact that m is arbitrary. Thus, pushing this reasoning to the very end, we can show that the basis of the Probability and Statistics associated with the above problem is determined by its physical characteristics :

The symmetry of the slits, their distances, their width and the momentum of the particles which is traduced on the screen by the intrinsic characteristic of the particle energy (or momentum) $\lambda = \frac{h}{p}$.

Quantum Statistics versus classical Statistics

Let us consider two particles P_1 and P_2 that can only occupy two independent physical states a_1 and a_2 .

Several questions can be formulated concerning the occupation distribution and the answer to these questions fundamentally depends on the physical characteristics of these particles.

1°) If the two particles are distinguishable and each of them can occupy with the same probability each of both states, we can assert that the probability that P_1 be in a_1 and P_2 be in a_2 is equal to the probability that P_1 be in a_2 and P_2 be in a_1 which is equal to the probability that P_1 and P_2 be both in a_1 or in a_2 . All these probabilities are then equal to $\frac{1}{2} \times \frac{1}{2} = \frac{1}{4}$.

2°) Under the same conditions as previously, we can assert that if we know that particle P_1 is in state a_1 , for example, then the probability that P_2 be in a_1 is equal to that of P_2 be in a_2 and both probabilities are equal to $\frac{1}{2}$.

3°) Always under the same conditions, we can also assert that the probability that both particles be in the same state a_1 (or a_2) is $\frac{1}{4}$ and the probability that P_1 be in a_1 and P_2 in a_2 (or P_1 be in a_2 and P_2 in a_1) is $\frac{1}{4}$. Finally we can assert that the probabilities that both particles be in the same state (a_1 or a_2) and that these two particles be in different states (a_1 and a_2 or a_2 and a_1) are both equal to $\frac{1}{2}$.

We now suppose that particles P_1 and P_2 are indistinguishable and that the question is :

What is the probability that both particles be in the same state (without specifying which of the two states)? The answer then depends on the physical nature of the particles.

4°) If both particles are bosons (i.e. of integer spin or also having symmetrical wave function), then experimentation shows that the probability that both particles be in the same state a_1 (or a_2) is twice the probability of being in two different states (P_1 in a_1 and P_2 in a_2 or P_1 in a_2 and P_2 in a_1). Thus the probability of each of the two first cases is $\frac{1}{3}$ and that of each of the two last cases is $\frac{1}{6}$. We can then state that, in accordance with Bose-Einstein Statistics, the probability that both particles be in the same state is $\frac{2}{3}$ and the probability of being in two different states is $\frac{1}{3}$.

5°) If both particles are fermions (i.e. of fractional spin or also having an

antisymmetrical wave function) then experimentation shows that (in accordance with the Pauli exclusion principle) the probability that both particles be in the same state is null and the probability that P_1 be in a_1 and P_2 in a_2 is the same as the probability that P_1 be in a_2 and P_2 in a_1 which is $\frac{1}{2}$. So, the probability that these two particles be in two different states is 1.

We consider now the triple experiment of collisions between particles ^4He and ^3He ([2],p.340) where we study the probability of the right angle scattering of these types of particles ; the first is a boson and the second is a fermion.

1°) For the $^4\text{He} - ^3\text{He}$ scattering, we have two distinguishable particles and we naturally ask for determining the probability that the particle ^4He be scattered upward and the particle ^3He be scattered downward and vice versa. These two probabilities are equal and then we can as well ask for determining the global probability P_{34} of the right angle scattering. This problem must be resolved with classical Statistics. If P_{34} is the probability of right angle scattering that is observed after a large number of scattering experiments, we can conclude that the number of events that the particle ^4He is scattered upward or downward is the same (this is due to the physical symmetry of the collision : An equal number of ^4He particles comes slightly above or slightly under the collision axis) and we have

$$P_{34} = a^2 + a^2.$$

If we associate the amplitude A to each of these probabilities and the amplitude B to the global probability of the right angle scattering, we obtain

$$P_{34} = |B|^2 = |A|^2 + |A|^2 = 2|A|^2.$$

In other respects, for identical (indistinguishable) particles, the natural question is :

What is the probability of a right angle scattering of these particles independently of knowing the origin (from the right or the left) of those that are scattered upward and those that are scattered downward ?

2°) When we consider the $^3\text{He} - ^3\text{He}$ collision, experiments show that the probability of a right angle scattering is null and if the amplitude A is associated with the probability of an hypothetical upward right angle scattering of ^3He particles coming from the right or from the left and the amplitude B with the global probability of a right angle scattering, we have

$$P_{33} = |B|^2 = |A - A|^2 = 0.$$

3°) Conversely, when we consider the ${}^4\text{He} - {}^4\text{He}$ collision, we can attribute the positive number a^2 to the probability of the upward right angle scattering for ${}^4\text{He}$ particles coming from the right (or from the left) and we can conclude that the global probability of a right angle scattering is

$$P_{44} = a^2 + a^2 + a^2 + a^2 = 4a^2.$$

If we associate the amplitude A to the probability of an upward right angle scattering of particles coming from the right (or from the left) and the amplitude B to the probability of the global right angle scattering, we obtain

$$P_{44} = |B|^2 = |A + A|^2 = 4|A|^2.$$

Consequently, the physical reality of the experiment has determined that the probability of a right angle scattering of the ${}^4\text{He}-{}^4\text{He}$ collision is twice the ${}^4\text{He}-{}^3\text{He}$ collision and this is independent of the fact of knowing or no the number of the particles that have followed any one of the possible trajectories. The fact of knowing such details can not obviously alter the answer to any question of the type :

What is the probability of a right angle scattering for two beams of particles having well defined physical characteristics (momentum, spin, charge, mass) ? Only these characteristics hold the answer.

Concerning the above collisions, we notice that the charges, the masses and the spin have made the difference. The Pauli exclusion principle prevents the two particles ${}^3\text{He}$ to get sufficiently closer to each other in order to cause a right angle scattering. The masses inequality of the two particles ${}^3\text{He}$ and ${}^4\text{He}$ disadvantage them to get sufficiently closer to each other as to cause such a scattering.

Interference Bragg condition

Let us consider the light diffraction experiment through a slit of width d ([2], p.5). The destructive interference is achieved for

$$n\lambda = d \sin \theta_n$$

where λ is the wavelength of the used light and θ_n is given by

$$\sin \theta_n = \frac{\Delta L}{d/2} = \frac{2\Delta L}{d} = n \frac{\lambda}{d}.$$

If we use the De Broglie relation $p = \frac{h}{\lambda}$, we can write it as

$$n \frac{h}{p} = d \sin \theta_n$$

or

$$|\vec{p} \cdot \vec{d}| = nh.$$

The destructive (or constructive) interference condition is then traduced by a momentum quantization condition on the light photon. The momentum p of the photon is inversely proportional to the real wavelength of the light ray. When we consider the Bragg scattering of X rays through a given crystal ([2], p.142), we recover the same condition for a constructive interference, that is

$$n\lambda = 2d \sin \theta$$

where λ is the wavelength of the used X ray, d is the distance between two adjacent layers of the crystal and θ is the angle that makes the ray with the plane of the crystal.

Again this condition can be written as

$$|\vec{p} \cdot \vec{d}| = n \frac{h}{2}$$

which is a sort of a quantization on the momentum $p = \frac{h}{\lambda}$ of the used photon.

We consider now the Davisson-Germer experiment. The obtained condition on the scattered electrons' maxima is exactly the same as the previous one, namely

$$n\lambda = 2d \sin \theta$$

where λ denotes here the De Broglie Wavelength attributed to the electron : $\lambda := \frac{h}{p}$.

We have already seen that this practical and useful notion is derived from the fundamental notion that characterizes the used electrons (as well as all other particles) namely the momentum p .

The constructive interference intrinsic condition, which is traduced here by the reflected electrons' maxima in some directions is in fact the quantization relation

$$|\vec{p} \cdot \vec{d}| = n \frac{h}{2}.$$

A similar interpretation can be furnished concerning the Thomson-Reid experiment. This phenomenon contributes to consider that electrons possess a wavy nature similar to electromagnetic waves. This is true in a certain sense but we do not have to deduce that the interference phenomenon here is identical to that of the electromagnetic waves and that every particle possesses a real wavelength identical to that of the electromagnetic wave. The only two fundamental common points between particles and waves (or more

exactly photons) is the momentum and its quantization which is associated with the experiment physical characteristics. Recall that material particles possess other characteristics (mass, charge, spin) that photon does not possess.

The interference problem during a scattering from crystal is related, beside of the physical nature of the electron, to the atomic structure of the crystal and to the layout of the energy bands within the crystal and to the Fermi gap of the material as it is shown by the fact of recovering the Bragg condition when analyzing the wave numbers

$$k = \pm \frac{2\pi}{\lambda} = \pm \frac{n\pi}{a}$$

where $a = n\frac{\lambda}{2}$ characterizes the gaps between the crystal energy bands ([2], p.373). This clearly shows that the electrons scattering (or their reflection similar to the electromagnetic wave reflection) is advantaged for some angles that are determined by a given momentum of the electrons, the energy bands of the crystal and the Fermi gap that characterizes the material taking into account that all three factors are readily quantized.

Finally, we notice one of the numerous contradictions to which leads the formula $\lambda = \frac{h}{p}$ when stated for material particles. Indeed, when we attribute to the electron inside the hydrogen atom (in accordance with the Bohr model) the wavelength λ that satisfies

$$\lambda \simeq 2\pi \langle r \rangle,$$

we get ([2],p.139)

$$\langle \frac{1}{r} \rangle \simeq \frac{2\pi}{\lambda} = \frac{p}{h}.$$

Thus, using the formula

$$E_k = \frac{1}{2}mv^2$$

we obtain

$$\begin{aligned} -\frac{1}{2} &= \frac{\langle E_k \rangle}{\langle V \rangle} = -\frac{\frac{1}{2}m \langle v^2 \rangle}{ke^2 \langle \frac{1}{r} \rangle} \simeq -\frac{\frac{1}{2}m \langle v^2 \rangle}{ke^2 \langle \frac{m\langle v \rangle}{h} \rangle} \\ &= -\frac{\langle v \rangle h}{2ke^2} = -\frac{\langle v \rangle \bar{h}}{2\alpha \bar{h}c} = -\frac{1}{2\alpha c} \langle v \rangle \end{aligned}$$

which gives

$$\frac{1}{\alpha c} \langle v \rangle \simeq 1$$

or

$$\langle v \rangle \simeq \alpha c.$$

This approximate relation is obtained independently of the electron mass (in both cases : constant or depending on the speed) and independently of the energy levels, the momentum and the mean radius $\langle r \rangle$.

But, we know that $\alpha \simeq \frac{1}{137}$ is quasi-constant for the significative energy scale of the hydrogen atom. Nevertheless, this relation is correct only for the ground state of the hydrogen atom.

9 Matière, antimatière et forces fondamentales

Considérons l'Univers dynamique $U(t)$ en tant qu'espace riemannien $(B_e(O, t), g_t)$ où g_t est la métrique physique à l'instant $t > 0$. Considérons ensuite l'opérateur de Laplace-Beltrami $-\Delta$ sur $(B_e(O, t), g_e)$. Si $E(t, X)$ est la distribution de la matière-énergie de l'Univers réel à l'instant t , alors elle vérifie l'équation de la matière-énergie suivante :

$$\square E(t, X) = \frac{\partial^2}{\partial t^2} E(t, X) - \Delta E(t, X) = 0 \quad \text{pour } X \in B(O, t) \quad (E^*)$$

avec

$$E(t, X)|_{S(O, t)} = 0 \text{ pour tout } t > 0.$$

Une solution de cette équation $E_\mu(t, X)$ s'écrit sous la forme

$$E_\mu(t, X) = g_\mu(t) \psi\left(\frac{X}{t}\right) \text{ pour } X \in B_e(O, t);$$

μ étant une valeur propre quelconque associée au problème de Dirichlet sur la boule unité $B_e(O, 1)$ (relatif au laplacien $-\Delta$) et ψ étant la fonction propre qui lui est associée.

Soit D l'opérateur de Dirac défini par la structure spinorielle de la variété riemannienne $(B_e(O, t), g_e)$. Les champs spinoriels sont, dans ce contexte précis, les sections

$$\Phi : B_e(O, t) \longrightarrow B_e(O, t) \times \Sigma_3$$

où $\Sigma_3 \simeq \mathbb{C}^{2^{\lfloor \frac{3}{2} \rfloor}} = \mathbb{C}^2$.

Ces champs spinoriels sont alors identifiables à des fonctions :

$$\Phi : B_e(O, t) \longrightarrow \mathbb{C}^2 \simeq \mathbb{R}^4$$

$$\begin{aligned} X &\longrightarrow (\Phi_1(X), \Phi_2(X)) = (\varphi_1(X) + i\varphi_2(X), \varphi_3(X) + i\varphi_4(X)) \\ &\simeq (\varphi_1(X), \varphi_2(X), \varphi_3(X), \varphi_4(X)) \end{aligned}$$

Par ailleurs, on a dans ce cas

$$\text{i) } D^2 := D \circ D = - \begin{pmatrix} \Delta & 0 \\ 0 & \Delta \end{pmatrix} \simeq - \begin{pmatrix} \Delta & 0 & 0 & 0 \\ 0 & \Delta & 0 & 0 \\ 0 & 0 & \Delta & 0 \\ 0 & 0 & 0 & \Delta \end{pmatrix}$$

ii) D est un opérateur elliptique formellement auto-adjoint d'ordre 1.

Par conséquent, l'ensemble des solutions de l'équation

$$\frac{\partial^2}{\partial t^2} \vec{E}(t, X) - D \vec{E}(t, X) = 0 \quad \text{avec} \quad \vec{E}(t, X)|_{S_e(O,1)} = 0 \quad (D)$$

détermine un espace hilbertien admettant une base hilbertienne de fonctions propres $\Phi^p = (\varphi_1^p, \varphi_2^p, \varphi_3^p, \varphi_4^p)$, pour $p \in \mathbb{Z}$, de vecteurs propres associés au problème de Dirichlet défini en utilisant l'opérateur de Dirac à la place de l'opérateur de Laplace-Beltrami sur la boule unité $B_e(O, 1)$.

De plus, pour une valeur propre simple $\mu_n > 0$ de $-\Delta$, $\lambda_n = \sqrt{\mu_n}$ est une valeur propre de D à laquelle est associé le vecteur propre

$$\Phi^n = (\varphi_1^n, \varphi_2^n, \varphi_3^n, \varphi_4^n)$$

et on a

$$D \Phi^n = \lambda_n \Phi^n$$

et

$$D \circ D \Phi^n = \Delta \Phi^n = \mu_n \Phi^n.$$

D'où

$$\begin{aligned} D \circ D(\varphi_1^n, \varphi_2^n, \varphi_3^n, \varphi_4^n) &= -(\Delta \varphi_1^n, \Delta \varphi_2^n, \Delta \varphi_3^n, \Delta \varphi_4^n) \\ &= \mu_n(\varphi_1^n, \varphi_2^n, \varphi_3^n, \varphi_4^n); \end{aligned}$$

ce qui implique que φ_i^n , pour $i = 1, 2, 3, 4$, est une fonction propre associée à la valeur propre μ_n relatif au problème de Dirichlet classique sur $B_e(O, 1)$ et on a :

$$\varphi_2^n = a_n \varphi_1^n \quad \varphi_3^n = b_n \varphi_1^n \quad \varphi_4^n = c_n \varphi_1^n.$$

Remarquons, qu'en considérant l'opérateur de Laplace-Beltrami $-\Delta_{g_t}$ sur $B(O,t)$, on ne pourra pas avoir une relation simple entre les valeurs propres relatives à $-\Delta_{g_t}$ et celles relatives à l'opérateur de Dirac D_{g_t} que dans le cas où la courbure scalaire associée à g_t est constante, ce qui pourrait être le cas tout au début de l'évolution de l'Univers.

Fixons maintenant trois valeurs propres simples μ_1, μ_2 et μ_3 du problème de Dirichlet sur la boule unité $B_e(O,1)$, relatif à l'opérateur de Laplace-Beltrami $-\Delta$ et posons $\lambda_i = \sqrt{\mu_i}$ pour $i = 1, 2, 3$. Signalons ensuite que nous pensons que la modélisation mathématique qui va suivre et qui vise à classifier les différents types de la matière et de l'antimatière, ne dépend pas du choix des μ_i . Ce choix correspond, à notre avis, à l'instauration d'une échelle de mesure concernant toutes les notions fondamentales liées à la matière-énergie, le temps et les distances. Nous supposons alors que notre choix correspond au système international de mesure (S.I.) qui conduit à toutes les constantes universelles classiques de la Physique.

Dans cette optique, nous réexaminons, à titre d'exemple, les relations suivantes (successivement établies dans les paragraphes précédents) concernant l'énergie $E(t, X(t))$:

$$E_\mu(t, X(t)) = h_\mu(t)f_\mu(t) = c(\mu)\sqrt{\mu} = m(\mu),$$

$$E_\mu(t, X(t), T(t)) = h_\mu(t, T(t))f_\mu(t, T(t)) = c(\mu, t)\sqrt{\mu} = m(\mu, t)$$

et

$$h_P = \frac{m(\mu, t)}{f_D(\mu, t)} = \frac{E_\mu(t, X(t))}{f_D(\mu, t)}$$

où h_P est la constante de Planck et $f_D(\mu, t)$ est la fréquence de De Broglie. Avec notre choix (fixé) de μ , on peut écrire la deuxième relation sous la forme

$$E(t) := E(t, X(t)) = h(t)f(t)$$

où h, f et E dépendent du temps par l'intermédiaire de la température. La dernière relation s'écrit

$$h_P(t) = \frac{E(t, X(t))}{f_D(t)}$$

qui, à son tour, s'écrit

$$E(t, X(t)) = h_P(t)f_D(t)$$

qui n'est autre que la relation classique

$$E = h_P f_D$$

avec la seule différence que E et f_D dépendent ici du temps t par le biais de la température $T(t)$. Les variations de cette dépendance est négligeable à l'échelle cosmique et temporelle actuelle.

Notons aussi que, selon notre modèle, $h(t)$ et $f(t)$ changent, à température constante, avec la distance (ou le temps) mais pas leur produit. Par contre $h(t), f(t)$ et $h(t)f(t) = E(t)$ changent avec la température. De même f_D change avec l'énergie et par suite avec la température. Nous pensons de plus que ce que l'on mesure dans la plupart des expériences sont les grandeurs $f(t)$ et $\lambda(t)$ et non pas f_D et λ_D .

Classification de la matière, l'antimatière et l'énergie

Considérons maintenant le sous-espace propre E_{λ_1} , engendré par

$$\Phi_1 = (\varphi_1, a_1\varphi_1, b_1\varphi_1, c_1\varphi_1) =: (\psi_1, \psi_2, \psi_3, \psi_4).$$

Posons ensuite

$$\begin{aligned} \bar{\Phi}_1 &= (\bar{\varphi}_1, a_1\bar{\varphi}_1, b_1\bar{\varphi}_1, c_1\bar{\varphi}_1) := (-\varphi_1, -a_1\varphi_1, -b_1\varphi_1, -c_1\varphi_1) \\ &=: (\bar{\psi}_1, \bar{\psi}_2, \bar{\psi}_3, \bar{\psi}_4) \end{aligned}$$

et considérons les vecteurs de \mathbb{R}^8

$$\Gamma_1 = (\psi_1, \bar{\psi}_2, \psi_3, \psi_4, \bar{\psi}_1, \psi_2, \bar{\psi}_3, \bar{\psi}_4)$$

et

$$\Gamma_2 = (\bar{\psi}_1, \bar{\psi}_2, \bar{\psi}_3, \bar{\psi}_4, \psi_1, \psi_2, \psi_3, \psi_4).$$

On a alors

$$\begin{aligned} D \times D \Gamma_1 &= \lambda_1 \Gamma_1, \\ D \times D \Gamma_2 &= \lambda_1 \Gamma_2 \end{aligned}$$

avec

$$\Delta\psi_i = \mu_1\psi_i, \quad \Delta\bar{\psi}_i = \mu_1\bar{\psi}_i.$$

Remplaçons dans Γ_1 , ψ_1 par $e_{1/2}^-$, ψ_2 par ν_e , ψ_3 par $u_{1/2}$, ψ_4 par $d_{1/2}$, $\bar{\psi}_1$ par $e_{-1/2}^+$, $\bar{\psi}_2$ par $\bar{\nu}_e$, $\bar{\psi}_3$ par $\bar{u}_{-1/2}$ et $\bar{\psi}_4$ par $\bar{d}_{-1/2}$ et dans Γ_2 , ψ_1 par $e_{-1/2}^-$, ψ_2 par ν_e , ψ_3 par $u_{-1/2}$, ψ_4 par $d_{-1/2}$, $\bar{\psi}_1$ par $e_{1/2}^+$, $\bar{\psi}_2$ par $\bar{\nu}_e$, $\bar{\psi}_3$ par $\bar{u}_{1/2}$ et $\bar{\psi}_4$ par $\bar{d}_{1/2}$. En réordonnant les composantes de Γ_1 et Γ_2 dans \mathbb{R}^8 , on obtient les vecteurs d'énergie pure

$$\Gamma_1 = \left(e_{1/2}^-, e_{-1/2}^+, \bar{\nu}_e, \nu_e, u_{1/2}, \bar{u}_{-1/2}, d_{1/2}, \bar{d}_{-1/2} \right)$$

$$\Gamma_2 = \left(e_{1/2}^+, e_{-1/2}^-, \bar{\nu}_e, \nu_e, \bar{u}_{1/2}, u_{-1/2}, \bar{d}_{1/2}, d_{-1/2} \right)$$

qui représentent chacun une polarisation différente de la même onde électromagnétique ou du même photon.

Ainsi, on a associé à la solution du problème de Dirichlet ψ_1 l'électron $e_{1/2}^-$ dans Γ_1 et $e_{-1/2}^-$ dans Γ_2 , à la solution ψ_2 le neutrinos ν_e , à la solution ψ_3 le quark $u_{1/2}$ dans Γ_1 et $u_{-1/2}$ dans Γ_2 et à la solution ψ_4 le quark $d_{1/2}$ dans Γ_1 et $d_{-1/2}$ dans Γ_2 et enfin à chaque solution $\bar{\psi}_i$ l'antiparticule de la particule fondamentale associée à ψ_i avec un spin opposé à celui de la particule.

Nous pensons enfin que, dans Γ_1 (resp. Γ_2), les couples $(e_{1/2}^-, e_{-1/2}^+)$ (resp. $(e_{1/2}^+, e_{-1/2}^-)$) étant dans la première case, chacun des couples impliquant les neutrinos-antineutrinos et les quarks-antiquarks peut se situer dans chacune des trois autres cases de $\mathbb{R}^8 \simeq \mathbb{R}^2 \times \mathbb{R}^2 \times \mathbb{R}^2 \times \mathbb{R}^2$.

Ceci évoque, en effet, la symétrie de couleurs dans le modèle standard et pourrait expliquer l'existence de chacun des quarks et des antiquarks en trois variantes distinctes. L'existence de trois couleurs attribuées à chaque saveur de quark est bien confirmée par le taux de formation de hadrons lors des expériences d'annihilations électron-positron. Ceci permet également d'expliquer l'existence de plusieurs types de gluons avec des couleurs mixées. En procédant de la même manière en considérant, à la place de μ_1 et λ_1 les valeurs propres μ_2 et λ_2 et ensuite les valeurs propres μ_3 et λ_3 , on obtient les vecteurs d'énergie pure

$$\begin{aligned} \Gamma'_1 &= \left(\mu_{1/2}^-, \mu_{-1/2}^+, \bar{\nu}_\mu, \nu_\mu, c_{1/2}, \bar{c}_{-1/2}, s_{1/2}, \bar{s}_{-1/2} \right) \\ \Gamma'_2 &= \left(\mu_{1/2}^+, \mu_{-1/2}^-, \bar{\nu}_\mu, \nu_\mu, \bar{c}_{1/2}, c_{-1/2}, \bar{s}_{1/2}, s_{-1/2} \right) \\ \Gamma''_1 &= \left(\tau_{1/2}^-, \tau_{-1/2}^+, \bar{\nu}_\tau, \nu_\tau, b_{1/2}, \bar{b}_{-1/2}, t_{1/2}, \bar{t}_{-1/2} \right) \\ \Gamma''_2 &= \left(\tau_{1/2}^+, \tau_{-1/2}^-, \bar{\nu}_\tau, \nu_\tau, \bar{b}_{1/2}, b_{-1/2}, \bar{t}_{1/2}, t_{-1/2} \right). \end{aligned}$$

Ainsi, on trouve (dans le cadre de notre modèle) que les particules fondamentales sont au nombre de 24, douze particules :

$$e^-, \mu^-, \tau^-, \nu_e, \nu_\mu, \nu_\tau, u, d, s, c, b \text{ et } t$$

ainsi que leurs douze antiparticules. Chacune des trois premières particules (ainsi que chaque antiparticule) existe en deux variantes qui correspondent à deux spins opposés. Chacune des trois suivantes existent uniquement avec un spin négatif $-1/2$ (des particules gauches). Les six saveurs de quarks existent avec deux spins opposés chacun mais aussi avec trois couleurs différentes. Chacune de ces particules et antiparticules (à l'exception probablement des

neutrinos et des antineutrinos) est formée d'une distribution $E(t, X)$ sur un domaine D_t formant ainsi une masse matérielle (ou antimatérielle) donnée $m(t)$ avec une densité $\rho(t)$ donnée.

Ainsi, les particules fondamentales (conformément à notre modèle) sont les particules issues des solutions Φ^n du problème de Dirichlet (D) relatif à l'opérateur de Dirac sur $B_e(O, 1)$ qui déterminent chacune 4 solutions du problème de Dirichlet relatif à l'opérateur de Laplace-Beltrami sur $B_e(O, 1)$. Ces solutions déterminent, d'une part, des vecteurs énergie Γ associés aux trois générations de leptons-quarks et, d'une autre part, déterminent des solutions de l'équation de la matière-énergie (E^*) donnant naissance à des distributions $E(t, X)$ sur des domaines D_t formant de la sorte les particules (et antiparticules) fondamentales ayant des masse-énergies données évoluant avec le temps, la température et toute sorte d'interaction.

Toutes ces particules (à l'exception des neutrinos) sont soumises à des interactions entre elles-même et avec des photons. Toutes peuvent s'annihiler avec leurs antiparticules pour créer des photons et des gluons. Inversement, les photons et les gluons peuvent donner naissance à des paires de particules - antiparticules.

Seuls les électrons, les neutrinos et le quark u sont absolument stables contre toute désintégration. Les cinq quarks les plus massifs (par ordre décroissant : t, b, c, s et d) peuvent se transformer par désintégration naturelle et par des interactions faibles ou électromagnétique pour donner naissance à des quarks moins massifs. Le quark le moins massif u a besoin d'un apport énergétique pour se transformer en un autre quark. Cet apport peut être fourni lors d'interactions avec des électrons ou des antineutrinos (par exemple). Le quark u peut aussi se transformer lors d'une transformation nucléaire s'effectuant avec une augmentation de l'énergie de liaison. Les familles leptoniques μ et τ donnent toujours naissances à des électrons (ou des positrons) et à des neutrinos (ou des antineutrinos).

Les neutrinos sont créés au cours d'opérations d'annihilations, de désintégrations et d'interactions faibles entre particules de tout genre. Ils sont absolument stables et électriquement neutres et constitueraient des particules matérielles, à moins qu'ils ne soient une forme d'énergie pure, ce qui est pour nous plus probable. Toutefois, les masses infinitésimales hypothétiques de ces particules ne sont pas encore déterminées d'une manière précise. Notons que les seules particules matérielles élémentaires stables (i.e. de durée de vie illimitée) sont l'électron (chargé négativement), le quark u (chargé positivement) et les trois neutrinos (électriquement neutres). À ces particules élémentaires stables, il faut ajouter la seule particule matérielle composite considérée jusqu'à présent comme étant absolument stable contre toute sorte de désintégration (ou plus précisément de durée de vie supérieure à 10^{32} ans)

qui est le proton qui a une charge électrique opposée à celle de l'électron. Les particules immatérielles (de masse nulle) d'énergie pure qui sont les photons (et les gluons) sont également stables. Elles recèlent en elles-mêmes la préexistence de la matière et la capacité de création des différents types de matière et d'antimatière et la capacité d'interaction avec toute sorte de matière et de se transformer en toute sorte d'énergie.

Les forces naturelles

En ce qui concerne les forces naturelles, il résulte de notre étude globale qu'il existe essentiellement deux forces fondamentales inhérentes à la création, la formation et l'évolution de l'Univers. La première est la force électromagnétique trouvant son origine dès la formation de deux sortes de matière (et d'antimatière) ; l'une chargée positivement et l'autre négativement. L'addition arithmétique des charges de l'une et de l'autre (de l'électron et des six quarks) conduit à l'égalité

$$1 + \frac{1}{3} + \frac{1}{3} + \frac{1}{3} = \frac{2}{3} + \frac{2}{3} + \frac{2}{3}$$

L'attraction entre deux particules chargées différemment rappelle l'unité originelle de la matière-énergie. La répulsion entre les particules pareillement chargées rappelle l'expansion, le mouvement et la dispersion originels de la matière. Cette force a une portée illimitée tout en étant proportionnelle aux produits des charges et à l'inverse du carré de la distance. Elle s'exerce à tous les échelons de la matière (et de l'antimatière) chargée : quark-quark, quark-lepton, lepton-lepton et plus particulièrement : électron-électron, électron-proton, proton-proton à l'intérieur de l'atome et entre les atomes et plus généralement entre toutes les agglomérations de matière chargée. La force électromagnétique résulte des champs électriques et électromagnétiques qui existent naturellement autour de toute matière chargée statique ou en mouvement. Elle n'a pas besoin d'être véhiculée par un intermédiaire quelconque. Les ondes électromagnétiques ne sont que des radiations émises par des charges en accélération ou par des électrons changeant leur niveau énergétique (pour ne parler que des radiations atomiques et non pas des radiations nucléaires) d'une façon indépendante des récepteurs possibles de ces radiations. L'échange d'énergie véhiculé par les radiations électromagnétiques (échange d'une grande quantité de photons) a pour seul effet la modification du champ électromagnétique ambiant modifiant ainsi le champ de force ambiant qui n'est autre que le champ de gradient de la distribution de la matière-énergie $E(t,X)$. Cette distribution est reflétée, comme on l'a déjà

vu, par la métrique réelle physique qui, à son tour, caractérise la partie ambiante de l'Univers physique (de ces particules et ces agglomérations) qui est en permanente évolution.

La deuxième force fondamentale est la gravité généralisée qui est basée sur la tendance des particules à s'attirer et de la matière à se contracter pour retrouver son état quasi-originel ultra condensé comme les étoiles à neutrons et même pour se retrouver à l'état de trou noir. Cette tendance est contre-carrée par la répulsion électromagnétique et l'exclusion fermionique d'une part et par l'énergie cinétique liée au mouvement initié par le Big Bang d'une autre part. La force gravitationnelle s'exerce d'une manière tout à fait naturelle à tous les échelons de la matière : quark-quark, nucléon-nucléon, noyau-électron, atome-atome, astre-météorite, astre-astre, galaxie-galaxie etc. Elle est proportionnelle au produit des masses et inversement proportionnelle au carré de la distance. Elle a une portée illimitée et n'a pas besoin ni de graviton ni de gluon pour la véhiculer. Une masse donnée est entourée par un champ gravitationnel qui attire proportionnellement toute autre masse située aux alentours. C'est également le cas des trous noirs qui constituent probablement une grande partie de l'équivalent de la masse de l'Univers.

Bien que les deux forces fondamentales s'exercent simultanément et ne s'excluent pas l'une l'autre (les deux champs existent bel et bien autour d'une matière chargée), l'étude des lois qui gouvernent ces deux forces montre, qu'à l'échelle non cosmologique, la force électromagnétique est prépondérante sur la force gravitationnelle à moins qu'il ne s'agisse de deux agglomérations matérielles de masses assez importantes et de faibles charges électriques (comme une pomme située à quelques mètres de la surface de la terre). Cependant, il faut noter que les formules (statiques) caractérisant ces deux forces, notamment $F = k \frac{q_1 q_2}{r^2}$ et $F = G \frac{m_1 m_2}{r^2}$, sont inadéquates à une échelle subatomique. En effet, en ce qui concerne la force gravitationnelle, il faut tenir compte du mouvement important (vibrationnel et autre) des sous particules (très énergétiques et situées à des distances infimes les unes des autres) et introduire des corrections (généralement qualifiées de relativistes) qui tiennent compte des vitesses, des accélérations, des fréquences, des moments et de l'évolution des masses. Quant à la force électromagnétique, alors les corrections qui doivent être effectuées à la loi de Coulomb sont déterminantes. À l'intérieur des atomes et des nucléons, c'est nécessairement la loi de Lorentz $F = q(E + v \wedge B)$ qui doit être appliquée. C'est le champ magnétique global (orbital et intrinsèque) B qui effectue les corrections indispensables aux forces électromagnétiques répulsives et attractives au sein de l'atome, du noyau et des nucléons en tenant compte de l'important fait que des charges en mouvement même si elles sont de même nature (positive ou négative) créent des

champs de force pouvant être attractives ou répulsives suivant les directions du mouvement. L'association de ces champs de force (incluant l'effet d'écran) à celui de la force de gravitation (corrigée par les effets dynamiques et leurs conséquences multi-énergétiques) conduit au champ de force interne à chaque échelon sans oublier les forces externes et les interactions internes et externes.

Interactions fortes et faibles

Considérons, à titre d'exemple, un neutron constitué d'un état de liaison (bound state) de deux quarks chargés négativement et d'un troisième chargé positivement, symbolisé par udd . Deux causes fondamentales poussent ces trois quarks à former un état de liaison, muni d'une certaine cohésion au sein de cette particule. Ce sont l'unité originelle de la matière et leurs charges fractionnelles. Un quark individuel n'existe plus dans la nature, très peu de temps après le Big Bang, ce qui induit l'effet de confinement. Il en est de même pour une particule de charge électrique fractionnelle. Le champ de force intérieur qui empêche la dispersion de ces trois quarks ou la séparation de l'un d'entre eux résulte du champ de gravité tripolaire corrigée et du champ électromagnétique total; c'est ce champ global qui est responsable de la cohésion interne du neutron. L'énergie de liaison (binding energy) est égale à

$$m_u c^2 + 2m_d c^2 - m_n c^2$$

Cet état de liaison n'est pas statique, comme pour tous les hadrons, et elle n'est pas stable, comme pour tous les hadrons à l'exception du proton. En effet, il y a, au sein du neutron, un échange permanent de particules d'énergie pures (i.e. de masse nulle), appelées gluons, d'une manière analogue à l'échange permanent de photons au sein d'un atome. De plus, il y a une interaction électromagnétique (et gravitationnelle) entre chacun de ces trois quarks avec les quarks avoisinants contenus dans les nucléons voisins du même noyau, de la même manière qu'il y a une interaction électromagnétique entre protons et électrons de deux atomes voisins au sein d'une molécule. À tout ceci s'ajoute l'attraction électromagnétique entre tous les nucléons au sein du noyau, doublée des forces d'interaction électromagnétique entre le noyau et les électrons et entre toutes les particules de l'atome, sans oublier les interactions électromagnétiques entre l'atome et l'extérieur. Les interactions électromagnétiques peuvent conduire à la désintégration (qualifiée de faible) du neutron qui se transforme en proton par le procédé du β^- -désintégration (β^- -decay), symbolisé par $n \rightarrow p + e^- + \bar{\nu}_e$, qui s'effectue en fait par l'émission, par le quark d , d'une particule "virtuelle" (qui est, à notre avis

bien réelle) notée W^{*-} qui donne naissance à un électron accompagné d'un antineutrino selon le schéma

$$W^{*-} \longrightarrow e^{-} + \bar{\nu}_e$$

Soulignons quand même que dans un grand nombre de processus d'interactions et de désintégrations (dites faibles) trois particules notées W^{+} , W^{-} et Z^0 existent bel et bien; ce sont des bosons matériels ayant des énergies de masses bien déterminées (bien qu'on leur attribue des valeurs approximatives essentiellement à cause de leur nature dynamique et évolutive) et ayant une très courte durée de vie. Signalons, à titre d'exemple, quelques schémas représentatifs de désintégrations et d'interactions (fig.7) (appelés diagrammes de Feynman) faisant intervenir des quarks, des leptons et des neutrinos impliquant ces trois particules agissant en tant qu'intermédiaires d'interactions dites faibles (cf. [2]).

La description précédente de l'état de liaison constituant le neutron reste valable lorsqu'on considère un proton formé d'un état de liaison entre deux quarks u (chargés positivement) et un quark d (chargé négativement) au sein du noyau d'un atome donné. L'effet de répulsion électrique entre deux quarks chargés positivement au sein d'un proton ou de deux protons au sein du noyau de cet atome est contrebalancé par les forces attractives créées par le mouvement, les champs électromagnétiques et les champs de gravitation conduisant ainsi à un équilibre énergétique à tout instant (bien qu'évoluant en permanence) entre énergie de masse, énergies potentielles et énergie cinétique. L'énergie de liaison au sein du proton est égale à

$$2m_u c^2 + m_d c^2 - m_p c^2$$

et au sein du noyau à

$$\Sigma m_p c^2 + \Sigma m_n c^2 - m_N c^2$$

Notons que, pour les noyaux légers, la stabilité du noyau contre la désintégration "forte" comme, par exemple, la fission naturelle et la désintégration de type α (α -decay), nécessite l'égalité approximative entre les deux nombres Z et $A-Z$ de l'atome, tandis que la stabilité des noyaux lourds nécessite un nombre de neutrons nettement supérieur à celui des protons. L'effet de répulsion pour un tel noyau est assez important lorsque Z est proche de $A-Z$ et ne peut pas être durablement contrebalancé par la composante attractive de l'effet électromagnétique et par l'effet attractif de la gravité. Les

β -désintégrations dites "faibles" et l'émission des rayons X sont toujours possibles naturellement et artificiellement (au moyen des interactions faibles et des radiations électromagnétiques) sauf pour le proton qui est, comme on l'a déjà signalé, supposé absolument stable. Notons, là aussi, que les interactions dites fortes sont effectivement véhiculées par l'intermédiaire des gluons qui sont des bosons de masse nulle échangés (émis et absorbés) à courte distance au sein du nucléon et du noyau, contrairement aux désintégrations de type α , β et γ qui sont d'une nature différente. Faut-il pour autant considérer les gluons comme étant fondamentalement différents des photons électromagnétiques ?

Notre réponse est Non ; qu'ils soient virtuels ou réels, intervenant dans des interactions dites fortes comme celle représentée par (fig.8) ou dans des opérations du genre $g \longleftrightarrow q + \bar{q}$, ils ne sont pas essentiellement différents des photons. Ces derniers se prêtent, d'une façon similaire, à des échanges, des interactions et des annihilations. Il suffit alors d'invoquer les annihilations du genre $\gamma \longleftrightarrow e^+ + e^-$ et les annihilations avec des productions en paires comme celles représentées par (fig.9), en les rapprochant du phénomène du jet lors d'une collision entre électrons et positrons, représentée par : $e^+ + e^- \longrightarrow q + \bar{q} + g$, par exemple. La différence entre ces deux types de particules d'énergie pure réside dans le fait que les gluons se prêtent uniquement à des échanges d'une portée et d'une durée extrêmement courtes tandis que les photons sont échangés à toute portée mais aussi émis dans des conditions diverses indépendamment de tout receveur potentiel.

Par conséquent, nous ne pensons pas qu'il y a une troisième force fondamentale, indépendante des deux forces fondamentales décrites auparavant, qui serait basée sur des charges dites fortes (ou couleurs) inhérentes aux quarks (et antiquarks) et qui serait véhiculée par l'intermédiaire des gluons (comme les photons, les gluons sont des messagers d'interactions non pas de charges). Néanmoins, chacun des six quarks existe bel et bien avec trois couleurs différentes de la même façon que certaines particules existent avec deux spins opposés. Les trois couleurs constituent en fait trois variantes d'une même particule sans que l'on puisse détecter (jusqu'à présent) aucune différence physique entre elles contrairement à la différence physique notable entre deux variantes d'une même particule possédant deux spins opposés. Notre point de vue est d'ailleurs appuyé par le fait qu'il n'existe pas de particule élémentaire assez stable (tel un nucléon par exemple) constituée de quarks portant des charges de même signe ni de noyau, par exemple, formé uniquement de deux protons ou de deux neutrons : La conjonction de la gravité et des forces électromagnétiques ne le permettant pas, alors les "charges fortes" ou les "forces fortes" n'auraient-elles pas joué un rôle favorisant ?

Ainsi, nous pouvons affirmer que, bien que les forces et charges dites fortes n'existent pas réellement, les interactions et liaisons fortes existent bel et bien. Les liaisons fortes, organiquement liées aux deux forces fondamentales, contribuent avec elles (dans le respect de toutes les règles énergétiques) à former tous les états de liaison (bound state) entre quarks au sein des hadrons et entre hadrons au sein des noyaux. La stabilité de ces états de liaison est directement liée à la stabilité de l'équilibre énergétique qui se crée plus ou moins temporairement entre les énergies potentielles (électromagnétique et gravitationnelle), les énergies cinétiques vibrationnelle et rotationnelle (thermodynamiques) et les énergies de masse de toutes les composantes. Les interactions et les liaisons fortes sont essentiellement liées à la transformation de la matière en énergie et réciproquement. Ces transformations sont véhiculées par l'intermédiaire des gluons échangés entre quarks (impliquant plusieurs transformations énergétiques) transformant ainsi leur nature et celle des hadrons qui les contiennent. On peut avoir un changement de masse, d'énergie de liaison (binding energy) ou de charge électrique (accompagné d'émission d'électron ou de positron, par exemple) conduisant à toutes les transformations nucléaires possibles. Ceci explique d'ailleurs la très courte portée ainsi que la très courte durée de vie des gluons, contrairement aux photons qui sont émis sans condition préalable d'échange.

De même, toutes les interactions faibles faisant intervenir les bosons W^+ , W^- et Z^0 (dont on a cité quelques exemples) et les désintégrations faibles (étudiées en parallèle avec des interactions du genre

$$e^+ + e^- \longrightarrow \psi' \longrightarrow \pi^+ + \pi^- + \psi \text{ avec } \psi \longrightarrow e^+ + e^-,$$

ou du genre

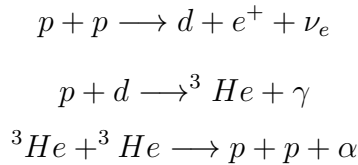
$$e^+ + n \longrightarrow \bar{\nu}_e + p \quad , \quad e^- + p \longrightarrow \nu_e + n,$$

$$p + p \longrightarrow d + e^+ + \nu_e \quad \text{et} \quad \gamma + d \longrightarrow n + p)$$

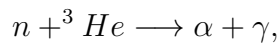
ne décèlent pas l'existence d'une autre force fondamentale (qualifiée de faible) qui serait basée sur des charges (dites faibles) portées par les hadrons et les leptons et qui seraient véhiculées par les trois bosons mentionnés plus haut. Ces trois particules ont une très courte durée de vie, une portée extrêmement courte et servent uniquement en tant qu'intermédiaires des interactions dites faibles entre les quarks et les leptons à très courtes distances.

Les interactions électromagnétiques, les lois de conservation et la loi d'exclusion de Pauli sont suffisantes pour expliquer tous ces phénomènes ainsi

que d'autres comme celui de la formation du deuteron d à partir d'un neutron et d'un proton et l'inexistence d'un état de liaison de deux protons ni de deux neutrons, par exemple. Elles sont tout autant suffisantes pour expliquer également le cycle (solaire)



ou l'interaction



à titre d'exemple.

Remarque : D'autres discussions sur les états de liaison et les forces fondamentales seront fournies dans les paragraphes 11 et 13.

Énergie de liaison et Matière-Énergie

L'énergie globale de l'Univers E_0 était concentrée, avant le Big Bang, en un point singulier de l'espace-temps (i.e. le sommet du demi-cône de l'espace-temps) où l'on peut considérer que toute l'énergie était une sorte d'énergie de liaison. L'apparition, après le Big Bang, de la matière sous forme de hadrons avec leur énergie de liaison interne et plus particulièrement des neutrons et protons formant (plus tard) des noyaux avec leur propre énergie de liaison n'était pas la seule forme de transformation de l'énergie initiale E_0 . En effet, il faut ajouter à l'énergie de masse de ces particules et agglomérations de particules et à leur énergie de liaison inhérente à leur formation l'énergie cinétique de la matière en mouvement et leur énergie potentielle d'interaction qui sont essentiellement les énergies potentielles gravitationnelle et électromagnétique. Ces deux énergies potentielles sont en fait deux formes d'énergie de liaison. Dans un atome la quantité

$$(m_N + \Sigma m_i - m_a)c^2,$$

où m_N , Σm_i et m_a sont respectivement les masses du noyau, des électrons et de l'atome, est l'énergie de liaison de l'atome (i.e. la différence de masse $(m_N + \Sigma m_i) - m_a$ transformée en énergie) est étroitement liée à l'énergie potentielle électromagnétique à l'intérieur de l'atome (l'énergie potentielle gravitationnelle à l'intérieur de l'atome est négligeable). Le passage d'un électron

d'un niveau potentiel à un autre est nécessairement accompagné d'un changement de l'énergie de liaison à l'intérieur de l'atome. Le passage de l'électron d'un atome d'hydrogène du niveau fondamental à un niveau supérieur s'exprime par une énergie potentielle électromagnétique attractive moins importante et une énergie de liaison plus faible de sorte que

$$e'_l := (m'_p + m'_e - m'_H)c^2 < (m_p + m_e - m_H)c^2 =: e_l$$

Signalons que la masse m'_H de l'atome et la masse m'_e de l'électron à l'intérieur de l'atome ont augmenté, la vitesse et l'énergie cinétique de l'électron ayant diminué. L'absorption par l'électron d'un photon d'énergie e_p augmente l'énergie potentielle négative de l'électron et augmente légèrement sa masse en diminuant sa vitesse et son énergie cinétique. L'énergie totale de l'électron (potentielle + cinétique) est quand même en hausse. D'autre part, l'énergie globale de l'atome a augmenté de e_p . Sa masse globale a augmenté de $\frac{e_p}{c^2}$. L'électron ayant absorbé l'énergie du photon e_p , l'augmentation de la masse de l'atome provient de la transformation de la différence d'énergie de liaison $e_l - e'_l$ en masse :

$$\frac{e_l - e'_l}{c^2} = m'_H - m_H = \frac{e_p}{c^2}$$

L'énergie potentielle gravitationnelle s'interprète de la même manière en terme d'énergie de liaison liée à la transformation de masse en énergie et vice versa. Pour une planète ayant une orbite stable autour d'un pôle de gravitation (disons une étoile), il y a un équilibre stable entre les énergies de masse, les énergies cinétiques, l'énergie potentielle gravitationnelle et l'énergie de liaison en négligeant les énergies radiationnelles thermique et gravitationnelle. Lorsque la planète décrit une orbite se rapprochant continuellement du pôle, l'énergie potentielle gravitationnelle devient de plus en plus négative, la vitesse orbitale augmente continuellement ainsi que l'énergie cinétique tandis que l'énergie de liaison augmente et la masse de la planète diminue ainsi que la masse du système formé de la source de gravitation et de la planète. Une partie de la différence de masse se transforme en énergie de liaison du système causée par le champ gravitationnel devenant de plus en plus intense ; l'autre partie se transforme en énergie cinétique.

Dans le cas extrême d'une planète absorbée par un trou noir, l'énergie de masse se transforme, à la fin, presque entièrement en énergie de liaison sous forme d'une augmentation de l'énergie du trou noir.

Un phénomène semblable se produit lors de la réduction continuellement progressive des orbites d'un système binaire ; l'énergie potentielle gravitationnelle négative devient de plus en plus importante, l'énergie de liaison augmente, l'énergie cinétique aussi, alors que la masse totale du système diminue.

Notons que le passage de l'électron de l'atome d'hydrogène d'une orbite à une autre plus près du noyau présente le même schéma sachant que l'énergie potentielle électromagnétique joue le rôle de l'énergie potentielle gravitationnelle et l'équilibre énergétique (momentané) est de nouveau assuré par l'intermédiaire du nouveau mouvement orbital après l'émission d'un photon ayant une énergie bien déterminée : L'énergie totale de l'électron diminue, son énergie potentielle électromagnétique diminue, sa vitesse et son énergie cinétique augmentent, sa masse diminue, l'énergie et la masse de l'atome diminuent et l'énergie de liaison augmente. La même chose se produit au sein des noyaux où l'énergie de liaison entre les nucléons se crée au détriment de la diminution de la somme des masses individuelles. Dans ce cas les énergies potentielles électromagnétique et gravitationnelle sont causées par les constituants chargés des nucléons, i.e. les quarks, bien que chaque nucléon constitue un état de liaison entre trois quarks de parfums, de spins ou de couleurs différents.

En résumé, l'énergie initiale E_0 de l'Univers se trouve après le Big Bang sous forme d'énergie de masse, d'énergie cinétique et d'énergie de liaison ou d'interaction à caractère gravitationnel ou électromagnétique sans oublier les énergies pures (qui peuvent être considérées comme une sorte d'énergie de liaison) des trous noirs. L'énergie de masse de la matière visible n'étant qu'une petite partie de l'énergie de masse totale de l'Univers, nous pensons que ce que l'on appelle matière noire ou énergie noire est constituée de trous noirs (dont l'énergie a le caractère d'une énergie de masse gravitationnelle), d'étoiles à neutrons et de naines brunes ou autres étoiles invisibles associées à un grand nombre de systèmes binaires et enfin de toute forme de matière ordinaire invisible comme les planètes. Quant à la classification de l'énergie de fond associée aux neutrinos, elle reste assez énigmatique. Les neutrinos n'ont probablement pas de masse et bien qu'ils n'ont pas d'interactions électromagnétiques, ils contribuent d'une façon significative à l'énergie radiationnelle de l'Univers.

Description sommaire de l'Univers

Remarquons pour finir que notre modèle global est tout à fait compatible avec la description classique des différents stades de l'évolution de l'Univers, d'une part, et de la matière, de l'antimatière et de l'énergie, d'une autre part.

1. Tout au début de l'expansion, l'Univers de taille infiniment petite ($t \ll 1$) était dominé par les radiations ultra-énergétiques, dans un état d'équilibre thermal parfait, ayant des fréquences infiniment grandes (i.e. de longueurs d'ondes infiniment petites) donnant lieu à une densité de radiation infiniment grande sous une pression et à une température infiniment grandes également ; toutes les trois décroissant très rapidement.

2. Ensuite commence le stade qualifié de soupe de quarks et de leptons (sans doute avec leurs antiparticules) qui sont différemment chargés, suivi de la formation des protons, des neutrons et (sans doute) des neutrinos ainsi que de leurs antiparticules. Cette formation est devenue possible avec l'atténuation relative de l'énergie gigantesque des radiations originelles et de la pression et température originelles.

3. Les règles de conservation et d'exclusion favorisent certaines interactions électromagnétiques au dépens d'autres conduisant à la baisse de formation des neutrinos (neutrinos freeze) et à la disparition progressive de l'antimatière (comme les positrons) au profit de l'augmentation du rapport du nombre des protons sur celui des neutrons. Tout ceci est gouverné par des équilibres énergétiques impliquant l'effet de stabilité et de durée de vie.

4. Survient ensuite la formation des noyaux légers stables et des autres formations matérielles plus ou moins stables et des atomes, accompagnant la tendance à la diminution de la densité des radiations au profit de la densité matérielle rendant ainsi possible la formation de toutes les agglomérations matérielles à partir des atomes et molécules jusqu'aux galaxies.

À partir de ce stade qualifié de "photons freeze", la tendance vers une prédominance de la densité matérielle sur celle des radiations ne fait que s'accroître bien que la densité générale, la pression générale et la température cosmique ne font que baisser à cause de l'expansion, toujours en cours, qui s'effectue à une vitesse avoisinant 1 et tendant vers 1.

En fin de compte, signalons (pour résumer) qu'à la lumière de ce qui précède, on peut supposer que l'on ait, à tout instant $t > 0$, la formule

$$v(t) = \lambda(t)f(t) = \frac{1}{2\pi} \frac{\sqrt{\mu}}{t} \lambda(t)$$

où $v(t)$, $\lambda(t)$ et $f(t) = \frac{1}{2\pi} \frac{\sqrt{\mu}}{t}$ sont respectivement la vitesse de l'expansion, la longueur d'onde et la fréquence des ondes responsables de l'expansion (créant l'espace géométrique de notre Univers réel). On peut concevoir alors que l'on

ait

$$\lambda(t) = \frac{2\pi}{\sqrt{\mu}} t \frac{a(t)}{b(t)} \text{ et } v(t) = \frac{a(t)}{b(t)}$$

avec

(i) $a(t)$ est une fonction strictement croissante vérifiant

$$\lim_{t \rightarrow 0^+} a(t) = 0 \text{ et } \lim_{t \rightarrow +\infty} a(t) = +\infty.$$

(ii) $b(t)$ est une fonction strictement croissante vérifiant

$$\lim_{t \rightarrow 0^+} b(t) = b > 0 \text{ et } \lim_{t \rightarrow +\infty} b(t) = +\infty.$$

(iii) $v(t) = \frac{a(t)}{b(t)}$ est strictement croissante avec

$$\lim_{t \rightarrow 0^+} \frac{a(t)}{b(t)} = 0 \text{ et } \lim_{t \rightarrow +\infty} \frac{a(t)}{b(t)} = 1.$$

(De telles fonctions existent évidemment ; on peut prendre à titre d'exemple,

$$v(t) = \frac{\ln(1+t)}{\ln(1+\alpha+t)} \text{ avec } \ln(1+\alpha) = b).$$

La détermination de $a(t)$, $b(t)$ et b nécessite évidemment des mesures aussi précises que possible en utilisant des moyens techniques aussi bien variés que sophistiqués comme des télescopes ultrapuissants et des accélérateurs nucléaires engageant des énergies gigantesques afin d'aller le plus loin possible dans le temps et dans l'espace pour acquérir une meilleure compréhension de l'Univers et de la matière-énergie originels. Notons que la grandeur du nombre b est décisive : Pour b petit ou infiniment petit, l'âge de l'Univers est proche de celui qui est généralement avancé actuellement et qui va être déterminé approximativement au paragraphe 11; tandis que, pour b grand ou infiniment grand, alors l'âge de notre Univers est beaucoup plus grand que l'on ne pense et que son évolution jusqu'au début du stade actuellement scrutable a pris beaucoup de temps. Dans ce dernier cas, le temps T_0 (exprimé en seconde) au bout duquel l'Univers a atteint la taille $B_e(O,1)$ (où 1 représente ici $3 \times 10^8 \text{m}$), qui correspondrait à une vitesse d'expansion significative qui sera plus tard assez proche de 1, est assez grand et pourrait être même très grand ($T_0 \gg 1$). Par suite, si on suppose que la taille actuelle de l'Univers est approximativement $t \times (3 \times 10^8 \text{m})$, alors l'âge effectif de l'Univers à partir du temps $t = 0$ serait assez proche de $t + T_0$. Si, par contre, on suppose que

le temps qui nous sépare du Big Bang est t , alors la taille de l'Univers serait actuellement proche de $t - T_0$.

Cette éventualité est appuyée par la validité de la théorie de la relativité générale en ce qui concerne l'interaction du champ gravitationnel et des ondes électromagnétiques. L'influence de la force gravitationnelle sur les ondes a été confirmée par l'observation de plusieurs phénomènes naturels et par plusieurs expériences dont celle effectuée par Pound et Rebka. Cette influence est d'ailleurs reconfirmée par notre modèle puisque le champ gravitationnel "courbe" les géodésiques et contracte les distances. Si $X(t)$ décrit la trajectoire d'une onde électromagnétique dans un repère virtuel fixe, alors on a $\nabla_{X'(t)}^{g_t} X'(t) = 0$ et $\|X'(t)\|_{g_e} = c = 1$ conformément au premier postulat de la relativité restreinte d'Einstein tandis que l'on a $\|X'(t)\|_{g_t} < 1$ au sein d'un champ gravitationnel conséquent. Ainsi, bien que l'interprétation de l'expérience de Pound-Rebka est, selon notre modèle, différente de celle qui est acceptée généralement, elle montre bien l'existence de l'action de la force gravitationnelle sur le photon. En effet : D'après Pound et Rebka, si la gravitation ne cause pas un blueshift $\Delta_1 E = gL$ lorsque le photon γ se dirige vers la terre et si la température est réellement constante et le vide est absolu, alors on obtiendrait une résonance optimale pour un émetteur fixe. Le fait qu'une telle résonance est obtenue en variant la position de l'émetteur implique, selon eux, qu'il est nécessaire de provoquer un redshift $\Delta_0 E = -\beta E$, avec $\beta = \frac{v}{c}$ et le mouvement doit s'opérer vers le haut. Lorsque le photon est dirigé vers le haut, on devrait opérer un mouvement de l'émetteur toujours vers le haut pour provoquer un blueshift $\Delta_0 E = \beta E$ qui compenserait le redshift $\Delta_1 E = -gL$.

Notre interprétation coïncide en partie avec celle de Pound et Rebka. S'il n'y avait pas un blueshift (ou un redshift) gravitationnel $\Delta_1 E = gL$ et si la température est absolument constante et le vide absolu est parfaitement respecté, alors l'énergie du photon ne changerait pas et le phénomène de résonance optimale se produirait sans varier la position de l'émetteur. L'énergie E du photon serait, d'après notre modèle, constante et elle est donnée, pour n'importe quelle distance (dans ces mêmes conditions), par

$$E = h(t)f(t)$$

bien que $h(t)$ et $f(t)$ soient variables avec le temps. Cette quantité est égale aussi à $h_P f_D$ comme on l'a déjà signalé auparavant. En résumé E et f_D seraient constantes et Pound et Rebka n'auraient pas eu besoin de faire mouvoir la source. Par contre, si les deux conditions ci-dessus ne sont pas respectées, alors, même si le blueshift (ou le redshift) gravitationnel n'existait pas, on

aurait besoin de provoquer un décalage approprié dans les deux directions. Étant donné que tout laisse à croire que $\Delta_1 E = \pm gL$ existe, on a bel et bien besoin de provoquer un $\Delta_0 E$ adéquat. À position fixe, ceci pourrait être fourni, en cas de propagation vers la terre par les fluctuations de température et par le défaut du vide absolu, mais, dans le sens contraire, ceci ne peut pas se produire puisque les deux $\Delta_i E$ ($i = 0,1$) seraient de même signe. D'où la nécessité d'effectuer une correction $\Delta_0 E$ (qui serait nécessairement du type blueshift dans le cas où le sens de propagation est vers le haut) qui, d'après notre modèle, ne pouvait s'effectuer qu'à l'aide de fluctuations de vitesse (ou accélérations) ou de variations de distance. Cette dernière implique une variation de l'effet de température et du défaut du vide absolu.

Modélisation générale de l'Univers

Remarquons aussi que notre étude aurait pu être entièrement refaite en prenant comme point de départ l'Univers $U(t_0) = (B_e(O, R(t_0)), g_{t_0})$ pour t_0 quelconque pourvu que l'on ait des renseignements suffisants sur $U(t_0)$ et que l'on puisse remonter le temps jusqu'à cet instant privilégié tout en ayant des connaissances satisfaisantes sur les mécanismes du recul et de la progression de l'Univers dans le temps. Considérons, par exemple, l'Univers à un instant $t > 0$ comme étant réduit à la boule $B_e(O, R(t))$ munie de la métrique physique $g_t(X)$ pour $|X| \leq R(t)$ qui est déterminée par la distribution de l'énergie généralisée $E_t(X) = E(t, X)$. L'équation de la matière-énergie (E^*) qui est alors vérifiée sur $B_e(O, R(t))$ devient

$$\square E(t, X) = \frac{\partial^2 E}{\partial t^2}(t, X) - \Delta E(t, X) = 0$$

avec

$$E(t, X)|_{S_e(O, R(t))} = 0.$$

En ramenant la résolution de ce problème à celle du problème de Dirichlet sur la boule unité $B_e(O, 1)$ et en choisissant une valeur propre particulière μ , on obtient la solution pseudo-périodique

$$E_\mu(t, X) = (f_\mu(0) \cos \sqrt{\mu} \frac{t}{R(t)} + \frac{R(t)}{\sqrt{\mu}} f'_\mu(0) \sin \sqrt{\mu} \frac{t}{R(t)}) \psi_\mu\left(\frac{X}{R(t)}\right)$$

de pseudo-période $T_\mu(t) = 2\pi \frac{R(t)}{\sqrt{\mu}}$ et de pseudo-fréquence $f_\mu(t) = \frac{1}{2\pi} \frac{\sqrt{\mu}}{R(t)}$. Cette fonction vérifie, pour une trajectoire géodésique (relativement à g_t) quelconque $X(t)$ la relation

$$E(t) := E_\mu(t, X(t)) = h_\mu(t) f_\mu(t) =: h(t) f(t) = h_P f_D$$

où h_P est la constante de Planck et f_D est la fréquence de De Broglie. Toutes les formules déjà établies dans des contextes simplifiés peuvent être adaptées à ce contexte général où l'on considère l'Univers dynamique $U(t)$ comme étant modélisé, à tout instant t , par l'espace riemannien $(B_e(O, R(t)), g_t)$ où $R(t)$ est le rayon effectif de l'Univers et g_t est la métrique physique réelle qui est déterminée par la distribution matérielle, le temps et la température (ou la pression). Notons, qu'en définitive, $R(t)$ est égal à tout instant $t > 0$ à

$$R(t) = R(t_0) + k(t)(t - t_0)$$

pour un t_0 quelconque avec $k(t) \sim 1$ pour $t \gg 1$, $k(t)$ est croissante et

$$\lim_{t \rightarrow +\infty} k(t) = 1.$$

Tout ceci nous conduit à penser que le demi-cône de l'espace et du temps a plutôt la forme esquissée à la figure 10, à moins que la vitesse de propagation des ondes électromagnétiques et celle de l'expansion de l'espace ont été depuis toujours égales à 1, auquel cas le demi-cône de l'espace et du temps serait bel et bien représenté par la figure 3.

Signalons enfin que notre démarche progressive a été délibérément (et subjectivement) choisie et maintenue pour éviter les complications qui pourraient résulter de la multitude des facteurs entrant en jeu dans la construction de ce modèle et pour y arriver le plus simplement et le plus clairement possible tout en ayant conscience qu'il y a énormément de points à détailler, à préciser, à élucider, à ajouter et à découvrir.

10 La relativité générale revue et simplifiée

Dans ce paragraphe, on va montrer que notre Univers dynamique est globalement décrit par la théorie de la relativité générale réadaptée à notre modèle. Une fois cette réadaptation effectuée, un grand nombre de problèmes relevant de la Physique théorique et de la Cosmologie (entre autres) seront posés sans équivoque et pourront être résolus d'une façon plus précise, plus claire et plus simple.

Préliminaires

Notre étude sera ici essentiellement basée sur les résultats établis dans les paragraphes précédents d'une part et sur ceux exposés dans le grand classique de la relativité générale de R. Wald : "General Relativity".

Rappelons que, dans le cadre de notre modélisation, l'aspect dynamique de notre Univers (qui est en expansion permanente à une vitesse avoisinant la vitesse de la lumière dans le vide) est caractérisé par le demi - cône de l'espace - temps :

$$C = \{(x, y, z, t); x^2 + y^2 + z^2 \leq t^2, t > 0\} = \bigcup_{t>0} B(O, t) \times \{t\}$$

muni de la métrique riemannienne

$$h = dt^2 - g_t.$$

Ici g_t est la métrique riemannienne régularisée définie, à tout instant t , sur l'Univers assimilé à la boule $B(O, t)$ qui reflète, à l'instant t , la consistance physique de l'Univers. Cette consistance est décrite entièrement par la distribution $E_t(X)$ de l'énergie généralisée, sur $B(O, t)$, qui englobe la distribution matérielle $m_t(X)$ ainsi que toutes les manifestations de la matière - énergie (gravité, électromagnétisme, phénomènes thermodynamiques...).

L'Univers dynamique sera donc représenté, à chaque instant t_0 , par l'hyper-surface intersection de ce demi - cône de \mathbb{R}^4 avec l'hyperplan de \mathbb{R}^4 d'équation $t = t_0$; cet hypersurface sera noté Σ_{t_0} et C sera noté M .

Ainsi, il est clair que dans le cadre de notre modèle, Σ_{t_0} est une surface de Cauchy compacte et que notre variété de l'espace - temps (M, h_{ab}) est stablement causale, globalement hyperbolique et asymptotiquement plate. Le champ de vecteur $(\frac{\partial}{\partial t})^a$ sur M est orthogonal à toutes les hypersurfaces Σ_t . Ces propriétés vont simplifier énormément les bases de la théorie de la relativité générale ainsi que son utilisation pour expliquer l'Univers dynamique.

Équations tensorielles d'Einstein - Formulation lagrangienne

Notre point de départ est l'équation

$${}^{(3)}G_{ab}(t) := {}^{(3)}R_{ab}(t) - \frac{1}{2} {}^{(3)}R {}^{(3)}g_{ab}(t) =: {}^{(3)}T_{ab}^*(t) \quad (25)$$

définie sur $(B(O,t),g_t)$, où ${}^{(3)}R_{ab}$ et ${}^{(3)}R$ désignent respectivement la courbure de Ricci et la courbure scalaire associées à la métrique g_t . Le tenseur ${}^{(3)}T_{ab}^*(t)$ est le tenseur de la matière - énergie décrivant à tout instant $t > 0$ la consistance physique de l'Univers liée à l'existence même de la matière - énergie en évolution permanente remplissant l'espace géométrique vide $B(O,t)$. Conformément à notre définition, la relation ${}^{(3)}T_{ab}^*(t) \equiv 0$ sur un domaine $D \subset B(O,t)$ est équivalente au fait que le domaine D est absolument vide (i.e. D est quasiment à l'abri de toutes les manifestations et effets de la matière - énergie) et par suite on a alors

$$g_{ab}(t) \equiv g_e \quad \text{sur } D.$$

Ensuite, on considère, sur (M, h_{ab}) l'équation d'Einstein :

$${}^{(4)}G_{ab} := {}^{(4)}R_{ab} - \frac{1}{2} {}^{(4)}R h_{ab} = {}^{(4)}T_{ab}^* \quad (26)$$

où ${}^{(4)}R_{ab}$ et ${}^{(4)}R$ désignent respectivement les courbures associés à h_{ab} sur M et ${}^{(4)}T_{ab}^*$ est (à une constante près) le tenseur de stress-énergie généralisé d'Einstein. Ainsi, avec ces notations on a :

$${}^{(3)}T_{ab}^* = 0 \Rightarrow g_t = g_e \Rightarrow h = dt^2 - g_e = \eta_{ab}$$

où η_{ab} est, à un signe près, la métrique plate de Minkowski sur le demi - cône C et on a alors ${}^{(4)}T_{ab}^* = 0$.

Notons que notre variété d'espace - temps M évolue avec le temps. À tout instant t_0 , on a

$$M = C(t_0) = \{(x, y, z, t); x^2 + y^2 + z^2 \leq t^2, 0 < t \leq t_0\}.$$

Dans la suite on va utiliser intensivement les résultats mentionnés dans ([4]) par souci d'une très appréciable économie. Ainsi, pour plus de facilité et de clarté, on va modifier légèrement nos notations pour se conformer à celles utilisées dans cette même référence. Par conséquent, notre métrique sur l'espace-temps en évolution $M = C(t)$ sera notée ${}^{(4)}g_{ab}$. Elle désignera une métrique de signature lorentzienne et on a

$${}^{(4)}g_{ab} = -dt^2 + {}^{(4)}h_{ab}$$

où ${}^{(4)}h_{ab}$ désigne ici la métrique induite par ${}^{(4)}g_{ab}$ sur Σ_t de telle sorte que notre métrique physique sur l'Univers $B(O,t)$, précédemment notée g_t , s'identifiera à la métrique ${}^{(3)}h_{ab}$ obtenue par la restriction de ${}^{(4)}h_{ab}$ sur Σ_t .

On est maintenant prêt à obtenir les formulations lagrangienne et hamiltonienne adéquates adaptées au nouveau contexte dans lequel on traite la théorie de la relativité générale qui correspondra réellement à la loi générale de notre Univers dynamique. Évidemment cette loi correspond en fait à une idéalisation de notre Univers réel par l'intermédiaire de la régularisation de la métrique g_t sur $B(O,t)$. En effet, la métrique réelle est loin d'être de classe C^2 à cause des singularités se réduisant essentiellement aux trous noirs. Compte tenu de ces adaptations, nos deux équations (26) et (25) s'écrivent :

$${}^{(4)}R_{ab} - \frac{1}{2} {}^{(4)}R {}^{(4)}g_{ab} = {}^{(4)}T_{ab}^* \quad (E)$$

et

$${}^{(3)}R_{ab} - \frac{1}{2} {}^{(3)}R {}^{(3)}h_{ab} = {}^{(3)}T_{ab}^* \quad (E^*)$$

avec

$${}^{(3)}T_{ab}^* = 0 \Leftrightarrow {}^{(3)}h_{ab} = {}^{(3)}g_e \Leftrightarrow {}^{(4)}g_{ab} = \eta_{ab}$$

où η_{ab} est la métrique de Minkowski.

Ainsi, $B(O,t)$ est l'espace virtuel vide dans lequel vit notre Univers physique réel et $C(t)$ est l'espace virtuel dans lequel évolue l'Univers dynamique conformément à la théorie de l'expansion de l'Univers.

En utilisant une base orthonormée pour la métrique riemannienne g_{ab} , l'équation (E) implique

$${}^{(4)}R = - {}^{(4)}T^* := - {}^{(4)}T_a^{*a}$$

et l'équation (E*) implique

$${}^{(3)}R = -2 {}^{(3)}T^* := -2 {}^{(3)}T_a^{*a}.$$

Ainsi la forme volume ${}^{(3)}\varepsilon_{abc} = : {}^{(3)}\varepsilon$ associée à ${}^{(3)}h_{ab}$ n'est autre que $\sqrt{h}e_{abc}$ où $e_{abc} = : {}^{(3)}e$ est la forme volume canonique (euclidien) de \mathbb{R}^3 ; la forme volume $\varepsilon_{abcd} = : {}^{(4)}\varepsilon$ associée à ${}^{(4)}g_{ab}$ n'est autre que $\sqrt{-g}e_{abcd} = \sqrt{h}e_{abcd}$, où $e_{abcd} = : {}^{(4)}e$ est la forme volume canonique associée à l'espace de Minkowski (ici, g et h sont respectivement les déterminants des matrices associées à g_{ab} et h_{ab} lorsqu'elles sont écrites à l'aide des bases canoniques de \mathbb{R}^4 et \mathbb{R}^3), et on a

$${}^{(3)}\varepsilon = i_{\frac{\partial}{\partial t}} {}^{(4)}\varepsilon \quad (\text{produit intérieur})$$

puisque, dans le cadre de notre modèle, le champ de vecteur unitaire orthogonal aux hypersurfaces Σ_t n'est autre que $\vec{n} = (\frac{\partial}{\partial t})^a$. Signalons aussi que

la fonction caractérisant le flot du temps n'est autre que la quatrième coordonnée t puisque, dans notre modèle, la notion relativiste du temps propre n'a pas d'existence.

Ainsi, suivant R.Wald, l'action de Hilbert associée à l'équation d'Einstein dans le vide :

$${}^{(4)}R_{ab} - \frac{1}{2} {}^{(4)}R {}^{(4)}g_{ab} = 0 \quad (E_0)$$

sera donnée par

$$S_G [g^{ab}] = \int_M \mathcal{L}_G {}^{(4)}e$$

où

$$\mathcal{L}_G = \sqrt{-g} {}^{(4)}R = \sqrt{h} {}^{(4)}R.$$

On a alors (pour une famille à un paramètre $(g_{ab})_\lambda$ ([4], E.1.18)) :

$$\frac{dS_G}{d\lambda} = \int \frac{d\mathcal{L}_G}{d\lambda} {}^{(4)}e = \int \nabla^a v_a \sqrt{-g} {}^{(4)}e + \int (R_{ab} - \frac{1}{2} R g_{ab}) \delta g^{ab} \sqrt{-g} {}^{(4)}e$$

où $\delta g_{ab} = \frac{d(g_{ab})_\lambda}{d\lambda}|_{\lambda=0}$ et $v_a = \nabla^b(\delta g_{ab}) - g^{cd}\nabla_a(\delta g_{cd})$; et, en négligeant le premier terme du second membre, on a (E.1.19) :

$$\frac{\delta S_G}{\delta g^{ab}} = \sqrt{-g} (R_{ab} - \frac{1}{2} R g_{ab}).$$

Mais, en tenant compte de la contribution du terme provenant de la frontière, l'action réelle devrait être modifiée pour devenir

$$S'_G = S_G + 2 \int_{\dot{U}} K.$$

Ici, \dot{U} est la frontière de la partie du demi - cône de l'espace - temps comprise entre les deux hypersurfaces de Cauchy Σ_{t_1} et Σ_{t_2} avec $0 < t_1 < t_2$.

Le second terme est l'intégrale, sur la frontière de U , de la courbure scalaire induite par la métrique g_{ab} sur les trois hypersurfaces Σ_{t_1} , Σ_{t_2} et celle constituée par la frontière latérale. Sur cette dernière la courbure est nulle et l'action S'_G s'écrit

$$S'_G = S_G + 2 \int_{\Sigma_{t_2}} K {}^{(3)}\varepsilon - 2 \int_{\Sigma_{t_1}} K {}^{(3)}\varepsilon.$$

Rappelons que K est ici (E.1.39)

$$K = K^a_a = h^a_b \nabla_a \left(\frac{\partial}{\partial t} \right)^b$$

où

$$K_{ab} = \frac{1}{2} \mathcal{L}_{\frac{\partial}{\partial t}} g_{ab} = \frac{1}{2} \mathcal{L}_{\frac{\partial}{\partial t}} h_{ab} = \frac{1}{2} \dot{h}_{ab}$$

est la courbure extrinsèque des hypersurfaces Σ_t (c.f. 9.3.19 et 9.3.20). Ceci implique que la courbure scalaire extrinsèque sur Σ_t n'est autre que

$$K = \frac{1}{2} \dot{h} = \frac{1}{2} \dot{g} \quad (K(t) = \frac{1}{2} \dot{h}(t) = \frac{1}{2} \dot{g}(t))$$

\dot{h} et \dot{g} étant la trace commune de ${}^{(4)}\dot{h}_{ab} = {}^{(4)}\dot{g}_{ab}$ et de ${}^{(3)}\dot{h}_{ab}$.

Formulation hamiltonienne

Passons maintenant à la formulation Hamiltonienne associée à l'équation (E_0). En utilisant les notations de [4], on constate que dans le cadre de notre modèle, on a :

$$N = 1 \quad (\text{La fonction lapse est } 1)$$

et

$$N^a = 0 \quad (\text{Il n'y a pas de "shift vector"})$$

ainsi que ((E.2.28) et (E.2.29))

$${}^{(4)}R_{ab} \left(\frac{\partial}{\partial t}\right)^a \left(\frac{\partial}{\partial t}\right)^b = K^2 - K_{ac} K^{ac}$$

$$\mathcal{L}_G = \sqrt{h} ({}^{(3)}R + K_{ab} K^{ab} - K^2)$$

avec toujours :

$$K_{ab} = \frac{1}{2} \dot{h}_{ab} .$$

En définissant le "momentum" canoniquement conjugué à h_{ab} par ((E.2.31))

$$\Pi^{ab} = \frac{\partial \mathcal{L}_G}{\partial \dot{h}_{ab}} = \sqrt{h} (K^{ab} - K h^{ab})$$

et l'espace de configuration comme étant l'ensemble des métriques riemanniennes h_{ab} sur Σ_t , on définit la densité hamiltonienne par ((E.2.32))

$$\mathcal{H}_G = \Pi^{ab} \dot{h}_{ab} - \mathcal{L}_G$$

$$= \sqrt{h}(-{}^{(3)}R + \frac{1}{h}\Pi^{ab}\Pi_{ab} - \frac{1}{2}h\Pi^2)$$

où

$$\Pi = \Pi_a^a .$$

Le hamiltonien sera la fonction définie, pour tout Σ_t , par

$$H(g_{ab}, \Pi^{ab}) = \int_{\Sigma_t} \mathcal{H}_G {}^{(3)}\varepsilon.$$

La formulation hamiltonienne résultant d'une variation de h_{ab} avec $\delta h_{ab} = 0$ sur les Σ_t est équivalente à (E_0) . Les h_{ab} étant asymptotiquement plates, les solutions de (E_0) sont les solutions du système hamiltonien, libre de toute contrainte, suivant :

$$\begin{aligned} \dot{h}_{ab} &= \frac{\delta H_G}{\delta \Pi^{ab}} = \frac{2}{\sqrt{h}}(\Pi_{ab} - \frac{1}{2}\Pi h_{ab}) \\ \dot{\Pi}^{ab} &= -\frac{\delta H_G}{\delta h_{ab}} = -\sqrt{h}({}^{(3)}R_{ab} - \frac{1}{2}{}^{(3)}R h^{ab}) \\ &\quad + \frac{1}{2}\frac{1}{\sqrt{h}}h^{ab}(\Pi_{cd}\Pi^{cd} - \frac{1}{2}\Pi^2) \\ &\quad - \frac{2}{\sqrt{h}}(\Pi^{ac}\Pi_c^b - \frac{1}{2}\Pi\Pi^{ab}). \end{aligned}$$

Ce système se réduit, dans le cadre de notre modèle, à six équations à six inconnues indépendantes. Une solution h_{ab} de ce système n'est autre que notre métrique g_t , définie sur $B(O,t)$, dans le cas (virtuel) où le tenseur ${}^{(3)}G_{ab}^* = {}^{(3)}T_{ab}^*$ décrit uniquement l'effet de la gravité.

Remarque : Les deux contraintes (E.2.33) et (E.2.34) qui proviennent de la variation de H_G par rapport à N et N_a (la contrainte (E.2.34) pouvant être contournée en utilisant les super-espaces de wheeler) n'ont pas d'existence dans le cadre de notre modèle. Elles constituent en fait l'héritage de la relativité spéciale au sein de celle de la relativité générale standard. D'ailleurs même pour cette dernière, N et N_a ne constituent pas des vraies variables dynamiques (voir [4]).

Pour intégrer les autres effets de la distribution de la matière - énergie dans l'Univers dans une formulation lagrangienne, on doit considérer une densité lagrangienne \mathcal{L} donnée par

$$\mathcal{L} = \mathcal{L}_G + \mathcal{L}_M.$$

Cette densité détermine une action

$$S = S_G + S_M$$

dont l'extrémisation équivaut à la résolution de l'équation (E). Dans le cas particulier d'un couplage du champ gravitationnel avec un champ scalaire de Klein-Gordon, \mathcal{L} , \mathcal{L}_G , \mathcal{L}_{KG} , T_{ab}^{KG} et S_{KG} sont explicitement donnés et reliés entre eux à l'aide des relations (E.1.22) et (E.1.24) - (E.1.26) de [4]. Pour le couplage Einstein - Maxwell, on peut se référer aux relations (E.1.23) - (E.1.26).

Plus généralement, l'Univers physique (idéalisé) est caractérisé, d'une façon équivalente, par :

1. La distribution $E_t(X)$ de la matière - énergie, pour (t, X) vérifiant $t > 0$ et $X \in B(O, t)$.

2. Le tenseur ${}^{(3)}T_{ab}^*$ sur $B(O, t)$ pour $t > 0$.

3. La métrique riemannienne g_t définie, pour tout $t > 0$, sur $B(O, t)$ et vérifiant

$${}^{(3)}R_{ab} - \frac{1}{2} {}^{(3)}R g_t = {}^{(3)}T_{ab}^*.$$

4. La distribution $E(t, X)$ définie sur C par $E(t, X) = E_t(X)$ pour $t > 0$ et $X \in \Sigma_t$.

5. La métrique g_{ab} définie sur C par

$$g_{ab} = -dt^2 + {}^{(4)}h_{ab}$$

où

$${}^{(4)}h_{ab}\left(\frac{\partial}{\partial t}, \frac{\partial}{\partial t}\right) = 0 \quad , \quad {}^{(4)}h_{ab}\left(\frac{\partial}{\partial t}, \frac{\partial}{\partial x_i}\right) = 0 \quad \text{pour } i = 1, 2, 3$$

et

$${}^{(3)}h_{ab} = g_t \quad \text{sur } \Sigma_t = B(O, t) \times \{t\}.$$

6. Le tenseur de stress - énergie d'Einstein ${}^{(4)}T_{ab}$ vérifiant

$${}^{(4)}R_{ab} - \frac{1}{2} {}^{(4)}R g_{ab} = 8\pi {}^{(4)}T_{ab}.$$

7. La densité lagrangienne

$$\mathcal{L} = \mathcal{L}_G + \mathcal{L}_M$$

où

$$\mathcal{L}_G = \sqrt{-g} {}^{(4)}R$$

et \mathcal{L}_M est la densité lagrangienne associée à l'ensemble des champs autre que le champ gravitationnel de sorte que l'extrémisation de l'action

$$S'_G = S_G + 2 \int_{\Sigma_t} K - 2 \int_{\Sigma_{t_0}} K$$

par rapport aux variations vérifiant $\delta g_{ab} = 0$ ou $\delta h_{ab} = 0$ sur les Σ_t donne les solutions des équations (E) et (E^*) .

8. La densité hamiltonienne \mathcal{H} et le hamiltonien $H = \int_{\Sigma_t} \mathcal{H}$ définis à partir du lagrangien \mathcal{L} par

$$\mathcal{H} = \Pi^{ab} \dot{h}_{ab} - \mathcal{L}$$

où

$$\Pi^{ab} = \frac{\partial \mathcal{L}}{\partial \dot{h}_{ab}};$$

h_{ab} est alors la solution du système hamiltonien

$$\begin{aligned} \dot{h}_{ab} &= \frac{\delta H}{\delta \Pi^{ab}} \\ \dot{\Pi}^{ab} &= -\frac{\delta H}{\delta h_{ab}}. \end{aligned}$$

Aspects généraux de la solution

Ainsi, on obtient, dans le cadre de notre modèle, une solution idéalisée déterministe. Notre espace - temps sera, pour tout $t > 0$, $(C(t), {}^{(4)}g_{ab})$ constitué par le développement de Cauchy maximal associé aux conditions initiales

$${}^{(3)}h_{ab}(t_0) \quad \text{et} \quad \frac{1}{2} {}^{(3)}\dot{h}_{ab}(t_0)$$

définies sur une surface de Cauchy quelconque Σ_{t_0} de $C(t)$ avec $t_0 < t$ de sorte que la métrique riemannienne ${}^{(3)}h_{ab}(t_0)$ sur Σ_{t_0} s'identifie à la métrique physique (des paragraphes précédents) g_{t_0} sur $B(O, t_0)$ et que le tenseur

$\frac{1}{2} {}^{(3)}\dot{h}_{ab}(t_0) = \frac{1}{2} (g_{i_0})_{ab}$ ne soit autre que le tenseur de courbure extrinsèque de l'hypersurface Σ_{t_0} dans l'espace - temps $(C(t), {}^{(4)}g_{ab})$.

Cette solution pourrait être assez proche de la vraie métrique réelle sur un intervalle de temps d'autant plus étendu que l'approximation et la régularisation des conditions initiales ${}^{(3)}h_{ab}(t_0)$ et $K_{ab}(t_0)$ sur Σ_{t_0} soient proches de la réalité physique de notre Univers à l'instant t_0 . Une réactualisation permanente, basée sur l'élargissement de la banque de données disponibles et de son affinement, est nécessaire.

Notre modèle contient le juste nombre de degré de liberté et ne comporte pas la notion de liberté de jauge ("gauge freedom").

En effet, la nature physique de l'Univers le force (grâce à la constance de la vitesse de propagation électromagnétique et à son caractère isotropique) à exister, à tout instant t , sous la forme d'une boule de rayon euclidien t et à évoluer sous la forme du demi - cône d'espace - temps C . Ceci oblige tout difféomorphisme-jauge ψ à transformer le demi - cône $C(t)$ en un demi - cône $C(t')$ et à être de la forme $\psi = (t, \varphi_t)$ où φ_t est un difféomorphisme de $B(O,t)$ sur $B(O,t')$ vérifiant $g_t = \varphi_t^* g_{t'}$. Ceci revient tout simplement à un changement d'échelle purement conventionnel, à moins que ψ ne soit une transformation isométrique de C dans \mathbb{R}^4 et φ ne soit une transformation isométrique de $B(O,t)$ dans \mathbb{R}^3 ; ce qui constitue en fait des difféomorphismes-jauges triviaux i.e. vérifiant

$$\psi^* g_{ab} = g_{ab} \quad \text{et} \quad \varphi_t^* g_t = g_t.$$

Remarques

Conformément à notre modèle, on peut affirmer les propriétés suivantes :

1. La métrique physique réelle ne peut pas être globalement obtenue par le procédé de linéarisation : La perturbation de la métrique de Minkowski dans C et de la métrique euclidienne dans $B(O,t)$ dues aux effets de la matière - énergie sont loin d'être "petites" surtout autour des trous noirs.

2. Notre Univers n'est évidemment ni homogène ni isotropique. Il existe bel et bien une foliation $(\Sigma_t)_{t>0}$ de l'espace - temps, mais, pour p et $q \in \Sigma_t$ arbitraires, il ne peut pas exister une isométrie de Σ_t transformant p en q . De même, il n'existe pas forcément une isométrie de C laissant p fixe et transformant un vecteur spacial unitaire en p en un autre vecteur ayant ces mêmes propriétés. Par conséquent, notre modèle est totalement différent des deux cas du modèle de Robertson-Walker correspondant à $K = \pm 1$ bien qu'il est, en cas d'extrême idéalisation, très proche du cas correspondant à $K = 0$

de ce même modèle. En effet, la métrique correspondant à ce dernier cas se réduit, dans le cadre de notre modèle, à

$${}^{(4)}g = -dt^2 + a^2(t)(dx^2 + dy^2 + dz^2)$$

où $dx^2 + dy^2 + dz^2$ est la restriction de la métrique euclidienne de \mathbb{R}^3 à la boule $B(O, R(t))$ qui est, faut-il le rappeler, en expansion permanente.

Par ailleurs, les équations d'évolution pour la Cosmologie homogène isotropique s'écrivent en supposant $c = 1$ et $G = 1$ (c.f.(5.2.14) et (5.2.15) de [4])

$$3\frac{\dot{a}^2}{a^2} = 8\pi\rho - \frac{3K}{a^2}$$

et

$$3\frac{\ddot{a}}{a} = -4\pi(\rho + 3P),$$

où K est le paramètre de courbure (qui est ici, contrairement à notre modèle, une constante), ρ est la densité moyenne de la matière dans l'Univers et P est la pression moyenne associée aux radiations thermiques remplissant l'Univers qui constituent ensemble le tenseur de stress - énergie d'Einstein. Ceci implique (5.2.18)

$$\dot{\rho} + 3(\rho + P)\frac{\dot{a}}{a} = 0$$

qui, pour le modèle poussière standard ($P = 0$) conduit à

$$\rho_m a^3 = cte,$$

(où ρ_m est la densité moyenne de la matière dans le cadre de ce modèle) et, pour le modèle radiation standard ($P = \frac{\rho}{3}$), conduit à

$$\rho_r a^4 = cte$$

(où ρ_r est la densité moyenne des radiations dans le cadre de ce dernier modèle).

Ainsi, on a, pour le modèle poussière standard (5.2.21) :

$$\dot{a}^2 - \frac{C}{a} = 0 \quad \text{avec} \quad C = \frac{8}{3}\pi\rho a^3$$

et, pour le modèle radiation standard, on a (5.2.22) :

$$\dot{a}^2 - \frac{C'}{a} = 0 \quad \text{avec} \quad C' = \frac{8}{3}\pi\rho a^4.$$

Dans le premier cas, qui correspondrait à notre Univers actuel, on a ([4], Table 5.1)

$$a(t) = \left(\frac{9C}{4}\right)^{\frac{1}{3}} t^{\frac{2}{3}}$$

et dans le second, qui correspondrait au tout début de la formation de l'Univers juste après le Big Bang, on a ((5.4.1) et (5.4.2)) :

$$a(t) = (4C')^{\frac{1}{4}} t^{\frac{1}{2}}$$

et

$$\rho_r(t) = \frac{3}{32\pi G t^2}.$$

Par suite, en utilisant la Mécanique quantique statistique, on trouve que, pour t infiniment petit, la température T de l'Univers est proportionnelle à $\rho_r^{\frac{1}{4}}$ et à $\frac{1}{a}$.

D'un autre côté, on a, conformément à notre modèle, après une simplification grossière (dans le cadre d'une Cosmologie homogène et isotropique de l'Univers naissant) :

$$g_t = a^2(t)(dx^2 + dy^2 + dz^2)$$

sur $B(O, R(t))$, ce qui implique

$$\int_{B(O, R(t))} dv_{g_t} = \int_{B(O, R(t))} a^3(t) dv_{g_e} = \int_{B(O, R(t))} dX - E = \frac{4\pi R^3(t)}{3} - E$$

où E est l'énergie totale de l'Univers. Ceci nous permet, à titre d'exemple, de calculer C' en fonction de E et $R(t)$ pour $t \ll 1$ et en fonction de E et de t lorsqu'on suppose $R(t) \simeq t$.

De même, on pourrait aussi avoir des renseignements sur le facteur (i.e. la constante dépendante du temps) de Hubble $H(t) = \frac{\dot{a}}{a}$.

3. L'Univers n'est pas sphériquement symétrique ni axisymétrique. Par conséquent, la solution de Schwarzschild n'est qu'une idéalisation de l'Univers le réduisant à un champ gravitationnel résultant d'un noyau matériel sphérique et statique.

4. L'Univers n'est pas stationnaire. Le champ de vecteur de la translation du temps $(\frac{\partial}{\partial t})^a$ n'est pas un champ de vecteur de Killing. L'Univers n'est pas statique non plus bien que la famille \sum_t est orthogonale à $(\frac{\partial}{\partial t})^a$ et que l'on a

$$g_{ab} = -dt^2 + h_{ab}$$

Néanmoins, un grand nombre de résultats obtenus à partir de tels hypothèses, réductions et idéalizations restent, qualitativement et quantitativement, plus ou moins valables que ce soit localement ou globalement. Ceci est particulièrement vrai pour les résultats obtenus à l'aide de ce qui est qualifié comme limite newtonienne ou Cosmologie homogène ainsi que leurs conséquences sur certains aspects concernant l'évolution de l'Univers et sa structure causale. Il en est de même pour certaines conséquences de l'extension de Kruskal de la solution de Schwarzschild concernant les trous noirs stationnaires dans le vide et les trous noirs chargés de Kerr, associés à l'équation d'Einstein - Maxwell, ainsi que les propriétés, qualifiées de thermodynamiques, des trous noirs.

5. **(La constante cosmologique)** Lorsqu'on écrit l'équation d'Einstein en y incorporant une constante cosmologique non nulle, on obtient

$$R_{ab} - \frac{1}{2}Rg_{ab} = 8\pi T_{ab} - \Lambda g_{ab}.$$

L'équation d'Einstein dans le vide devient

$$R_{ab} - \frac{1}{2}Rg_{ab} = -\Lambda g_{ab}$$

qui, par contraction, donne

$$R = 4\Lambda$$

ce qui montre que la courbure de g_{ab} dans le vide d'Einstein (caractérisé par $\rho = 0$ et $T_{ab} = 0$) est non nulle.

Or, dans le cadre de notre modèle, l'identité $T_{ab}^* = 0$ implique $T_{ab} = 0$ mais la réciproque n'est pas vraie. Cette comparaison montre que notre condition $T_{ab}^* = 0$ (et alors ${}^{(3)}T_{ab} = 0$ et $g_t = g_e$) est une condition très restrictive et idéaliste. Elle correspond à une région de vide absolu dans $B(O, t)$ dont l'existence est très improbable. La constante Λ ne fait que refléter, dans le contexte de notre cosmologie, l'influence de la matière cosmique et de la gravité et des radiations cosmiques dans les régions dépourvues de matière et qui ne sont pas sous l'influence directe d'un champ gravitationnel ou électromagnétique, i.e. les régions de $B(O, t)$ caractérisées par

$${}^{(3)}T_{ab}^* = \Lambda g_e.$$

Notre équation tensorielle du champ y sera alors

$${}^{(3)}R_{ab} - \frac{1}{2}{}^{(3)}Rg_t = \Lambda g_e,$$

À dépendant probablement de la région en question et du temps.

Pourtant, un travail gigantesque et assidu reste à faire pour traiter ces grands sujets. On peut parler aussi à propos des modifications qu'il faut effectuer en ce qui concerne le modèle cosmologique d'Einstein - de Sitter - Friedmann pour l'adapter à notre modélisation. Tout ceci nécessite l'abandon de quelques postulats et principes erronés et non justifiés et d'adapter le tout à la réalité de l'expansion dynamique de notre Univers qui, bien qu'il est de plus en plus immense, il est perpétuellement fini. Ajoutons aussi que notre modèle dynamique ouvre la voie à l'établissement d'une théorie quantique de la relativité générale en la libérant des contraintes inutiles précédemment imposées sur le système hamiltonien décrivant l'évolution dynamique de l'Univers en même temps que des contraintes imposées aux conditions initiales, conduisant ainsi à bien poser le problème de la relativité générale en terme d'une formulation avec conditions initiales clairement et simplement définie.

11 Introduction à une Cosmologie révisée

Dans ce paragraphe, on va adapter la cosmologie homogène et isotropique d'Einstein - Friedmann - Hubble - de Sitter à notre modèle pour préciser quelques résultats approximatifs qui ont été établis mi - théoriquement, mi - expérimentalement sans être rigoureusement démontrés.

L'Univers physique réel étant assimilé, à tout instant $t \gg 0$, à l'espace riemannien $U(t) = (B(O,t), g_t)$ (voir [1]), on va adopter le modèle cosmologique macroscopique global réduisant l'Univers actuel à une poussière de galaxies distribuée d'une façon homogène isotropique dans la boule $B(O, t)$, bien que ceci ne soit pas tout à fait exact. On va donc suivre les travaux de Hubble et de Friedmann (voir [2]) en posant

$$r = r_0 R(t)$$

où $R(t)$ désigne ici le paramètre d'expansion. Cette équation s'écrit, dans le cadre de notre modèle :

$$ct = ct_0 R(t)$$

où c est la vitesse de la lumière dans le vide. Ceci implique

$$R(t) = \frac{t}{t_0}.$$

On a alors

$$\frac{dR}{dt} = \frac{1}{t_0}$$

et

$$H := \frac{\frac{dR}{dt}}{R} = \frac{1}{t}.$$

Ceci conduit à l'équation de Friedmann

$$\left(\frac{dR}{dt}\right)^2 = \frac{8\pi G\rho R^2}{3c^2} - K(t) \quad (27)$$

où $K(t)$ désigne le paramètre de courbure (dépendant du temps) associé à la courbure de l'espace causée par la distribution matérielle dans l'espace et caractérisée par la métrique riemannienne g_t . Ceci est possible grâce à notre hypothèse d'homogénéité et d'isotropie qui est valable dans la mesure où il s'agit d'établir des résultats macroscopiques généraux.

Remarque : Dans notre modèle, le paramètre de courbure qui figure dans l'équation de Friedmann ([2], 19.58)

$$\left(\frac{dR}{dt}\right)^2 = \frac{8\pi G\rho R^2}{3c^2} - K$$

dépend du temps (ainsi que la constante gravitationnelle G). Le fait de considérer K comme étant une constante absolue (i.e. indépendante du temps), comme Friedmann et la plupart des cosmologistes l'on fait, conduit à des contradictions flagrantes. En effet, pour établir cette équation, Friedmann a considéré une boule de l'Univers de rayon $r =: r_0 R(t)$ de masse M et une galaxie située sur la sphère correspondante de masse m pour aboutir à la relation ([2]. 19.56)

$$E = -\frac{Kmr_0^2}{2}$$

Or, la constante K introduite ici dépend nécessairement de l'instant arbitrairement choisie t_0 (i.e. $K = K(t_0)$).

Sinon, le fait de privilégier un autre instant $t_1 \neq t_0$, auquel il correspond un autre rayon $r_1 \neq r_0$, et en procédant de la même manière, on arrive à la relation

$$E = -\frac{Kmr_1^2}{2}$$

qui, au cas où K est une constante absolue, contredit le principe de la conservation de l'énergie (de la galaxie).

Par ailleurs, le fait de considérer K et G comme étant des constantes absolues conduit à une contradiction entre l'équation de Friedmann ci-dessus et

le deuxième principe cosmologique qui stipule que la vitesse relative des galaxies est proportionnelle à la distance relative les séparant. En effet $\frac{dR}{dt}$ étant proportionnel à $\frac{dr}{dt} = v_r$ et ρ étant proportionnel à $\frac{1}{R^3}$, alors cette équation implique que $\frac{dR}{dt}$ décroît en fonction de R comme $\frac{\alpha}{\sqrt{R}}$ et par suite que v_r décroît comme $\frac{\beta}{\sqrt{r}}$. De même, les relations (19.66) et (19.67) de [2] i.e.

$$\frac{dR}{dt} = \sqrt{\frac{8\pi G\rho_c}{3c^2}} R^{-\frac{1}{2}}$$

où ρ_c est la densité critique (19.65) et

$$R = \left(\frac{3}{2}\right)^{\frac{2}{3}} \left(\frac{8\pi G\rho_c}{3c^2}\right)^{\frac{1}{3}} t^{\frac{2}{3}}$$

montre clairement la défaillance du modèle d'Einstein - de Sitter - Friedmann. En effet, ces relations impliquent

$$\frac{dr}{dt} \propto \frac{dR}{dt} \propto \frac{1}{R^{\frac{1}{2}}} \propto \frac{1}{t^{\frac{1}{3}}}$$

qui montre que r croît avec le temps tandis que $v_r = \frac{dr}{dt}$ décroît.

Ainsi, l'équation (27) s'écrit :

$$\begin{aligned} \frac{1}{t_0^2} &= \frac{8\pi G}{3} \frac{E}{\frac{4\pi c^3 t^3}{3}} \times \frac{R^2}{c^2} - K \\ &= \frac{2GE}{c^5 t^3} R^2 - K = \frac{2GE}{c^5 t} - K. \end{aligned}$$

On en déduit

$$1 = \frac{2GE}{c^5 t} - K t_0^2$$

D'où

$$\frac{2GE}{c^5 t} = 1 + K t_0^2$$

et

$$E = \frac{c^5 t (1 + K t_0^2)}{2G} \equiv \frac{c^5 (t_0 + K_0 t_0^3)}{2G_0} = \frac{c^5 C_0}{2G_0} \quad (28)$$

où G_0 est la constante gravitationnelle calculée à l'instant t_0 et

$$C_0 := t_0 + K_0 t_0^3 = \frac{2G_0 E}{c^5}. \quad (29)$$

De plus on peut écrire dans un intervalle de temps significatif autour de t_0

$$t(1 + Kt_0^2) \equiv C_0$$

En dérivant l'expression $t(1 + Kt_0^2)$, on obtient

$$1 + Kt_0^2 + t_0^2 t K' = 0$$

D'où

$$(K + K't)t_0^2 = -1$$

ou

$$K + K't = -\frac{1}{t_0^2},$$

ce qui donne

$$(Kt)' = -\frac{1}{t_0^2}$$

et

$$Kt = -\frac{t}{t_0^2} + b$$

avec

$$b = K_0 t_0 + \frac{1}{t_0}.$$

On a donc

$$Kt = -\frac{t}{t_0^2} + K_0 t_0 + \frac{1}{t_0}$$

et

$$K = -\frac{1}{t_0^2} + \frac{1 + K_0 t_0^2}{t_0 t}. \quad (30)$$

Écrivons maintenant la relation

$$\rho(t) = \rho_m(t) + \rho_r(t)$$

où $\rho_m(t)$ désigne la densité moyenne de l'énergie de masse et $\rho_r(t)$ celle de l'énergie radiationnelle. Or, notre modèle implique

$$\rho(t) = \frac{E}{\text{vol}(B(O, ct))} = \frac{E}{\frac{4}{3}\pi(ct)^3} = \frac{3E}{4\pi c^3 t^3}$$

et la Cosmologie homogène conduit à l'expression

$$\rho_m(t) = \frac{c^2}{6\pi G t^2}.$$

Cette valeur pourrait être considérée comme étant une valeur approximative pour $\rho_m(t)$ dans le cadre de notre modèle puisqu'elle a été obtenue en utilisant la relation ([4],(5.2.19)) :

$$\rho_m a^3 = cte$$

(qui est effectivement vraie dans le cadre de notre modèle comme on va le montrer ci-dessous) et en remplaçant ρ_m par $\frac{\alpha}{a^3}$ dans l'équation (5.2.14) en négligeant le terme $-\frac{3K}{a^2}$. Cette équation s'écrit alors

$$3\frac{\dot{a}^2}{a^2} = 8\pi\frac{\alpha}{a^3}$$

ou

$$\dot{a}^2 = \frac{8\pi\alpha}{3} \frac{1}{a} = \frac{8\pi\rho_m a^3}{3} \frac{1}{a},$$

ce qui donne ((5.2.21))

$$\dot{a}^2 = \frac{C}{a}$$

avec

$$C = \frac{8\pi\rho_m a^3}{3}.$$

La solution de cette équation est donnée par ([4], Table 5.1)

$$a = \left(\frac{9C}{4}\right)^{\frac{1}{3}} t^{\frac{2}{3}}$$

où l'on a remplacé τ par t (puisque le temps propre n'a pas d'existence dans notre modèle) et, dans l'expression de C correspondant au modèle poussière, ρ est remplacé par $\frac{\rho_m(t)}{c^2}$. Ceci donne, après la réintroduction de la constante G , le résultat approximatif escompté.

L'équation de la densité s'écrit donc, pour $t \gg 1$:

$$\frac{3E}{4\pi c^3 t^3} = \frac{c^2}{6\pi G t^2} + \frac{a}{t^3}$$

qui s'écrit

$$\frac{3E}{4\pi c^3} = \frac{c^2}{6\pi G} t + a$$

avec

$$a = -\frac{c^2}{6\pi G} t + \frac{3E}{4\pi c^3}.$$

Lorsque t tend vers l'infini, notre modèle implique donc

$$a \sim -\frac{c^2}{6\pi G} t$$

et, pour $t \gg 1$, on a

$$\rho_r(t) = \frac{a}{t^3} = -\frac{c^2}{6\pi G} \frac{1}{t^2} + \frac{3E}{4\pi c^3} \frac{1}{t^3} = -\rho_m(t) + \frac{3E}{4\pi c^3} \frac{1}{t^3}. \quad (\rho)$$

Réécrivons maintenant l'égalité des densités (ρ) pour $t = t_0 \gg 1$, on obtient

$$\frac{3E}{4\pi c^3 t_0^3} = \frac{c^2}{6\pi G_0 t_0^2} + \frac{a_0}{t_0^3}$$

ce qui donne

$$\frac{3c^5(t_0 + K_0 t_0^3)}{4\pi c^3 t_0^3 \times 2G_0} = \frac{c^2}{6\pi G_0 t_0^2} + \frac{a_0}{t_0^3}$$

ou

$$\frac{3c^2}{8\pi G_0} (K_0 + \frac{1}{t_0^2}) = \frac{c^2}{6\pi G_0 t_0^2} + \frac{a_0}{t_0^3} \quad (31)$$

Posons ensuite

$$K_0 t_0^3 + t_0 = \frac{4}{9} t_0 + b_0,$$

la relation (31) s'écrit alors

$$\frac{3c^2}{8\pi G_0} (\frac{4}{9t_0^2} + \frac{b_0}{t_0^3}) = \frac{c^2}{6\pi G_0 t_0^2} + \frac{a_0}{t_0^3}.$$

D'où

$$\frac{3c^2}{8\pi G_0} \frac{b_0}{t_0^3} = \frac{a_0}{t_0^3},$$

ce qui implique

$$b_0 = \frac{8\pi G_0 a_0}{3c^2},$$

$$C_0 = K_0 t_0^3 + t_0 = \frac{4}{9} t_0 + \frac{8\pi G_0 a_0}{3c^2}$$

et

$$K_0 = -\frac{5}{9t_0^2} + \frac{8\pi G_0 a_0}{3c^2 t_0^3} \quad (32)$$

De même, on a

$$\frac{2G_0 E}{c^5} = C_0 = \frac{4}{9} t_0 + \frac{8\pi G_0 a_0}{3c^2} \quad (33)$$

et par suite, on retrouve la relation (déjà établie)

$$a_0 = \left(\frac{2G_0 E}{c^5} - \frac{4}{9} t_0 \right) \times \frac{3c^2}{8\pi G_0}$$

ou

$$a_0 = \frac{3E}{4\pi c^3} - \frac{c^2 t_0}{6\pi G_0}. \quad (34)$$

Énergie, âge et étendue de l'Univers

En prenant pour t_0 l'instant présent, on obtient

$$\begin{aligned} \rho_r(t_0) &= \frac{a_0}{t_0^3} = \frac{3E}{4\pi c^3 t_0^3} - \frac{c^2}{6\pi G_0 t_0^2} \\ &= -0.4 \times 10^6 eV/m^3 = -6.4 \times 10^{-14} J/m^3, \end{aligned}$$

comme il résulterait de la loi de Stefan - Boltzmann et de l'estimation généralement admise de la contribution des neutrinos à la densité de l'Univers à l'instant présent.

La deuxième équation de Friedmann - Einstein

$$\frac{d^2 R}{dt^2} = -\frac{4\pi G}{3c^2} (\rho + 3P)$$

s'écrit, tout simplement, dans le cadre de notre modèle

$$\rho + 3P = 0$$

où P est la pression moyenne et ρ est la densité moyenne de l'énergie dans l'Univers. Or

$$\rho = \rho_m + \rho_r = \rho_m + 3P$$

et par suite, on a

$$\rho_m + \rho_r + \rho_r = 0.$$

D'où

$$\rho_m = -2\rho_r \quad \text{et} \quad \rho = -\rho_r.$$

Ceci montre clairement que, lors de l'étude de la relativité générale, il faut considérer la densité radiationnelle moyenne et la pression moyenne au sein

de l'Univers comme étant négatives; ce qui est normal puisque leur effet est antigravitationnel.

Ainsi, on a

$$\rho_0 = -\frac{a_0}{t_0^3} = 6.4 \times 10^{-14} J/m^3.$$

Par conséquent la relation (33) implique

$$E = \frac{c^5}{2G_0} \left(\frac{4}{9} t_0 - \frac{8\pi G_0 t_0^3}{3c^2} \times 6.4 \times 10^{-14} \right)$$

et

$$\frac{E}{\rho_0} = \frac{4\pi c^3 t_0^3}{3} = \frac{c^5}{2G_0 \times 6.4 \times 10^{-14}} \left(\frac{4}{9} t_0 - \frac{8\pi G_0 t_0^3 \times 6.4 \times 10^{-14}}{3c^2} \right)$$

D'où

$$\frac{4\pi c^3 t_0^3}{3} = \frac{2c^5 t_0}{9G_0 \pi \times 6.4 \times 10^{-14}} - \frac{8\pi G_0 c^3 t_0^3}{6G_0},$$

ce qui donne

$$\frac{8\pi}{3} t_0^2 = \frac{2c^2 \times 10^{14}}{9G_0 \times 6.4}$$

et

$$\begin{aligned} t_0^2 &= \frac{3}{8\pi} \times \frac{2c^2 \times 10^{14}}{9G_0 \times 6.4} \\ &= \frac{3 \times 2 \times 9 \times 10^{16} \times 10^{14}}{8\pi \times 9 \times 6.67 \times 10^{-11} \times 6.4} \\ &\simeq 5.595 \times 10^{38} \end{aligned}$$

et par suite

$$t_0 \simeq 2.365 \times 10^{19}.$$

Ce résultat aurait pu être obtenu directement en utilisant uniquement la deuxième équation de Friedmann. Celle - ci donne en effet

$$\rho_m + \rho_r + \rho_r = 0$$

qui conduit à

$$\rho_m = -2\rho_r$$

ou

$$\rho_m = \frac{c^2}{6\pi G_0 t_0^2} = 12.8 \times 10^{-14} J/m^3$$

et par suite

$$t_0^2 = \frac{c^2}{6\pi G \times 12.8 \times 10^{-14}}$$

$$\begin{aligned}
&= \frac{9 \times 10^{16} \times 10^{14}}{6 \times 3.14 \times 6.67 \times 10^{-11} \times 12.8} \\
&\simeq 5.595 \times 10^{38}
\end{aligned}$$

et

$$t_0 \simeq 2.365 \times 10^{19} s$$

Ainsi le rayon de l'Univers est actuellement

$$r_0 = ct_0 \simeq 7.1 \times 10^{27} m.$$

L'énergie totale de l'Univers est

$$\begin{aligned}
E &= \frac{4\pi c^3 t_0^3}{3} \rho_0 = \frac{2c^5 t_0}{9G_0} - \frac{4\pi t_0^3 c^3}{3} \times 6.4 \times 10^{-14} \\
&= 9.57 \times 10^{70} J (= 19.147 \times 10^{70} - 9.57 \times 10^{70}) J.
\end{aligned}$$

La valeur obtenue ci-dessus pour ρ_m est conforme avec la valeur de ρ_m obtenue à partir de l'équation de densité (ρ) qui donne

$$\rho_m(t_0) = \frac{3E}{2\pi c^3 t_0^3}.$$

Le paramètre de Hubble est

$$H_0 = 4.228 \times 10^{-20}$$

La densité radiationnelle est actuellement

$$\rho_r = -0.4 \times 10^6 eV/m^3$$

La densité actuelle de l'énergie matérielle est

$$\rho_m = 0.8 \times 10^6 eV/m^3$$

La masse matérielle (incluant les trous noirs) est

$$\begin{aligned}
M &= \frac{\rho_m}{c^2} \times \frac{4\pi c^3 t_0^3}{3} = \rho_m \times \frac{4\pi c t_0^3}{3} \\
&= 2.126 \times 10^{54} Kg.
\end{aligned}$$

La masse équivalente à l'énergie totale est

$$M_e := \frac{E}{c^2} = 1.063 \times 10^{54} Kg$$

Comparaison avec le modèle d'Einstein - de Sitter

Conformément au modèle standard de la Cosmologie homogène isotro-
pique (avec $K = 0$), on a (c.f.[2], p.555 - 557) :

$$R(t) \propto t^{\frac{2}{3}} \qquad H(t) \propto \frac{2}{3t}$$

$$\lambda \propto \frac{1}{T} \propto R$$

et par suite, on obtient (en utilisant le résultant bien confirmé de Stefan -
Boltzmann)

$$\rho_r(t) \propto T^4 \propto \frac{1}{R^4} \propto \frac{1}{t^{\frac{8}{3}}}$$

$$\rho_m(t) \propto T^3 \propto \frac{1}{R^3} \propto \frac{1}{t^2}$$

Par conséquent, on obtient

$$\frac{\rho_r}{\rho_m} \propto \frac{1}{t^{\frac{2}{3}}};$$

ce qui est inexact d'après ce même modèle.

Par contre, notre modèle montre clairement la propriété fondamentale

$$\rho \propto \frac{1}{R^3} \propto \frac{1}{t^3}$$

qui est conforme avec notre résultat

$$\rho_r \propto \frac{1}{t^3},$$

qui donne (jointe au résultat de Stefan - Boltzmann)

$$T^4 \propto \frac{1}{t^3} \qquad \text{ou} \qquad T \propto \frac{1}{t^{\frac{3}{4}}},$$

$$\lambda \propto t \propto \frac{1}{T^{\frac{4}{3}}}$$

et

$$\rho \propto \rho_r \propto \rho_m \propto T^4 \propto \frac{1}{t^3}$$

qui est évidemment plus cohérent.

Par ailleurs, le tenseur d'Einstein T s'écrit, dans le cadre de la cosmologie homogène isotropique, sous la forme ([4], 5.2.1)

$$T_{ab} = \rho_m u_a u_b$$

où ρ_m est la densité moyenne de l'énergie de masse. Or, dans le cadre de notre modèle, le champ de vecteur u^a n'est autre que le champ de vecteur $(\frac{\partial}{\partial t})^a$ et par suite on obtient

$$T_{ab} = \rho_m dt^2$$

D'autre part, l'expression de la masse totale de l'Univers établie dans le cadre de cette cosmologie est donnée par ([4], 11.2.10)

$$M = \frac{1}{4\pi} \int_{\Sigma} R_{ab} n^a \xi^b dV = 2 \int_{\Sigma} (T_{ab} - \frac{1}{2} T g_{ab}) n^a \xi^b dV.$$

En adaptant cette expression à notre modèle, Σ devient $B(O, t)$, g_{ab} devient $h_t = dt^2 - g_t$ et n^a s'identifie à $(\frac{\partial}{\partial t})^a$ qui constitue également une approximation raisonnable de ξ^a . D'où $T_{ab} n^a \xi^b = \rho_m$, $T = \rho_m$ et $g_{ab} n^a \xi^b = 1$ et par suite on obtient

$$M = 2 \int_{B(O,t)} (\rho_m - \frac{1}{2} \rho_m) dV_t = \int_{B(O,t)} \rho_m dV_t$$

en accord avec notre définition de la masse globale de l'Univers (incluant les trous noirs et la masse de la matière invisible).

Comparaison avec la gravité newtonienne

En comparant notre équation de la matière

$$\frac{\partial^2}{\partial t^2} E(t, X(t)) - \Delta E(t, X(t)) = 0$$

et notre relation

$$X''(t) = \Gamma(t) = -\nabla^{g_e} E(t, X(t))$$

avec les équations caractérisant la gravité newtonienne (c.f. [4],(4.4.17) et (4.4.21))

$$\Delta \varphi = 4\pi \rho \quad (\text{Équation de Poisson})$$

$$X'' = \Gamma = -\nabla^{g_e} \varphi,$$

on obtient (par identification)

$$\varphi(X(t)) = E(t, X(t))$$

$$\Delta\varphi(X(t)) = \Delta E(t, X(t)) = 4\pi\rho(X(t)).$$

Par conséquent, on a

$$\frac{\partial^2 E}{\partial t^2}(t, X(t)) = \Delta E(t, X(t)) = 4\pi\rho(X(t)).$$

Or, l'énergie totale de l'Univers (idéalisé) dans le cadre de la gravité newtonienne est donnée par (c.f.[4],(11.2.2))

$$E_N = \frac{1}{4\pi} \int_{S(O,R)} \overrightarrow{\nabla\varphi} \cdot \overrightarrow{n} dS.$$

Ainsi, on a d'après ce qui précède

$$E_N = \frac{1}{4\pi} \int_{S(O,R)} \overrightarrow{\nabla E} \cdot \overrightarrow{n} dS$$

qui est égale (d'après la loi de Gauss) à

$$\frac{1}{4\pi} \int_{B(O,R)} \Delta E dX = \frac{1}{4\pi} \int_{B(O,R)} 4\pi\rho dX = \int_{B(O,R)} \rho dX = E$$

où ρ désigne ici la densité moyenne de l'énergie de l'Univers à l'instant t et E est l'énergie totale de l'Univers d'après notre modèle.

Par ailleurs, en intégrant l'égalité ci-dessus sur une boule unité moyenne de l'Univers à l'instant t , on obtient

$$\begin{aligned} \int_{B(I,1)} \frac{\partial^2 E}{\partial t^2}(t, X_t) dX_t &= \frac{\partial^2}{\partial t^2} \int_{B(I,1)} E(t, X_t) dX_t \\ &= 4\pi \int_{B(I,1)} \rho(X_t) dX_t = \frac{16\pi}{3} \rho(t) = \frac{16\pi}{3} E(t) \end{aligned}$$

où $\rho(t) = E(t)$ désignent ici la densité moyenne de l'énergie (par unité de volume) de l'Univers à l'instant t . Ainsi, on a

$$E''(t) = \frac{16\pi}{3} E(t) \quad \text{ou} \quad \rho''(t) = \frac{16\pi}{3} \rho(t)$$

et par suite

$$E(t) = \rho(t) = C e^{-4\sqrt{\frac{\pi}{3}}t}$$

C pouvant être déterminée à partir des valeurs connues t_0 et ρ_0 . En effet, la relation

$$E(t_0) = C e^{-4\sqrt{\frac{\pi}{3}}t_0} = \rho_0$$

implique

$$C = \rho_0 e^{4\sqrt{\frac{\pi}{3}}t_0} ;$$

ce qui donne

$$\rho(t) = \rho_0 e^{4\sqrt{\frac{\pi}{3}}(t_0-t)}$$

Remarques

Les déviations des valeurs trouvées ci - dessus (pour t_0, r_0, E, \dots) vis à vis des valeurs approximatives prévues par le modèle standard d'Einstein - de Sitter, par exemple, peuvent être expliquées essentiellement à l'aide des deux facteurs suivants :

1°) La valeur généralement admise du paramètre de Hubble H_0 est incorrect pour deux raisons :

La première est l'utilisation de quelques notions relativistes, dont on a déjà établi la défaillance dans un article (pas encore publié) antérieur (cf [1]), du temps propre et des formules relativistes utilisées pour déterminer le paramètre du redshift z .

La seconde raison est le fait de se baser sur des mesures effectuées moyennant des galaxies visibles dont le positionnement, les distances mutuelles et les vitesses relatives sont loins de représenter fidèlement le paramètre d'expansion. Nous ne sommes pas au centre de l'Univers et il y a des galaxies qui se trouvent et se déplacent en dehors de notre horizon.

L'énorme différence entre les deux estimations de l'énergie moyenne des densités de masse est due à la grande différence entre les deux estimations de la taille de l'Univers.

2°) Le paramètre de courbure utilisé généralement dans la première équation de Friedmann est supposé constant. Or ceci est absurde puisque la notion fondamentale de courbure (qui, rappelons le, reflète et caractérise la distribution de la matière - énergie qui est l'essence même de l'Univers réel) est essentiellement dynamique et évolutive (localement et globalement) puisque, selon la théorie bien confirmée de l'expansion, l'Univers n'est pas réduit ni à \mathbb{R}^3 ni à un domaine fixe de \mathbb{R}^3 mais plutôt, conformément à notre modèle, à

une boule $B(O,t)$ toujours en expansion.

C'est pour cette raison qu'on a commencé par utiliser la première équation de Friedmann afin de montrer la nécessité de l'utilisation d'un paramètre de courbure (macroscopique et global) dépendant du temps caractérisant ainsi une métrique (à la fois locale et globale) dépendante elle même du temps, bien que la détermination de t_0 nécessite uniquement l'utilisation de la seconde équation de Friedmann.

3°) Remarquons aussi que la différence de signe entre les densités ρ_m et ρ_r est fondamentalement dûe au fait que la première est associée à la force attractive de la gravité tandis que la seconde est associée à la pression qui engendre une force ayant une nature essentiellement opposée. Ce sont les deux forces fondamentales de la Nature, à savoir la force de gravitation et la force de la pression radiationnelle électromagnétique. Ainsi, la relation

$$\rho + 3P = \rho_m + \rho_r + 3P = 0$$

ajoute une dimension nouvelle au problème de la conservation de l'énergie cosmique. En effet, si on attribue à l'expression $3P$ le qualificatif (de densité moyenne) d'énergie négative et à l'expression $\rho + 3P$ le qualificatif (de densité moyenne) d'énergie généralisée globale, on peut énoncer

L'énergie généralisée globale de l'Univers est éternellement nulle.

Ce principe rappelle le principe de la conservation du "momentum" qui, appliqué à l'Univers tout entier (voir paragraphe 6), s'énonce

Le "momentum" global de l'Univers est éternellement nul.

4°) Il est bien connu que dans le cadre de la gravité newtonienne la densité du champ gravitationnel est bien définie par

$$-\frac{1}{8\pi} |\nabla^{g_e} \varphi|^2.$$

La définition d'une densité de l'énergie gravitationnelle dans le cadre de la relativité générale standard semble poser de sérieux problèmes (voir [4], p.286). Cependant, il paraît que, dans le cadre de notre modèle, une définition d'une densité de l'énergie générale de l'Univers englobant l'énergie du champ gravitationnel est possible en utilisant notre métrique physique g_t qui reflète toute la consistance physique de l'Univers et qui est caractérisée par notre tenseur global de la matière-énergie T_{ab}^* .

La densité proposée, qui généralise la densité newtonienne, serait définie par

$$-\frac{1}{8\pi}|\nabla^{g_t} E_t|,$$

$\nabla^{g_t} E_t$ étant ici le gradient par rapport à g_t de la distribution de la matière-énergie $E_t(X)$ à l'instant t sur $B(O, t)$.

Néanmoins, remarquons que, dans notre modèle, on ne peut parler de pression et d'énergie négative et par suite d'énergie généralisée globale nulle (dans le cas où l'Univers était réduit originellement à une énergie E_0 concentrée en un point) qu'après le Big Bang. Par conséquent, notre modèle ne cautionne pas les théories qui prétendent que l'Univers est sorti de littéralement rien. Signalons aussi que le sens du terme d'énergie négative utilisé ici est complètement différent de celui qu'on lui attribue au sein de la théorie d'inflation.

12 Constantes fondamentales de la Physique moderne

On va établir ici quelques relations impliquant plusieurs constantes fondamentales de la physique et montrant qu'un grand nombre parmi elles dépendent du temps (et de la température). Ces relations conduisent à l'unification des forces fondamentales ainsi qu'à l'unification de toutes les branches de la physique : Relativité générale i.e. Cosmologie, Théorie quantique, Électromagnétisme, Thermodynamique et la Mécanique de Newton - Lagrange - Hamilton.

Reprenons la relation (33), i.e.

$$E = \frac{c^5 C_0}{2G_0}$$

où

$$C_0 = K_0 t_0^3 + t_0 = \frac{4}{9} t_0 + \frac{8\pi G_0 a_0}{3c^2}.$$

Ceci implique

$$G_0 = \frac{c^5 C_0}{2E} = \frac{c^5}{2E} \left(\frac{4}{9} t_0 + \frac{8\pi G_0 a_0}{3c^2} \right)$$

$$\begin{aligned}
&= \frac{2 c^5 t_0}{9 E} + \frac{4\pi}{3} c^3 \frac{G_0 a_0}{E} \\
&= \frac{2 c^5 t_0}{9 E} + \frac{4\pi}{3} c^3 \frac{G_0 t_0^3 a_0}{E t_0^3} \\
&= \frac{2 c^5 t_0}{9 E} - \frac{4\pi c^3 t_0^3}{3} G_0 \frac{\rho_0}{E} \\
&= \frac{2 c^5 t_0}{9 E} - G_0.
\end{aligned}$$

D'où

$$2G_0 = \frac{2 c^5 t_0}{9 E}$$

et

$$G_0 = \frac{c^5 t_0}{9E} (= \frac{2.365 \times 10^{19} \times 243 \times 10^{40}}{9 \times 9.57 \times 10^{70}} = 6.67 \times 10^{-11})$$

Ceci étant pour $t_0 \gg 1$ arbitraire, on obtient, pour $t \gg 1$:

$$G = \frac{c^5 t}{9E} \quad \text{et} \quad E = \frac{c^5 t}{9G} \quad (35)$$

D'autre part, on a

$$\rho_m = -2\rho_r = 2\rho = \frac{6E}{4\pi c^3 t^3},$$

ce qui implique, en se basant sur la statistique quantique (c.f. [4] p.108),

$$\frac{6E}{4\pi c^3 t^3} = \sum_{i=1}^n \alpha_i g_i \frac{\pi^2 (K_B T)^4}{30 \bar{h}^3 c^5}$$

où la constante de Boltzmann est notée ici K_B .

D'où

$$\frac{3E}{2\pi c^3 t^3} = \sum_{i=1}^n \alpha_i g_i \frac{\pi^2}{30 c^5} \frac{(K_B T)^4}{\bar{h}^3}$$

Ainsi, on a

$$\frac{\frac{3c^5 t}{9G}}{2\pi c^3 t^3} = \frac{c^2}{6\pi G t^2} = \left(\sum_{i=1}^n \alpha_i g_i \frac{\pi^2}{30 c^5} \right) \frac{(K_B T)^4}{\bar{h}^3}$$

qui s'écrit

$$\frac{5c^7}{\pi G t^2} = \left(\sum_{i=1}^n \alpha_i g_i \pi^2 \right) \frac{(K_B T)^4}{\bar{h}^3}$$

ou

$$\frac{1}{G t^2} = \left(\sum_{i=1}^n \frac{\alpha_i g_i \pi^3}{5c^7} \right) \frac{(K_B T)^4}{\bar{h}^3}$$

$$=: A \frac{(K_B T)^4}{\bar{h}^3};$$

ce qui donne

$$G = \frac{1}{A} \frac{\bar{h}^3}{(K_B T)^4} \frac{1}{t^2} \quad (36)$$

où

$$A = \frac{1}{G} \frac{\bar{h}^3}{(K_B T)^4} \frac{1}{t^2}$$

peut être calculé à partir des valeurs actuelles des constantes impliquées correspondant à $t_0 = 2.365 \times 10^{19}$.

Ainsi, on a (d'après la relation (35)) :

$$\frac{c^5 t}{9E} = \frac{1}{A} \frac{\bar{h}^3}{(K_B T)^4} \frac{1}{t^2},$$

ce qui donne

$$\frac{\bar{h}^3}{(K_B T)^4} = \frac{Ac^5}{9E} t^3 = AGt^2, \quad (37)$$

Par ailleurs, en désignant par α le facteur classique de la force électromagnétique et par K_E la constante électromagnétique désignée usuellement par k , on obtient

$$\begin{aligned} \alpha &= \frac{K_E e^2}{\bar{h} c} = \frac{K_E e^2}{c} \times \left(\frac{9E}{(K_B T)^4 A c^5 t^3} \right)^{\frac{1}{3}} \\ &= K_E e^2 \left(\frac{9E}{A c^8} \right)^{\frac{1}{3}} (K_B T)^{-\frac{4}{3}} t^{-1} \end{aligned} \quad (38)$$

et

$$\begin{aligned} \alpha &= \frac{K_E e^2}{c} ((K_B T)^4 A G t^2)^{-\frac{1}{3}} \\ &= \frac{K_E e^2}{c A^{\frac{1}{3}}} (K_B T)^{-\frac{4}{3}} G^{-\frac{1}{3}} t^{-\frac{2}{3}}. \end{aligned} \quad (39)$$

À partir de ces relations, on peut obtenir un certain nombre de relations précisant la dépendance des constantes fondamentales les unes en fonction

des autres et en fonction du temps.
En effet la relation (36) implique

$$\frac{G(K_B T)^4}{\bar{h}^3} = \frac{1}{A} \frac{1}{t^2} = \frac{C_1}{t^2} \quad \text{avec} \quad C_1 = \frac{1}{A} \quad (40)$$

La relation (37) implique

$$\frac{\bar{h}^3}{(K_B T)^4} = \frac{Ac^5}{9E} t^3 = C_2 t^3 \quad \text{avec} \quad C_2 = \frac{Ac^5}{9E}$$

ou

$$\frac{\bar{h}}{(K_B T)^{\frac{4}{3}}} = C_2^{\frac{1}{3}} t \quad (41)$$

La relation (38) implique

$$\begin{aligned} \alpha t &= ke^2 \left(\frac{9E}{Ac^8} \right)^{\frac{1}{3}} (K_B T)^{-\frac{4}{3}} \\ &= \frac{C_3}{(K_B T)^{\frac{4}{3}}} \quad \text{avec} \quad C_3 = ke^2 \left(\frac{9E}{Ac^8} \right)^{\frac{1}{3}} \end{aligned}$$

ou

$$\alpha (K_B T)^{\frac{4}{3}} = \frac{C_3}{t} \quad (42)$$

Cette relation jointe à la relation

$$G = \frac{c^5}{9E} t =: C_0 t$$

qui implique $t = \frac{G}{C_0}$ donne

$$\alpha (K_B T)^{\frac{4}{3}} = \frac{C_3 C_0}{G}$$

et par suite

$$\alpha G (K_B T)^{\frac{4}{3}} = C_3 C_0 =: C_5 \quad (43)$$

avec

$$C_5 = ke^2 \left(\frac{9E}{Ac^8} \right)^{\frac{1}{3}} \frac{c^5}{9E} = ke^2 (9E)^{\frac{1}{3}} \times (9E)^{-1} \times (Ac^8)^{-\frac{1}{3}} c^5$$

$$= \frac{ke^2 c^{\frac{7}{3}}}{A^{\frac{1}{3}}(9E)^{\frac{2}{3}}}$$

qui, jointe à (41) implique

$$\alpha G \frac{\bar{h}}{C_2^{\frac{1}{3}} t} = C_5$$

et par conséquent

$$\alpha G \bar{h} = C_5 C_2^{\frac{1}{3}} t = C_6 t \quad (44)$$

avec

$$C_6 = \frac{ke^2 c^4}{9E}$$

(vérification : $\alpha \bar{h} = C_6 \frac{t}{G} = C_6 \frac{9E}{c^5} = \frac{ke^2 c^4}{9E} \frac{9E}{c^5} = \frac{ke^2}{c}$).

Finalement, les relations (40) et (43) impliquent

$$\alpha G \bar{h} = \alpha \frac{\bar{h}^3}{A(K_B T)^4 t^2} \bar{h} = \alpha \left(\frac{\bar{h}}{K_B T} \right)^4 \frac{1}{A t^2}$$

et

$$\alpha G \bar{h} = \frac{ke^2 c^4 t}{9E}$$

D'où

$$\alpha \left(\frac{\bar{h}}{K_B T} \right)^4 = \frac{A}{9E} ke^2 c^4 t^3 \quad (45)$$

(vérification : $\alpha \left(\frac{\bar{h}}{K_B T} \right)^4 = \frac{1}{G} \frac{\bar{h}^3}{(K_B T)^4 t^2} \times \frac{1}{9E} ke^2 c^4 t^3 = \frac{1}{9E} ke^2 c^4 \frac{\bar{h}^3}{G (K_B T)^4 t}$)

ce qui donne

$$\alpha \bar{h} = \frac{1}{9E} ke^2 \frac{c^4 t}{G} = ke^2 \frac{c^4 t}{9E} \frac{1}{\frac{c^5 t}{9E}} = \frac{ke^2}{c}.$$

En résumé, on a les relations fondamentales suivantes

$$T \propto \frac{1}{t^{\frac{3}{4}}}, \quad \rho \propto T^4 \propto \frac{1}{t^3} \propto \frac{1}{V} \quad \text{et} \quad T \propto \frac{1}{V^{\frac{1}{4}}}$$

(où V est le volume de l'Univers à l'instant t)

$$\alpha \bar{h} = \frac{K_E e^2}{c}$$

$$\frac{\bar{h}^3}{(K_B T)^4} \propto t^3 \quad \text{et} \quad \alpha = (K_B T)^{\frac{4}{3}} t \sim K_B^{\frac{4}{3}}$$

$$E = \frac{c^5 t}{9G} \quad \text{et} \quad G = \frac{c^5}{9E} t \propto \frac{c^5}{9E} \frac{1}{T^{\frac{4}{3}}}$$

Quant au paramètre de courbure $K(t)$, on a d'après les relations (32) et (34),

$$\begin{aligned} K(t) &= -\frac{5}{9t^2} + \frac{8\pi G a}{3c^2 t^3} \\ &= -\frac{5}{9t^2} + \frac{8\pi}{3c^2 t^3} \left(-\frac{c^2}{6\pi} t + 3 \frac{EG}{4\pi c^3} \right) \\ &= -\frac{5}{9t^2} + \frac{8\pi}{3c^2 t^3} \left(-\frac{c^2}{6\pi} t + \frac{3}{4\pi c^3} \frac{c^5}{9} t \right) \\ &= -\frac{5}{9t^2} + \frac{8\pi}{3c^2 t^3} \left(-\frac{c^2}{6\pi} t + \frac{c^2}{12\pi} t \right) \\ &= -\frac{5}{9t^2} - \frac{2}{9t^2} = -\frac{7}{9t^2} \end{aligned}$$

Enfin on a, d'une part

$$\alpha = \frac{K_E e^2}{c \bar{h}} = \frac{K_E e^2}{c K_B^{\frac{4}{3}} t}$$

et d'autre part

$$\alpha = \frac{K_E e^2}{c \bar{h}} \propto \frac{K_E e^2}{c (K_B T)^{\frac{4}{3}} t} = \frac{K_E e^2}{c (K_B T)^{\frac{4}{3}}} \times \frac{c^5}{9GE} = \frac{c^4 K_E e^2}{9 (K_B T)^{\frac{4}{3}} GE}$$

ou

$$\alpha G \propto \frac{c^4 K_E e^2}{9 (K_B T)^{\frac{4}{3}} E}$$

Notons que, puisque $\bar{h} \propto t$, la relation (36) implique que $K_B T$ est constante et il est facile de montrer que les relations précédentes impliquent

$$\alpha \propto \frac{1}{t}, \quad G \propto t \quad \text{et} \quad K_B \propto t^{\frac{3}{4}}.$$

Notons enfin que, dans le cadre de notre modèle, on a

$$R_{t_0}(t) = \frac{t}{t_0} \quad \text{et} \quad \frac{dR_{t_0}}{dt} = \frac{1}{t_0}$$

et l'équation de Friedmann devient

$$\frac{1}{t_0^2} = \frac{8\pi\rho GR^2}{3c^2} - K(t)$$

ce qui donne, pour $t = t_0$

$$\begin{aligned} \frac{1}{t_0^2} &= \frac{8\pi\rho_0 G_0}{3c^2} + \frac{7}{9t_0^2} = \frac{8\pi}{3c^2} \frac{3E}{4\pi c^3 t_0^3} \frac{c^5 t_0}{9E} + \frac{7}{9t_0^2} \\ &= \frac{2}{9t_0^2} + \frac{7}{9t_0^2} \end{aligned}$$

Ceci montre, de nouveau, la validité de notre modèle et la nécessité de la dépendance du temps pour les constantes K et G .

Remarques

1°) Les relations ci - dessus montrent que seules les constantes fondamentales E , A , c , $K_B T$ et $K_E e^2$ sont indépendantes du temps, les autres constantes G , \bar{h} , K , α et la courbure K dépendent du temps et sont reliées entre elles ainsi qu'aux autres quatre premières.

En prenant $c = 1$ et en tenant compte des autres relations, on réalise que seuls E , $K_E e^2$, $K_B T$ et t ont une existence intrinsèque réduisant ainsi l'Univers à trois éléments de base :

L'énergie originelle, l'électromagnétisme et le temps.
Ce dernier facteur n'est autre que la distance et par suite l'étendue, déterminant ainsi, avec le deuxième facteur, l'expansion. L' Univers est donc essentiellement l'énergie originelle en expansion.

2°) En désignant $K_B T = \frac{2}{3}\langle E_c \rangle$, où $\langle E_c \rangle$ est l'énergie cinétique généralisée moyenne, par E_* et en remplaçant la constante électromagnétique K_E par k , alors les relations précédentes donnent lieu, pour $c = 1$, aux relations suivantes :

$$\alpha \bar{h} = k e^2$$

$$\bar{h} = E_*^{\frac{4}{3}} t \quad \text{et} \quad \alpha E_*^{\frac{4}{3}} t = k e^2$$

$$G = \frac{t}{9E} \quad \text{et} \quad \bar{h} = 9E_*^{\frac{4}{3}} GE$$

$$\alpha = \frac{ke^2}{9E_*^{\frac{4}{3}} EG} \quad \text{ou} \quad \alpha GE_*^{\frac{4}{3}} = \frac{ke^2}{9E}.$$

Ces relations montrent, entre autre, l'unité des forces fondamentales de la nature.

3°) La relation $A = \frac{\hbar^3}{(K_B T)^4} \frac{1}{t^2}$ montre la puissance ultime de la Statistique quantique. Les autres relations montrent, d'une part, que la quantisation tout azimut est non justifiée (G et \hbar , par exemple, dépendent continûment du temps) et, d'autre part, que la quantisation issue d'une expérimentation prolongée et précise trouve sa légitimité globale en s'unifiant avec la Physique et la Mécanique théorique. Il s'agit ici de l'unification retrouvée de la Physique quantique avec la relativité générale toutes les deux unifiées avec la Mécanique de Newton - Lagrange - Hamilton. En particulier, on a ainsi montré que l'évolution de l'Univers est essentiellement décrite par la théorie de la relativité générale (révisée) d'Einstein.

4°) Ces mêmes relations jointes aux résultats établis au paragraphe 9, ainsi qu'aux autres paragraphes, ne font qu'instituer les bases de l'unification de toutes les branches de la Physique : L'Électromagnétisme, la Relativité générale (i.e. la Cosmologie), la Thermodynamique, la Physique et la Mécanique quantiques et la Physique des particules avec la Mécanique de Newton - Lagrange - Hamilton.

Note

Cet article a été écrit le long de la période : Janvier 2007-Mars 2009. Plusieurs parties ont été "publiées" aux Arxiv de Mathématiques.

13 Commentaires et problèmes ouverts

Notre modèle physico - mathématique global permet de donner des réponses à un certain nombre de problèmes ouverts ainsi que quelques clarifications et précisions les concernant. De même, il permet de reformuler quelques autres problèmes et donner de nouvelles perspectives dans la direction de leur résolution.

Les points cruciaux qui ont conduit à ces deux possibilités sont :

1°) La réfutation théorique de la deuxième partie du deuxième postulat de la relativité restreinte et le remplacement des formules relativistes approximatives par des formules qui reflètent fidèlement les lois de la nature à une précision qui pourrait être améliorée et quantifiée le plus correctement possible (voir paragraphes 4 et 7). Ces modifications devraient se généraliser à tous les recoins de la Physique moderne.

2°) La clarification logique et mathématique des limites théoriques et expérimentales de la théorie quantique et de la nature conjecturale du principe d'incertitude de Heisenberg malgré l'efficacité pratique de ces outils et surtout celle des équations de Schrödinger (paragraphes 7 et 8). Néanmoins la théorie quantique doit être utilisée pour résoudre tous les problèmes qui ne se prêtent pas à une modélisation-idéalisation permettant de les résoudre à l'aide de la Mécanique et de la Physique classiques.

3°) La géométrisation de l'Univers tridimensionnel à l'aide de la métrique physique g_t et l'établissement de l'équation de la matière - énergie (E^*) ainsi que la géométrisation de l'espace - temps quadrimensionnel à l'aide de la métrique d'évolution $h = dt^2 - g_t$, après le rétablissement de la relation naturelle de l'espace - temps. La prise en compte de l'évolution avec le temps de toutes les grandeurs est assurée à l'aide de ces deux métriques. (paragraphes 4, 5 et 6) La métrique d'Einstein dans le vide tient seulement compte du champ gravitationnel et le tenseur d'Einstein caractérise quelques champs de matière et champs électromagnétiques particuliers. Notre métrique et notre tenseur tiennent compte de tous les aspects et effets de la matière-énergie : champ gravitationnel global (y compris celui des trous noirs), toutes les formes de champ de matière, champ électromagnétique global, radiations cosmiques, pression et température, toutes les évolutions énergétiques, les interactions et les singularités.

4°) La réfutation logique (et à posteriori physique) du premier principe cosmologique de Hubble selon lequel n'importe quelle galaxie pourrait être considérée comme étant au centre de l'Univers. Cette réfutation s'appuie solidement sur notre modèle qui a révélé sa cohérence et sa compatibilité extrême avec les lois de la physique et de la Mécanique parfaitement établies. Cette réfutation, jointe au premier point, a permis de modifier la théorie de la relativité générale d'Einstein, les équations de Friedmann - Einstein et la Cosmologie homogène macroscopique d'Einstein - Hubble - de Sitter - Friedmann de manière à prouver clairement, une fois réadaptées à notre modèle, qu'elles décrivent correctement l'évolution (i.e. l'expansion) de l'Univers. Cette réadaptation, jointe à la preuve que toutes les constantes fonda-

mentales (à l'exception de E , $K_B T$, ke^2 , c et A) dépendent du temps (ce qui donne, entre autre, une nouvelle dimension à la quantification), conduit à l'unification de toutes les branches de la physique (paragraphe 10, 11 et 12).

5°) L'équation de la matière - énergie et l'utilisation de l'opérateur de Dirac ont permis de donner une nouvelle approche à la physique des particules fondamentales qui a une chance (à condition d'être appuyée par des résultats expérimentaux) de servir de base à cette branche de la Physique qui est, à l'heure actuelle, indissociable de la Cosmologie et qui a des applications primordiales pour l'avenir de l'humanité (paragraphe 9).

Le long de cet article, on a fourni des réponses claires à un grand nombre de questions ouvertes (comme, à titre d'exemple, celles indiquées à la fin de [2] ou celles qui sont évoquées à travers l'excellent livre panoramique écrit sous la direction de Paul Davies sagement intitulé : La Nouvelle Physique) ainsi que des réponses possibles à d'autres problèmes ouverts et on a posé d'autres questions et émis d'autres hypothèses. Cependant, concernant le point 5°, on va souligner les remarques suivantes :

1°) Dans le cadre de notre modèle, les particules matérielles fondamentales sont au nombre de neuf (auxquels on ajoute les trois neutrinos) :

$e \quad u \quad d \quad s \quad c \quad b \quad t \quad \mu \quad \tau \quad (\nu_e \quad \nu_\mu \quad \nu_\tau)$.

Chacune d'elle existe d'une manière intrinsèque avec deux spins différents et chaque quark existe intrinsèquement avec trois couleurs différentes.

Elles constituent, avec leurs antiparticules, les trois vecteurs d'énergie pure représentés par $\Gamma_1, \Gamma_2, \Gamma_3$ et par d'autres vecteurs Γ qui ont chacun une polarité donnée et qui sont porteurs, en puissance, de toutes les particules fondamentales et leur donnent naissance. Ces derniers forment tous les états liés plus ou moins stables nommés hadrons (baryons et mésons). Les neutrinos sont les partenaires directs ou indirects d'un grand nombre d'interactions (faibles, fortes et électromagnétiques), de désintégration, de collisions, de synthèses nucléaires et d'annihilations. Ils sont produits (originellement et continuellement) lors de ces interactions, essentiellement pour les rendre possibles et compatibles avec les lois de conservation. Des exemples significatifs de production de ces particules ainsi que d'interactions les impliquant sont reproduits schématiquement ci - dessous (c.f. [2]) :



$$\begin{aligned}
K^+ &\rightarrow \mu^+ + \nu_\mu & K^- &\rightarrow \mu^- + \bar{\nu}_\mu \\
\tau^- &\rightarrow \nu_\tau + e^- + \bar{\nu}_e \\
s &\rightarrow u + W^- \rightarrow u + e^- + \bar{\nu}_e \\
c &\rightarrow s + W^+ \rightarrow s + e^+ + \nu_e \\
c &\rightarrow s + W^- \rightarrow s + \mu^+ + \nu_\mu \\
b &\rightarrow c + W^- \rightarrow c + e^- + \bar{\nu}_e \\
b &\rightarrow c + W^- \rightarrow c + \mu^- + \bar{\nu}_\mu \\
b &\rightarrow c + W^- \rightarrow c + \tau^- + \bar{\nu}_\tau \\
\nu_\mu + N &\rightarrow \mu^- + \text{hadrons} \\
\bar{\nu}_\mu + N &\rightarrow \mu^+ + \text{hadrons} \\
\nu_\mu + d &\rightarrow W^- \rightarrow \mu^- + u \\
\bar{\nu}_\mu + u &\rightarrow W^+ \rightarrow \mu^+ + u \\
\nu_\mu + q &\rightarrow Z^0 \rightarrow \nu_\mu + q \\
\bar{\nu}_\mu + q &\rightarrow Z^0 \rightarrow \bar{\nu}_\mu + q \\
\nu_\mu + e^- &\rightarrow \nu_\mu + e^- \\
\mu^- &\rightarrow e^- + \bar{\nu}_e + \nu_\mu \\
\mu^+ &\rightarrow e^+ + \nu_e + \bar{\nu}_\mu \\
\tau^- &\rightarrow e^- + \bar{\nu}_e + \nu_\mu \\
\tau^- &\rightarrow \mu^- + \bar{\nu}_\mu + \nu_\tau \\
\tau^- &\rightarrow \nu_\tau + \text{hadrons} \\
\tau^+ &\rightarrow e^+ + \nu_e + \bar{\nu}_\tau \\
\tau^+ &\rightarrow \bar{\nu}_\tau + \text{hadrons}
\end{aligned}$$

Ces dernières relations, comme beaucoup d'autres, montrent que les deux familles leptoniques μ et τ sont formées par des interactions entre neutrinos et divers types de particules (fondamentales et autres) ainsi que par d'autres interactions et par des désintégrations diverses. Elles sont produites avec une durée de vie extrêmement courte, ce qui appuie le fait que, bien qu'elles soient fondamentales (i.e. des solutions de l'équation d'onde associée à l'opérateur de Dirac), elles sont potentiellement composites. Elles sont électriquement chargées et leur désintégration rapide donne naissance (à côté des stables neutrinos et des instables hadrons) à des électrons qui sont stables ou à des

positrons qui interagissent et s'annihilent très rapidement. C'est à peu près le cas des 5 quarks les plus massifs qui, bien qu'ils soient des particules fondamentales, ils ne sont pas absolument stables et finissent par donner naissance au quark u .

2°) Il est bien connu que les neutrinos sont des particules gauches (i.e. ayant une hélicité négative) et que les antineutrinos sont des particules droites (ayant une hélicité positive). Ces propriétés sont à mettre en rapport avec les deux polarisations des ondes électromagnétiques et avec l'existence de deux types d'électrons de spins opposés $e_{\frac{1}{2}}$ et $e_{-\frac{1}{2}}$. Elles peuvent être considérées comme des caractéristiques intrinsèques de ces particules. La désintégration β de la particule W^- produit un électron polarisé à gauche et un antineutrino qui ne peut être polarisé qu'à droite. La collision - annihilation $p - \bar{p}$ ou plutôt $q - \bar{q}$ d'un quark gauche et d'un antiquark droit produit (par l'intermédiaire d'une particule W) un positron droit et un neutrino qui ne peut être polarisé qu'à gauche. Faut-il pour autant parler de violation de parité ?

3°) Notre modèle est basé sur la notion de champ. Il ne nécessite pas l'existence de charges fortes (ni d'ailleurs de charge gravitationnelle associée à la force de gravité) ni d'intermédiaires pour véhiculer ces charges ; les gluons sont en fait des particules semblables aux photons et comme ces derniers ne portent pas de charges et servent essentiellement en tant que messagers des interactions fortes entre les quarks et les nucléons (comme le sont les photons pour les interactions électromagnétiques entre particules chargées électriquement). À la différence des photons qui, d'une part, forment une mer en évolution permanente à l'intérieur des atomes et, d'une autre part, se propagent partout dans l'Univers, les gluons forment uniquement une mer de particules (parmi d'autres) à l'intérieur des hadrons (et des noyaux) qui évolue et se transforme perpétuellement subissant et provoquant toute sorte d'interaction. Par contre, les gluons sont fondamentalement différents des particules massives W et Z^0 qui sont à la base des interactions faibles dès leur formation jusqu'à leur désintégration et les effets qui en résultent.

Signalons que, dans notre modèle, les gravitons n'existent pas, les boules de glu non plus. Le champ gravitationnel existe bel et bien ; il courbe l'espace et son action n'a pas besoin ni de charges ni d'intermédiaires, il a une portée illimitée dans l'Univers. Les interactions fortes existent uniquement à l'intérieur des hadrons et des noyaux ; ces interactions sont médiatisées par les gluons.

4°) Les seules particules non hadroniques stables au sein de notre modèle sont les électrons, les photons, les neutrinos et le quark u . Le seul hadron vraisemblablement stable est le proton. Les autres hadrons (à l'exception du neutron)

ont une existence éphémère. Ceci consolide le bien fondé de notre hypothèse sur la non existence de charges fortes et de forces fortes particulières. Les états de liaison au sein des hadrons sont assurés par les attractions résultant, d'une manière éphémère et épisodique, des forces électromagnétiques et de la gravitation.

Ce fait est étayé, à titre d'exemple, par la comparaison suivante des trois états de liaison suivants : l'état uud pour le proton, l'état udd pour le neutron et l'état uuu pour le Δ^{++} . Les deux premiers ont un spin égal à $\frac{1}{2}$ et le troisième a un spin égal à $\frac{3}{2}$. Ceci montre que pour les deux premiers seulement deux des quarks constituants ont des spins alignés, tandis que les trois spins sont alignés au sein du troisième. De plus le premier état est constitué de deux quarks chargés positivement ($+\frac{2}{3}$) et d'un quark chargé négativement ($-\frac{1}{3}$), le deuxième est constitué de deux quarks chargés négativement ($-\frac{1}{3}$) et d'un quark chargé positivement ($+\frac{2}{3}$) tandis que le troisième est constitué de trois quarks chargés positivement ($+\frac{2}{3}$). Ces deux facteurs contribuent au fait que l'état Δ^{++} est extrêmement instable comparé aux deux autres et a une durée de vie infiniment petite. Le fait que le proton a une durée de vie extrêmement plus longue que celle du neutron pourrait s'expliquer par le fait que le quark qui est antialigné avec les deux autres au sein du proton est le quark u qui a une charge supérieure à celle du quark d qui est antialigné avec les deux autres quarks au sein du neutron rendant ainsi l'attraction électromagnétique à l'intérieur du proton plus importante que celle à l'intérieur du neutron (cette attraction étant inexistante à l'intérieur du W^{++}). La différence de masse entre le quark d et le quark u et par conséquent entre le neutron et le proton joue un rôle déterminant en ce qui concerne la différence de stabilité; le neutron a la possibilité de se désintégrer pour donner naissance à un proton que le proton n'a pas. La transformation du quark d en un quark u au sein du neutron n'a pas de contraintes majeures. Le quark u ne peut pas se transformer naturellement en un autre quark. En résumé, l'équilibre énergétique entre l'énergie potentielle (gravitationnelle et électromagnétique), l'énergie cinétique (vibrationnelle et rotationnelle) et l'énergie de masse qui est établi (à très courte distance) entre les trois quarks u, u et d au sein du proton est extrêmement plus stable que celui qui est établi entre les quarks u, d et d au sein du neutron qui est, lui même extrêmement plus stable que celui qui est établi parmi les quarks et antiquarks au sein des autres hadrons.

5°) La non existence de trois charges différentes et de trois ou huit gluons chargés (bien que l'existence de chacun des quarks avec trois couleurs différentes a été bien prouvé et l'existence de plusieurs types de gluons différemment colorés et mixés n'est pas exclue) n'empêche pas que les interactions fortes

pourraient être associées à la symétrie $SU(3)$. De même, les interactions faibles pourraient, elles aussi, être associées à la symétrie $SU(2)$. Par ailleurs, les interactions faibles et les interactions électromagnétiques pourraient être unifiées, à l'aide d'une théorie de jauge associée à $SU(2) \times U(1)$, au sein d'une théorie électrofaible. Il est également possible de pouvoir construire une théorie de grande unification basée sur le groupe $SU(5)$ et de se poser des questions sur les conditions spécifiques concernant les différentes brisures de symétrie. Tout cela nous permettrait peut être de construire la table de toutes les particules qui pourraient jamais exister à partir de nos 24 particules fondamentales et de caractériser toutes les particules qualifiées de particules de jauge, y compris celles du genre particules de Higgs.

D'autre part, on pourrait céder à la charme mathématique de la théorie de la supersymétrie et de lui associer une théorie de supergravité. Mais l'existence de gravitons, de particules de Higgs et de leurs partenaires supersymétriques (gravitinos et Higgsinos) est exclue du cadre de notre modèle. De même, il faut avouer que la compactification de l'espace à cinq dimensions de Kaluza - Klein en un espace - temps à quatre dimensions apparentes (et une cinquième invisible correspondant à l'électromagnétisme) et que la théorie du tout (TOE) de Cremmer et Julia et son association à la théorie de la supersymétrie $N = 8$ (avec ses pyrgons) sont complètement étrangères à notre modèle.

Il y a aussi la théorie des cordes supersymétriques à dix dimensions qui est associée à une symétrie de jauge possédant un groupe de jauge G de rang 16 (qui pourrait être $SO(32)/Z_2$ ou $E_8 \times E_8$) et qui reproduit 496 particules de Yang-Mills dont 480 solitons. L'association des beaux résultats topologiques de Witten ainsi que d'autres ingrédients mathématiques à cette théorie ne constitue pour nous qu'une fascinante gymnastique intellectuelle d'une esthétique exceptionnelle qui, au bout de longues confrontations théoriques et expérimentales et de modifications adéquates, pourrait contribuer à éclairer le dernier bout du chemin de la connaissance des lois ultimes de la nature.

Signalons enfin que l'inflation, l'énergie du vide et sa polarisation n'ont pas de place dans notre modèle. Le vide qui pullule de toute sorte de particules réelles matérielles ou immatérielles qui se créent, s'annihilent, interagissent et se désintègrent plus ou moins rapidement n'est pas réellement vide. Ces particules peuvent réellement exister et participer à des différentes transformations énergétiques et peuvent aussi être spécifiquement polarisées, mais pourrait-on alors parler de vide polarisé? L'énergie négative (du vide) ne peut s'expliquer que par la pression radiationnelle (résultant d'une mer radiationnelle là où elle existe) qui agit dans le sens de l'antigravité et de l'expansion. Il ne s'agit donc pas de la notion (bizarre) de gravité négative associée à un

(préssumé) faux vide.

6°) Une fois l'hypothèse de l'existence de l'énergie originelle concentrée en un point est admise, notre modèle explique le processus de la création et de la formation de l'Univers à l'aide des trois dédoublement suivants :

- Le dédoublement de l'énergie lors de la propagation en deux polarisations.
- Le dédoublement matière-antimatière accompagné du dédoublement des charges électriques positives et négatives.
- Le dédoublement du spin de l'électron et les autres particules qui existent avec deux spins opposés.

Ces trois phénomènes se sont produits en liaison étroite avec la température : Température = Energie (via les fréquences) = pression (radiationnelle). L'expansion-propagation, les interactions et l'évolution ultérieure peuvent être expliquées et obéissent à des lois bien précises. Les deux processus capitaux sont :

1. La propagation, liée au dédoublement de la polarisation, des ondes électromagnétiques à partir de l'énergie originelle.
2. La création de la matière-antimatière et plus particulièrement des électrons-positrons et des quarks-antiquarks u . La création des autres quarks-antiquarks et des autres leptons-antileptons avec sans doute les neutrinos-antineutrinos a conduit à l'état qualifié de soupe de quarks et de leptons qui a précédé la formation des hadrons et de tout le reste.

Ce schéma indique que les particules ultra-fondamentales (avec leurs antiparticules) se réduisent à trois types : Le photon (avec ses deux polarisations) qui n'est autre qu'une particule d'énergie en mouvement, l'électron (avec ses deux spins opposés) et le quark u . Les autres particules fondamentales finissent toutes par donner naissance à ces trois types de particules auxquels s'ajoutent les fameux neutrinos.

Le monde réel est constitué essentiellement des cinq particules les plus stables : Photons, électrons, neutrinos, protons et neutrons. Ces deux derniers sont formés de quarks u et d ; l'état de liaison uud étant plus stable que l'état udd puisque le quark d peut se transformer naturellement en un quark u . Les autres leptons et hadrons sont extrêmement moins stables et ont une vie éphémère. L'état de liaison uu n'existe pas et l'état uuu ne peut exister que d'une façon ultra-éphémère. La disparition de l'antimatière pourrait s'expli-

quer par l'extrême instabilité de toutes les particules formées partiellement d'antiparticules fondamentales d'une part et par l'absorption des antineutrinos par un grand nombre de protons pour donner naissance à des neutrons qui sont relativement instables et moins nombreux que les protons, d'une autre part. Les antiparticules s'annihilent très rapidement et finissent par former des photons et des gluons.

A partir de là, nous considérons que la découverte et la compréhension des lois de la Nature et de l'évolution ultérieure de l'énergie, de la matière et de l'Univers constituent le domaine de la Science, l'existence de l'énergie première et la raison première du dédoublement et du mouvement constituent le domaine de la Métaphysique, tandis que la réflexion sur les retombées de ces lois et de cette évolution sur l'humanité constitue le domaine de la Philosophie et de la raison humaine.

Références

- [1] MOUKADDEM NAZIH
 - Modélisation physico-mathématique de l'expansion de l'Univers, Arxiv, Mai 2007, corrigé et complété depuis.
 - Universe expansion and energy problems, Arxiv, October 2007, réactualisé à plusieurs reprises.
 - L'Univers en expansion et problèmes d'énergie, Arxiv, Mars 2008.
 - Cette même étude est publiée en 2009 en un livre ayant le même titre avec le numéro ISBN 978 - 2 - 7466 - 1247 - 1.
- [2] JAMES WILLIAM RHOLF, Modern physics, Jhon willy and sons, Inc.
- [3] THOMAS TAYLOR, Mechanics : Classical and Quantum, Pergamon press.
- [4] ROBERT WALD, General relativity, the university of Chicago press.

e.mail

hmoukadem@hotmail.com